

STATIKA
 Jihočeská stavebně konstrukční kancelář, s.r.o.
 Otakarova 20 (1)
 370 01 České Budějovice
 IČ 639 08 166

STATIKA Jihočeská stavebně konstrukční kancelář s.r.o., Otakarova 20, 370 01 České Budějovice tel.387314121, fax.387437382, statikacb@iol.cz	Číslo zakázky	Datum	Stupeň	Formát
	S-129/13	09.2013	DZS	xA4
	Vedoucí projektant	Zodp. projektant:	Vypracoval	Kreslil
	ING. LIŠKA	ING. ŠEDIVÝ	ING. HAVEL	ING. HAVEL
Investor	Město Domažlice, Náměstí Míru č.p.1, 344 20 Domažlice			Vypravení
Název akce	PLAVECKÝ BAZÉN DOMAŽLICE STAVEBNÍ ÚPRAVY, PŘÍSTAVBA A NÁSTAVBA			
Výkres	STATICKÝ VÝPOČET – PŘÍSTAVBA			Číslo D.3.K02

BAZÉN DOMAŽLICE - PŘÍSTAVBA

	Strana:
Přehled zatížení	2
Prostorový model - objekt	13
- průřezy	14
- zatížovací stavy, kombinace	18
- pruty, plochy	19
- reakce	25
- vnitřní síly	32
- posudek oceli	41
Prostorový model - tobogán	44
- průřezy	45
- zatížovací stavy, kombinace	46
- plochy	47
- reakce	48
- vnitřní síly	49
posouzení pilotového založení	54
posouzení základových prahů	81
posouzení sloupů	101
posouzení průvlaků	105
posouzení překladů	110
posouzení trapézový plech střechy	111
Celkem	112

STATICKÝ VÝPOČET**Přehled zatížení**

Zatížení je uvažováno dle ČSN EN 1991, Eurokód 1: Zatížení stavebních konstrukcí

Dále uvedené údaje jsou v provozních hodnotách, u jednotlivých druhů zatížení je uveden součinitel zatížení.

Lokalita:

Domažlice

Klimatické zatížení – sníh

gf = 1,5

ČSN EN 1991-1-3

Objekt se nachází v lokalitě se sněhovou oblastí

II

Charakteristická hodnota zatížení sněhem na zemi

$s_k = 1,00$ kN/m² (půdorysně)

Součinitel expozice (možné sfoukávání / přemísťování sněhu)

$c_e = 1,00$

Součinitel tepla (vliv tepla prostupující střešním pláštěm)

$c_t = 1,00$

$s = \mu_i \cdot c_e \cdot c_t \cdot s_k$ (vz 5.1)

Přístřešek - plochá střecha (čl. 5.3.2)

Charakteristická hodnota zatížení sněhem na zemi

$s_k = 1,000$

Tvarový součinitel dle tab. 5.2 a obr. 5.1 a 5.2

sklon α 1,00 stupňů $\mu_i = 0,800$

bráněno sklouzávání sněhu ze střechy sněžníky, atikou, apod.

ne

$s = \mu_i \cdot c_e \cdot c_t \cdot s_k = 0,80 \times 1,5 = 1,20$ kN/m²

5.3.6 - obr**Střechy sousedící a přiléhající k vyšším stavbám (čl. 5.3.6)**

Charakteristická hodnota zatížení sněhem na zemi

$s_k = 1,000$ kN/m²

Tvarový součinitel dle obr. 5.7

nižší střecha je plochá $\mu_i = 0,800$

sesuv sněhu z vyšší střechy

sklon α 0,00 stupňů $\mu_s = 0,000$

vliv působení větru

šířka hlavní budovy $b_1 = 26,200$ m

šířka nižší budovy nebo přístřešku $b_2 = 16,400$ m

rozdíl výšek $h = 5,400$ m

$\mu_w = 2,000$ (vz 5.8)

$s = \mu_i \cdot c_e \cdot c_t \cdot s_k$ $s = (\mu_s + \mu_w) \cdot c_e \cdot c_t \cdot s_k = 2,00 \times 1,5 = 3,00$ kN/m²

délka návěje $L_s = 10,80$ m (vz 5.9)

Objemová tíha sněhu

Typ sněhu

čerstvý 1,00 kN/m³

ulehlý (několik hodin nebo dnů po napadnutí) 2,00 kN/m³

starý (několik týdnů nebo měsíců po napadnutí) 2,50 - 3,50 kN/m³

mokrý 4,00 kN/m³

										strana:								
<u>Stálé zatížení</u>																		
										qn	gf	qv						
Střecha příhradová SK05																		
hydroizolace mPVC										0,01	1,35	0,01	kN/m2					
skelná rohož										0,01	1,35	0,01	kN/m2					
tepelná izolace polystyren										400 mm	0,400	x	0,5	=	0,20	1,35	0,27	kN/m2
vedagard SK											0,01	1,35	0,01	kN/m2				
CB profil 40/160 - 0,88											0,10	1,35	0,14	kN/m2				
SDK podhled 2x12,5											0,25	1,35	0,34					
technologie (instalace)										15 kg/m2		0,15	1,35	0,20	kN/m2			
										celkem	0,73	1,35	0,99	kN/m2				
Stropní konstrukce SK02																		
keram. dlažba do tmelu										15 mm	0,015	x	22,0	=	0,33	1,35	0,45	kN/m2
betonová mazanina, tl.										100 mm	0,100	x	23,0	=	2,30	1,35	3,11	kN/m2
hydroizolace															0,03	1,35	0,04	kN/m2
EXP										160 mm	0,160	x	0,6	=	0,10	1,35	0,13	kN/m2
železobetonová deska										250 mm	0,250	x	25,0	=	6,25	1,35	8,44	kN/m2
stěrka										5 mm	0,005	x	23,0	=	0,12	1,35	0,16	kN/m2
										celkem	9,12	1,35	12,31	kN/m2				
										tiha bez stropní konstrukce	2,87	1,35	3,88	kN/m2				
Podlahová deska																		
keram. dlažba do tmelu										15 mm	0,015	x	22,0	=	0,33	1,35	0,45	kN/m2
betonová mazanina, tl.										110 mm	0,110	x	23,0	=	2,53	1,35	3,42	kN/m2
polystyren										100 mm	0,100	x	0,5	=	0,05	1,35	0,07	kN/m2
betonová mazanina, tl.										50 mm	0,050	x	23,0	=	1,15	1,35	1,55	kN/m2
železobetonová deska										250 mm	0,250	x	25,0	=	6,25	1,35	8,44	kN/m2
										celkem	10,31	1,35	13,92	kN/m2				
										tiha bez stropní konstrukce	4,06	1,35	5,48	kN/m2				
Dno bazénu a akumulace SB02																		
keram. dlažba do tmelu										15 mm	0,015	x	22,0	=	0,33	1,35	0,45	kN/m2
betonová mazanina, tl.										80 mm	0,080	x	23,0	=	1,84	1,35	2,48	kN/m2
spádová vrstva lehčený beton										400 mm	0,400	x	11,0	=	4,40	1,35	5,94	kN/m2
železobetonová deska										250 mm	0,250	x	25,0	=	6,25	1,35	8,44	kN/m2
stěrka										5 mm	0,005	x	23,0	=	0,12	1,35	0,16	kN/m2
										celkem	12,94	1,35	17,46	kN/m2				
										tiha bez stropní konstrukce	6,69	1,35	9,02	kN/m2				
Podlahová deska akumulace																		
keram. dlažba do tmelu										15 mm	0,015	x	22,0	=	0,33	1,35	0,45	kN/m2
betonová mazanina, tl.										90 mm	0,090	x	23,0	=	2,07	1,35	2,79	kN/m2
lehčený beton										150 mm	0,150	x	11,0	=	1,65	1,35	2,23	kN/m2
betonová mazanina, tl.										50 mm	0,050	x	23,0	=	1,15	1,35	1,55	kN/m2
železobetonová deska										250 mm	0,250	x	25,0	=	6,25	1,35	8,44	kN/m2
										celkem	11,45	1,35	15,46	kN/m2				
										tiha bez stropní konstrukce	5,20	1,35	7,02	kN/m2				
<u>Užitná rovnoměrná zatížení</u>											gf							
Plochy ke schromažďování lidí C4 (dle ČSN EN 1991-1-1)										q =	5,00	1,5	7,5	kN/m2				

ZADÁNÍ_VÍTR SMĚR X

Základní údaje

oblast	2	[-]	větrová oblast
$V_{b,0}$	25,0	[m/s]	výchozí hodnota základní rychlosti větru
kat.terénu	3	[-]	kategorie terénu
C_0	1,0	[-]	součinitel orografie
$C_s C_d$	1,0	[-]	součinitel konstrukce
C_{dir}	1,0	[-]	součinitel směru větru dop. 1,0
C_{season}	1,0	[-]	součinitel ročního období dop. 1,0
k_l	1,0	[-]	součinitel turbulence dop. 1,0
A	578,0	[m ²]	plocha
h	5,7	[m]	výška konstrukce
d	36,3	[m]	hloubka konstrukce ve směru větru $\Theta=0^\circ$
b	33,0	[m]	šířka konstrukce ve směru větru $\Theta=0^\circ$
α	1,2	°	sklon střechy

Atika

h_p		[m]	výška atiky
-------	--	-----	-------------

Zakřivená hrana

r		[m]	poloměr zakřivení
---	--	-----	-------------------

Valbová střecha

α_{90}		°	sklon střechy v kolmém směru
---------------	--	---	------------------------------

Klenba

f		[m]	vzepětí oblouku
---	--	-----	-----------------

Přístřešek pultový

φ		[-]	součinitel plnosti <0;1>
$A_{ref,pult}$		[m ²]	ref. plocha konstrukce

Přístřešek sedlový

φ		[-]	součinitel plnosti <0;1>
$A_{ref,sedlo}$		[m ²]	ref. plocha konstrukce

Vícelodní střechy - konfigurace "c"

$\alpha_{A,D}$		°	sklon střechy oblast A, D
$\alpha_{B,C}$		°	sklon střechy oblast B, C

Vícelodní střechy - konfigurace "d"

$\alpha_{A,B,C}$		°	sklon střechy oblast A, D
------------------	--	---	---------------------------

Rozdělení zatížení stěn po výšce budovy

použijte list s názvem : $h \leq b$

SVISLÉ STĚNY $h \leq b$

kat.terénu	3	[-]
v_b	25,0	[m/s]
q_b	0,391	kN/m ²
$q_p(h)$	0,531	kN/m ²
$c_e(h)$	1,358	[-]
A	578,0	[m ²]
h	5,7	[m]
d	36,3	[m]
b	33,0	[m]
e_0	11,40	[m]

uvažovat nedostatečnou korelaci tlaků
větru na návětrné a závětrné straně?

N

ano...A

ne...N

směr větru $\Theta=0^\circ$

$e_0 < d$	plocha A+B+C
$e_0 \geq d$	-
$e_0 \geq 5d$	-

$e_0/5$	$d-e_0/5$	$4/5e_0$	$d-e_0$	
2,28	-	9,12	24,90	[m]

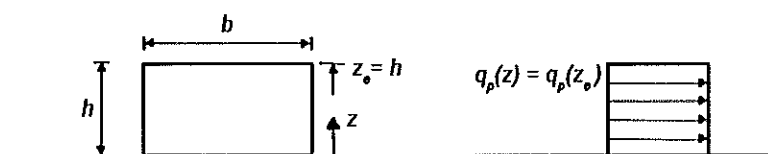
směr větru $\Theta=0^\circ$

PLOCHA	$C_{pe,10}$	$C_{pe,1-10}$	$C_{pe,1}$	$w_{e,k,0}$
A	-1,200	-	-	-0,637 kN/m ²
B	-0,800	-	-	-0,425 kN/m ²
C	-0,500	-	-	-0,265 kN/m ²
D	0,700	-	-	0,371 kN/m ²
E	-0,300	-	-	-0,159 kN/m ²

čelní stěna
pozemní stavby

referenční
výška

závislost dynamického
tlaku na výšce



PLOCHÉ STŘECHY

kat.terénu	3	[-]
v_b	25,0	[m/s]
q_b	0,391	kN/m ²
$q_p(h)$	0,531	kN/m ²
$c_e(h)$	1,358	[-]
A	578,0	[m ²]
h	5,7	[m]
h_p	-	[m]
r	-	[m]
d	36,3	[m]
b	33,0	[m]
α	1,2	°
e_0	11,40	[m]
e_{90}	11,40	[m]

směr větru $\Theta=0^\circ$

$e_0/2$	$e_0/4$	$e_0/10$	
5,70	2,85	1,14	[m]

směr větru $\Theta=90^\circ$

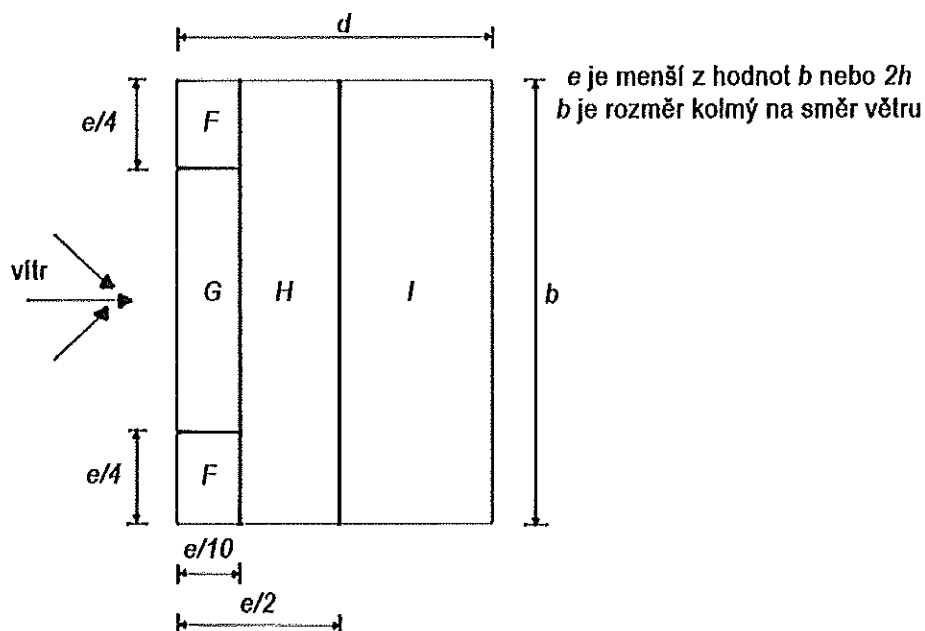
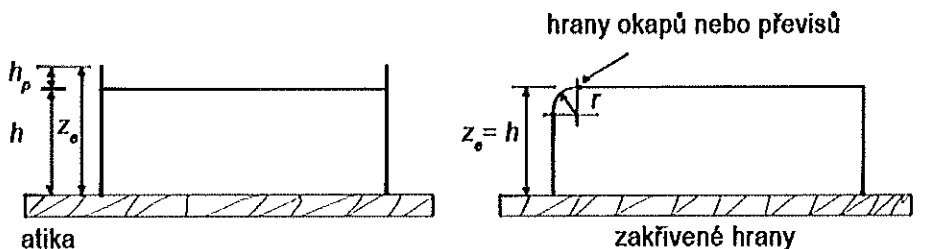
$e_{90}/2$	$e_{90}/4$	$e_{90}/10$	
5,70	2,85	1,14	[m]

směr větru $\Theta=0^\circ$ a $\Theta=90^\circ$

PLOCHA	$C_{pe,10}$	$C_{pe,1-10}$	$C_{pe,1}$
F	-1,800	-	-
G	-1,200	-	-
H	-0,700	-	-
l_{min}	-0,200	-	-
l_{max}	0,200	-	-

$W_{e,k,0}$, $W_{e,k,90}$

	F	G	H	I	
I.zk	-0,955	-0,637	-0,371	-0,106	kN/m ²
II.zk	-0,955	-0,637	-0,371	0,106	kN/m ²



ZADÁNÍ_VÍTR SMĚR Y

Základní údaje

oblast	2	[-]	větrová oblast
$v_{b,0}$	25,0	[m/s]	výchozí hodnota základní rychlosti větru
kat.terénu	3	[-]	kategorie terénu
c_0	1,0	[-]	součinitel orografie
$c_s c_d$	1,0	[-]	součinitel konstrukce
c_{dir}	1,0	[-]	součinitel směru větru dop. 1,0
c_{season}	1,0	[-]	součinitel ročního období dop. 1,0
k_l	1,0	[-]	součinitel turbulence dop. 1,0
A	578,0	[m ²]	plocha
h	5,7	[m]	výška konstrukce
d	33,0	[m]	hloubka konstrukce ve směru větru $\Theta=0^\circ$
b	17,5	[m]	šířka konstrukce ve směru větru $\Theta=0^\circ$
α	0,0	°	sklon střechy

Atika

h_p		[m]	výška atiky
-------	--	-----	-------------

Zakřivená hrana

r		[m]	poloměr zakřivení
---	--	-----	-------------------

Valbová střecha

α_{90}		°	sklon střechy v kolmém směru
---------------	--	---	------------------------------

Klenba

f		[m]	vzepětí oblouku
---	--	-----	-----------------

Přístřešek pultový

φ		[-]	součinitel plnosti <0;1>
$A_{ref,pult}$		[m ²]	ref. plocha konstrukce

Přístřešek sedlový

φ		[-]	součinitel plnosti <0;1>
$A_{ref,sedlo}$		[m ²]	ref. plocha konstrukce

Vícelodní střechy - konfigurace "c"

$\alpha_{A,D}$		°	sklon střechy oblast A, D
$\alpha_{B,C}$		°	sklon střechy oblast B, C

Vícelodní střechy - konfigurace "d"

$\alpha_{A,B,C}$		°	sklon střechy oblast A, D
------------------	--	---	---------------------------

Rozdělení zatížení stěn po výšce budovy

použijte list s názvem : $h \leq b$

SVISLÉ STĚNY $h \leq b$

kat.terénu	3	[-]
v_b	25,0	[m/s]
q_b	0,391	kN/m ²
$q_p(h)$	0,531	kN/m ²
$c_e(h)$	1,358	[-]
A	578,0	[m ²]
h	5,7	[m]
d	33,0	[m]
b	17,5	[m]
e_0	11,40	[m]

uvažovat nedostatečnou korelaci tlaků větru na návětrné a závětrné straně?

N

ano...A

ne...N

směr větru $\Theta=0^\circ$

$e_0 < d$	plocha A+B+C
$e_0 \geq d$	-
$e_0 \geq 5d$	-

$e_0/5$	$d-e_0/5$	$4/5e_0$	$d-e_0$	
2,28	-	9,12	21,60	[m]

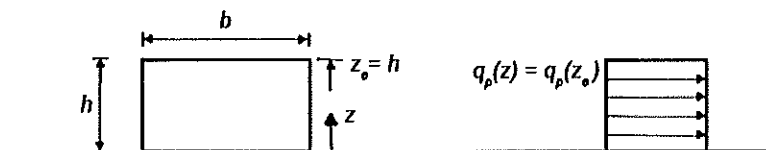
směr větru $\Theta=0^\circ$

PLOCHA	$C_{pe,10}$	$C_{pe,1-10}$	$C_{pe,1}$	$w_{e,k,0}$
A	-1,200	-	-	-0,637 kN/m ²
B	-0,800	-	-	-0,425 kN/m ²
C	-0,500	-	-	-0,265 kN/m ²
D	0,700	-	-	0,371 kN/m ²
E	-0,300	-	-	-0,159 kN/m ²

čelní stěna
pozemní stavby

referenční
výška

závislost dynamického
tlaku na výšce



PLOCHÉ STŘECHY

kat.terénu	3	[-]
v_b	25,0	[m/s]
q_b	0,391	kN/m ²
$q_p(h)$	0,531	kN/m ²
$c_e(h)$	1,358	[-]
A	578,0	[m ²]
h	5,7	[m]
h_p	-	[m]
r	-	[m]
d	33,0	[m]
b	17,5	[m]
α	0,0	°
e_0	11,40	[m]
e_{90}	11,40	[m]

směr větru $\Theta=0^\circ$

$e_0/2$	$e_0/4$	$e_0/10$	
5,70	2,85	1,14	[m]

směr větru $\Theta=90^\circ$

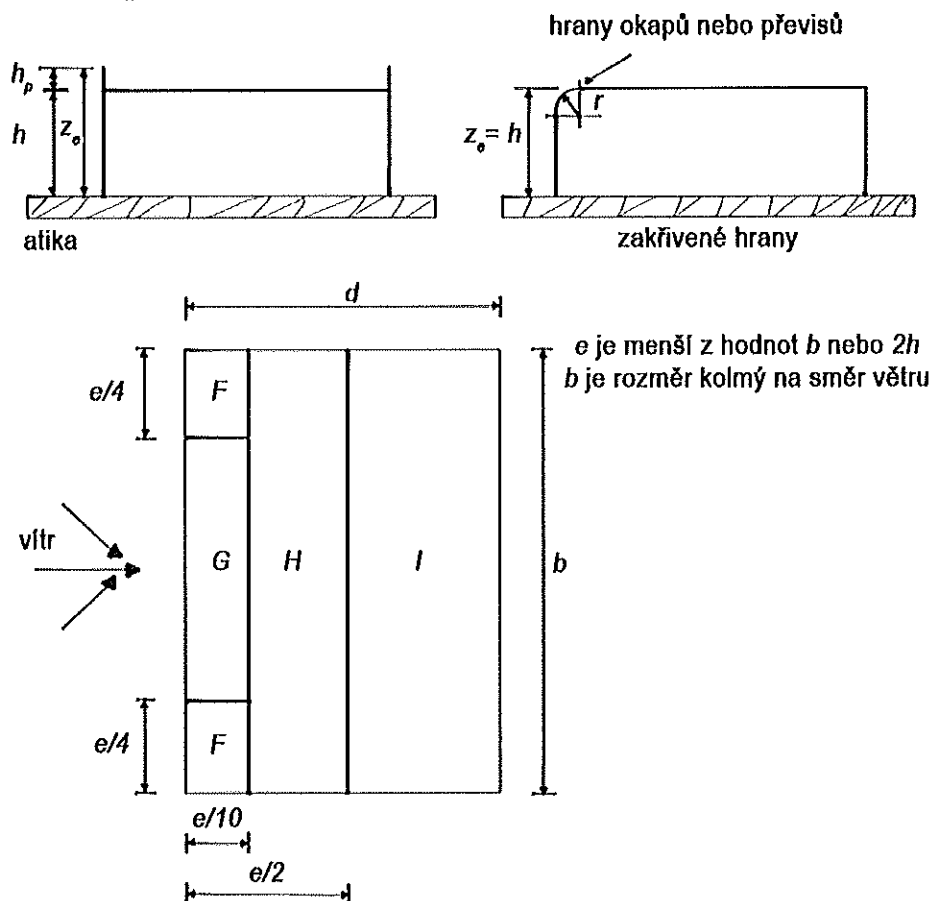
$e_{90}/2$	$e_{90}/4$	$e_{90}/10$	
5,70	2,85	1,14	[m]

směr větru $\Theta=0^\circ$ a $\Theta=90^\circ$

PLOCHA	$C_{pe,10}$	$C_{pe,1-10}$	$C_{pe,1}$
F	-1,800	-	-
G	-1,200	-	-
H	-0,700	-	-
l_{min}	-0,200	-	-
l_{max}	0,200	-	-

$W_{e,k,0}$ $W_{e,k,90}$

	F	G	H	I	
I.zk	-0,955	-0,637	-0,371	-0,106	kN/m ²
II.zk	-0,955	-0,637	-0,371	0,106	kN/m ²



ZADÁNÍ_VÍTR TOBOGÁN

Základní údaje

oblast	2	[-]	větrová oblast
$v_{b,0}$	25,0	[m/s]	výchozí hodnota základní rychlosti větru
kat.terénu	3	[-]	kategorie terénu
c_0	1,0	[-]	součinitel orografie
c_{s,c_d}	1,0	[-]	součinitel konstrukce
c_{dir}	1,0	[-]	součinitel směru větru dop. 1,0
c_{season}	1,0	[-]	součinitel ročního období dop. 1,0
k_l	1,0	[-]	součinitel turbulence dop. 1,0
A	20,0	[m ²]	plocha
h	11,3	[m]	výška konstrukce
d	4,5	[m]	hloubka konstrukce ve směru větru $\Theta=0^\circ$
b	4,5	[m]	šířka konstrukce ve směru větru $\Theta=0^\circ$
α	15,0	°	sklon střechy

Atika

h_p		[m]	výška atiky
-------	--	-----	-------------

Zakřivená hrana

r		[m]	poloměr zakřivení
---	--	-----	-------------------

Valbová střecha

α_{90}		°	sklon střechy v kolmém směru
---------------	--	---	------------------------------

Klenba

f		[m]	vzepětí oblouku
---	--	-----	-----------------

Přístřešek pultový

φ		[-]	součinitel plnosti <0;1>
$A_{ref,pult}$		[m ²]	ref. plocha konstrukce

Přístřešek sedlový

φ		[-]	součinitel plnosti <0;1>
$A_{ref,sedlo}$		[m ²]	ref. plocha konstrukce

Vícelodní střechy - konfigurace "c"

$\alpha_{A,D}$		°	sklon střechy oblast A, D
$\alpha_{B,C}$		°	sklon střechy oblast B, C

Vícelodní střechy - konfigurace "d"

$\alpha_{A,B,C}$		°	sklon střechy oblast A, D
------------------	--	---	---------------------------

Rozdělení zatížení stěn po výšce budovy

použijte list s názvem : $h > 2b$

SVISLÉ STĚNY $h > 2b$

kat.terénu	3	[-]
v_b	25,0	[m/s]
q_b	0,391	kN/m ²
$q_p(h)$	0,699	kN/m ²
$c_e(h)$	1,788	[-]
$q_p(5)$	0,572	kN/m ²
$c_e(5)$	1,464	[-]
$q_p(4)$	0,555	kN/m ²
$c_e(4)$	1,421	[-]
$q_p(3)$	0,538	kN/m ²
$c_e(3)$	1,376	[-]
$q_p(2)$	0,519	kN/m ²
$c_e(2)$	1,328	[-]
$q_p(1)$	0,500	kN/m ²
$c_e(1)$	1,281	[-]
$q_p(d)$	0,500	kN/m ²
$c_e(d)$	1,281	[-]
A	20,0	[m ²]
h	11,3	[m]
d	4,5	[m]
b	4,5	[m]
e_0	4,50	[m]

uvažovat nedostatečnou korelaci tlaků větru na
návětrné a závětrné straně?

N

ano...A

ne...N

směr větru $\Theta=0^\circ$

$e_0 < d$	-
$e_0 \geq d$	plocha A+B
$e_0 \geq 5d$	-

$e_0/5$	$d-e_0/5$	$4/5e_0$	$d-e_0$	
0,90	3,60	3,60	-	[m]

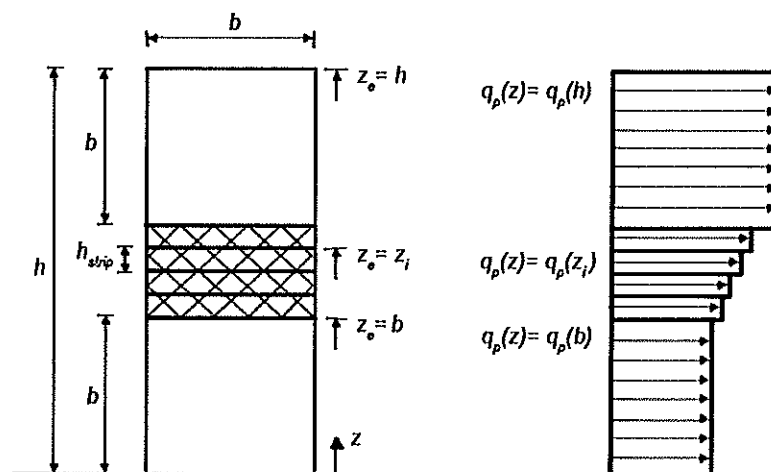
směr větru $\Theta=0^\circ$

PLOCHA	$C_{pe,10}$	$C_{pe,1-10}$	$C_{pe,1}$	$w_{e,k}(h)$	$w_{e,k}(5)$	$w_{e,k}(4)$	$w_{e,k}(3)$	$w_{e,k}(2)$	$w_{e,k}(1)$	$w_{e,k}(d)$
A	-1,200	-	-	-0,838	-0,686	-0,666	-0,645	-0,622	-0,600	-0,600
B	-0,800	-	-	-0,559	-0,458	-0,444	-0,430	-0,415	-0,400	-0,400
C	-	-	-	-	-	-	-	-	-	-
D	0,800	-	-	0,559	0,458	0,444	0,430	0,415	0,400	0,400
E	-0,575	-	-	-0,402	-0,329	-0,319	-0,309	-0,298	-0,288	-0,288

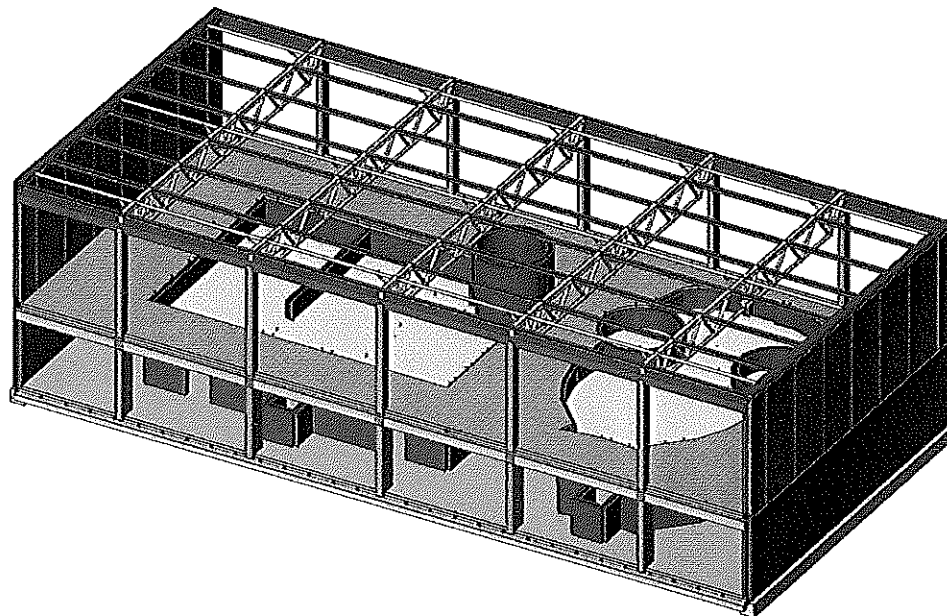
čelní stěna
pozemní stavby

referenční
výška

závislost dynamického
tlaku na výšce



1. Výpočtový model

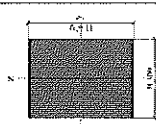


1. Projekt

Licenciál jméno	Statika JSKK a.s.
Projekt	Bazén Domadice
Číslo	Přístavba
Popis	Prostorový model
Autor	Ing. Havel Josef
Datum	09. 2013
Konstrukce	Obecná XYZ
Peč. užít :	457
Peč. prát :	266
Peč. ploch :	104
Peč. stěh :	0
Peč. průřez :	17
Peč. zat. stav :	16
Peč. materiálů :	4
Théor. zrychlení [m/sec²]	9,810
Národní norma	EC - EN

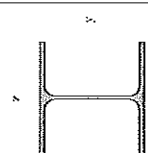
2. Přířezy

Jméno	CS1
Typ	Obrcovník
Datální	400 300
Materiál	C30/37
Výroba	beton
Vzpr. y-y, z-z	b
Vypočet FEM	a



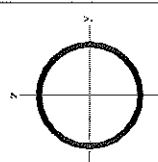
A [m²]	1,0000e-01
A y, z [m²]	1,0000e-01
I y, z [m⁴]	9,0000e-04
I w [m⁴], t [m³]	0,0000e+00
Wpl y, z [m³]	1,0000e-03
Wpl y, z [m³]	1,0000e-02
d y, z [mm]	0
c YLSS, ZLSS [mm]	150
alpha [deg]	0,00
AL [m³/m]	1,4000e+00

Jméno	CS2
Typ	HEA200
Zdroj hodnot	Profil Atbaa / Structural shapes / Edition Octobre 1995
Materiál	S 235
Výroba	válcovaný
Vzpr. y-y, z-z	b



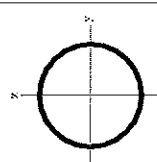
A [m²]	5,3800e-03
A y, z [m²]	3,4500e-03
I y, z [m⁴]	1,0800e-05
I w [m⁴], t [m³]	1,3400e-05
Wpl y, z [m³]	2,1000e-07
Wpl y, z [m³]	3,8900e-04

Wpl y, z [m³]	4,3000e-04
d y, z [mm]	0
c YLSS, ZLSS [mm]	100
alpha [deg]	0,00
AL [m³/m]	1,1380e+00
Jméno	CS3
Typ	RO108X5,6
Zdroj hodnot	Stuhl Im Hochbau / 14.Auflage Band 1 / Teil 1
Materiál	S 235
Výroba	válcovaný
Vzpr. y-y, z-z	a



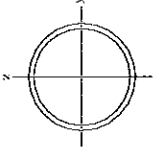

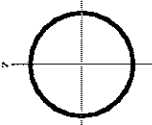
A [m²]	1,8000e-03
A y, z [m²]	1,1459e-03
I y, z [m⁴]	2,3700e-06
I w [m⁴], t [m³]	4,7226e-06
Wpl y, z [m³]	4,3900e-05
Wpl y, z [m³]	5,8400e-05
d y, z [mm]	0
c YLSS, ZLSS [mm]	0
alpha [deg]	0,00
AL [m³/m]	3,3927e-01

Jméno	CS7
Typ	RO138.7X6.3
Zdroj hodnot	Stuhl Im Hochbau / 14.Auflage Band 1 / Teil 1
Materiál	S 235
Výroba	válcovaný
Vzpr. y-y, z-z	b

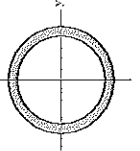


A [m²]	2,6400e-03
A y, z [m²]	1,6807e-03
I y, z [m⁴]	5,8900e-06
I w [m⁴], t [m³]	1,1746e-05
Wpl y, z [m³]	8,4300e-05
Wpl y, z [m³]	1,1100e-04
d y, z [mm]	0
c YLSS, ZLSS [mm]	0
alpha [deg]	0,00
AL [m³/m]	4,3886e-01

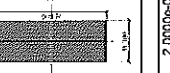
Jméno	CS10
Typ	RO101.6X5
Zdroj hodnot	Stuhl Im Hochbau / 14.Auflage Band 1 / Teil 1
Materiál	S 235
Výroba	válcovaný
Vzpr. y-y, z-z	a

		1.5200e-03	
A [m²]		9.6780e-04	
A _v [m²]		1.7700e-06	
I _y [m⁴]		0.0000e+00	
I _w [m⁴]		3.4900e-05	
W _{el} [m³]		4.8400e-05	
W _{pl} [m³]		0	
d [m]		0	
c [mm]		0.00	
alfa [deg]		3.1917e-01	
<hr/>			
Jméno		CS11	
Typ		IPE180	
Zdroj hodnot		Arcelor / Structural shapes / CD Edition 01-2004	
Materiál		S 235	
Výroba		valcovaný	
Vzpr. yy, zz		a	
<hr/>			
		2.9500e-03	
A [m²]		8.8078e-04	
A _v [m²]		1.2500e-03	
I _y [m⁴]		1.3170e-06	
I _w [m⁴]		7.4300e-09	
W _{el} [m³]		1.4500e-04	
W _{pl} [m³]		1.8600e-04	
d [m]		0	
c [mm]		45	
alfa [deg]		0.00	
AL [m²/m]		6.9783e-01	
<hr/>			
Jméno		CS13	
Typ		RO101.BX4	
Zdroj hodnot		Stahl im Hochbau / 14.Auflage Band 1 / Teil 1	
Materiál		S 235	
Výroba		valcovaný	
Vzpr. yy, zz		a	
<hr/>			
		1.2900e-03	
A [m²]		7.8304e-04	
A _v [m²]		1.4600e-06	
I _y [m⁴]		0.0000e+00	
I _w [m⁴]		2.9208e-08	
W _{el} [m³]		2.8800e-05	
W _{pl} [m³]		3.8000e-05	

d, y, z [mm]		0	0
c, YLSS, ZLSS [mm]		0	0
alfa [deg]		0.00	0
AL [m²/m]		3.1917e-01	
Jmeno			
Typ		CS15	
Zdroj hodnot		RO44.SX4	
Materiál		Stahl im Hochbau / 14.Auflage Band 1 / Teil 1	
Výroba		S 235	
Vzpr. y-y, z-z		valcovany	
		a	a



A [m²]		5.0800e-04	
A, y, z [m²]		3.2404e-04	3.2404e-04
I, y, z [m⁴]		1.0500e-07	
I, w [m⁴], t [m³]		0.0000e+00	2.0870e-07
Wpl, y, z [m³]		4.7400e-08	4.7400e-08
Wpl, y, z [m³]		8.5400e-06	8.5400e-06
d, y, z [mm]		0	0
c, YLSS, ZLSS [mm]		0	0
alfa [deg]		0.00	0
AL [m²/m]		1.3979e-01	
Jmeno			
Typ		sloup subten	
Detailní		Obdelnik	
Materiál		800/ 300	
Výroba		C25/30	
Vzpr. y-y, z-z		beton	
Vypočet FEM		b	x



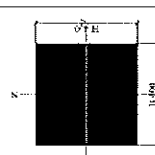
A [m²]		2.4000e-01	
A, y, z [m²]		2.0000e-01	2.0000e-01
I, y, z [m⁴]		1.2600e-02	1.6000e-03
I, w [m⁴], t [m³]		0.0000e+00	5.4362e-03
Wpl, y, z [m³]		3.2000e-02	1.2000e-02
Wpl, y, z [m³]		4.6000e-02	1.6000e-02
d, y, z [mm]		0	0
c, YLSS, ZLSS [mm]		150	400
alfa [deg]		0.00	
AL [m²/m]		2.2000e+00	
Jmeno			
Typ		zdivo 2000/375	
Detailní		Obdelnik	
Materiál		2000/ 375	
Výroba		ZDIVO	
Vzpr. y-y, z-z		beton	
Vypočet FEM		b	x

[illegible]

Univero	paĉo 3
Obrednik	
Tip	
Datalni	
Material	
C25/30	
Vyroba	
boton	
b	
Vzrôc yw. RZ	
Vypočet FEM	
a	

[illegible]

Umeno	path 4
Chodník	Chodník
Typ	400; 400
Dotelini	Material
C25/30	beton
Výrobca	d
Vzpril. yw. z-z	d
Vápnost FEM	d



Λ [fm ⁴]	1.6500e-01
α [fm ³]	1.3333e-01
α_1 [fm ³]	2.1333e-03
α_2 [fm ³]	2.1333e-03
w [fm ³], t [fm ³]	3.5994e-03
$\alpha_{\text{NNSI}}^{\text{NNSI}}$ [fm ³]	1.0667e-02
$\alpha_{\text{NNSI}}^{\text{NNSI}}$ [fm ³]	1.6000e-02
$\alpha_{\text{NNSI}}^{\text{NNSI}}$ [fm ³]	1.6000e-02
$\alpha_{\text{NNSI}}^{\text{NNSI}}$ [fm ³]	0

3. Materials

q YLSS, ZLSS [mm]	200
nfa [deg]	0.00
AL [m ² /m]	1,8000e+00

Jmeno	Jednotková hmotnost [kg/m ²]	E [MPa]	Polisan - nu	G [MPa]	Toproztaž. [mm/m]	Dolní mez [mm]	Horní mez [mm]	Fy [rozsaň] [MPa]	Fu [rozsaň] [MPa]
S 235	7850,0	2,1000e+05	0,3	8,0768e+04	0,00	0	40	233,0	360,0
						40	80	215,0	360,0

Charakteristická vtláková povinnost v tlaku tek(2)(20)

Jmeno	Typ	Jednotková hmotnost [kg/m ²]	E [MPa]	Polisan - nu	G [MPa]	Toproztaž. [mm/m]
C25/30	Beton	2500,0	3,1500e+04	0,2	1,3125e+04	0,00
C30/37	Beton	2500,0	3,2600e+04	0,2	1,3687e+04	0,00

Jméno	ZDVO
Typ	Opacný materiál
E [MPa]	1,1000e+03
Poisson - nu	0,15
G [MPa]	4,7826e+02
Jednotková hmotnosť [kg/m³]	1200,0
Typ roztaž. [mm/K]	0,00
Leg. dekret	0,15
Meřné teplo [J/mK]	6,0000e+01

1. Zatěžovací stavy

Jméno	Popis	Typ	Skupina zatížení	Typ zatížení	Spec	Sníží	Počet	Různý zat. stav
LC1	skladba	Stálé	LC1	Vázané útlah	Standard	-2		
LC2	anhl	Nahodilá	LC1	Standard	Standard		Kritická	Základ
LC3	anhl	Nahodilá	LC1	Standard	Standard		Kritická	Základ
LC4	anhl	Nahodilá	LC1	Standard	Standard		Kritická	Základ
LC5	anhl	Nahodilá	LC1	Standard	Standard		Kritická	Základ
LC6	anhl	Nahodilá	LC1	Standard	Standard		Kritická	Základ
LC7	anhl	Nahodilá	LC1	Standard	Standard		Kritická	Základ
LC8	anhl	Nahodilá	LC1	Standard	Standard		Kritická	Základ
LC9	anhl	Nahodilá	LC1	Standard	Standard		Kritická	Základ
LC10	anhl	Nahodilá	LC1	Standard	Standard		Kritická	Základ
LC11	anhl	Nahodilá	LC1	Standard	Standard		Kritická	Základ
LC12	anhl	Nahodilá	LC1	Standard	Standard		Kritická	Základ
LC13	anhl	Nahodilá	LC1	Standard	Standard		Kritická	Základ
LC14	anhl	Nahodilá	LC1	Standard	Standard		Kritická	Základ
LC15	anhl	Nahodilá	LC1	Standard	Standard		Kritická	Základ
LC16	anhl	Nahodilá	LC1	Standard	Standard		Kritická	Základ
LC17	anhl	Nahodilá	LC1	Standard	Standard		Kritická	Základ

2. Skupiny zatížení

Jméno	Zatížení	Vztaž	Typ
LC1	Stálé	Výškově	Sníh
LC2	Nahodilá	Výškově	Vlár
LC3	Nahodilá	Standard	Voda
LC4	Nahodilá	Standard	Kat. C : shromáždění

3. Kombinace

Jméno	Popis	Typ	Zatěžovací stavy	Sout.
CO1	TU-5	EN-MSU (STR/GE) Sada B	LC1 LC2 - skladba LC3 - anhl LC4 - anhl LC5 - anhl LC6 - anhl LC7 - anhl LC8 - anhl LC9 - anhl LC10 - anhl LC11 - anhl LC12 - anhl LC13 - anhl LC14 - anhl LC15 - anhl LC16 - anhl LC17 - anhl	1,00 1,00 1,00 1,00 1,00 1,00 1,00 1,00 1,00 1,00 1,00 1,00 1,00 1,00 1,00 1,00 1,00
CO2	TU-6	EN-MSU (STR/GE) Sada C	LC1 LC2 - skladba LC3 - anhl LC4 - anhl LC5 - anhl LC6 - anhl LC7 - anhl LC8 - anhl LC9 - anhl LC10 - anhl LC11 - anhl LC12 - anhl LC13 - anhl LC14 - anhl LC15 - anhl LC16 - anhl LC17 - anhl	1,00 1,00 1,00 1,00 1,00 1,00 1,00 1,00 1,00 1,00 1,00 1,00 1,00 1,00 1,00 1,00 1,00
CO3	TP	EN-SLS	LC1 LC2 - skladba	1,00 1,00

Jméno	Popis	Typ	Zatěžovací stavy	Sout.
CO4	požár	EN-MSU (STR/GE) Sada B	LC1 LC2 - skladba LC3 - anhl LC4 - anhl LC5 - anhl LC6 - anhl LC7 - anhl LC8 - anhl LC9 - anhl LC10 - anhl LC11 - anhl LC12 - anhl LC13 - anhl LC14 - anhl LC15 - anhl LC16 - anhl LC17 - anhl	1,00 1,00 1,00 1,00 1,00 1,00 1,00 1,00 1,00 1,00 1,00 1,00 1,00 1,00 1,00 1,00 1,00
CO5	TU-5 bez zeminy	EN-MSU (STR/GE) Sada B	LC1 LC2 - skladba LC3 - anhl LC4 - anhl LC5 - anhl LC6 - anhl LC7 - anhl LC8 - anhl LC9 - anhl LC10 - anhl LC11 - anhl LC12 - anhl LC13 - anhl LC14 - anhl LC15 - anhl LC16 - anhl LC17 - anhl	1,00 1,00 1,00 1,00 1,00 1,00 1,00 1,00 1,00 1,00 1,00 1,00 1,00 1,00 1,00 1,00 1,00
CO6	TU-6 bez zeminy	EN-MSU (STR/GE) Sada C	LC1 LC2 - skladba LC3 - anhl LC4 - anhl LC5 - anhl LC6 - anhl LC7 - anhl LC8 - anhl LC9 - anhl LC10 - anhl LC11 - anhl LC12 - anhl LC13 - anhl LC14 - anhl LC15 - anhl LC16 - anhl LC17 - anhl	1,00 1,00 1,00 1,00 1,00 1,00 1,00 1,00 1,00 1,00 1,00 1,00 1,00 1,00 1,00 1,00 1,00
CO7	TP bez zeminy	EN-SLS	LC1 LC2 - skladba LC3 - anhl LC4 - anhl LC5 - anhl LC6 - anhl LC7 - anhl LC8 - anhl LC9 - anhl LC10 - anhl LC11 - anhl LC12 - anhl LC13 - anhl LC14 - anhl LC15 - anhl LC16 - anhl LC17 - anhl	1,00 1,00 1,00 1,00 1,00 1,00 1,00 1,00 1,00 1,00 1,00 1,00 1,00 1,00 1,00 1,00 1,00

Jméno	Průřez	Délka [m]	Tvar	Pol. uzl.	Konc. uzl.	Typ	FM typ	Vložka
B408	CS11 - IPE180	33,600	Čára	N840	N307	roanik (80)	standard	vazník
B407	CS11 - IPE180	33,600	Čára	N306	N298	roanik (80)	standard	vazník
B408	CS13 - RO101.6X4	4,750	Čára	N300	N288	roanik (80)	standard	zavěšování
B409	CS13 - RO101.6X4	4,750	Čára	N322	N694	roanik (80)	standard	zavěšování
B411	CS13 - RO101.6X4	4,750	Čára	N322	N694	roanik (80)	standard	zavěšování
B412	CS13 - RO101.6X4	6,000	Čára	N324	N325	roanik (80)	standard	zavěšování
B413	CS13 - RO101.6X4	6,000	Čára	N324	N325	roanik (80)	standard	zavěšování
B414	CS13 - RO101.6X4	6,000	Čára	N325	N326	roanik (80)	standard	zavěšování
B415	CS13 - RO101.6X4	6,000	Čára	N327	N328	roanik (80)	standard	zavěšování
B416	CS13 - RO101.6X4	6,000	Čára	N328	N331	roanik (80)	standard	zavěšování
B418	CS13 - RO101.6X4	6,000	Čára	N331	N332	roanik (80)	standard	zavěšování
B420	CS13 - RO101.6X4	6,000	Čára	N332	N333	roanik (80)	standard	zavěšování
B421	CS13 - RO101.6X4	6,000	Čára	N333	N334	roanik (80)	standard	zavěšování
B465	CS13 - RO101.6X4	1,350	Čára	N326	N228	roanik (80)	standard	vazník
B466	CS13 - RO101.6X4	1,350	Čára	N332	N230	roanik (80)	standard	vazník
B468	CS13 - RO101.6X4	1,350	Čára	N324	N212	roanik (80)	standard	vazník
B469	CS13 - RO101.6X4	1,350	Čára	N327	N211	roanik (80)	standard	vazník
B469	CS13 - RO101.6X4	1,350	Čára	N331	N215	roanik (80)	standard	vazník
B470	CS13 - RO101.6X4	1,350	Čára	N325	N197	roanik (80)	standard	vazník
B471	CS13 - RO101.6X4	1,350	Čára	N325	N198	roanik (80)	standard	vazník
B472	CS13 - RO101.6X4	1,350	Čára	N330	N200	roanik (80)	standard	vazník
B479	CS15 - RO44.5X4	1,202	Čára	N340	N342	roanik (80)	standard	zavěšování
B480	CS15 - RO44.5X4	1,202	Čára	N340	N343	roanik (80)	standard	zavěšování
B481	CS15 - RO44.5X4	1,202	Čára	N343	N344	roanik (80)	standard	zavěšování
B482	CS15 - RO44.5X4	1,202	Čára	N343	N345	roanik (80)	standard	zavěšování
B483	CS15 - RO44.5X4	1,202	Čára	N345	N347	roanik (80)	standard	zavěšování
B484	CS15 - RO44.5X4	1,202	Čára	N346	N348	roanik (80)	standard	zavěšování
B485	CS15 - RO44.5X4	1,202	Čára	N348	N350	roanik (80)	standard	zavěšování
B486	CS15 - RO44.5X4	1,202	Čára	N349	N351	roanik (80)	standard	zavěšování
B487	CS15 - RO44.5X4	1,202	Čára	N352	N353	roanik (80)	standard	zavěšování
B488	CS15 - RO44.5X4	1,202	Čára	N352	N354	roanik (80)	standard	zavěšování
B489	CS15 - RO44.5X4	1,202	Čára	N355	N356	roanik (80)	standard	zavěšování
B490	CS15 - RO44.5X4	1,202	Čára	N355	N357	roanik (80)	standard	zavěšování
B491	CS15 - RO44.5X4	1,202	Čára	N358	N359	roanik (80)	standard	zavěšování
B492	CS15 - RO44.5X4	1,202	Čára	N358	N360	roanik (80)	standard	zavěšování
B493	CS15 - RO44.5X4	1,202	Čára	N361	N362	roanik (80)	standard	zavěšování
B494	CS15 - RO44.5X4	1,202	Čára	N361	N363	roanik (80)	standard	zavěšování
B495	CS15 - RO44.5X4	1,202	Čára	N364	N365	roanik (80)	standard	zavěšování
B496	CS15 - RO44.5X4	1,202	Čára	N364	N366	roanik (80)	standard	zavěšování
B539	práh 4 - Obodník (400; 400)	4,800	Čára	N707	N15	roanik (80)	standard	průvlaky
B537	práh 3 - Obodník (400; 300)	4,800	Čára	N708	N3	roanik (80)	standard	průvlaky
B538	CS1 - Obodník (400; 300)	4,750	Čára	N847	N846	sloup (100)	standard	sloup
B539	CS1 - Obodník (400; 300)	5,050	Čára	N845	N844	sloup (100)	standard	sloup
B540	CS10 - RO101.6X5	1,778	Čára	N846	N846	diagonála vazniku (90)	standard	vazník
B541	CS10 - RO101.6X5	1,778	Čára	N850	N851	diagonála vazniku (90)	standard	vazník
B542	CS10 - RO101.6X5	1,778	Čára	N850	N852	diagonála vazniku (90)	standard	vazník
B543	CS10 - RO101.6X5	1,778	Čára	N850	N849	diagonála vazniku (90)	standard	vazník
B544	CS10 - RO101.6X5	1,778	Čára	N848	N851	diagonála vazniku (90)	standard	vazník
B545	CS10 - RO101.6X5	1,778	Čára	N850	N852	diagonála vazniku (90)	standard	vazník
B546	CS2 - HEA200	16,203	Lomená čára	N850	N851	pás vazniku (95)	standard	vazník
B547	CS7 - RO138.7X6.3	13,896	Lomená čára	N850	N852	pás vazniku (95)	standard	vazník
B548	CS7 - RO138.7X6.3	13,896	Lomená čára	N850	N852	pás vazniku (95)	standard	vazník
B549	CS2 - HEA200	0,300	Čára	N850	N850	diagonála vazniku (90)	standard	vazník
B550	CS7 - RO138.7X6.3	1,760	Čára	N852	N851	diagonála vazniku (80)	standard	vazník
B551	CS10 - RO101.6X5	1,778	Čára	N853	N854	diagonála vazniku (90)	standard	vazník
B552	CS10 - RO101.6X5	1,778	Čára	N853	N855	diagonála vazniku (90)	standard	vazník
B553	CS3 - RO101.6X5	1,778	Čára	N855	N856	diagonála vazniku (90)	standard	vazník
B554	CS10 - RO101.6X5	1,778	Čára	N855	N857	diagonála vazniku (90)	standard	vazník
B555	CS10 - RO101.6X5	1,778	Čára	N853	N856	diagonála vazniku (90)	standard	vazník
B557	CS10 - RO101.6X5	1,778	Čára	N855	N857	diagonála vazniku (90)	standard	vazník
B558	CS13 - RO101.6X4	1,350	Čára	N853	N855	roanik (80)	standard	vazník
B559	CS13 - RO101.6X4	1,350	Čára	N853	N855	roanik (80)	standard	vazník
B560	CS13 - RO101.6X4	1,350	Čára	N854	N856	roanik (80)	standard	vazník
B561	CS15 - RO44.5X4	1,202	Čára	N855	N856	roanik (80)	standard	vazník
B562	CS15 - RO44.5X4	1,202	Čára	N856	N857	roanik (80)	standard	vazník
B563	CS15 - RO44.5X4	1,202	Čára	N856	N858	roanik (80)	standard	vazník
B564	CS15 - RO44.5X4	1,202	Čára	N857	N859	roanik (80)	standard	vazník
B565	CS15 - RO44.5X4	1,202	Čára	N857	N860	roanik (80)	standard	vazník
B566	CS15 - RO44.5X4	1,202	Čára	N858	N861	roanik (80)	standard	vazník
B567	CS15 - RO44.5X4	1,202	Čára	N859	N862	roanik (80)	standard	vazník
B568	CS15 - RO44.5X4	1,202	Čára	N860	N863	roanik (80)	standard	vazník
B569	CS15 - RO44.5X4	1,202	Čára	N861	N864	roanik (80)	standard	vazník
B570	CS15 - RO44.5X4	1,202	Čára	N862	N865	roanik (80)	standard	vazník
B571	CS15 - RO44.5X4	1,202	Čára	N863	N866	roanik (80)	standard	vazník
B572	CS15 - RO44.5X4	1,202	Čára	N864	N867	roanik (80)	standard	vazník
B573	CS15 - RO44.5X4	1,202	Čára	N865	N868	roanik (80)	standard	vazník
B574	CS15 - RO44.5X4	1,202	Čára	N866	N869	roanik (80)	standard	vazník
B575	CS15 - RO44.5X4	1,202	Čára	N867	N870	roanik (80)	standard	vazník
B576	CS15 - RO44.5X4	1,202	Čára	N868	N871	roanik (80)	standard	vazník
B577	CS15 - RO44.5X4	1,202	Čára	N869	N872	roanik (80)	standard	vazník
B578	CS15 - RO44.5X4	1,202	Čára	N870	N873	roanik (80)	standard	vazník

Jméno	Průřez	Délka [m]	Tvar	Pol. uzl.	Konc. uzl.	Typ	FM typ	Vložka
B587	CS15 - RO44.5X4	1,202	Čára	N869	N874	roanik (80)	standard	zavěšování
B588	CS1 - Obodník (400; 300)	4,750	Čára	N876	N877	sloup (100)	standard	sloup
B589	CS1 - Obodník (400; 300)	5,050	Čára	N876	N875	sloup (100)	standard	sloup
B590	CS10 - RO101.6X5	1,778	Čára	N879	N880	diagonála vazniku (90)	standard	vazník
B591	CS10 - RO101.6X5	1,778	Čára	N881	N882	diagonála vazniku (90)	standard	vazník
B592	CS3 - RO101.6X5	1,778	Čára	N880	N883	diagonála vazniku (90)	standard	vazník
B593	CS10 - RO101.6X5	1,778	Čára	N880	N882	diagonála vazniku (90)	standard	vazník
B594	CS10 - RO101.6X5	1,778	Čára	N881	N883	diagonála vazniku (90)	standard	vazník
B595	CS2 - HEA200	16,203	Lomená čára	N881	N882	pás vazniku (95)	standard	vazník
B596	CS7 - RO138.7X6.3	13,896	Lomená čára	N882	N883	pás vazniku (95)	standard	vazník
B597	CS7 - RO138.7X6.3	1,778	Čára	N883	N884	diagonála vazniku (90)	standard	vazník
B598	CS2 - HEA200	0,500	Čára	N884	N885	roanik (80)	standard	vazník
B599	CS7 - RO138.7X6.3	1,760	Čára	N884	N885	diagonála vazniku (90)	standard	vazník
B600	CS10 - RO101.6X5	1,778	Čára	N885	N886	diagonála vazniku (90)	standard	vazník
B601	CS10 - RO101.6X5	1,778	Čára	N886	N887	diagonála vazniku (90)	standard	vazník
B602	CS10 - RO101.6X5	1,778	Čára	N886	N888	diagonála vazniku (90)	standard	vazník
B603	CS13 - RO101.6X4	1,350	Čára	N889	N890	diagonála vazniku (90)	standard	vazník
B604	CS13 - RO101.6X4	1,350	Čára	N889	N889	roanik (80)	standard	vazník
B605	CS13 - RO101.6X4	1,350	Čára	N890	N890	roanik (80)	standard	vazník
B606	CS15 - RO44.5X4	1,202	Čára	N890	N890	roanik (80)	standard	vazník
B607	CS15 - RO44.5X4	1,202	Čára	N891	N891	roanik (80)	standard	vazník
B608	CS15 - RO44.5X4	1,202	Čára	N891	N892	roanik (80)	standard	vazník
B609	CS15 - RO44.5X4	1,202	Čára	N892	N893	roanik (80)	standard	vazník
B610	práh 3 - Obodník (400; 300)	3,800	Čára	N893	N894	roanik (80)	standard	vazník
B611	práh 4 - Obodník (400; 300)	3,800	Čára	N893	N895	roanik (80)	standard	vazník
B612	práh 3 - Obodník (400; 300)	3,800	Čára	N894	N895	roanik (80)	standard	vazník
B613	práh 4 - Obodník (400; 400)	3,800	Čára	N894	N896	roanik (80)	standard	vazník
B614	práh 3 - Obodník (400; 300)	3,800	Čára	N895	N897	roanik (80)	standard	vazník
B615	práh 4 - Obodník (400; 400)	3,800	Čára	N895	N146	roanik (80)	standard	vazník
B616	práh 3 - Obodník (400; 300)	3,800	Čára	N896	N147	roanik (80)	standard	vazník
B617	práh 4 - Obodník (400; 400)	3,800	Čára	N896	N148	roanik (80)	standard	vazník
B618	práh 3 - Obodník (400; 300)	3,800	Čára	N897	N148	roanik (80)	standard	vazník
B619	práh 4 - Obodník (400; 400)	3,800	Čára	N897	N150	roanik (80)	standard	vazník
B620	práh 3 - Obodník (400; 300)	3,800	Čára	N898	N151	roanik (80)	standard	vazník
B621	práh 4 - Obodník (400; 400)	3,800	Čára	N898	N152	roanik (80)	standard	vazník
B622	práh 3 - Obodník (400; 300)	3,800	Čára	N899	N153	roanik (80)	standard	vazník
B623	práh 4 - Obodník (400; 400)	3,800	Čára	N899	N154	roanik (80)	standard	vazník
B624	práh 3 - Obodník (400; 300)	3,800	Čára	N900	N155	roanik (80)	standard	vazník
B625	práh 4 - Obodník (400; 400)	3,800	Čára	N900	N912	roanik (80)	standard	vazník
B626	práh 3 - Obodník (400; 300)	3,800	Čára	N901	N918	roanik (80)	standard	vazník
B627	práh 4 - Obodník (400; 400)	3,800	Čára	N901	N918	roanik (80)	standard	vazník
B628	práh 3 - Obodník (400; 300)	3,800	Čára	N902	N943	roanik (80)	standard	vazník
B629	práh 4 - Obodník (400; 400)	3,800	Čára	N902	N942	roanik (80)	standard	vazník
B630	práh 3 - Obodník (400; 300)	3,800	Čára	N903	N941	roanik (80)	standard	vazník
B631	práh 4 - Obodník (400; 400)	3,800	Čára	N903	N940	roanik (80)	standard	vazník
B632	práh 3 - Obodník (400; 300)	3,800	Čára	N904	N910	roanik (80)	standard	vazník
B633	práh 4 - Obodník (400; 400)	3,800	Čára	N904	N156	roanik (80)	standard	vazník
B634	práh 3 - Obodník (400; 300)	3,800	Čára	N905	N157	roanik (80)	standard	vazník
B635	práh 4 - Obodník (400; 400)	3,800	Čára	N905	N317	roanik (80)	standard	vazník
B636	práh 3 - Obodník (400; 300)	3,800	Čára	N906	N317	roanik (80)	standard	vazník
B637	práh 4 - Obodník (400; 400)	3,800	Čára	N906	N315	roanik (80)	standard	vazník
B638	práh 3 - Obodník (400; 300)	3,800	Čára	N907	N315	roanik (80)	standard	vazník
B639	práh 4 - Obodník (400; 400)	3,800	Čára	N907	N313	roanik (80)	standard	vazník
B640	práh 3 - Obodník (400; 300)	3,800	Čára	N908	N160	roanik (80)	standard	vazník
B641	práh 4 - Obodník (400; 400)	3,800	Čára	N908	N311	roanik (80)	standard	vazník
B642	práh 3 - Obodník (400; 300)	3,800	Čára	N909	N1161	roanik (80)	standard	vazník
B643	práh 4 - Obodník (400; 400)	3,800	Čára	N909	N309	roanik (80)	standard	vazník

2. Plocha

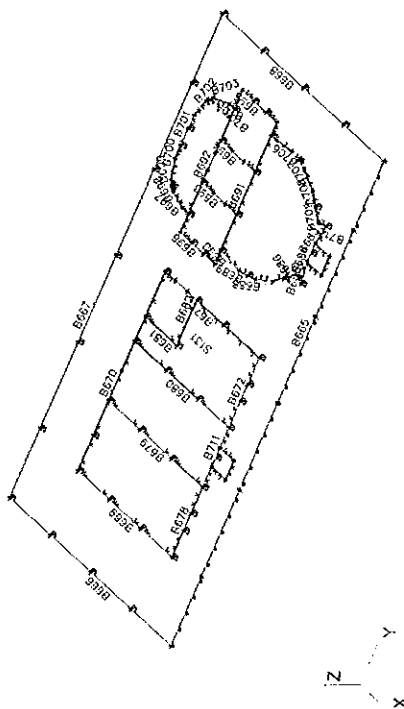
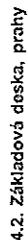
[illegible]

15/05/2014

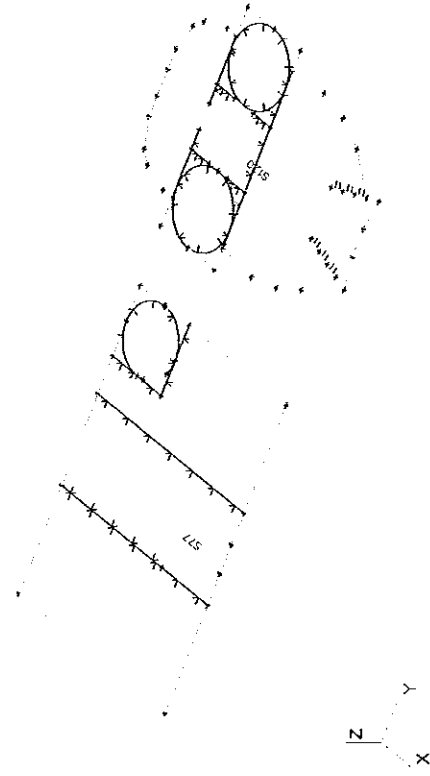
Univerno	Pradax	Dakia [m]	Tvar	Poč. uzal	Konc. uzal	Typ	PEM typ	Vrstva
39643	zabro - Odadnik (250; 379)	2,540	Čara	N309	N163	rcanik (80)	standard	zabro
39644	zabro 1150/075 - Odadnik (1150; 379)	3,620	Čara	N1163	N163	rcanik (80)	standard	zabro
39645	zabro - Odadnik (400; 400)	4,800	Čara	N976	N876	zabro deaky (92)	standard	zabro - stop
39646	zabro - Odadnik (400; 400)	5,000	Čara	N976	N845	zabro deaky (92)	standard	zabro - stop
39647	zabro - Odadnik (400; 400)	5,000	Čara	N8	N5	zabro deaky (92)	standard	zabro - stop
39648	zabro - Odadnik (400; 400)	5,000	Čara	N5	N4	zabro deaky (92)	standard	zabro - stop
39649	zabro - Odadnik (400; 400)	5,000	Čara	N4	N10	zabro deaky (92)	standard	zabro - stop
39650	zabro - Odadnik (400; 400)	4,800	Čara	N1155	N1156	rcanik (80)	standard	zabro - stop
39651	CS11 - IPE 180	33,600	Čara	N944	N681	rcanik (80)	standard	vaznik
39652	CS2 - HEA200	0,500	Čara	N944	N682	rcanik (80)	standard	vaznik
39653	CS2 - HEA200	0,500	Čara	N7	N226	rcanik (80)	standard	vaznik
39654	CS2 - HEA200	0,500	Čara	N6	N214	rcanik (80)	standard	vaznik
39655	CS2 - HEA200	0,500	Čara	N3	N190	rcanik (80)	standard	vaznik
39656	CS13 - RO101.904	6,000	Čara	N963	N323	rcanik (80)	standard	zavrtneval
39657	CS13 - RO101.904	6,000	Čara	N964	N693	rcanik (80)	standard	zavrtneval
39658	CS13 - RO101.904	4,750	Čara	N1218	N693	rcanik (80)	standard	zavrtneval
39659	CS13 - RO101.904	6,000	Čara	N965	N884	rcanik (80)	standard	zavrtneval
39660	CS13 - RO101.904	6,000	Čara	N965	N238	rcanik (80)	standard	zavrtneval
39661	CS13 - RO101.904	4,750	Čara	N1219	N896	rcanik (80)	standard	zavrtneval
39662	CS13 - RO101.904	6,000	Čara	N966	N885	rcanik (80)	standard	zavrtneval
39663	CS13 - RO101.904	6,000	Čara	N965	N332	rcanik (80)	standard	zavrtneval
39664	prah 1 - Odadnik (250; 660)	18,200	Čara	N913	N911	zabro deaky (92)	standard	zabrovala deaka
39665	prah 1 - Odadnik (600; 650)	33,600	Čara	N911	N920	zabro deaky (92)	standard	zabrovala deaka
39666	prah 1 - Odadnik (600; 650)	33,600	Čara	N920	N903	zabro deaky (92)	standard	zabrovala deaka
39667	prah 1 - Odadnik (600; 650)	18,200	Čara	N909	N913	zabro deaky (92)	standard	zabrovala deaka
39668	prah 1 - Odadnik (600; 650)	9,461	Čara	N923	N928	zabro deaky (92)	standard	zabrovala deaka
39669	prah 1 - Odadnik (600; 650)	13,810	Čara	N928	N933	zabro deaky (92)	standard	zabrovala deaka
39670	prah 1 - Odadnik (600; 650)	9,461	Čara	N928	N933	zabro deaky (92)	standard	zabrovala deaka
39671	prah 1 - Odadnik (600; 650)	4,944	Čara	N933	N933	zabro deaky (92)	standard	zabrovala deaka
39672	prah 1 - Odadnik (600; 650)	9,461	Čara	N950	N923	zabro deaky (92)	standard	zabrovala deaka
39673	prah 1 - Odadnik (600; 650)	9,461	Čara	N950	N954	zabro deaky (92)	standard	zabrovala deaka
39674	prah 1 - Odadnik (600; 650)	9,461	Čara	N939	N956	zabro deaky (92)	standard	zabrovala deaka
39675	prah 1 - Odadnik (600; 650)	3,150	Čara	N1058	N1055	zabro deaky (92)	standard	zabrovala deaka
39676	prah 1 - Odadnik (600; 650)	3,148	Čara	N1055	N1055	zabro deaky (92)	standard	zabrovala deaka
39677	prah 1 - Odadnik (600; 650)	1,373	Čara	N965	N966	zabro deaky (92)	standard	zabrovala deaka
39678	prah 1 - Odadnik (600; 650)	1,286	Čara	N966	N966	zabro deaky (92)	standard	zabrovala deaka
39679	prah 1 - Odadnik (600; 650)	1,308	Čara	N960	N959	zabro deaky (92)	standard	zabrovala deaka
39680	prah 1 - Odadnik (600; 650)	0,683	Čara	N959	N962	zabro deaky (92)	standard	zabrovala deaka
39681	prah 1 - Odadnik (600; 650)	1,990	Čara	N1048	N862	zabro deaky (92)	standard	zabrovala deaka
39682	prah 1 - Odadnik (600; 650)	1,453	Čara	N1048	N1050	zabro deaky (92)	standard	zabrovala deaka
39683	prah 1 - Odadnik (600; 650)	1,453	Čara	N1050	N1052	zabro deaky (92)	standard	zabrovala deaka
39684	prah 1 - Odadnik (600; 650)	9,833	Čara	N972	N976	zabro deaky (92)	standard	zabrovala deaka
39685	prah 1 - Odadnik (600; 650)	9,833	Čara	N976	N981	zabro deaky (92)	standard	zabrovala deaka
39686	prah 1 - Odadnik (600; 650)	3,450	Čara	N1028	N1031	zabro deaky (92)	standard	zabrovala deaka
39687	prah 1 - Odadnik (600; 650)	3,450	Čara	N1040	N1035	zabro deaky (92)	standard	zabrovala deaka
39688	prah 1 - Odadnik (600; 650)	3,450	Čara	N975	N981	zabro deaky (92)	standard	zabrovala deaka
39689	prah 1 - Odadnik (600; 650)	3,450	Čara	N976	N981	zabro deaky (92)	standard	zabrovala deaka
39690	prah 1 - Odadnik (600; 650)	0,500	Čara	N987	N1020	zabro deaky (92)	standard	zabrovala deaka
39691	prah 1 - Odadnik (600; 650)	1,308	Čara	N1020	N1140	zabro deaky (92)	standard	zabrovala deaka
39692	prah 1 - Odadnik (600; 650)	0,687	Čara	N1140	N1139	zabro deaky (92)	standard	zabrovala deaka
39693	prah 1 - Odadnik (600; 650)	1,308	Čara	N1012	N1015	zabro deaky (92)	standard	zabrovala deaka
39694	prah 1 - Odadnik (600; 650)	3,307	Čara	N1012	N1015	zabro deaky (92)	standard	zabrovala deaka
39695	prah 1 - Odadnik (600; 650)	1,308	Čara	N1015	N1138	zabro deaky (92)	standard	zabrovala deaka
39696	prah 1 - Odadnik (600; 650)	0,687	Čara	N1138	N1137	zabro deaky (92)	standard	zabrovala deaka
39697	prah 1 - Odadnik (600; 650)	1,308	Čara	N1018	N984	zabro deaky (92)	standard	zabrovala deaka
39698	prah 1 - Odadnik (600; 650)	0,590	Čara	N1018	N984	zabro deaky (92)	standard	zabrovala deaka
39699	prah 1 - Odadnik (600; 650)	1,980	Čara	N974	N1046	zabro deaky (92)	standard	zabrovala deaka
39700	prah 1 - Odadnik (600; 650)	1,453	Čara	N1046	N1044	zabro deaky (92)	standard	zabrovala deaka
39701	prah 1 - Odadnik (600; 650)	1,453	Čara	N1044	N1042	zabro deaky (92)	standard	zabrovala deaka
39702	prah 1 - Odadnik (600; 650)	1,900	Čara	N968	N985	zabro deaky (92)	standard	zabrovala deaka
39703	prah 1 - Odadnik (600; 650)	0,883	Čara	N968	N985	zabro deaky (92)	standard	zabrovala deaka
39704	prah 1 - Odadnik (600; 650)	4,122	Čara	N985	N939	zabro deaky (92)	standard	zabrovala deaka

3. Ötör

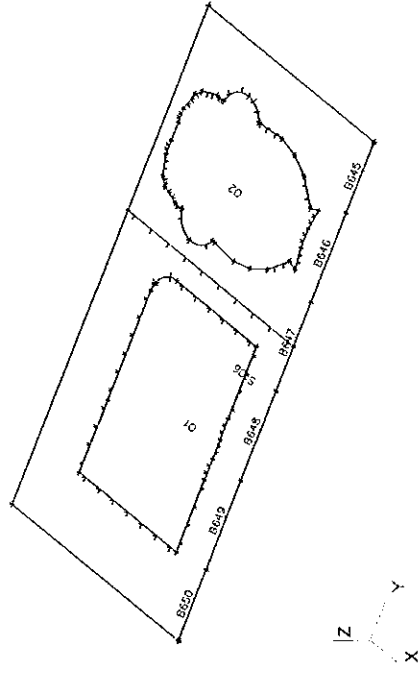
Jméno	Plocha
Q1	S108
Q2	S108



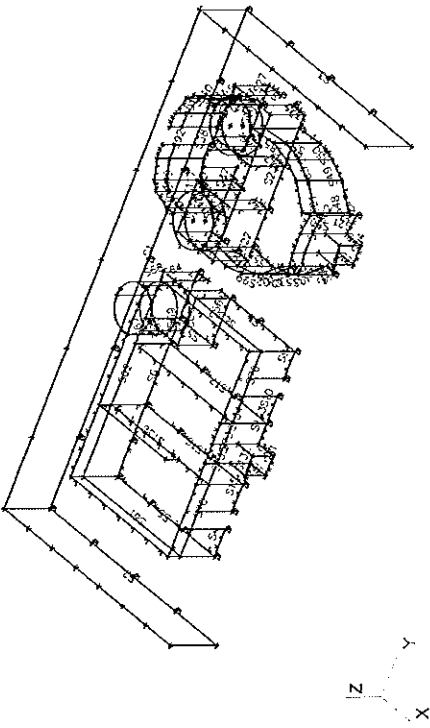
4.5. Dno bazénu



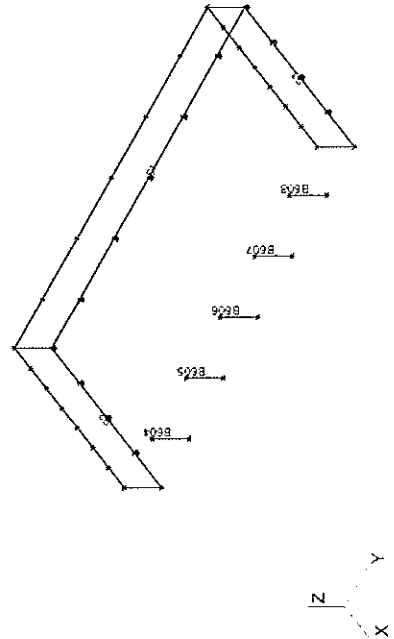
4.6. Strop 1.PP



4.3. Stěny 1.PP

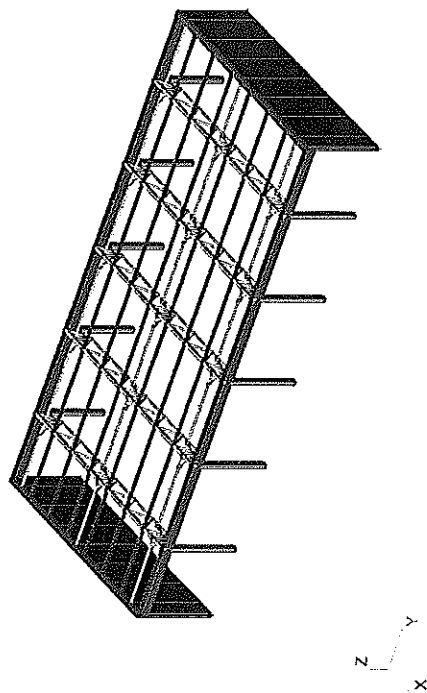


4.4. Sloupky 1.PP

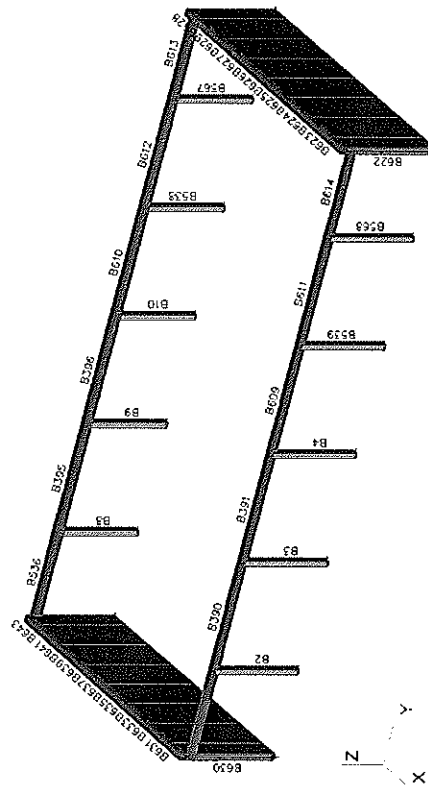


5. 1.NP

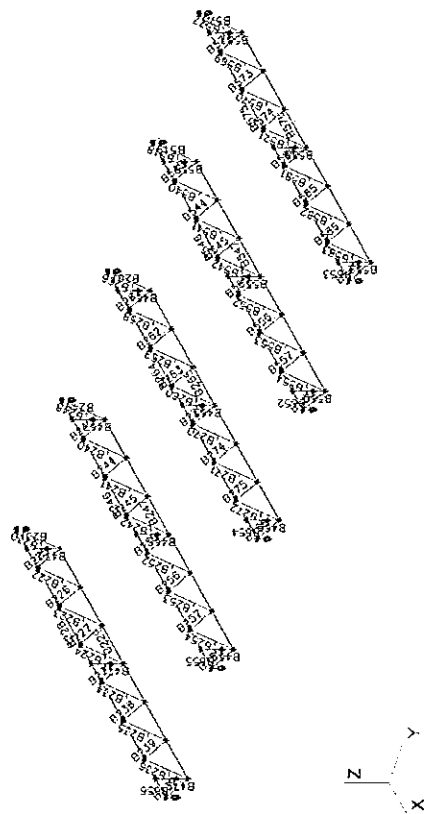
5.1. Výpočtový model - 1.NP



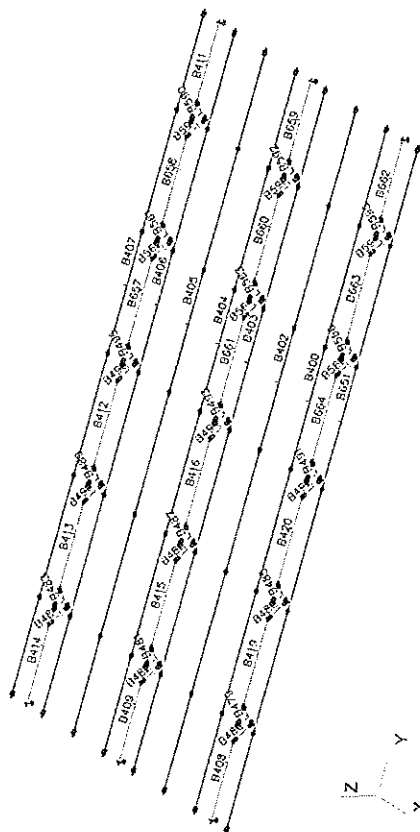
5.2. Stěny, sloupky a průvlaky 1.NP



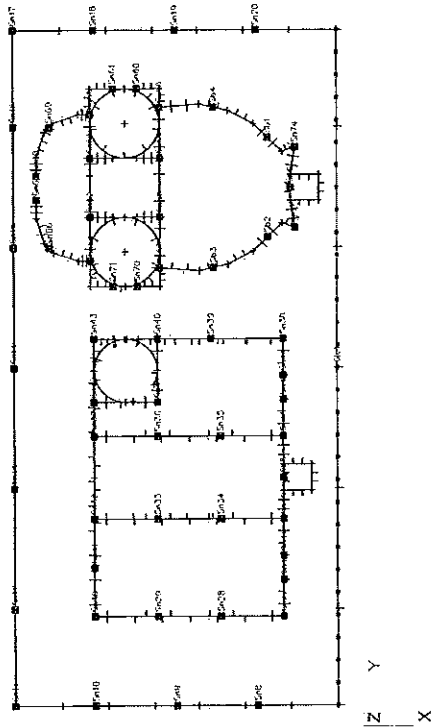
5.3. Vazníky



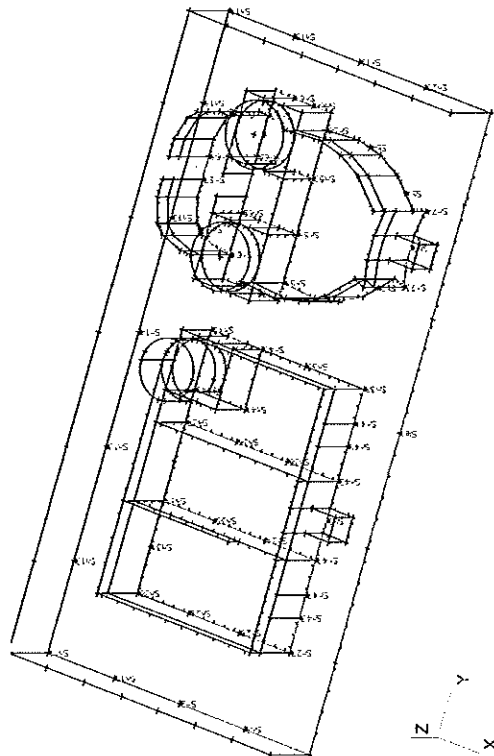
5.4. Vaznice, zavětrování



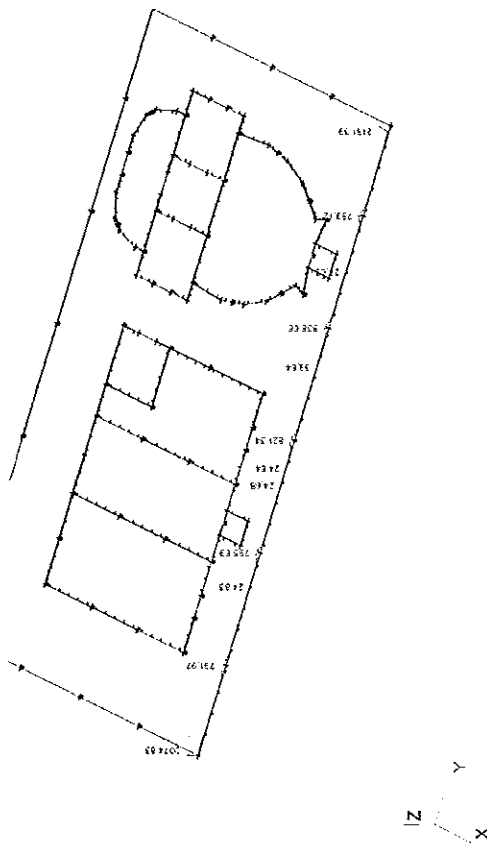
1. Popis podpor



2. Popis podpor



3. Intenzity na prvcích; Rz



4. Reakce

Lineární výpočet, Extrém : Uzel
Váha : Vše
Třída : RC1

Podpora	Slav	dx [m]	Rx [kN]	Ry [kN]	Rz [kN]
Sr3N322	CO119	0,00	0,00	0,00	0,17
Sr3N322	CO520	0,00	0,00	0,00	0,12
Sr3N322	CO121	0,00	0,00	0,00	0,26
Sr4N289	CO119	0,00	0,00	0,00	0,17
Sr4N289	CO122	0,00	0,00	0,00	0,14
Sr4N289	CO523	0,00	0,00	0,00	0,25
Sr5N148	CO119	0,00	0,00	0,00	0,22
Sr5N148	CO124	0,00	0,00	0,00	0,16
Sr5N148	CO55	0,00	0,00	0,00	0,37
Sr6N144	CO119	0,00	0,00	0,00	0,17
Sr6N144	CO525	0,00	0,00	0,00	0,12
Sr6N144	CO11	0,00	0,00	0,00	0,26
Sr6N164	CO126	-47,44	-210,70	857,14	0,26
Sr6N164	CO527	-4,38	22,90	524,17	0,26
Sr6N164	CO128	-58,12	-222,87	741,24	0,26
Sr6N164	CO529	-18,25	43,40	824,81	0,26
Sr6N164	CO530	-4,51	22,94	518,87	0,26
Sr6N164	CO131	-67,23	-210,68	857,88	0,26
Sr6N165	CO132	-121,45	-215,18	798,76	0,26
Sr6N165	CO533	-5,43	21,83	481,54	0,26
Sr6N165	CO134	-113,49	-227,28	686,60	0,26
Sr6N165	CO535	-12,37	41,48	694,63	0,26
Sr6N165	CO530	-3,95	21,18	476,77	0,26
Sr6N165	CO136	-117,12	-215,15	801,95	0,26
Sr6N165	CO137	-189,23	-207,27	684,91	0,26
Sr6N165	CO538	17,89	42,66	697,77	0,26
Sr6N165	CO134	-162,94	-208,15	862,56	0,26
Sr6N165	CO523	14,83	43,68	781,63	0,26
Sr6N165	CO509	0,94	23,84	480,03	0,26

Bazén Domazlice
Přístavba
Prostřední model
Ing. Havel Josef



Projekt
Číslo
Podpis
Autor

Bazén Domazlice
Přístavba
Prostřední model
Ing. Havel Josef

Podpora	Stav	dx (m)	Rx (mm)	Ry (mm)	Rz (mm)
Sr28N1176	CO169		-56,72	-49,07	381,27
Sr28N1176	CO351		-36,36	23,81	713,94
Sr28N1175	CO185		-80,52	-64,18	627,55
Sr28N1175	CO570		17,82	23,02	559,95
Sr28N1175	CO171		-76,15	-67,03	515,47
Sr28N1175	CO572		12,78	26,09	675,07
Sr28N1175	CO169		-48,53	-49,63	375,42
Sr28N1175	CO551	1,24	23,54	709,06	
Sr30N926	CO173		-48,97	-42,62	434,32
Sr30N926	CO574		43,00	23,65	547,09
Sr30N926	CO184		-45,36	-44,87	426,00
Sr30N926	CO575		39,43	26,23	546,04
Sr30N926	CO176		-52,75	-30,64	313,38
Sr30N926	CO577		41,22	24,34	578,95
Sr31N1183	CO178		-94,04	-42,85	383,17
Sr31N1183	CO579	20,14	21,20	478,54	
Sr31N1183	CO148		-91,76	-47,44	440,22
Sr31N1183	CO580	26,27	25,74	401,54	
Sr31N1183	CO181		-69,66	-27,63	263,11
Sr31N1183	CO582	26,38	6,79	598,73	
Sr32N954	CO183		-107,97	-38,63	578,75
Sr32N954	CO584	35,43	3,38	830,21	
Sr32N954	CO148		-104,20	-44,13	688,70
Sr32N954	CO580	51,74	8,85	730,31	
Sr32N954	CO185		-81,05	-26,68	424,32
Sr32N954	CO586	55,34	3,19	839,44	
Sr32N1177	CO187		-80,03	-15,32	670,87
Sr32N1177	CO570	27,90	3,83	855,14	
Sr32N1177	CO148		-73,78	-15,68	667,92
Sr32N1177	CO588	26,68	4,59	782,73	
Sr32N1177	CO589	7,63	-2,08	422,25	
Sr32N1177	CO180		-48,08	-6,96	950,65
Sr34N1178	CO126		-91,44	-14,38	843,08
Sr34N1178	CO525	416,02	-14,78	-2,07	416,02
Sr34N1178	CO191		-74,04	-17,21	656,40
Sr34N1178	CO592	37,39	3,49	787,75	
Sr34N1178	CO589		-14,81	-2,07	415,76
Sr34N1178	CO180		-50,51	-9,31	941,50
Sr35N1180	CO525	-11,53	-11,69	867,54	
Sr35N1180	CO184		-70,17	-12,12	867,51
Sr35N1180	CO520	-12,10	-0,31	383,21	
Sr35N1180	CO595	-13,32	-0,79	382,35	
Sr35N1180	CO186		-70,45	-11,76	868,02
Sr36N1179	CO187		-70,21	-12,32	508,80
Sr36N1179	CO597	37,84	-15,71	680,18	
Sr36N1179	CO188		-33,53	-23,22	725,78
Sr36N1179	CO599		-3,17	-2,76	395,16
Sr36N1179	CO169		-41,17	-6,69	335,96
Sr36N1179	CO579	6,13	-15,73	785,55	
Sr37N955	CO183		-110,49	-16,03	452,64
Sr37N955	CO584	36,27	7,59	724,57	
Sr37N955	CO1101		-99,33	-19,13	560,39
Sr37N955	CO5101	21,17	13,60	626,94	
Sr37N955	CO185		-82,80	-11,10	300,15
Sr37N955	CO588	36,10	7,42	724,77	
Sr38N933	CO128		-59,39	3,19	634,43
Sr38N933	CO525	-11,02	0,22	334,41	
Sr38N933	CO597		-18,95	-4,08	405,76
Sr38N933	CO1102		-50,79	5,81	526,48
Sr38N933	CO520	-12,32	2,59	328,36	
Sr39N1181	CO131		-80,08	-9,83	684,90
Sr39N1181	CO525	-3,45	-3,87	385,68	
Sr39N1181	CO198		-80,01	-12,26	559,13
Sr39N1181	CO589		-6,59	-2,86	472,84
Sr39N1181	CO5103	-4,61	-3,26	381,95	

Podpora	Stav	dx [m]	Rx [mm]	Ry [mm]	Rz [mm]
Sr30N1181	CO1160		-78,90	4,60	685,38
Sr40N1056	CO1183		-55,95	4,50	589,94
Sr40N1056	CO5184		33,48	12,12	701,14
Sr40N1056	CO1104		26,77	-3,19	570,44
Sr40N1056	CO5101		27,56	22,03	659,60
Sr40N1056	CO1176		44,88	3,24	433,48
Sr40N1056	CO5182		32,50	17,48	725,45
Sr41N1055	CO1187		-46,63	-28,87	506,99
Sr41N1055	CO5105		26,37	-28,93	443,69
Sr41N1055	CO1154		-21,35	-38,35	513,31
Sr41N1055	CO5120		9,71	-10,81	316,04
Sr41N1055	CO5189		9,30	-12,99	312,33
Sr41N1055	CO1131		-38,34	-35,67	549,83
Sr42N1058	CO1183		-113,90	-42,70	521,01
Sr42N1058	CO5167		18,96	-33,81	656,42
Sr42N1058	CO1194		-83,91	-41,05	615,56
Sr42N1058	CO5120		7,86	-8,61	430,33
Sr42N1058	CO1181		-85,51	-31,16	381,61
Sr42N1058	CO5155		15,36	-28,04	698,97
Sr43N1058	CO1183		-109,38	1,62	428,88
Sr43N1058	CO5106		8,23	8,87	502,70
Sr43N1058	CO1104		-78,62	-1,83	368,54
Sr43N1058	CO5101		5,80	10,39	515,64
Sr43N1058	CO1154		-31,61	1,16	316,08
Sr43N1058	CO5155		6,22	7,86	535,97
Sr44N1058	CO1193		-14,58	-33,60	268,85
Sr44N1058	CO5125		-3,58	-14,85	160,06
Sr44N1058	CO1107		-13,62	-37,48	212,34
Sr44N1058	CO5108		-4,15	-9,18	237,56
Sr44N1058	CO1126		-14,20	-28,69	294,55
Sr45N1040	CO1150		-16,31	11,51	228,75
Sr45N1040	CO5189		-3,57	11,49	134,83
Sr45N1040	CO1104		-14,54	4,92	177,56
Sr45N1040	CO5108		-3,69	21,46	209,11
Sr45N1040	CO5120		-3,78	13,26	127,84
Sr45N1040	CO1121		-13,73	15,00	247,10
Sr46N1052	CO1131		-19,68	-6,65	266,82
Sr46N1052	CO5125		-4,34	12,48	153,80
Sr46N1052	CO1181		-16,89	-14,97	288,61
Sr46N1052	CO5110		-8,67	30,60	101,02
Sr46N1052	CO5120		-4,37	14,71	148,21
Sr46N1052	CO1111		-19,12	-7,87	288,34
Sr47N1052	CO1112		-18,81	26,87	157,02
Sr47N1052	CO5113		-3,61	-15,80	159,65
Sr47N1052	CO1114		-13,15	-40,21	184,40
Sr47N1052	CO5188		-10,98	-7,29	156,80
Sr47N1052	CO1115		-6,62	-28,48	107,08
Sr47N1052	CO5143		-8,19	-16,14	224,15
Sr47N1052	CO1116		-70,35	-2,64	656,01
Sr48N1039	CO5127		-16,86	0,50	341,51
Sr48N1039	CO1116		-36,48	-13,77	410,07
Sr48N1039	CO5168		-50,63	18,32	634,22
Sr48N1039	CO5125		-16,87	0,46	340,14
Sr48N1039	CO1193		-70,35	2,96	656,28
Sr48N1039	CO1180		-77,99	-52,25	685,02
Sr48N1039	CO5117		-19,31	-11,37	351,42
Sr48N1039	CO1121		-67,89	-58,06	675,96
Sr48N1039	CO5120		-20,09	-3,44	347,04
Sr48N1039	CO1193		-77,87	-52,36	687,58
Sr48N1039	CO1118		-59,75	36,08	478,08
Sr48N1039	CO5114		-42,56	-9,58	398,55
Sr48N1039	CO1180		-34,72	33,09	530,60
Sr48N1039	CO119		-35,78	71,21	443,13
Sr48N1039	CO1119		-26,47	51,69	281,77
Sr48N1039	CO5164		-30,11	-26,65	592,30
Sr48N1039	CO1120		-44,89	40,04	594,10

Podpora	Stav	dx [m]	Rx [mm]	Ry [mm]	Rz [mm]
Sr57N1071	CO5120		-2,19	11,53	336,72
Sr57N1071	CO5121		-8,79	0,38	403,89
Sr57N1071	CO1122		-59,89	-48,01	547,36
Sr57N1071	CO5123		-10,57	7,16	326,91
Sr57N1071	CO1186		-50,82	42,94	600,94
Sr58N1028	CO1181		17,88	24,57	450,27
Sr58N1028	CO5177		47,27	5,70	898,53
Sr58N1028	CO5121		32,07	-6,59	526,31
Sr58N1028	CO1122		27,60	45,07	901,05
Sr58N1028	CO5127		33,48	0,17	423,41
Sr58N1028	CO1124		27,48	37,90	908,09
Sr58N1040	CO1181		21,49	29,82	455,29
Sr58N1040	CO5123		47,19	-4,08	898,56
Sr58N1040	CO5160		40,98	-11,58	876,26
Sr58N1040	CO1173		32,78	48,41	694,10
Sr58N1040	CO5117		33,27	-6,15	426,31
Sr58N1040	CO1125		32,13	37,14	977,57
Sr58N1040	CO1180		-77,06	47,01	142,64
Sr58N1040	CO5103		-30,30	-9,10	102,84
Sr58N1040	CO5184		-5,11	-18,90	156,58
Sr58N1040	CO1158		-62,89	52,72	110,30
Sr58N1040	CO1126		-45,34	39,29	81,36
Sr58N1040	CO5182		-55,03	-16,32	172,98
Sr58N1040	CO1181		0,96	35,05	136,07
Sr58N1040	CO5155		62,84	-15,78	208,64
Sr58N1040	CO5147		81,80	-15,90	212,00
Sr58N1040	CO1148		1,81	48,15	173,87
Sr58N1040	CO5103		36,58	-8,11	117,72
Sr58N1040	CO1160		14,25	43,62	222,76
Sr58N1040	CO1183		-40,64	-11,06	402,61
Sr58N1040	CO5127		6,09	-15,16	469,08
Sr58N1040	CO5128		-21,18	-28,35	432,23
Sr58N1040	CO1123		-25,52	-6,53	400,92
Sr58N1040	CO1119		-44,49	-8,22	294,43
Sr58N1040	CO5151		-11,31	-25,19	504,92
Sr58N1040	CO1173		42,95	48,38	440,73
Sr58N1040	CO5127		6,09	13,62	451,42
Sr58N1040	CO5167		5,22	7,32	407,33
Sr58N1040	CO1173		-50,67	54,80	485,17
Sr58N1040	CO5144		-16,05	10,16	296,50
Sr58N1040	CO1171		-51,08	53,24	540,51
Sr58N1040	CO1183		-43,01	-5,43	434,45
Sr58N1040	CO5167		21,29	-2,43	482,11
Sr58N1040	CO5130		14,90	-19,53	423,86
Sr58N1040	CO1129		-40,55	9,31	413,34
Sr58N1040	CO5125		11,60	-0,47	296,72
Sr58N1040	CO1126		-49,68	-8,08	551,43
Sr58N1040	CO1173		-49,40	68,79	386,73
Sr58N1040	CO5172		22,26	-1,26	485,65
Sr58N1040	CO5131		15,59	-8,64	375,78
Sr58N1040	CO1132		64,25	73,90	438,06
Sr58N1040	CO1119		-47,61	53,61	275,55
Sr58N1040	CO5151		17,94	2,00	487,96
Sr58N1040	CO1183		-132,13	53,42	322,66
Sr58N1040	CO5133		7,62	8,76	381,82
Sr58N1040	CO5114		6,96	3,13	298,27
Sr58N1040	CO1134		-131,89	57,04	348,63
Sr58N1040	CO1154		-98,08	40,24	204,62
Sr58N1040	CO5123		6,80	12,47	412,07
Sr58N1040	CO1165		-132,34	46,64	143,12
Sr58N1040	CO5179		4,51	33,25	188,73
Sr58N1040	CO5125		0,42	17,03	130,96
Sr58N1040	CO1138		-130,75	52,48	178,18
Sr58N1040	CO1154		-87,75	34,51	101,41
Sr58N1040	CO5155		2,51	30,22	211,26
Sr58N1040	CO1166		-129,85	-5,39	201,39

Podpora	Stav	dx [mm]	Rx [kN]	Ry [kN]	Rz [kN]
Sr68N1016	CO5/70	4.54	-41.05	180.36	
Sr68N1016	CO5/55	2.61	-42.83	208.79	
Sr68N1016	CO1/2	-95.93	-1.97	152.10	
Sr68N1016	CO5/44	0.75	-25.60	121.74	
Sr68N1016	CO1/1	-127.53	-11.36	240.00	
Sr68N1185	CO5/137	96.45	5.54	313.22	
Sr68N1185	CO5/137	7.23	-19.68	352.35	
Sr68N1185	CO5/43	3.37	26.90	365.43	
Sr68N1185	CO1/138	-78.02	9.00	270.88	
Sr68N1185	CO1/54	-72.91	3.35	229.77	
Sr68N1185	CO5/23	6.55	-24.05	300.40	
Sr70N1187	CO1/26	-95.62	8.40	132.36	
Sr70N1187	CO5/25	-30.46	3.68	96.91	
Sr70N1187	CO1/15	-40.67	5.09	90.81	
Sr70N1187	CO5/72	-49.57	11.97	146.38	
Sr70N1187	CO1/61	-43.92	3.97	75.15	
Sr70N1187	CO5/77	-52.89	10.59	158.80	
Sr71N1186	CO1/63	-15.73	-0.40	205.11	
Sr71N1186	CO5/77	63.15	7.13	-203.06	
Sr71N1186	CO1/16	-11.74	-0.99	169.88	
Sr71N1186	CO5/75	-58.68	7.96	192.44	
Sr71N1188	CO5/25	37.24	3.15	117.33	
Sr71N1188	CO1/28	-2.71	1.68	247.10	
Sr72N1218	CO1/19	0.00	0.00	0.22	
Sr72N1218	CO5/20	0.00	0.00	0.16	
Sr72N1218	CO1/21	0.00	0.00	0.37	
Sr73N1219	CO1/18	0.00	0.00	0.17	
Sr73N1219	CO1/19	0.00	0.00	0.14	
Sr73N1219	CO5/55	0.00	0.00	0.25	
Sr74N985	CO1/20	-30.11	27.48	350.49	
Sr74N985	CO5/25	-16.92	-2.79	217.55	
Sr74N985	CO5/40	-46.55	-9.97	320.50	
Sr74N985	CO1/59	-42.39	43.08	343.49	
Sr74N985	CO5/20	-18.05	0.86	216.81	
Sr74N985	CO1/28	-40.63	35.28	397.21	
Sr75N950	CO1/20	-73.39	21.34	351.91	
Sr75N950	CO5/20	-16.84	2.97	220.09	
Sr75N950	CO5/44	-20.55	-1.05	227.08	
Sr75N950	CO1/25	-71.16	24.13	347.96	
Sr75N950	CO5/25	-17.04	-0.27	218.48	
Sr75N950	CO1/28	-50.46	19.46	399.50	
Sr187/09	CO1/65	-51.38	83.40	565.06	
Sr187/09	CO5/141	0.995	25.77	-30.48	827.44
Sr187/09	CO5/70	0.995	25.11	-30.93	678.86
Sr187/09	CO5/103	0.995	-4.14	-2.44	345.58
Sr187/09	CO1/30	0.995	-15.50	45.14	775.52
Sr2/08/07	CO1/65	0.995	-20.93	-7.45	563.60
Sr2/08/07	CO5/68	0.995	33.15	32.13	628.83
Sr2/08/07	CO5/142	0.995	-9.08	-9.70	482.58
Sr2/08/07	CO1/143	0.995	21.05	32.19	705.17
Sr2/08/07	CO5/69	0.995	-0.35	1.06	800.90
Sr3/06/08	CO1/50	0.995	13.96	22.17	672.94
Sr3/06/08	CO5/144	0.995	-42.92	0.13	516.02
Sr3/06/08	CO1/145	0.995	12.28	1.89	594.25
Sr3/06/08	CO5/146	0.995	-35.96	-2.21	428.02
Sr3/06/08	CO5/69	0.995	7.27	11.90	344.24
Sr4/07/07	CO1/18	0.995	7.27	8.34	367.52
Sr4/07/07	CO5/147	0.995	-24.44	-0.83	763.57
Sr4/07/07	CO5/148	0.995	-68.56	77.55	584.20
Sr4/07/07	CO1/19	0.995	10.91	-12.08	537.47
Sr4/07/07	CO5/149	0.995	-54.19	-43.05	612.57
Sr4/07/07	CO1/119	0.995	-32.77	86.52	556.88
Sr4/07/07	CO5/78	0.995	-12.13	-9.38	736.87
Sr5/03/11	CO1/150	2.061	-2.07	2.45	261.96
Sr5/03/11	CO5/140	2.061	10.02	0.68	341.66

5. Reakce

Línovní výpočet, Během : Uzel

Výpočet : Všechny

Tabulka : RZ2

Podpora	Stav	dx [mm]	Rx [kN]	Ry [kN]	Rz [kN]
Sr3/N322	CO3/19		0.00	0.00	0.17
Sr3/N322	CO3/156		0.00	0.00	0.13
Sr3/N322	CO3/157		0.00	0.00	0.20
Sr4/N289	CO3/19		0.00	0.00	0.17
Sr4/N289	CO3/156		0.00	0.00	0.15
Sr4/N289	CO3/159		0.00	0.00	0.19
Sr5/N143	CO3/19		0.00	0.00	0.22
Sr5/N143	CO3/160		0.00	0.00	0.18
Sr5/N143	CO3/161		0.00	0.00	0.30
Sr6/N144	CO3/19		0.00	0.00	0.17
Sr6/N144	CO3/162		0.00	0.00	0.13
Sr6/N144	CO3/163		0.00	0.00	0.20
Sr8/N1164	CO3/164		-30.67	-153.82	655.28
Sr8/N1164	CO3/165		-5.78	23.05	525.97
Sr8/N1164	CO3/158		-42.15	-185.20	546.05
Sr8/N1164	CO3/166		-14.25	34.40	631.28
Sr8/N1164	CO3/167		-5.86	23.01	522.30
Sr8/N1164	CO3/168		-50.53	-153.80	655.64
Sr9/N1165	CO3/169		-80.75	-160.24	594.03
Sr9/N1165	CO3/170		-7.17	21.73	481.80
Sr9/N1165	CO3/171		-83.04	-168.44	514.30
Sr9/N1165	CO3/172		-10.75	32.70	576.41
Sr9/N1165	CO3/173		-7.52	21.26	478.63
Sr9/N1165	CO3/174		-87.06	-157.08	612.48
Sr10/N1168	CO3/175		-126.47	-153.20	492.54
Sr10/N1168	CO3/176		13.47	33.88	579.86
Sr10/N1168	CO3/177		-118.92	-154.27	489.75
Sr10/N1168	CO3/178		12.03	34.53	593.77
Sr10/N1168	CO3/179		2.81	23.73	482.91
Sr10/N1168	CO3/180		-115.32	-143.37	587.98
Sr11/N920	CO3/178		-117.81	-109.01	146.78
Sr11/N920	CO3/179		26.02	48.55	401.10
Sr11/N920	CO3/180		-115.05	-110.67	154.04
Sr11/N920	CO3/181		-117.67	-108.80	145.92
Sr12/N1170	CO3/158		-170.49	-98.48	615.63
Sr12/N1170	CO3/161		32.86	30.03	724.42
Sr12/N1170	CO3/162		-168.14	-101.09	613.78
Sr12/N1170	CO3/163		30.23	41.32	740.84
Sr12/N1170	CO3/164		23.58	27.41	584.99
Sr12/N1170	CO3/184		-156.08	-94.77	734.07
Sr12/N1170	CO3/171		-187.15	-60.72	687.88

Podpora	Stav	dt [m]	Rx [kN]	Ry [kN]	Rz [kN]
Sn30/N208	CO3/171		-47,80	-53,84	315,77
Sn30/N208	CO7/222		31,27	20,24	440,22
Sn30/N208	CO3/223		-51,71	-31,18	315,96
Sn30/N208	CO7/224		31,31	18,65	447,32
Sn30/N208	CO3/225		-70,15	-32,64	269,80
Sn31/N1183	CO7/215		22,61	15,20	337,77
Sn31/N1183	CO3/204		-87,35	-35,81	342,21
Sn31/N1183	CO7/226		20,69	18,17	335,44
Sn31/N1183	CO3/220		-69,67	-28,47	264,50
Sn31/N1183	CO7/227		22,51	12,71	391,01
Sn31/N1183	CO3/223		-80,42	-27,56	427,44
Sn32/N854	CO7/227		42,22	3,04	686,26
Sn32/N854	CO3/168		-76,94	-33,59	504,63
Sn32/N854	CO7/226		36,76	6,09	593,66
Sn32/N854	CO3/218		-80,38	-27,87	427,32
Sn32/N854	CO7/228		42,16	2,81	666,41
Sn32/N854	CO3/223		-60,25	-11,42	512,24
Sn33/N1177	CO7/217		19,27	2,23	666,76
Sn33/N1177	CO3/188		-53,13	-11,68	488,62
Sn33/N1177	CO7/230		16,83	2,50	670,06
Sn33/N1177	CO3/231		6,33	-1,94	423,07
Sn33/N1177	CO3/205		-44,38	-7,26	737,48
Sn34/N1178	CO3/232		-73,35	-8,14	720,18
Sn34/N1178	CO7/182		-16,40	-1,97	416,33
Sn34/N1178	CO3/233		-54,20	-12,81	480,67
Sn34/N1178	CO7/234		-31,84	1,74	864,15
Sn34/N1178	CO7/231		-16,42	-1,87	416,15
Sn35/N1180	CO3/233		-73,34	-9,14	729,33
Sn35/N1180	CO7/162		-12,83	-0,90	382,81
Sn35/N1180	CO3/235		-37,07	-9,15	688,24
Sn35/N1180	CO7/156		-13,31	-0,41	383,09
Sn35/N1180	CO7/238		-14,13	-0,73	382,51
Sn35/N1180	CO3/237		-57,28	-8,51	669,58
Sn36/N1179	CO3/229		-43,08	-9,12	388,44
Sn36/N1179	CO7/217		11,68	-11,52	588,96
Sn36/N1179	CO3/238		-32,94	-17,65	582,77
Sn36/N1179	CO7/238		-2,33	-2,89	376,95
Sn36/N1179	CO3/212		-42,49	-9,55	336,10
Sn36/N1179	CO7/215		3,04	-11,22	603,00
Sn37/N856	CO3/223		-82,29	-11,58	363,05
Sn37/N856	CO7/227		37,45	6,05	576,85
Sn37/N856	CO3/240		-73,89	-14,77	432,27
Sn37/N856	CO7/239		15,93	10,53	459,25
Sn37/N856	CO3/218		-82,22	-11,51	362,84
Sn37/N856	CO7/228		27,34	6,74	576,98
Sn38/N933	CO3/232		-45,28	0,89	483,48
Sn38/N933	CO7/162		-12,40	0,97	334,92
Sn38/N933	CO7/217		-17,68	-1,90	382,39
Sn38/N933	CO3/241		-42,28	4,57	437,54
Sn38/N933	CO7/156		-13,26	2,54	330,79
Sn38/N933	CO3/164		-41,56	2,64	487,58
Sn39/N1181	CO3/242		-80,69	-7,09	497,44
Sn39/N1181	CO7/162		-5,53	-3,80	395,35
Sn39/N1181	CO3/238		-53,01	-8,39	487,59
Sn39/N1181	CO7/238		-7,62	-3,19	443,45
Sn39/N1181	CO7/243		-6,30	-3,30	382,86
Sn39/N1181	CO3/205		-59,62	-9,13	528,57
Sn40/N1056	CO3/223		-42,78	3,30	435,19
Sn40/N1056	CO7/227		20,46	10,88	570,39
Sn40/N1056	CO3/238		-30,70	-8,94	526,46
Sn40/N1056	CO7/244		20,44	17,28	501,36
Sn41/N1055	CO3/229		-35,59	-21,46	387,43
Sn41/N1055	CO7/230		19,30	-20,87	370,51
Sn41/N1055	CO3/235		-21,06	-30,45	421,32
Sn41/N1055	CO7/158		8,93	-11,35	316,83

Podpora	Stav	dt [m]	Rx [kN]	Ry [kN]	Rz [kN]
Sn13/N1171	CO7/181		32,89	-0,10	770,35
Sn13/N1171	CO3/182		-185,26	-62,45	694,48
Sn13/N1171	CO7/185		26,06	756,62	
Sn13/N1171	CO7/183		24,00	-0,20	628,62
Sn13/N1171	CO3/184		-175,95	-55,32	836,97
Sn13/N1171	CO3/186		-181,13	-8,43	653,95
Sn14/N1172	CO7/187		35,15	-8,23	773,27
Sn14/N1172	CO3/188		-173,93	-17,37	763,34
Sn14/N1172	CO7/189		21,03	-2,10	838,35
Sn14/N1172	CO3/183		25,62	-5,35	625,99
Sn14/N1172	CO3/190		-189,54	-16,80	796,45
Sn14/N1172	CO3/191		-142,10	34,17	519,38
Sn15/N1173	CO7/192		12,09	-34,43	583,28
Sn15/N1173	CO7/193		9,05	-37,75	621,41
Sn15/N1173	CO3/194		-140,41	38,67	596,05
Sn15/N1173	CO3/195		-138,48	31,85	476,33
Sn15/N1173	CO7/196		10,14	-35,18	623,64
Sn16/N1174	CO3/197		-132,00	63,90	480,00
Sn16/N1174	CO7/192		10,08	-10,54	516,58
Sn16/N1174	CO7/198		7,50	-15,57	549,21
Sn16/N1174	CO3/198		-131,50	85,62	457,63
Sn16/N1174	CO3/195		-126,23	64,58	430,18
Sn17/N909	CO3/178		-98,11	95,59	173,23
Sn17/N909	CO7/183		22,29	-32,30	388,83
Sn17/N909	CO7/198		21,22	-32,45	378,62
Sn17/N909	CO3/190		-95,71	96,91	178,67
Sn18/N1169	CO3/201		-97,87	96,61	171,99
Sn18/N1169	CO3/180		-20,26	198,11	436,65
Sn18/N1169	CO7/202		7,05	-18,38	493,86
Sn18/N1169	CO7/196		5,22	-20,28	512,62
Sn18/N1169	CO3/203		-82,99	140,17	440,25
Sn18/N1169	CO7/176		-0,38	-14,62	436,22
Sn18/N1169	CO3/204		-92,00	134,20	514,77
Sn19/N1168	CO3/205		-72,98	151,73	507,69
Sn19/N1168	CO7/206		-5,00	-15,31	436,37
Sn19/N1168	CO7/166		-8,89	-22,78	511,08
Sn19/N1168	CO3/207		-65,22	167,62	454,41
Sn19/N1168	CO7/208		-5,18	-15,30	434,71
Sn19/N1168	CO3/173		-69,50	150,13	530,89
Sn20/N1167	CO7/206		-41,03	154,55	644,22
Sn20/N1167	CO7/205		-5,10	-22,54	528,26
Sn20/N1167	CO3/207		-10,74	-33,46	628,31
Sn20/N1167	CO3/207		-32,64	165,45	536,62
Sn20/N1167	CO7/188		-5,86	-22,63	522,37
Sn20/N1167	CO3/210		-40,29	154,67	644,84
Sn27/N923	CO3/211		-50,51	-35,92	420,22
Sn27/N923	CO7/156		-14,80	5,46	304,87
Sn27/N923	CO3/212		-40,37	-41,62	314,87
Sn27/N923	CO7/213		-23,67	11,63	412,65
Sn27/N923	CO3/168		-15,51	3,52	300,48
Sn27/N923	CO7/162		-48,80	-37,75	429,47
Sn28/N1176	CO3/211		-75,19	-41,33	529,61
Sn28/N1176	CO7/156		-15,04	12,07	407,18
Sn28/N1176	CO3/171		-61,00	-49,63	383,32
Sn28/N1176	CO7/214		-25,57	20,22	548,87
Sn28/N1176	CO3/212		-61,11	-40,62	382,93
Sn28/N1176	CO7/215		-29,34	20,10	549,73
Sn28/N1176	CO3/216		-40,61	47,78	457,58
Sn29/N1175	CO7/217		12,40	-18,14	488,08
Sn29/N1175	CO3/218		-57,60	-49,68	382,68
Sn29/N1175	CO7/219		9,04	20,18	544,80
Sn29/N1175	CO3/212		-50,26	-49,62	377,04
Sn29/N1175	CO7/215		5,09	20,02	546,10
Sn30/N926	CO3/220		-51,80	-31,25	314,01
Sn30/N926	CO7/221		33,65	18,70	441,18

Poisson	Slur	α [m]	R_x [m]	R_y [m]	R_z [m]
S#44/N1055	C07231	8.68	6.68	-12.81	374.35
S#44/N1055	C03211	-42.97	-30.40	-426.13	426.13
S#44/N1055	C03222	-48.63	-31.49	-384.24	384.24
S#44/N1058	C07213	14.07	-25.09	537.43	537.43
S#44/N1058	C03235	-75.50	-48.21	-501.71	501.71
S#44/N1058	C07155	7.27	-9.38	426.67	426.67
S#44/N1058	C03220	-94.79	-31.45	-384.15	384.15
S#44/N1058	C07228	13.94	-27.03	537.83	537.83
S#44/N1058	C03223	-81.28	-1.17	-410.98	410.98
S#44/N328	C07224	5.82	7.14	410.98	410.98
S#44/N328	C03238	-78.21	-8.90	-345.39	345.39
S#44/N328	C07244	5.17	-7.97	398.59	398.59
S#44/N328	C03195	-81.21	1.20	-316.82	316.82
S#44/N328	C07196	5.45	6.08	412.14	412.14
S#44/N336	C03222	-117.53	-23.46	-210.55	210.55
S#44/N336	C07162	-3.77	-14.43	161.68	161.68
S#44/N336	C03182	-11.11	-29.05	-181.87	181.87
S#44/N336	C07179	-4.10	-10.65	210.32	210.32
S#44/N336	C03164	-10.43	-20.65	-228.91	228.91
S#44/N340	C03205	-12.68	10.15	-186.79	186.79
S#44/N340	C07231	-3.72	11.90	133.59	133.59
S#44/N340	C03238	-12.27	6.82	-167.08	167.08
S#44/N340	C07245	-4.21	16.69	161.89	161.89
S#44/N340	C07156	-3.87	13.08	128.86	128.86
S#44/N340	C03235	-12.30	9.41	-188.98	188.98
S#44/N342	C03211	-15.82	-0.63	-222.27	222.27
S#44/N342	C07182	-4.49	-12.94	153.10	153.10
S#44/N342	C03246	-12.02	-11.38	-223.04	223.04
S#44/N342	C07247	-7.57	23.63	163.54	163.54
S#44/N342	C07156	-4.51	14.42	148.37	148.37
S#44/N342	C03248	-14.10	-8.65	-229.87	229.87
S#44/N352	C03180	-14.87	-24.30	-331.12	331.12
S#44/N352	C07202	-3.75	-14.37	148.51	148.51
S#44/N352	C03249	-8.76	-30.29	-144.19	144.19
S#44/N352	C07230	-8.66	-8.71	147.82	147.82
S#44/N352	C03171	-3.73	-28.08	-109.55	109.55
S#44/N352	C07181	-6.53	-12.69	175.34	175.34
S#44/N339	C03250	-54.82	-1.05	-522.14	522.14
S#44/N339	C07165	-17.62	1.95	-342.64	342.64
S#44/N339	C03214	-32.24	-13.08	-358.18	358.18
S#44/N339	C07217	-38.25	11.36	533.75	533.75
S#44/N338	C03162	-17.62	1.94	-341.73	341.73
S#44/N338	C03232	-54.82	-0.65	-522.32	522.32
S#44/N350	C03205	-41.24	-43.33	-564.29	564.29
S#44/N350	C07251	-20.22	-9.78	-351.52	351.52
S#44/N350	C03235	-58.92	-46.23	-548.18	548.18
S#44/N350	C07156	-30.75	-4.50	-348.59	348.59
S#44/N350	C03232	-61.23	-43.41	-549.39	549.39
S#44/N350	C03178	-46.52	-38.28	-384.28	384.28
S#44/N350	C07252	-3.96	-10.21	375.15	375.15
S#44/N350	C07226	-34.74	-24.75	-431.72	431.72
S#44/N350	C03177	-38.28	-53.28	-341.77	341.77
S#44/N350	C03253	-32.14	-30.97	-282.86	282.86
S#44/N350	C07227	-21.68	-22.55	-472.86	472.86
S#44/N350	C03211	-51.28	91.53	-475.01	475.01
S#44/N350	C07156	-7.49	10.69	335.03	335.03
S#44/N350	C07254	-7.69	3.26	-376.81	376.81
S#44/N350	C03255	-47.94	36.85	-433.87	433.87
S#44/N350	C07245	-9.08	7.70	328.49	328.49
S#44/N350	C03237	-47.00	33.27	-478.98	478.98
S#44/N350	C07220	-38.14	25.34	-450.30	450.30
S#44/N350	C03225	-32.16	8.00	-730.65	730.65
S#44/N350	C07254	-23.15	-3.74	-489.98	489.98
S#44/N350	C03235	-33.10	36.35	-706.38	706.38
S#44/N350	C07165	-33.10	0.76	-428.72	428.72
S#44/N350	C03257	-22.94	31.58	-759.47	759.47

Postcode	Stav	dx [m]	Rx [m]	Ry [m]	Rz [m]
S65N104Q	C03/223		23.01	30.78	455.64
S65N104Q	C07/219		36.02	-4.71	730.38
S65N104Q	C07/226		34.26	-8.77	894.56
S65N104Q	C03/258		24.53	36.57	502.03
S65N104Q	C07/251		32.93	-5.60	426.84
S65N104Q	C03/259		26.83	32.42	758.80
S65N097B	C03/260		58.80	34.43	111.16
S66N937B	C07/243		31.11	-8.24	102.84
S66N937B	C07/227		-4.175	-14.83	128.53
S66N937B	C07/197		-40.13	39.14	81.58
S66N937B	C07/281		-42.42	13.06	133.43
S66N106B2	C03/220		1.00	35.17	134.51
S66N106B2	C07/196		48.17	-12.08	181.28
S66N106B2	C07/262		47.19	-12.48	156.12
S66N106B2	C03/166		1.35	35.80	127.63
S66N106B2	C07/243		36.57	-8.23	119.58
S66N106B2	C03/260		12.25	31.93	171.49
S66N1031	C03/223		-47.57	-8.41	296.73
S66N1031	C07/213		-1.00	-15.82	396.53
S66N1031	C07/254		-15.49	-22.42	344.13
S66N1031	C03/255		32.43	-2.96	366.40
S66N1031	C03/253		-43.07	-0.76	295.40
S66N1031	C07/216		-2.50	-16.24	401.90
S66N1035	C03/220		-46.93	36.61	326.91
S66N1035	C07/213		-0.92	12.85	400.29
S66N1035	C07/217		-1.43	8.62	370.90
S66N1035	C03/177		-44.83	41.65	357.03
S66N1035	C07/183		-15.61	10.51	296.35
S66N1035	C03/259		-32.23	38.08	429.86
S66N1037	C03/223		-71.04	-4.00	337.81
S66N1037	C07/213		16.39	-3.39	392.31
S66N1037	C07/263		12.13	-15.06	353.56
S66N1037	C03/255		-63.35	4.82	386.95
S66N1037	C07/162		10.86	-8.93	298.53
S66N1037	C03/232		-64.39	-0.19	428.19
S66N1037	C03/220		-52.00	50.05	290.53
S66N1037	C07/219		17.31	-0.39	376.84
S66N1037	C07/264		13.90	-5.11	348.61
S66N1037	C03/265		-47.29	57.20	335.42
S66N1037	C03/253		-48.49	52.93	278.73
S66N1037	C07/215		15.21	-1.72	386.87
S66N1037	C03/223		-98.41	39.93	237.52
S66N1037	C07/281		5.63	7.55	312.12
S66N1037	C07/252		5.43	4.51	280.63
S66N1037	C03/266		-87.43	44.31	275.18
S66N1037	C03/195		-98.28	39.69	236.78
S66N1037	C07/219		4.93	11.45	317.23
S66N1037	C03/267		-88.56	34.57	100.55
S66N1037	C07/215		3.11	28.59	156.52
S66N1037	C07/162		0.43	17.65	126.90
S66N1037	C03/266		-95.95	42.24	135.65
S66N1037	C03/165		-37.91	34.48	102.57
S66N1037	C07/196		1.89	22.04	161.61
S66N1037	C03/212		-96.27	-4.25	149.09
S66N1037	C07/215		3.13	-33.36	156.73
S66N1037	C07/228		2.77	-34.06	159.76
S66N1037	C03/203		-95.02	-2.37	150.79
S66N1037	C07/183		0.65	-25.57	123.52
S66N1037	C03/258		-30.50	-10.65	162.68
S66N1037	C03/218		72.03	3.76	221.13
S66N1037	C07/268		5.27	-16.80	290.64
S66N1037	C07/222		2.98	-20.92	305.36
S66N1037	C03/203		-86.50	7.17	235.43
S66N1037	C03/165		-72.02	3.90	231.09
S66N1037	C07/210		5.10	-18.02	308.01
S66N1037	C03/164		72.18	6.18	102.17

Bazén Domažlice
Přístavba
Prostorový model
Ing. Havel Josef

Projekt
Číslo
Popis
Autor

NEMETSCHKE
Scia

Bazén Domažlice
Přístavba
Prostorový model
Ing. Havel Josef

Projekt
Číslo
Popis
Autor

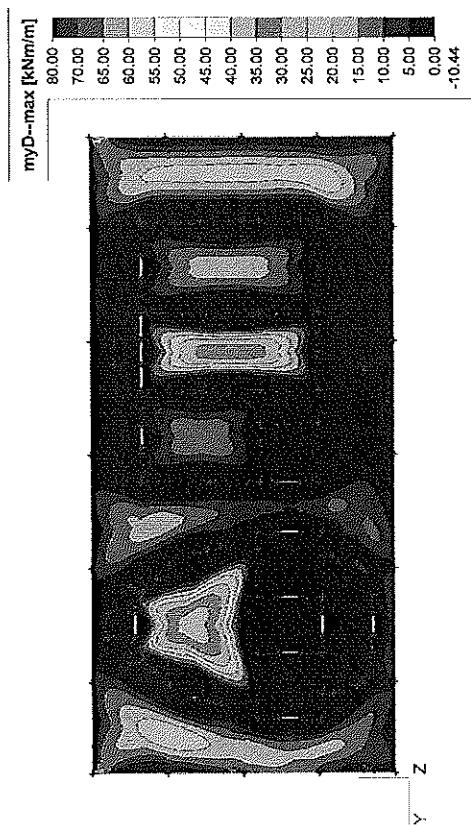
NEMETSCHKE
Scia

Podpora	Stav	dx [m]	Rz [kN]	Ry [kN]	Rz [kN]
Sier/S131	CO1275	22.800	40.10	-0.70	333.53
Sier/S131	CO3276	33.600	-4.49	-186.91	115.57
Sier/S131	CO3274	0.000	-2.96	187.67	127.45
Sier/S131	CO1275	22.800	-10.12	-0.08	1.65
Sier/S131	CO3277	-10.800	-5.04	-3.38	381.19

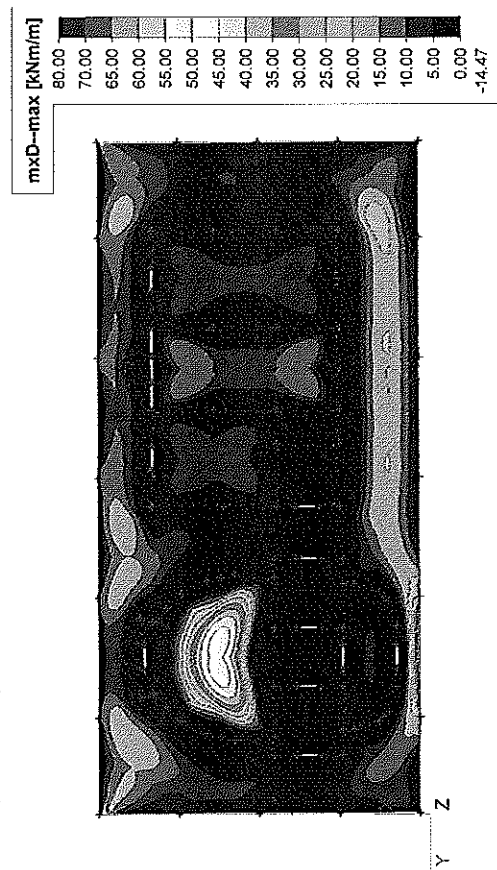
Podpora	Stav	dx [m]	Rz [kN]	Ry [kN]	Rz [kN]
Sr70N1187	CO17182	-30.94	5.19	98.35	
Sr70N1187	CO3171	-61.15	3.79	80.25	
Sr70N1187	CO17219	-40.53	9.24	119.93	
Sr70N1187	CO3220	-33.25	3.91	70.48	
Sr70N1187	CO17224	-46.74	7.78	121.41	
Sr71N1186	CO3223	-11.08	-0.25	152.58	
Sr71N1186	CO17213	48.93	6.06	154.66	
Sr71N1186	CO3171	-10.39	-0.75	149.58	
Sr71N1186	CO17222	47.66	6.11	158.65	
Sr71N1186	CO17182	36.88	3.33	118.84	
Sr71N1186	CO3164	-0.55	1.27	188.98	
Sr72N1218	CO3119	0.00	0.00	0.22	
Sr72N1218	CO17186	0.00	0.00	0.18	
Sr72N1218	CO3270	0.00	0.00	0.30	
Sr73N1219	CO3119	0.00	0.00	0.17	
Sr73N1219	CO3207	0.00	0.00	0.15	
Sr73N1218	CO17200	0.00	0.00	0.19	
Sr74N965	CO3211	-60.80	25.57	253.79	
Sr74N965	CO17162	-17.37	-2.30	218.65	
Sr74N965	CO17186	-34.66	-6.96	265.40	
Sr74N965	CO3203	-31.35	32.39	253.54	
Sr74N965	CO17156	-18.12	0.13	216.16	
Sr74N965	CO3164	-48.68	25.43	302.69	
Sr75N959	CO3211	-54.86	16.95	284.85	
Sr75N959	CO17158	-17.49	2.10	221.33	
Sr75N959	CO17183	-18.95	-0.88	225.89	
Sr75N959	CO3250	-53.38	18.81	292.22	
Sr75N959	CO17162	-18.21	-0.05	220.25	
Sr75N959	CO3164	-43.66	14.34	304.55	
Sr187309	CO3216	0.905	38.27	81.81	
Sr187309	CO17271	15.73	-21.23	533.89	
Sr187309	CO17217	15.72	-21.30	533.96	
Sr187309	CO3210	0.995	-38.10	62.05	
Sr187309	CO17243	0.995	-4.20	345.90	
Sr187309	CO3205	0.995	-19.06	44.28	
Sr187309	CO3216	0.995	-16.30	-6.04	
Sr236867	CO17230	0.995	21.42	536.07	
Sr236867	CO17245	0.995	-6.05	-6.48	
Sr236867	CO3164	0.995	11.67	557.58	
Sr236867	CO17231	0.995	-0.91	0.72	
Sr236867	CO3205	0.995	6.54	14.60	
Sr336869	CO3178	0.727	-34.15	0.37	
Sr336869	CO17239	0.727	9.30	1.56	
Sr336869	CO3242	0.727	-31.84	-1.07	
Sr336869	CO17156	0.727	9.04	2.59	
Sr336869	CO17231	0.727	7.14	1.54	
Sr336869	CO3237	0.727	-28.50	0.84	
Sr43707	CO3178	0.727	47.18	87.24	
Sr43707	CO17252	0.727	7.97	-9.77	
Sr43707	CO17263	0.727	7.89	-10.13	
Sr43707	CO3272	0.727	-45.22	86.44	
Sr43707	CO3253	0.727	-33.40	337.10	
Sr43707	CO17215	0.727	-7.40	-7.97	
Sr53711	CO3185	2.081	-1.66	1.74	
Sr53711	CO17186	2.081	7.64	0.53	
Sr53711	CO17238	2.081	6.12	-0.25	
Sr53711	CO3240	2.081	-0.26	2.68	
Sr53711	CO17156	2.081	4.26	-0.05	
Sr53711	CO3232	2.081	1.71	1.08	
Sr636864	CO3185	0.843	-2.08	0.10	
Sr636864	CO17228	0.843	11.85	-1.17	
Sr636864	CO17247	0.843	9.73	-1.92	
Sr636864	CO3273	0.843	0.00	0.38	
Sr636864	CO17162	0.843	3.39	-0.33	
Sr636864	CO3211	0.843	6.57	-0.30	
Sier/S131	CO3274	-4.800	-32.56	5.68	

1. ZÁKLADOVÁ DESKA

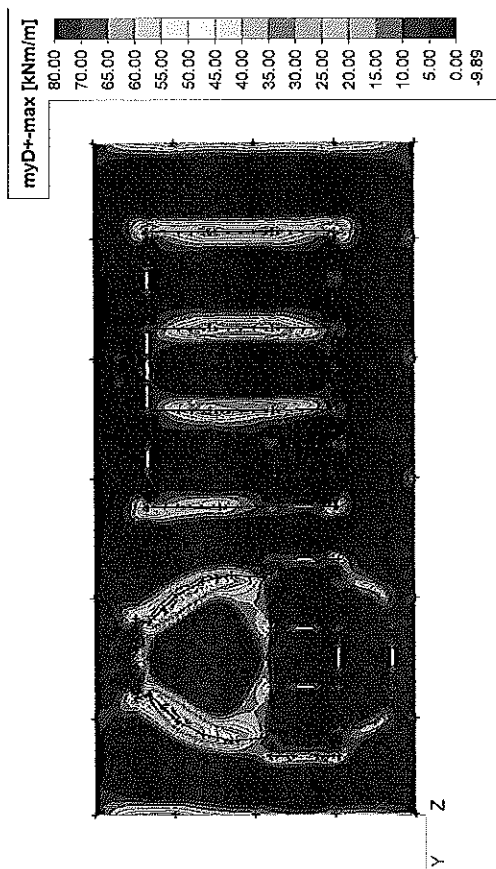
1.1. Plochy - Vnitřní síly; myD-



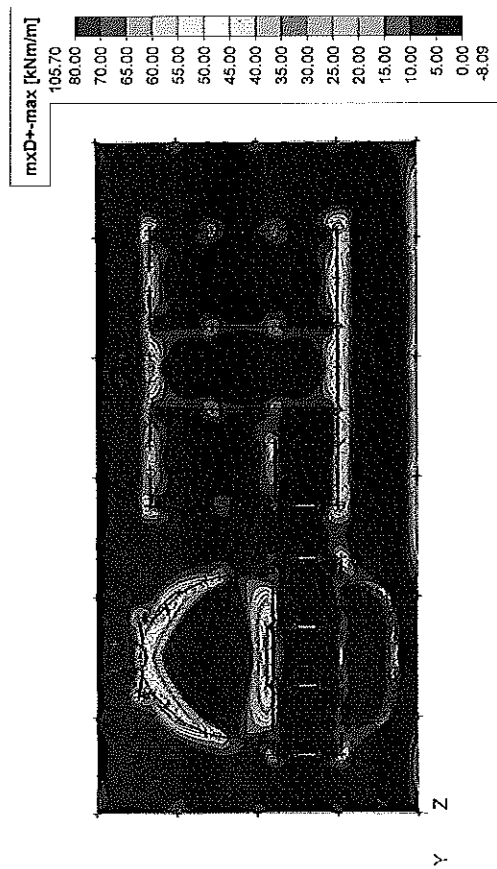
1.2. Plochy - Vnitřní síly; mxD-



1.3. Plochy - Vnitřní síly; myD+

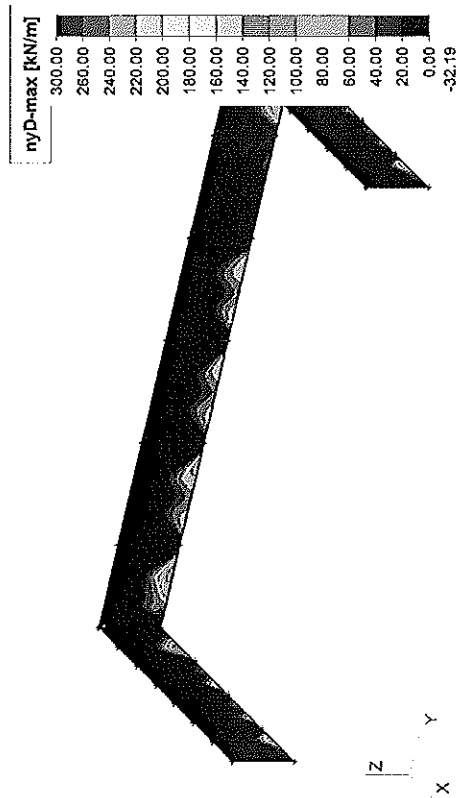


1.4. Plochy - Vnitřní síly; mxD+

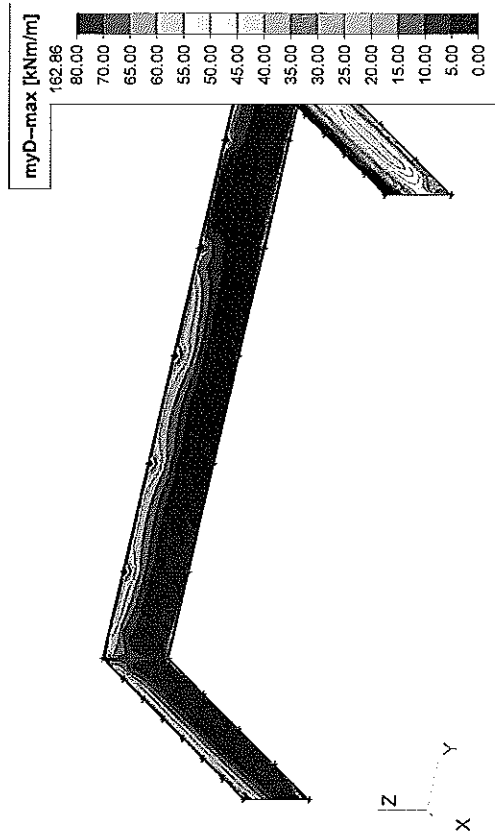


2. STĚNY 1.PP

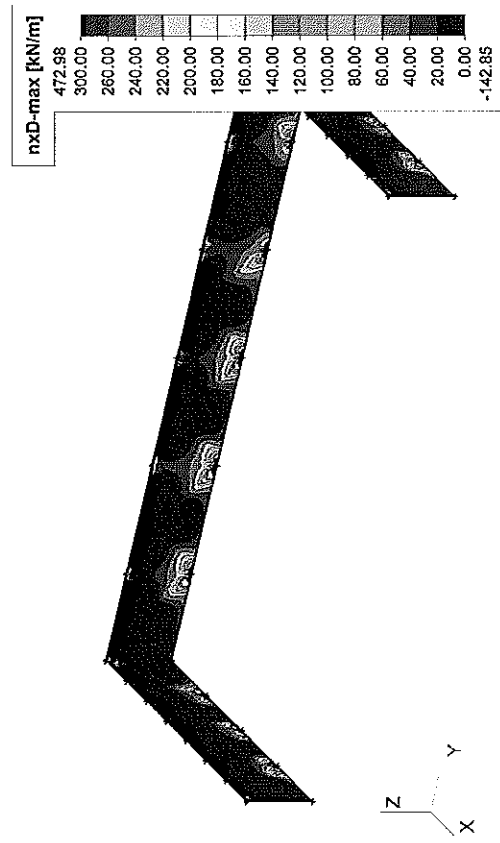
2.1. Plochy - Vnitřní síly; nyD



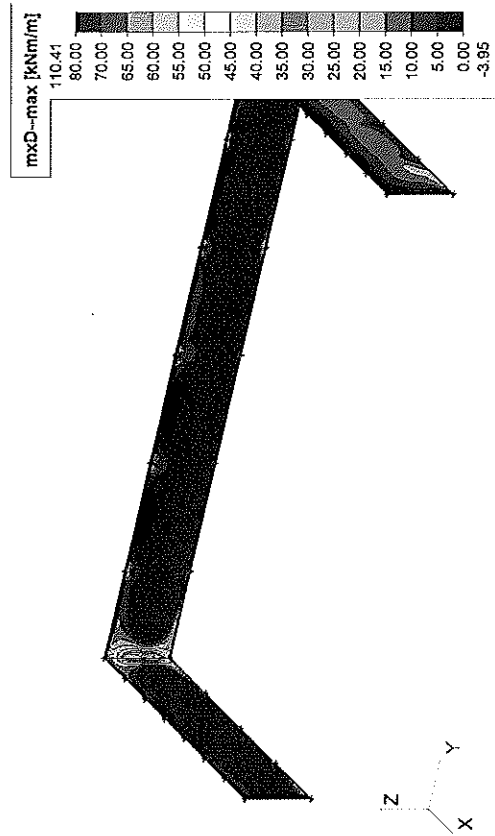
2.3. Plochy - Vnitřní síly; myD-



2.2. Plochy - Vnitřní síly; nxD

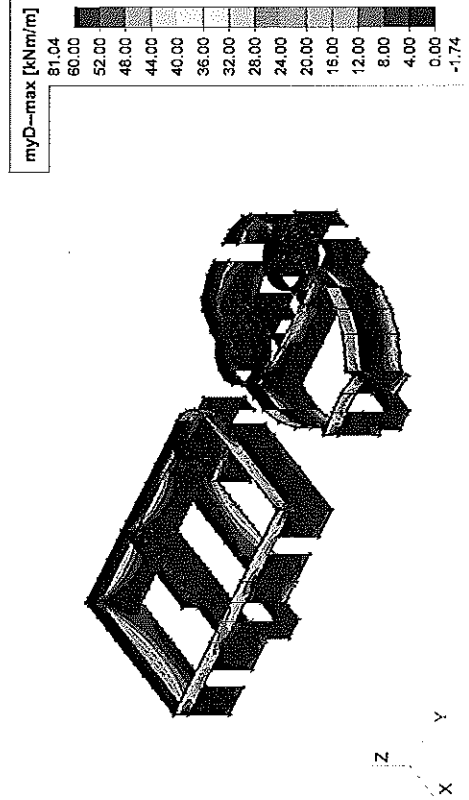


2.4. Plochy - Vnitřní síly; mxD-

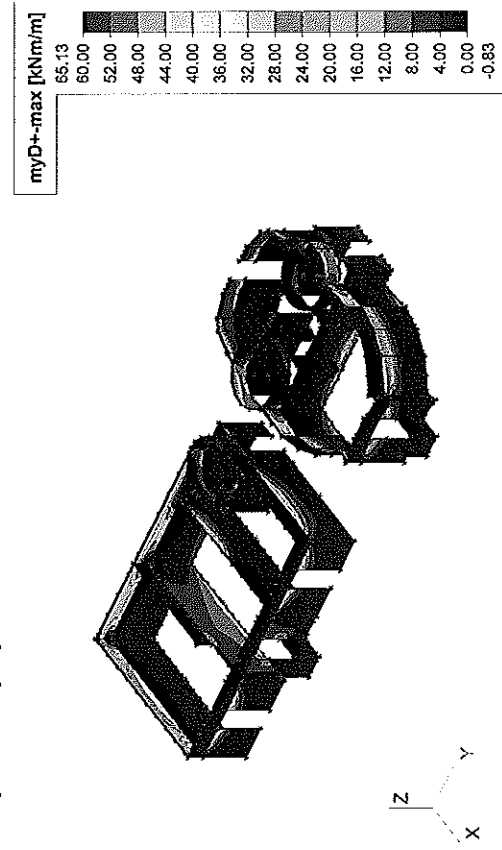


3. STĚNY BAZÉNU

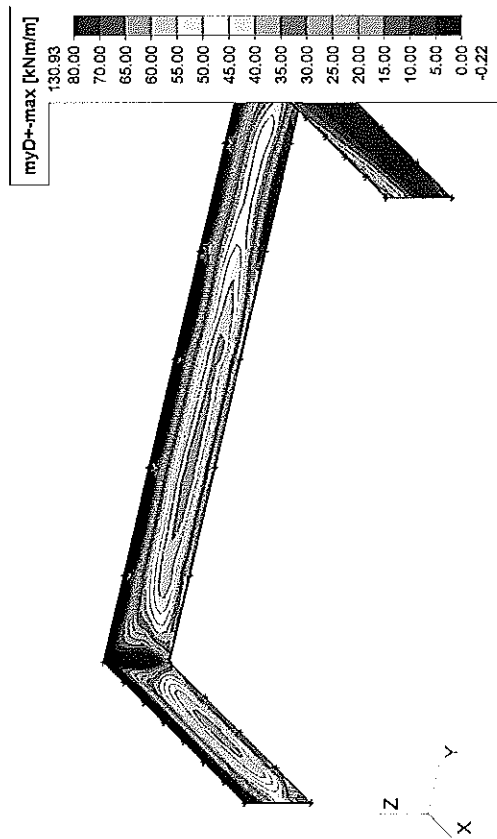
3.1. Plochy - Vnitřní síly: myD-



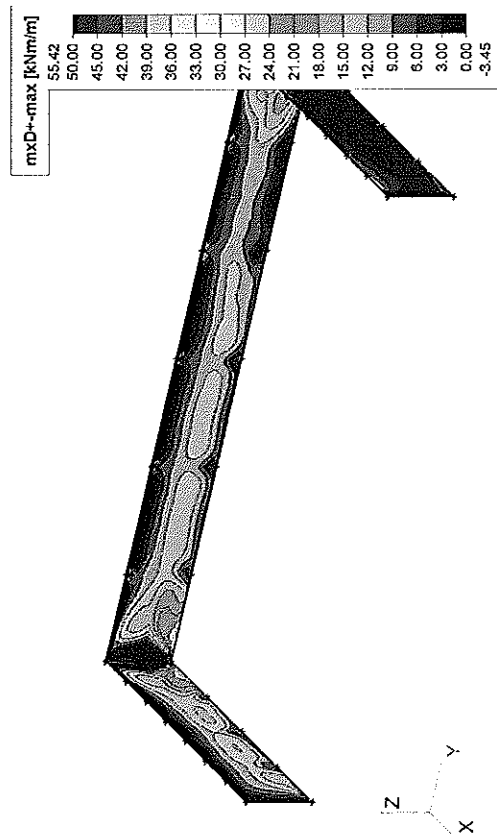
3.2. Plochy - Vnitřní síly: myD+



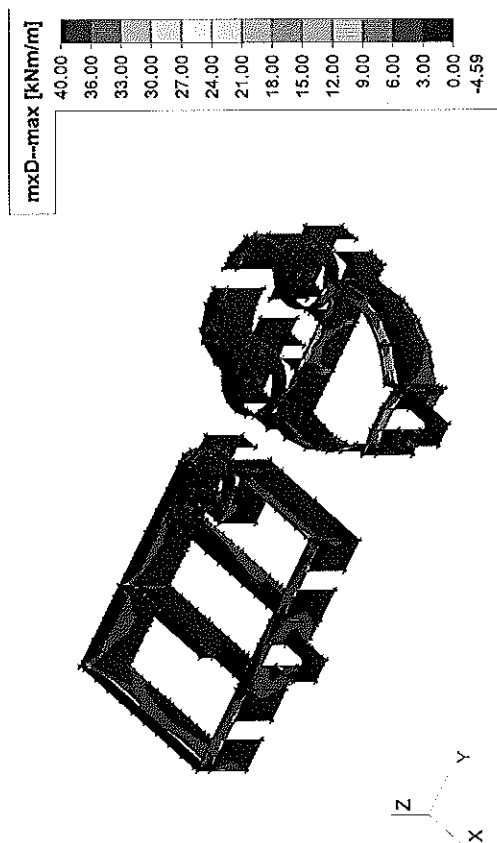
2.5. Plochy - Vnitřní síly: myD+



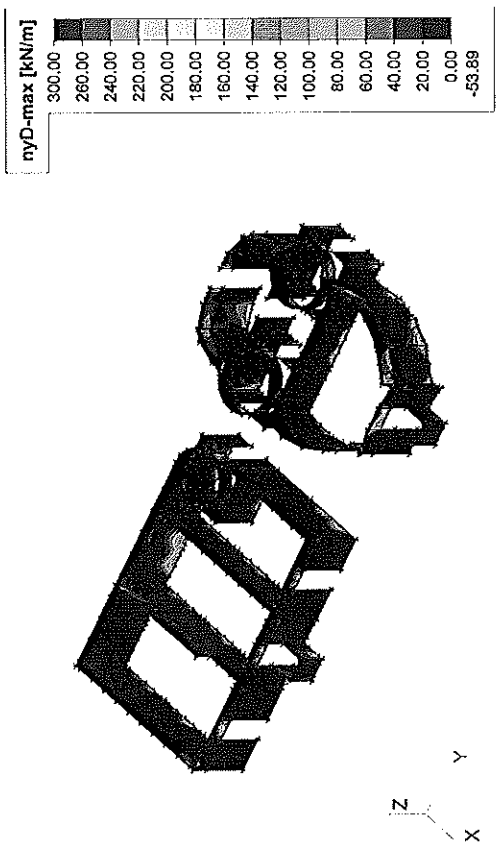
2.6. Plochy - Vnitřní síly: mxD+



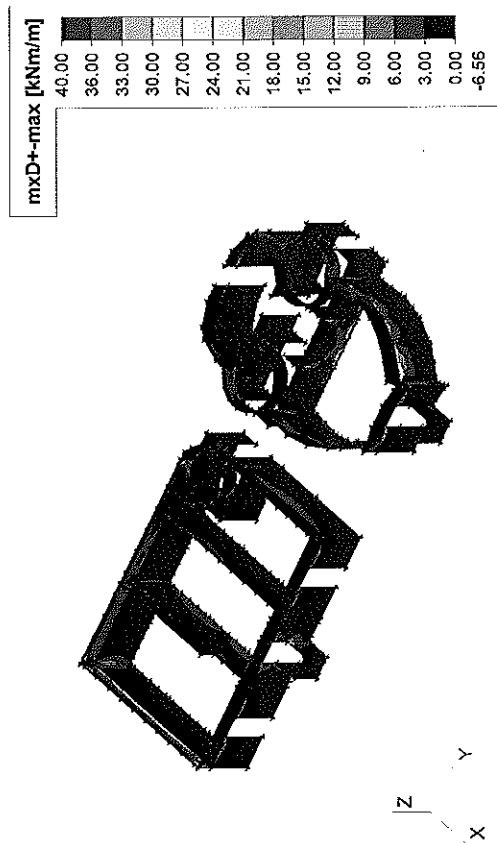
3.3. Plochy - Vnitřní síly; mxD-



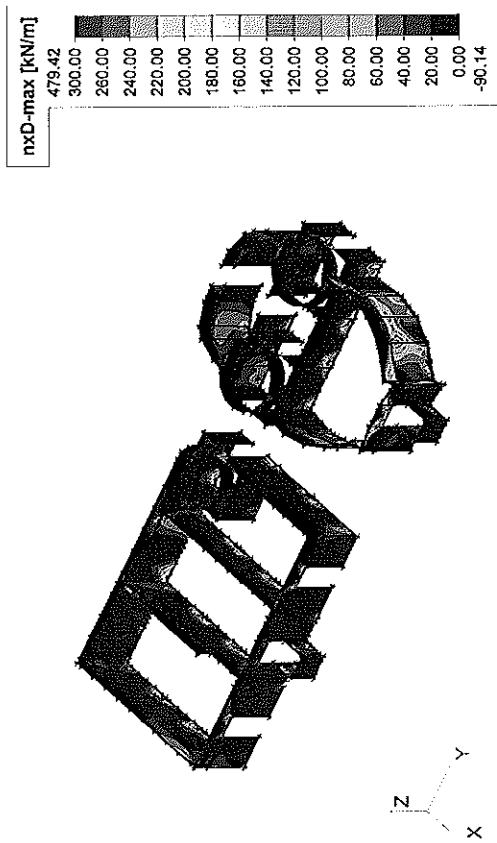
3.5. Plochy - Vnitřní síly; nyD



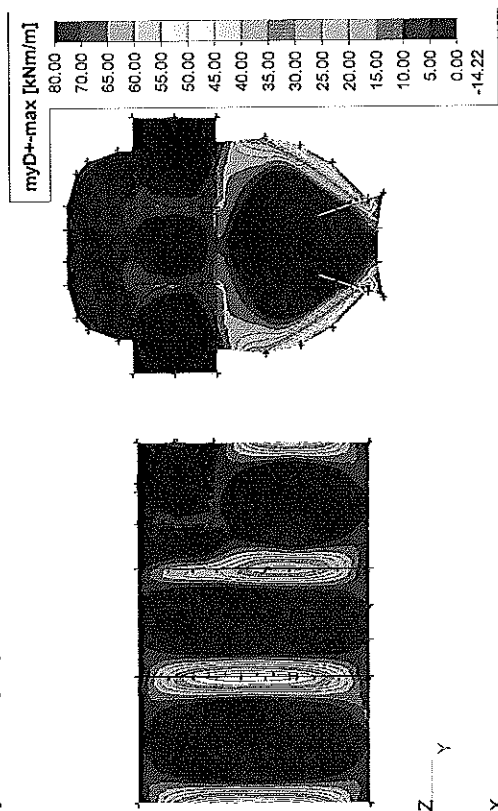
3.4. Plochy - Vnitřní síly; mxD+



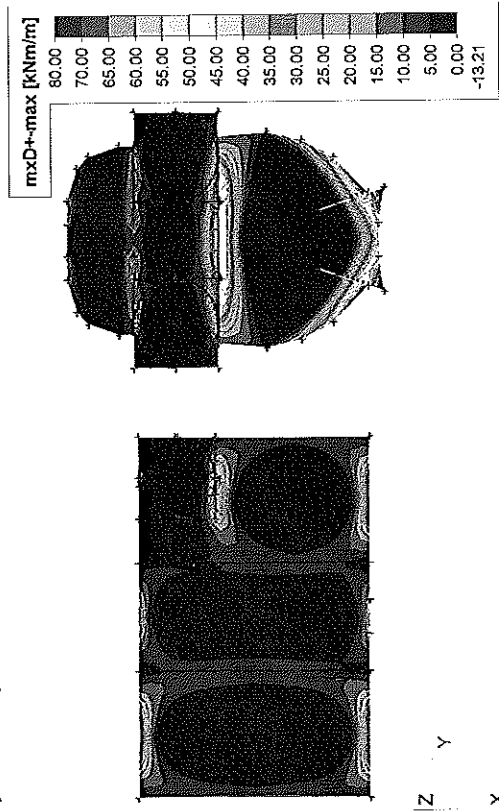
3.6. Plochy - Vnitřní síly; nxD



4.3. Plochy - Vnitřní síly: myD+

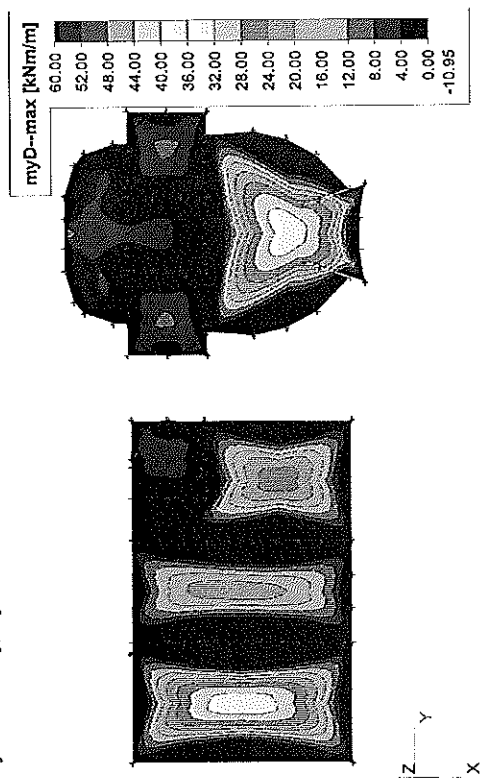


4.4. Plochy - Vnitřní síly: mxD+

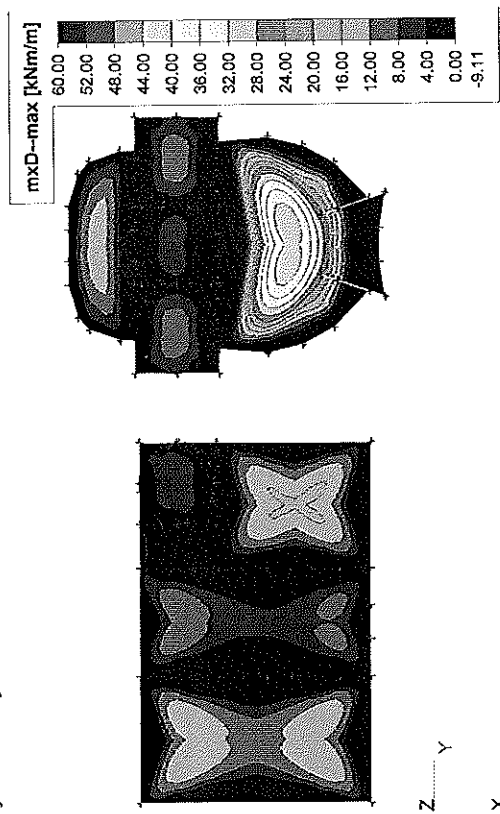


4. DNO BAZÉNU

4.1. Plochy - Vnitřní síly: myD-

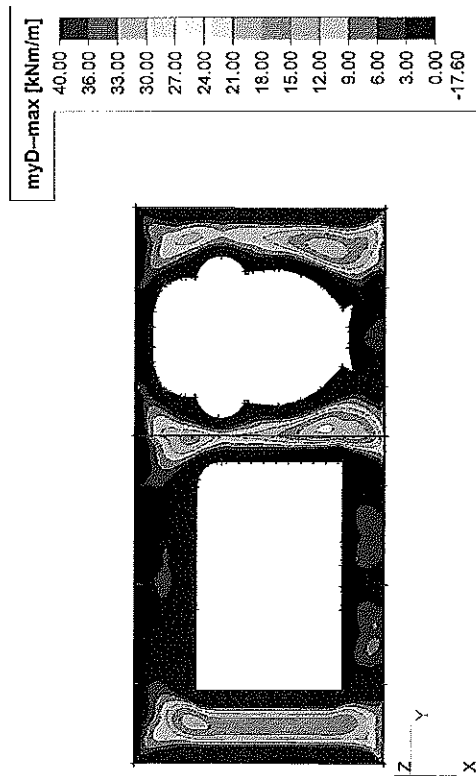


4.2. Plochy - Vnitřní síly: mxD-

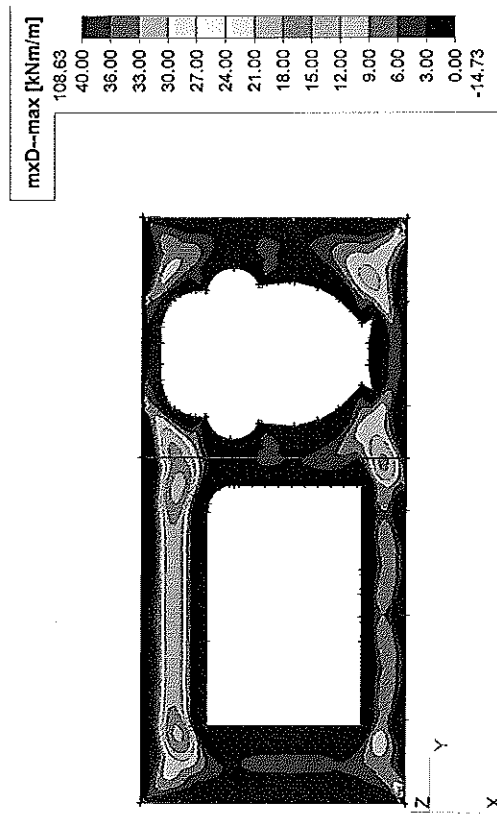


5. STROPNÍ DESKA

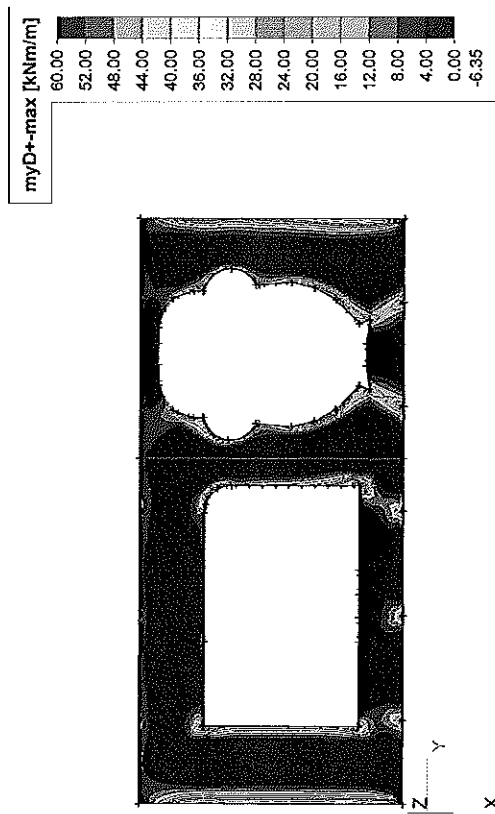
5.1. Plochy - Vnitřní síly; myD-



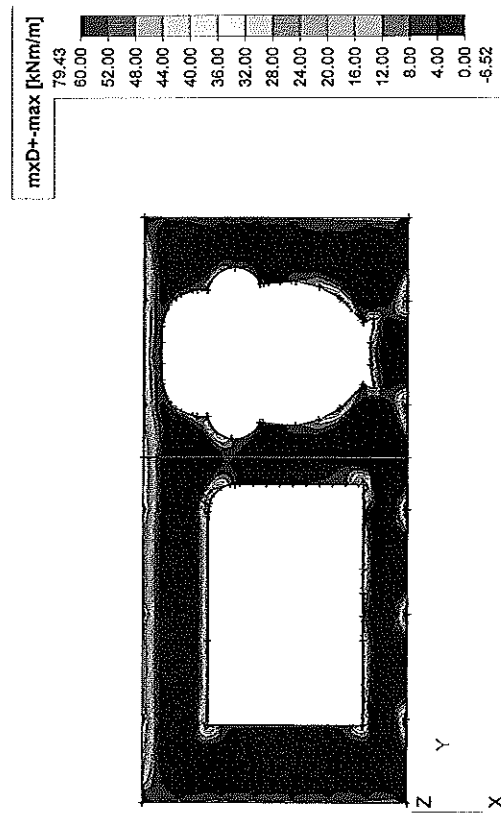
5.2. Plochy - Vnitřní síly; mxD-



5.3. Plochy - Vnitřní síly; myD+



5.4. Plochy - Vnitřní síly; mxD+



6. PRUTOVÉ PRVKY

6.1. Vnitřní síly na prutu

Lineární výpočet. Extrém : Průřez Systém : Hlavní
Výběr : Vše
Třída : RC1

Prvek	Slav	dk	N	Vy	Vz	Mx	My	Mz
[m]	[m]	[m]	[kN]	[kN]	[kN]	[kNm]	[kNm]	[kNm]
B3	CO5/13	0,000	-253,38	-2,84	-2,81	-0,05	12,47	0,00
B6	CO1/18	4,750	-42,30	0,01	-1,98	1,75	3,48	-0,10
B539	CO1/178	0,000	-220,05	-5,34	-3,91	0,67	18,91	14,59
B4	CO5/17	0,000	-220,07	4,99	-3,68	-0,35	19,25	-13,45
B8	CO5/10	0,000	-126,15	-4,53	-15,05	-0,74	26,73	10,76
B10	CO1/19	0,000	-86,44	-0,03	-18,35	0,04	-29,13	0,07
B568	CO5/280	0,000	-210,75	0,26	2,13	2,20	-11,35	-0,82
B2	CO5/10	0,000	-210,53	0,02	2,21	2,20	-11,63	-0,33
B6	CO5/10	0,000	-153,71	-4,57	-15,69	0,00	30,39	10,93
B244	CO5/294	0,000	-89,15	-0,01	-0,09	0,04	0,26	-0,04
B240	CO1/1313	1,778	89,76	0,00	0,53	-0,03	0,67	0,02
B571	CO1/1313	0,000	6,10	-0,12	0,28	-0,03	-0,03	0,17
B324	CO1/1308	0,000	6,10	0,12	0,28	0,03	-0,03	-0,17
B253	CO1/1540	1,778	-89,88	0,02	-0,25	-0,04	-0,04	0,05
B240	CO1/1328	0,000	89,52	0,00	0,89	-0,03	-0,42	0,02
B584	CO5/17	0,000	-4,35	-0,04	0,20	-0,08	-0,03	0,03
B337	CO1/1303	0,000	4,36	0,04	0,20	0,08	-0,03	-0,03
B240	CO1/1340	1,778	89,70	0,00	0,53	-0,03	0,67	0,02
B594	CO1/1303	0,000	5,23	0,12	0,23	0,07	-0,03	-0,20
B237	CO1/1312	0,000	5,23	-0,12	0,23	-0,07	-0,03	0,20
B254	CO5/133	0,000	-129,37	0,01	-0,07	-0,02	0,06	-0,02
B238	CO5/17	0,000	-95,34	-0,04	-0,02	0,04	0,24	0,01
B593	CO5/444	0,000	-95,34	0,04	-0,02	-0,04	0,24	-0,01
B243	CO5/314	1,778	-107,89	0,00	-0,28	0,00	-0,24	-0,01
B236	CO5/17	0,000	-33,26	0,02	0,07	-0,03	-0,02	0,06
B225	CO5/17	0,000	-94,40	0,02	-0,04	-0,06	0,04	0,08
B572	CO5/15	1,778	-127,21	0,00	-0,27	0,00	-0,25	-0,01
B243	CO5/315	0,000	-106,20	0,00	-0,10	0,00	0,10	-0,01
B243	CO5/314	0,000	-106,20	0,02	-0,21	0,06	-0,18	-0,11
B572	CO1/1323	1,778	-94,17	-0,02	-0,05	-0,03	-0,18	0,11
B225	CO1/1312	1,778	94,17	0,02	-0,21	0,06	-0,18	0,11
B246	CO5/133	0,000	6,943	-32,93	-0,02	27,81	0,00	6,68
B655	CO5/6	0,000	-95,41	-4,19	-4,37	0,09	0,00	0,00
B652	CO5/408	0,000	-96,40	4,18	-4,41	-0,09	0,00	0,00
B246	CO1/1351	13,898	-203,56	0,82	-38,84	0,00	2,25	-0,55
B246	CO1/1340	4,829	-320,31	-0,08	33,17	0,00	4,01	-0,75
B578	CO1/1322	0,000	-90,68	1,90	3,32	-0,11	-1,66	-0,95
B231	CO1/1278	0,000	-90,68	-1,90	3,43	0,11	-1,71	0,95
B231	CO1/178	0,000	-32,60	1,05	5,27	-0,08	-2,64	-0,52
B246	CO1/1340	9,207	-352,05	-0,07	3,98	0,00	8,08	-0,86
B655	CO5/6	0,000	-96,17	4,18	-4,37	0,09	-2,18	-2,09
B652	CO5/408	0,000	-96,17	4,18	-4,41	-0,09	-2,20	2,09
B247	CO1/1340	9,257	350,72	0,05	-0,34	0,00	0,71	-0,34
B577	CO1/1303	0,000	104,04	-0,73	0,73	-0,22	-0,30	0,25
B230	CO1/1318	0,000	104,07	0,72	0,73	0,22	-0,30	-0,25
B247	CO1/1326	0,000	175,93	-0,05	1,15	-0,02	-0,86	-0,37
B577	CO5/284	0,000	103,77	-0,73	0,70	-0,22	-0,29	0,25
B230	CO5/137	0,000	103,72	0,73	0,69	0,22	-0,28	-0,25
B247	CO1/1328	2,314	175,94	-0,05	0,81	-0,02	1,17	-0,28
B677	CO1/1303	1,778	104,35	-0,73	0,45	-0,22	0,74	-1,05
B230	CO1/1318	1,778	104,38	0,73	0,45	0,22	0,75	1,05
B814	CO1/1422	0,000	-4,64	0,42	56,57	-5,11	-60,18	-2,04
B537	CO5/44	0,000	5,65	0,65	0,72	28,14	-1,16	0,00
B514	CO5/290	0,000	5,57	-0,82	55,81	0,31	-56,52	3,85
B537	CO5/280	0,000	5,57	-0,82	55,81	0,31	-56,52	3,85
B911	CO1/1491	6,000	1,35	0,21	-66,27	-1,00	-69,56	0,48
B390	CO1/1368	0,000	0,98	-0,20	66,18	1,00	-69,56	0,50
B814	CO1/1380	0,000	-6,24	0,44	55,57	-5,17	-60,15	-2,10

Prvek	Slav	dk	N	Vy	Vz	Mx	My	Mz
[m]	[m]	[m]	[kN]	[kN]	[kN]	[kNm]	[kNm]	[kNm]
B537	CO1/1353	0,000	-6,24	-0,45	-0,45	-0,45	5,17	0,00
B611	CO1/141	6,000	1,04	0,19	-0,27	-1,03	-49,62	0,42
B537	CO1/11	1,880	1,89	0,10	2,49	3,89	34,63	0,17
B537	CO5/280	4,800	-6,19	-0,51	-49,33	4,89	-52,64	-2,47
B537	CO5/280	4,800	5,57	0,86	-55,71	-1,05	-56,04	4,11
B536	CO1/1303	0,000	-9,10	-1,65	16,03	2,97	0,00	0,00
B612	CO5/298	0,000	7,50	0,10	28,78	3,40	-28,83	2,19
B538	CO1/1292	0,000	-9,10	-1,68	16,02	3,04	0,00	0,00
B613	CO1/1278	0,000	-9,10	1,67	30,41	-3,07	-34,57	-8,03
B612	CO1/141	6,000	2,40	0,31	-35,60	-1,13	-39,15	-2,57
B595	CO1/153	0,000	2,33	0,31	35,62	1,17	-39,17	-2,59
B538	CO5/293	0,000	7,29	1,17	16,80	-7,04	0,00	0,00
B613	CO5/293	0,000	7,29	-1,00	29,55	6,94	-30,44	5,10
B538	CO1/11	1,880	3,79	-0,04	1,28	-0,26	18,21	-1,41
B538	CO5/283	4,800	-9,10	-1,68	-30,40	3,04	-34,50	-8,07
B613	CO5/283	4,800	7,29	1,17	-25,71	-6,75	-26,37	5,63
B405	CO5/444	22,800	-5,40	-0,19	6,82	0,00	-7,45	0,57
B651	CO1/292	23,800	5,68	0,00	5,91	0,00	-6,17	0,00
B651	CO1/279	23,800	-2,03	0,36	3,54	0,00	-4,33	0,85
B400	CO5/400	10,800	-2,91	0,36	1,74	0,00	0,00	-0,87
B400	CO5/401	10,800	-1,41	-0,02	-19,43	0,00	-19,42	-0,01
B651	CO1/313	0,000	3,23	0,12	19,44	0,00	-19,42	-0,01
B400	CO5/401	22,800	-0,83	0,00	8,26	0,00	-7,84	-0,29
B400	CO5/402	25,800	-1,40	0,02	-18,95	0,00	-19,42	-0,01
B651	CO1/279	4,800	-2,91	0,36	-3,54	0,00	4,34	0,85
B408	CO1/405	1,350	-0,07	0,01	0,00	0,00	0,00	-0,02
B681	CO5/421	5,150	1,80	0,00	0,23	0,00	-0,15	0,00
B407	CO1/6	0,850	-4,00	-0,60	-0,23	-0,04	-0,01	0,11
B558	CO1/1304	0,850	-3,98	0,60	-0,23	0,01	-0,01	-0,11
B407	CO5/315	0,000	-3,59	0,00	-0,80	0,01	0,62	0,00
B408	CO5/315	0,000	3,59	0,01	0,30	-0,05	-0,22	-0,01
B419	CO1/292	0,000	0,35	-0,01	-0,21	0,05	0,03	0,00
B470	CO1/319	1,350	-6,00	-0,59	-0,59	-0,05	-0,32	-0,20
B497	CO1/1303	1,350	-5,67	0,50	-0,59	0,05	-0,32	0,20
B498	CO1/292	0,000	-1,24	0,00	0,02	0,03	0,00	0,00
B492	CO5/410	1,202	0,83	0,00	-0,02	0,00	0,00	0,00
B486	CO5/298	0,000	-0,75	0,00	0,02	0,00	0,00	0,00
B485	CO5/298	0,000	-0,70	0,00	0,02	0,01	0,00	0,00
B478	CO1/438	1,202	-0,71	0,00	-0,02	0,00	0,00	0,00
B478	CO1/439	0,000	-0,76	0,00	0,02	0,00	0,00	0,00
B591	CO1/279	0,000	-1,18	0,00	0,02	-0,03	0,00	0,00
B595	CO1/438	0,601	-0,86	0,00	0,00	0,00	0,01	0,00
B488	CO5/298	0,301	-0,74	0,00	0,00	0,00	0,00	0,00
B485	CO5/299	0,501	-0,89	0,00	0,00	0,00	0,00	0,00
B507	CO1/1	0,000	-491,06	-2,22	20,18	-0,01	0,01	0,00
B507	CO5/5	0,000	-490,21	2,65	19,33	0,01	-93,86	2,55
B508	CO5/468	0,190	-327,52	-0,15	-0,39	0,07	-76,26	-2,22
B604	CO1/151	0,000	-405,50	-2,31	21,24	0,02	-85,24	2,69
B604	CO5/480	0,000	-310,13	0,82	11,53	-0,22	-55,38	-0,86
B608	CO5/485	0,000	-333,06	0,07	13,34	0,23	-61,87	-0,26
B607	CO1/3	0,000	-491,00	-2,20	20,39	0,01	94,74	2,64
B607	CO5/5	3,800	-315,39	-2,01	18,13	0,03	2,60	-5,35
B608	CO5/5	3,800	-480,02	-2,65	19,33	0,01	-20,07	-4,81
B615	CO5/84	5,506	-49,21	1,17	-1,37	4,47	-1,05	0,00
B620	CO1/1500	5,294	-40,56	-6,10	1,79	0,38	4,60	0,00
B615	CO5/488	0,000	-9,98	4,45	-1,80	-0,39	4,83	0,00
B620	CO5/386	0,000	-5,76	-6,08	2,10	-0,34	-5,78	0,00
B642	CO5/14	0,000	-6,95	-4,27	-0,54	-7,87	-0,12	0,00
B620	CO5/98	0,000	-6,05	4,27	-0,49	7,87	-0,17	0,00

Stav	Prvek	dx [mm]	dy [mm]	uz [mm]	vy [mm]	tx [mm]	ty [mm]	fx [mm]	fy [mm]	fx [mm]	fy [mm]
C07/568	B2	5,050	-0,5	-1,4	0,4	0,1	-0,2	-0,1	-0,2	-0,1	-0,1
C03/225	B588	5,050	-0,4	1,4	0,7	-0,1	-0,2	0,1	-0,2	0,1	0,1
C07/570	B4	5,050	-0,5	0,0	-3,4	0,0	0,0	0,0	0,0	0,0	0,0
C03/240	B9	4,750	-0,2	1,2	2,6	0,0	-0,6	0,1	-0,6	0,1	0,1
C07/570	B2	5,050	-0,5	0,0	-2,2	-0,3	0,0	0,0	-0,3	0,0	0,0
C07/570	B588	5,050	-0,5	0,0	-2,1	0,3	0,0	0,0	0,3	0,0	0,0
C03/171	B3	4,788	-0,4	1,4	1,8	0,0	-0,6	0,1	-0,6	0,1	0,1
C07/571	B4	4,788	-0,5	0,0	-3,1	0,0	0,0	0,0	0,0	0,0	0,0
C03/672	B2	2,777	-0,3	-0,7	0,1	0,1	-0,2	-0,4	-0,2	-0,4	-0,4
C03/639	B539	2,777	-0,4	0,7	0,4	0,0	-0,4	0,0	-0,4	0,0	0,0
C03/681	B555	0,000	-14,2	-6,6	-10,5	0,0	0,0	0,0	0,0	0,0	0,0
C07/185	B237	0,000	-10,7	-11,8	-6,2	-0,3	0,0	0,0	-0,3	0,0	0,0
C07/185	B234	0,000	-8,8	11,8	-8,3	0,3	0,0	0,0	0,3	0,0	0,0
C03/681	B552	1,778	-12,2	6,5	-12,5	0,1	0,7	0,2	-12,5	0,1	0,7
C07/574	B258	1,778	-4,5	0,0	0,0	0,0	-1,1	0,0	-1,1	0,0	0,0
C03/157	B239	1,778	-5,3	5,7	-1,6	-1,8	-1,8	-0,8	-1,8	-0,8	-0,8
C03/258	B586	1,778	-5,3	-5,7	-1,6	1,8	-1,8	0,8	1,8	0,8	0,8
C07/181	B540	1,778	-6,2	3,5	-4,8	-0,6	-2,1	-0,5	-2,1	-0,5	-0,5
C03/277	B544	0,000	-10,8	-4,4	-4,8	-0,6	2,6	-0,7	2,6	-0,7	-0,7
C03/157	B235	1,255	-5,4	-8,2	-6,5	-0,3	1,3	-1,5	-6,5	-0,3	1,3
C03/258	B582	1,255	-5,3	8,2	-6,8	0,3	1,3	1,5	-6,8	0,3	1,3
C07/576	B261	1,778	-4,4	0,0	-2,7	0,0	1,1	0,0	-2,7	0,0	1,1
C07/574	B261	0,000	0,3	0,0	-2,7	0,0	1,1	0,0	-2,7	0,0	1,1
C07/185	B572	1,778	-4,2	-5,8	-2,7	-0,8	2,0	-1,7	-2,7	-0,8	2,0
C03/240	B225	1,778	-4,3	5,8	-2,6	0,8	2,0	-1,7	-2,6	0,8	2,0
C03/681	B554	1,778	-4,5	3,4	-7,0	0,7	3,1	0,8	-7,0	0,7	3,1
C07/574	B272	0,000	-4,1	0,0	1,9	0,0	1,1	0,0	1,9	0,0	1,1
C07/582	B583	0,000	-3,3	-3,8	-1,3	-1,5	2,3	-1,2	-3,8	-1,5	2,3
C03/258	B238	0,000	-3,1	3,6	-1,4	1,5	2,3	1,2	-3,1	3,6	1,5
C07/181	B543	1,778	-5,8	-3,5	-5,4	-0,7	3,1	-0,8	-5,4	-0,7	3,1
C07/582	B226	18,203	-3,2	1,5	-0,4	-0,2	-2,7	-1,7	-0,4	-0,2	-2,7
C03/240	B248	0,000	4,0	0,0	-0,3	0,0	2,0	0,0	-0,3	0,0	2,0
C07/185	B264	0,000	-1,3	-11,1	-11,1	1,2	0,0	0,0	-11,1	1,2	0,0
C03/240	B228	8,022	-1,6	11,0	-11,0	-1,2	0,0	0,0	-11,0	-1,2	0,0
C07/200	B246	8,022	-0,7	6,6	-17,7	0,0	0,0	0,0	-0,7	6,6	-17,7
C07/570	B267	0,000	0,2	0,0	4,0	0,0	2,0	0,0	0,2	0,0	2,0
C07/582	B257	0,000	0,3	1,8	0,2	-1,9	2,6	-0,7	0,3	1,8	0,2
C07/185	B231	0,000	0,3	-1,6	0,3	1,9	2,6	0,7	-1,6	0,3	1,9
C03/588	B655	0,000	-0,5	0,8	0,8	0,0	-3,3	0,2	-0,5	0,8	-3,3
C03/588	B248	0,000	0,3	0,7	-1,6	0,0	3,4	-0,5	0,3	0,7	-1,6
C07/185	B228	0,000	0,3	-1,8	-0,3	0,7	2,6	-1,9	-1,8	-0,3	0,7
C07/582	B575	0,000	0,2	1,6	-0,3	-0,7	2,6	1,9	0,2	1,6	-0,3
C03/240	B247	0,000	-4,3	3,3	-3,3	-0,4	2,4	1,8	-4,3	3,3	-3,3
C07/570	B245	13,886	4,9	0,0	-3,1	0,0	-2,0	0,0	4,9	0,0	-2,0
C03/157	B229	8,943	-0,7	-11,8	-13,5	-0,5	0,0	0,0	-0,7	-11,8	-13,5
C03/157	B576	8,943	-1,1	11,8	-13,5	0,5	0,0	0,0	-1,1	11,8	-13,5
C07/200	B247	8,943	-0,7	6,6	-17,7	-0,1	0,0	0,0	-0,7	6,6	-17,7
C07/570	B266	1,778	-2,3	0,0	2,9	0,0	-2,0	0,0	-2,3	0,0	-2,0
C03/587	B230	1,778	-0,1	1,8	-0,3	-1,9	-2,2	-0,7	-0,1	1,8	-0,3
C03/588	B577	1,778	0,1	-1,8	-0,4	1,9	-1,9	0,7	0,1	-1,8	-0,4
C03/588	B248	1,778	-0,3	-0,9	-0,1	1,1	-3,3	0,4	-0,3	-0,9	-0,1
C07/181	B547	0,810	-3,3	-2,9	-6,8	0,2	3,2	-1,1	-3,3	-2,9	-6,8
C03/258	B229	0,000	-3,0	-3,5	-3,2	0,2	2,3	-2,0	-3,0	-3,5	-3,2
C07/582	B576	0,000	-2,6	3,5	-3,1	-0,2	2,3	2,0	-2,6	3,5	-3,1
C03/590	B614	4,800	-1,4	0,2	-0,9	0,3	-0,5	-0,3	-1,4	0,2	-0,9
C03/588	B537	0,000	1,4	0,2	-0,8	0,3	0,6	0,3	1,4	0,2	-0,8
C07/570	B391	5,100	0,0	-0,4	-0,8	0,0	-0,5	0,0	0,0	-0,4	-0,8
C03/160	B391	0,000	1,4	2,0	-3,7	-0,6	0,5	0,0	1,4	2,0	-3,7
C07/614	B537	1,920	-0,8	0,0	-1,7	0,3	-0,1	-0,1	-0,8	0,0	-1,7
C03/171	B390	6,000	1,4	2,0	-0,4	-0,6	0,1	0,0	1,4	2,0	-0,4
C07/571	B391	6,000	0,0	-3,4	-0,5	0,9	0,0	0,0	0,0	-3,4	-0,5
C03/157	B614	4,800	1,4	0,2	-1,0	0,4	-0,8	-0,1	1,4	0,2	-1,0
C03/163	B537	0,000	-1,4	0,2	-0,8	0,4	0,6	0,1	-1,4	0,2	-0,8
C07/570	B537	0,000	0,0	0,0	-1,0	0,5	0,6	-0,5	0,0	0,0	-1,0
C07/570	B674	4,800	0,0	0,0	-1,0	0,5	-0,8	0,5	0,0	0,0	-1,0

Prvek	Stav	dx [mm]	dy [mm]	uz [mm]	vy [mm]	tx [mm]	ty [mm]	fx [mm]	fy [mm]	fx [mm]	fy [mm]
B615	C05/664	0,000	-12,32	4,45	-1,88	-7,45	7,08	0,00	-12,32	4,45	7,08
B620	C01/500	2,647	-33,86	0,00	1,85	-0,38	-0,36	-8,07	-33,86	0,00	-0,36
B642	C01/500	2,647	-33,86	0,00	1,79	-0,38	-0,13	8,07	-33,86	0,00	-0,13
B630	C01/40	5,950	-43,31	-1,25	-3,82	-0,24	0,92	0,00	-43,31	-1,25	0,92
B621	C05/423	0,000	1,54	2,92	-4,42	3,48	0,40	0,00	1,54	2,92	0,40
B621	C01/318	0,500	-7,17	-6,49	6,78	-0,60	3,19	-3,14	-7,17	-6,49	3,19
B644	C01/303	0,500	-7,21	6,50	6,71	0,60	3,19	3,15	-7,21	6,50	3,19
B644	C05/506	0,000	1,48	-2,04	-4,61	-3,46	0,43	0,00	1,48	-2,04	0,43
B621	C01/338	0,000	-4,25	-6,06	7,73	-0,60	-0,42	0,00	-4,25	-6,06	-0,42
B644	C01/408	0,500	-21,83	-2,60	4,97	-4,64	-6,55	3,13	-21,83	-2,60	-6,55
B621	C01/282	0,000	-21,70	2,80	4,90	-4,64	-6,55	-0,13	-21,70	2,80	-6,55
B621	C01/100	0,500	-30,41	-0,82	3,34	-2,35	-10,89	1,46	-30,41	-0,82	-10,89
B630	C05/108	0,500	-48,50	1,57	-3,57	-0,18	19,04	-3,47	-48,50	1,57	-0,18
B621	C01/417	3,112	-35,57	0,01	2,07	-0,88	-5,22	3,17	-35,57	0,01	-5,22
B644	C01/417	3,112	-35,63	0,01	2,04	0,60	-5,24	3,17	-35,63	0,01	0,60
B643	C05/506	2,314	-4,64	0,00	-0,47	-0,03	0,34	-2,01	-4,64	0,00	-0,03
B628	C01/338	0,000	7,70	7,56	3,48	0,06	-2,81	-14,52	7,70	7,56	0,06
B628	C01/455	0,000	5,70	-7,39	3,33	-0,07	-3,10	13,98	-7,39	3,33	-3,10
B643	C01/450	0,000	5,69	7,99	3,30	0,07	-3,06	-13,90	5,69	7,99	0,07
B643	C01/328	2,364	4,29	2,84	-7,39	0,04	-2,31	2,02	4,29	2,84	-2,31
B628	C05/108	0,000	-1,58	0,01	5,90	0,02	-5,75	1,23	-1,58	0,01	0,02
B628	C01/385	0,000	5,21	0,11	2,48	-0,35	-0,59	17,21	5,21	0,11	-0,59
B637	C01/298	0,000	5,00	-0,11	2,48	0,35	-0,59	-17,22	5,00	-0,11	0,35
B623	C05/503	2,967	2,65	-4,03	-6,58	0,04	-8,28	-7,81	2,967	2,65	-8,28
B635	C05/280	1,736	2,28	0,28	0,20	-0,03	1,04	0,13	1,736	2,28	-0,03
B638	C01/112	0,000	5,70	2,57	2,59	0,32	-0,64	-19,18	5,70	2,57	0,32
B627	C01/302	0,000	5,71	-2,57	2,58	-0,32	-0,63	19,18	-2,57	2,58	-0,63
B647	C01/153	0,000	-208,15	-42,86	91,26	-16,79	-26,39	9,08	-208,15	-42,86	-26,39
B647	C05/528	2,700	-143,54	1,54	4,07	2,07	12,94	-0,90	-143,54	1,54	4,07
B650	C01/114	4,800	-26,00	-46,60	36,57	-20,44	0,00	-15,57	-26,00	-46,60	36,57
C05/43	C05/43	4,800	-121,07	44,77	-74,45	16,51	-18,39	11,54	-121,07	44,77	-18,39
C05/101	C05/101	6,000	-187,97	31,44	-79,46	10,28	-26,45	6,60	-187,97	31,44	-26,45
C05/529	C05/529	4,800	-37,63	-34,63	21,97	-22,84	0,00	-7,44	-37,63	-34,63	21,97
C01/73	C01/73	0,000	-58,51	18,00	-40,96	28,68	0,00	0,00	-58,51	18,00	28,68
C05/5	C05/5	8,000	-187,57	32,82	-79,30	10,76	-26,48	7,04	-187,57	32,82	-26,48
C05/5	C05/5	2,700	143,25	1,55	3,97	2,03	13,02	-0,89	143,25	1,55	2,03
C05/534	C05/534	10,800	-4,22	-0,36	-1,14	-5,09	-0,23	2,33	-4,22	-0,36	-0,23
C01/154	C01/154	0,000	309,97	-67,82	-145,93	-7,37	10,42	28,08	309,97	-67,82	-145,93
C01/535	C01/535	0,000	309,77	-67,92	-145,86	-7,38	10,41	28,14	309,77	-67,92	-145,86
C01/111	C01/111	33,600	304,59	63,58	142,72	6,58	10,28	24,88	304,59	63,58	10,28
C01/153	C01/153	33,600	305,30	63,51	142,86	6,56	10,27	24,94	305,30	63,51	10,27
C01/187	C01/187	0,600	101,23	-24,65	-51,49	-9,03	-0,04	3,38	101,23	-24,65	-0,04
C01/121	C01/121	33,000	100,98	22,58	-49,78	7,49	-0,04	1,87	33,000	100,98	22,58
C05/538	C05/538	22,800	2,74	-32,68	-0,01	-3,03	0,05	-10,83	22,800	2,74	-32,68
C01/61	C01/61	0,000	309,78	-67,81	-145,88	-7,38	10,41	28,14	309,78	-67,81	-145,88
C05/65	C05/65	10,800	-395,47	-80,92	-372,23	16,94	-45,67	-26,90	-395,47	-80,92	-45,67
C01/108	C01/108	0,581	177,46	-4,57	-0,11	0,50	17,49	-1,97	177,46	-4,57	17,49
C05/78	C05/78	3,450	-143,71	-123,81	250,01	-30,55	-28,05	34,27	-143,71	-123,81	250,01
C01/116	C01/116	6,383	-141,10	124,20	-292,27	31,18	-31,53	34,55	-141,10	124,20	-292,27
C05/81	C05/81	6,800	-235,01	-60,78	373,44	18,37	-46,15	-26,78	-235,01	-60,78	373,44
C01/187	C01/187	10,800	-258,00	57,29	-307,20	-17,33	-59,32	-27,39	-258,00	57,29	-59,32
C05/87	C05/87	0,000	98,62	-68,30	150,02	46,66	-4,59	27,71	98,62	-68,30	150,02
C01/153	C01/153	0,000	75,52	73,21	-170,88	46,43	-5,10	30,69	75,52	73,21	-170,88
C05/154	C05/154	16,200	15,911	103,01	20,74	-102,85	3,60	20,00	15,911	103,01	20,74
C05/168	C05/168	10,800	-225,48	59,29	-353,30	-18,38	-3,73	-28,13	-225,48	59,29	-353,30
B687	B687										

Stav	Prvek	qx [mm]	ux [mm]	uy [mm]	uz [mm]	fix [mm]	fy [mm]	tz [mm]
C07/611	B638	5,379	0,1	0,0	0,0	0,0	0,0	-2,6
C07/569	B618	5,379	0,0	0,0	0,0	0,0	0,0	2,6
C07/584	B622	0,000	0,0	0,0	0,2	0,0	0,3	0,2
C07/185	B621	0,000	0,4	-2,7	-0,1	1,9	-0,2	0,7
C03/240	B644	0,000	0,4	2,7	-0,1	-1,9	-0,2	-0,7
C07/650	B622	2,520	0,8	1,0	-0,6	0,8	0,0	-0,3
C03/652	B644	2,163	0,4	-0,9	0,5	0,2	0,0	-0,2
C03/569	B644	0,500	0,4	2,3	0,0	-1,9	-0,2	-0,6
C03/575	B621	0,500	0,4	-2,3	0,0	1,9	-0,2	0,6
C07/650	B622	5,550	0,2	0,0	0,0	0,0	-0,3	-0,4
C07/613	B622	0,500	0,7	0,1	0,0	0,2	0,5	0,3
C03/668	B621	0,000	0,5	2,7	0,0	-1,9	-0,2	-0,8
C03/590	B644	0,000	0,5	-2,7	0,0	1,9	-0,2	0,8
C03/242	B631	0,000	-0,2	0,0	-1,0	1,9	-0,5	0,1
C07/641	B628	2,384	0,1	1,6	-0,6	0,0	0,2	-1,9
C03/568	B637	1,218	0,1	-1,1	-0,3	-0,5	0,0	0,0
C07/568	B623	1,107	0,1	1,1	-0,3	0,0	0,0	0,0
C07/602	B623	0,000	-0,2	0,0	-1,1	-1,5	-0,5	-0,1
C07/570	B628	2,384	-0,2	0,1	-0,6	2,2	0,2	0,1
C07/570	B643	2,384	-0,2	-0,1	-0,6	2,2	0,2	-0,1
C07/613	B623	0,000	-0,2	0,0	-1,1	-2,3	-0,5	-0,1
C03/681	B643	2,384	0,0	1,0	-0,6	-0,7	0,2	-1,1
C03/207	B628	1,987	0,1	2,4	-0,5	0,1	0,2	-1,9
C07/581	B643	1,987	0,1	-2,4	-0,5	-0,1	0,2	1,9
C03/182	B650	4,800	-0,1	0,1	-0,1	0,2	0,0	0,0
C03/194	B945	3,600	0,1	0,0	-0,2	0,0	0,0	0,0
C07/629	B946	2,700	0,0	-0,1	-0,3	-0,1	0,0	0,0
C07/245	B945	0,000	0,0	0,1	-0,1	0,3	0,2	-0,1
C07/657	B947	3,000	0,0	0,0	-0,7	0,1	0,0	0,0
C07/570	B647	6,000	0,0	0,0	-0,3	-0,2	0,0	0,0
C07/650	B645	0,000	0,0	0,1	-0,1	0,3	0,2	-0,1
C07/657	B647	4,800	0,0	0,0	-0,5	-0,1	-0,2	0,0
C07/179	B947	0,900	0,0	0,0	-0,4	0,0	0,2	0,0
C07/659	B645	0,000	0,0	0,1	-0,1	0,3	0,1	-0,1
C07/208	B650	4,500	0,0	0,1	-0,1	0,2	-0,1	0,1
C03/274	B695	0,000	0,0	0,0	0,0	0,0	0,1	0,0
C03/276	B695	33,600	0,0	0,0	0,0	0,0	-0,1	0,0
C03/228	B665	2,700	0,0	0,1	0,0	0,4	0,0	0,0
C03/173	B665	33,000	0,0	0,0	0,0	0,2	0,0	0,0
C03/228	B665	0,800	0,0	0,1	0,0	0,2	0,0	0,0
C03/205	B666	0,683	0,0	0,0	0,0	0,0	0,0	0,0
C03/210	B668	16,200	0,0	0,0	0,0	0,1	-0,1	0,0
C07/214	B680	5,447	0,0	-0,1	0,0	0,4	0,0	0,0
C03/180	B666	8,100	0,0	0,2	0,0	0,4	0,0	0,0
C03/180	B667	13,800	0,0	0,1	-0,1	0,4	0,0	0,0
C03/255	B696	2,025	0,0	0,0	0,0	0,0	0,0	0,0
C03/180	B666	7,521	0,0	0,2	0,0	0,4	0,0	0,0
C07/227	B698	0,683	0,0	0,0	0,0	0,0	0,0	0,0
C03/276	B686	13,307	0,0	0,1	0,0	0,3	0,0	0,0
C03/190	B686	2,893	0,0	0,1	0,0	0,3	0,0	0,0

Stav	Prvek	qx [mm]	ux [mm]	uy [mm]	uz [mm]	fix [mm]	fy [mm]	tz [mm]
C07/577	B613	4,600	-1,2	0,0	-0,6	-0,2	-0,2	-0,4
C03/568	B636	0,000	1,2	0,0	-0,5	-0,2	0,2	0,4
C07/574	B696	5,100	0,0	-3,1	-0,3	0,7	-0,2	0,0
C03/240	B696	0,000	1,2	2,6	-0,3	-0,6	0,1	0,0
C07/185	B636	1,680	-1,2	0,4	-0,9	-0,2	0,0	0,3
C03/240	B635	6,000	1,2	2,6	-0,2	-0,6	0,1	0,0
C07/574	B696	6,000	0,0	-3,1	-0,2	0,7	0,0	0,0
C07/158	B636	3,600	-1,2	0,8	-0,5	-0,2	-0,3	0,2
C07/262	B613	1,200	1,2	0,6	-0,5	-0,2	0,3	-0,2
C03/572	B613	4,800	-1,2	0,0	-0,5	-0,2	-0,2	-0,5
C03/240	B636	0,000	1,2	0,0	-0,5	-0,2	0,2	0,5
C03/569	B604	33,000	-10,9	-0,1	-0,2	0,0	-1,7	0,4
C07/568	B404	0,000	10,9	-0,1	-0,2	0,0	2,8	-0,4
C03/572	B651	9,600	1,5	-4,1	-1,3	2,6	-1,1	0,0
C07/570	B407	17,400	0,0	4,0	-0,4	0,2	0,3	0,0
C03/277	B403	25,000	6,5	-0,7	-0,7	0,0	0,1	0,1
C03/155	B407	2,640	0,1	1,1	0,4	0,2	0,0	0,5
C07/613	B651	0,000	0,0	0,3	-1,1	-0,5	1,4	-0,0
C03/668	B651	22,800	-0,9	-2,5	-0,5	3,3	-0,1	-1,0
C07/161	B403	33,600	5,5	0,0	-0,3	0,0	7,3	0,2
C07/168	B403	0,000	-6,5	0,0	-0,3	0,0	7,3	-0,2
C03/180	B407	0,000	1,7	-0,1	-0,5	0,2	0,2	-1,9
C03/240	B408	33,600	-1,7	-0,1	-0,5	0,2	-0,2	1,9
C03/270	B468	0,000	-11,0	-1,4	-1,1	0,0	-1,1	0,0
C03/270	B468	0,000	11,7	6,6	-0,9	0,0	0,0	0,0
C03/572	B662	0,000	3,6	-12,2	0,0	2,0	1,1	2,1
C03/157	B566	1,350	3,5	11,8	-0,8	0,0	0,0	0,5
C03/618	B415	3,915	0,0	0,0	-0,8	0,0	0,0	0,0
C07/570	B466	1,350	3,0	0,0	-0,8	0,0	-2,0	0,0
C07/161	B657	0,000	2,3	0,0	-4,2	-3,3	0,2	0,0
C07/628	B416	0,000	-2,1	-1,9	-4,2	3,3	-0,1	0,0
C03/277	B409	4,750	9,8	-0,3	0,0	0,0	-5,7	0,0
C03/595	B659	0,000	-6,6	-0,3	0,0	0,0	5,7	0,0
C07/243	B411	0,000	3,8	9,6	0,0	-2,0	0,9	-2,1
C07/568	B414	0,106	-3,8	-0,2	-2,6	-2,0	-0,7	2,1
C03/258	B563	1,202	-17,9	1,8	-2,3	-0,1	-0,3	-0,1
C07/158	B593	0,000	2,9	-1,3	-1,8	0,0	0,8	0,0
C03/240	B480	1,202	-4,2	-4,0	-0,8	-0,1	-0,6	-2,7
C03/572	B595	1,202	-4,2	4,0	0,8	0,1	-0,6	2,7
C03/258	B594	1,202	-4,5	-1,3	-0,2	0,0	0,1	0,0
C07/156	B592	1,202	-11,8	1,3	3,8	0,0	-0,8	0,0
C03/258	B562	0,000	0,0	-3,1	-4,9	-2,9	0,5	-1,7
C03/157	B489	0,000	0,0	3,0	-4,6	2,8	0,5	-1,7
C03/270	B482	1,202	-14,8	-0,6	-5,2	0,0	-1,4	0,0
C03/270	B481	0,000	-6,8	0,8	-14,6	0,0	1,4	0,0
C07/161	B560	0,000	-3,8	1,6	-1,2	0,8	-0,4	-2,8
C07/200	B494	0,100	-3,8	-1,2	-1,2	-0,5	-0,4	2,8
C07/576	B607	3,800	-0,2	0,0	0,0	0,0	0,2	-0,1
C07/576	B607	3,800	-0,2	0,0	0,0	0,0	0,2	-0,1
C07/576	B606	3,800	-0,1	0,0	0,0	0,0	-0,3	0,0
C07/570	B606	3,800	-0,2	0,0	0,0	0,0	0,2	0,0
C07/179	B607	3,800	-0,2	0,0	0,0	0,0	0,2	-0,1
C03/240	B604	3,800	-0,2	0,1	0,0	0,0	0,1	0,1
C03/643	B615	0,000	0,3	0,1	0,2	0,0	0,0	0,4
C07/568	B618	0,000	0,2	-10,9	-0,1	0,4	0,0	-1,4
C03/568	B638	0,000	0,2	10,9	-0,1	-0,4	0,0	-1,4
C07/156	B620	0,000	0,2	-5,9	-0,1	1,6	0,0	0,5
C03/242	B632	0,000	0,3	-0,1	0,2	0,0	0,1	-0,7
C03/160	B642	0,000	0,2	5,9	-0,1	-1,6	0,0	-0,5
C03/189	B620	0,000	0,2	-5,9	-0,1	1,6	0,0	0,5
C07/613	B632	0,000	0,3	-0,1	0,2	0,0	0,1	-0,7

1. Vnitřní síly na prutu

Údání výpočet, Extrém : Globální, Systém : Hlavní

Výběr : Vše

Třída : RC1

Vznos : vazník

Prvek	Stav	dx [m]	N [kN]	Vx [kN]	Mx [kNm]	My [kNm]	Mz [kNm]
B851	C05/444	22,800	-5,40	-0,19	6,92	0,00	-7,45
B845	C05/280	10,800	5,68	0,00	5,91	0,00	-6,17
B851	C01/292	28,800	-2,93	-0,36	3,54	0,00	-4,33
B851	C01/278	0,000	-2,91	0,36	1,74	0,00	-0,87
B840	C05/400	10,800	-1,41	-0,02	-19,43	0,00	-19,42
B851	C05/401	22,800	-1,40	0,02	19,44	0,00	-19,41
B851	C01/313	0,000	3,23	-0,12	5,00	0,00	0,29
B851	C01/309	28,800	3,22	0,12	8,26	0,00	-7,84
B840	C05/401	22,800	-0,33	0,00	-18,95	0,00	-19,42
B840	C05/402	25,800	-1,40	0,02	0,81	0,00	10,65
B851	C01/278	4,800	-2,91	0,36	-3,54	0,00	-4,34

2. Vnitřní síly na prutu

Údání výpočet, Extrém : Globální, Systém : Hlavní

Výběr : Vše

Třída : RC1

Vznos : vazník

Prvek	Stav	dx [m]	N [kN]	Vx [kN]	Mx [kNm]	My [kNm]	Mz [kNm]
B848	C01/292	0,000	-1,24	0,00	0,02	0,03	0,00
B861	C05/421	5,150	1,80	0,00	0,29	0,00	-0,15
B843	C01/279	0,000	0,12	-0,01	0,14	0,00	0,00
B859	C01/292	0,000	0,83	0,01	-0,37	-0,01	0,00
B859	C01/313	4,750	-0,57	0,00	0,75	0,00	0,00
B863	C05/77	0,000	-0,57	0,00	0,75	0,00	0,00
B843	C01/279	5,150	0,35	-0,01	-0,21	0,05	-0,01
B841	C01/292	0,000	0,84	0,01	-0,49	-0,01	-0,38
B840	C05/77	1,435	0,00	0,00	-0,01	0,00	0,61
B843	C01/278	5,150	0,01	-0,01	-0,33	-0,01	-0,35
B863	C01/278	5,150	-0,25	0,01	-0,28	-0,03	-0,22

3. Vnitřní síly na prutu

Údání výpočet, Extrém : Globální, Systém : Hlavní

Výběr : Vše

Třída : RC1

Vznos : vazník

Prvek	Stav	dx [m]	N [kN]	Vx [kN]	Mx [kNm]	My [kNm]	Mz [kNm]
B848	C05/333	6,943	-392,93	-0,02	27,81	0,00	6,68
B847	C01/340	9,257	390,72	0,05	-0,41	0,00	0,71
B855	C05/6	0,000	-96,41	-4,18	-4,37	0,09	0,00
B862	C05/406	0,000	-96,40	4,18	-4,41	-0,09	0,00
B846	C01/351	13,986	-203,56	0,62	-38,84	0,00	2,25
B846	C01/340	4,629	-320,31	-0,08	35,17	0,00	4,01
B877	C05/294	0,000	103,72	-0,73	0,70	-0,22	0,25
B830	C05/137	0,000	103,72	0,73	0,69	0,22	-0,25
B831	C01/18	0,000	-32,60	1,65	5,27	-0,06	-2,64
B846	C01/340	9,207	-352,06	-0,07	-3,98	0,00	8,08
B855	C05/6	0,000	-96,17	-4,19	-4,37	0,09	-2,18
B862	C05/406	0,000	-96,16	4,18	-4,41	-0,09	-2,20

4. Posudek oceli

Údání výpočet, Extrém : Prvek

Výběr : Vše

Třída : RC1

Prvek	Stav	Prvek	čas	mat	dx [m]	jednosudek [k]	prvek [k]	posudek [k]
C05/005	B222	CS10 - RO101.6X5	S 235	S 235	1,778	0,23	0,23	0,00
C01/308	B223	CS10 - RO101.6X5	S 235	S 235	1,778	0,13	0,13	0,00
C01/311	B224	CS10 - RO101.6X5	S 235	S 235	1,778	0,07	0,07	0,00
C05/034	B225	CS3 - RO108X5,6	S 235	S 235	0,000	0,32	0,32	0,02
C01/328	B226	CS10 - RO101.6X5	S 235	S 235	0,000	0,27	0,27	0,00
C05/034	B227	CS10 - RO101.6X5	S 235	S 235	0,000	0,14	0,14	0,00
C05/034	B228	CS2 - RO138.7X6,3	S 235	S 235	8,943	0,38	0,38	0,36
C01/307	B228	CS7 - RO138.7X6,3	S 235	S 235	8,943	0,26	0,26	0,00
C01/307	B230	CS7 - RO138.7X6,3	S 235	S 235	1,778	0,21	0,21	0,00
C01/307	B231	CS2 - HEA200	S 235	S 235	0,500	0,11	0,09	0,11
C01/307	B232	CS7 - RO138.7X6,3	S 235	S 235	1,780	0,21	0,21	0,00
C01/328	B234	CS10 - RO101.6X5	S 235	S 235	0,000	0,14	0,11	0,14
C01/328	B235	CS3 - RO108X5,6	S 235	S 235	0,000	0,27	0,23	0,27
C05/005	B236	CS3 - RO108X5,6	S 235	S 235	0,000	0,32	0,32	0,00
C05/018	B237	CS10 - RO101.6X5	S 235	S 235	0,000	0,06	0,04	0,06
C01/328	B238	CS10 - RO101.6X5	S 235	S 235	1,778	0,12	0,12	0,00
C05/288	B238	CS10 - RO101.6X5	S 235	S 235	1,778	0,23	0,23	0,00
C05/033	B240	CS10 - RO101.6X5	S 235	S 235	1,778	0,25	0,25	0,00
C05/042	B241	CS10 - RO101.6X5	S 235	S 235	1,778	0,13	0,13	0,00
C01/345	B242	CS10 - RO101.6X5	S 235	S 235	1,778	0,07	0,07	0,00
C05/033	B243	CS3 - RO108X5,6	S 235	S 235	0,000	0,33	0,33	0,33
C05/294	B244	CS10 - RO101.6X5	S 235	S 235	0,000	0,28	0,25	0,28
C01/340	B245	CS10 - RO101.6X5	S 235	S 235	0,000	0,15	0,12	0,15
C05/033	B246	CS2 - HEA200	S 235	S 235	6,943	0,39	0,28	0,39
C01/340	B247	CS7 - RO138.7X6,3	S 235	S 235	9,257	0,57	0,57	0,00
C01/326	B248	CS7 - RO138.7X6,3	S 235	S 235	1,778	0,23	0,23	0,00
C01/326	B249	CS2 - HEA200	S 235	S 235	0,500	0,11	0,10	0,11
C01/326	B250	CS7 - RO138.7X6,3	S 235	S 235	1,780	0,22	0,22	0,00
C01/340	B252	CS10 - RO101.6X5	S 235	S 235	0,000	0,15	0,12	0,15
C05/294	B253	CS10 - RO101.6X5	S 235	S 235	0,000	0,28	0,25	0,28
C05/033	B254	CS3 - RO108X5,6	S 235	S 235	0,000	0,33	0,31	0,33
C05/032	B255	CS10 - RO101.6X5	S 235	S 235	0,000	0,05	0,04	0,05
C05/294	B256	CS10 - RO101.6X5	S 235	S 235	1,778	0,13	0,13	0,00
C05/033	B257	CS10 - RO101.6X5	S 235	S 235	1,778	0,25	0,25	0,00
C05/060	B258	CS10 - RO101.6X5	S 235	S 235	1,778	0,24	0,24	0,00
C01/308	B258	CS10 - RO101.6X5	S 235	S 235	1,778	0,13	0,13	0,00
C01/311	B260	CS3 - RO108X5,6	S 235	S 235	0,000	0,07	0,07	0,00
C05/060	B261	CS3 - RO108X5,6	S 235	S 235	0,000	0,32	0,28	0,32
C01/307	B262	CS10 - RO101.6X5	S 235	S 235	0,000	0,27	0,24	0,27
C01/307	B263	CS10 - RO101.6X5	S 235	S 235	0,000	0,14	0,12	0,14
C05/034	B264	CS2 - HEA200	S 235	S 235	6,943	0,37	0,27	0,37
C01/326	B265	CS7 - RO138.7X6,3	S 235	S 235	9,257	0,54	0,54	0,00
C01/326	B266	CS7 - RO138.7X6,3	S 235	S 235	1,778	0,22	0,22	0,00
C01/326	B267	CS2 - HEA200	S 235	S 235	0,500	0,11	0,09	0,11
C01/326	B268	CS7 - RO138.7X6,3	S 235	S 235	1,780	0,22	0,22	0,00
C01/307	B270	CS10 - RO101.6X5	S 235	S 235	0,000	0,14	0,12	0,14
C01/307	B271	CS10 - RO101.6X5	S 235	S 235	0,000	0,27	0,24	0,27
C05/060	B272	CS3 - RO108X5,6	S 235	S 235	0,000	0,32	0,30	0,32
C05/032	B273	CS10 - RO101.6X5	S 235	S 235	0,000	0,05	0,04	0,05
C01/328	B274	CS10 - RO101.6X5	S 235	S 235	1,778	0,12	0,12	0,00
C05/289	B275	CS10 - RO101.6X5	S 235	S 235	1,778	0,24	0,24	0,00
C05/401	B402	CS11 - IPE180	S 235	S 235	22,800	0,50	0,50	0,24
C05/401	B403	CS11 - IPE180	S 235	S 235	22,800	0,43	0,43	0,21
C05/404	B403	CS11 - IPE180	S 235	S 235	22,800	0,41	0,41	0,00
C05/404	B404	CS11 - IPE180	S 235	S 235	22,800	0,41	0,41	0,00
C05/294	B405	CS11 - IPE180	S 235	S 235	22,800	0,42	0,42	0,20
C01/405	B406	CS11 - IPE180	S 235	S 235	10,800	0,42	0,42	0,23
C01/405	B407	CS11 - IPE180	S 235	S 235	10,800	0,22	0,22	0,12
C06/23	B408	CS13 - RO101.6X4	S 235	S 235	2,800	0,03	0,03	0,00
C05/7	B409	CS13 - RO101.6X4	S 235	S 235	1,435	0,07	0,07	0,00
C01/303	B411	CS13 - RO101.6X4	S 235	S 235	2,145	0,03	0,03	0,00
C01/292	B412	CS13 - RO101.6X4	S 235	S 235	0,850	0,04	0,04	0,02
C01/298	B413	CS13 - RO101.6X4	S 235	S 235	5,150	0,04	0,04	0,02
C01/319	B414	CS13 - RO101.6X4	S 235	S 235	2,605	0,03	0,03	0,00

Stav	Prvek	cas	mat	dt [m]	jed.poustek [t]	počet [t]	slab. poustek [t]
C05404	B415	CS13 - RO101.6X5	S 235	3,845	0,03	0,03	0,00
C01222	B416	CS13 - RO101.6X4	S 235	0,850	0,02	0,03	0,00
C05713	B419	CS13 - RO101.6X4	S 235	0,850	0,02	0,03	0,00
C01292	B420	CS13 - RO101.6X4	S 235	0,850	0,03	0,03	0,01
C05315	B464	CS13 - RO101.6X4	S 235	0,000	0,07	0,07	0,04
C01207	B465	CS13 - RO101.6X4	S 235	1,350	0,04	0,03	0,04
C05313	B466	CS13 - RO101.6X4	S 235	0,000	0,07	0,07	0,04
C05315	B467	CS13 - RO101.6X4	S 235	0,000	0,07	0,07	0,05
C05313	B468	CS13 - RO101.6X4	S 235	1,350	0,04	0,03	0,04
C01240	B469	CS13 - RO101.6X4	S 235	0,000	0,07	0,07	0,04
C05315	B470	CS13 - RO101.6X4	S 235	0,000	0,07	0,07	0,05
C05313	B471	CS13 - RO101.6X4	S 235	0,850	0,05	0,03	0,04
C05315	B472	CS13 - RO101.6X4	S 235	0,000	0,07	0,07	0,04
C05313	B473	CS13 - RO101.6X4	S 235	0,000	0,02	0,02	0,01
C05417	B476	CS15 - RO44.5X4	S 235	0,000	0,01	0,01	0,01
C01278	B480	CS15 - RO44.5X4	S 235	0,000	0,01	0,01	0,01
C01163	B481	CS15 - RO44.5X4	S 235	0,000	0,01	0,01	0,01
C01278	B482	CS15 - RO44.5X4	S 235	0,000	0,01	0,01	0,01
C01278	B483	CS15 - RO44.5X4	S 235	0,000	0,02	0,02	0,01
C05418	B484	CS15 - RO44.5X4	S 235	0,000	0,01	0,01	0,01
C05406	B485	CS15 - RO44.5X4	S 235	0,000	0,02	0,02	0,01
C01202	B486	CS15 - RO44.5X4	S 235	0,000	0,02	0,02	0,01
C05442	B487	CS15 - RO44.5X4	S 235	0,000	0,01	0,01	0,01
C05419	B488	CS15 - RO44.5X4	S 235	0,000	0,02	0,02	0,01
C05417	B489	CS15 - RO44.5X4	S 235	0,000	0,02	0,02	0,01
C056	B490	CS15 - RO44.5X4	S 235	0,000	0,02	0,02	0,01
C01278	B491	CS15 - RO44.5X4	S 235	0,000	0,02	0,02	0,01
C05294	B492	CS15 - RO44.5X4	S 235	0,000	0,02	0,02	0,01
C01135	B493	CS15 - RO44.5X4	S 235	0,000	0,01	0,01	0,01
C01100	B494	CS15 - RO44.5X4	S 235	0,000	0,01	0,01	0,01
C05417	B495	CS15 - RO44.5X4	S 235	0,000	0,02	0,02	0,01
C05416	B496	CS15 - RO44.5X4	S 235	0,000	0,02	0,02	0,01
C05334	B540	CS10 - RO101.6X5	S 235	1,778	0,25	0,25	0,01
C01245	B541	CS10 - RO101.6X5	S 235	1,778	0,13	0,13	0,00
C05334	B542	CS10 - RO101.6X5	S 235	1,778	0,07	0,07	0,00
C05334	B543	CS3 - RO108X5,6	S 235	0,000	0,33	0,30	0,33
C01405	B544	CS10 - RO101.6X5	S 235	0,000	0,27	0,25	0,27
C01405	B545	CS10 - RO101.6X5	S 235	0,000	0,15	0,12	0,15
C05334	B546	CS2 - HEA200	S 235	6,943	0,38	0,28	0,39
C01405	B547	CS7 - RO139.7X6,3	S 235	9,257	0,57	0,57	0,00
C01307	B548	CS2 - HEA200	S 235	1,778	0,23	0,23	0,00
C01307	B549	CS2 - HEA200	S 235	0,500	0,11	0,10	0,11
C01405	B550	CS7 - RO139.7X6,3	S 235	1,780	0,22	0,22	0,00
C01405	B552	CS10 - RO101.6X5	S 235	0,000	0,15	0,12	0,15
C05334	B553	CS10 - RO101.6X5	S 235	0,000	0,27	0,25	0,27
C05332	B554	CS3 - RO108X5,6	S 235	0,000	0,33	0,31	0,33
C05332	B555	CS10 - RO101.6X5	S 235	0,000	0,05	0,04	0,05
C0537	B556	CS10 - RO101.6X5	S 235	1,778	0,13	0,13	0,00
C05334	B557	CS10 - RO101.6X5	S 235	1,778	0,25	0,25	0,00
C05315	B558	CS13 - RO101.6X4	S 235	0,000	0,07	0,07	0,05
C05315	B559	CS13 - RO101.6X4	S 235	1,350	0,04	0,03	0,04
C05315	B560	CS13 - RO101.6X4	S 235	0,000	0,07	0,07	0,04
C0517	B561	CS15 - RO44.5X4	S 235	0,000	0,02	0,02	0,01
C01252	B562	CS15 - RO44.5X4	S 235	0,000	0,02	0,02	0,01
C05419	B563	CS15 - RO44.5X4	S 235	0,000	0,01	0,01	0,01
C05468	B564	CS15 - RO44.5X4	S 235	0,000	0,01	0,01	0,01
C056	B565	CS15 - RO44.5X4	S 235	0,000	0,02	0,02	0,01
C01278	B566	CS10 - RO101.6X5	S 235	0,000	0,23	0,23	0,00
C05320	B570	CS10 - RO101.6X5	S 235	1,778	0,13	0,13	0,00
C01311	B571	CS10 - RO101.6X5	S 235	1,778	0,07	0,07	0,00
C05333	B572	CS3 - RO108X5,6	S 235	0,000	0,32	0,29	0,32
C01340	B573	CS10 - RO101.6X5	S 235	0,000	0,27	0,23	0,27
C01326	B574	CS10 - RO101.6X5	S 235	0,000	0,14	0,11	0,14
C05360	B575	CS2 - HEA200	S 235	6,943	0,36	0,26	0,36
C01326	B576	CS7 - RO139.7X6,3	S 235	9,257	0,53	0,53	0,00
C01326	B577	CS7 - RO139.7X6,3	S 235	1,778	0,21	0,21	0,00
C01326	B578	CS2 - HEA200	S 235	0,500	0,11	0,09	0,11
C01326	B579	CS7 - RO139.7X6,3	S 235	1,780	0,21	0,21	0,00

5. Posudek oceli - požární odolnost

Jméno typu	Stav	Prvek	cas	mat	dt [m]	jed.poustek [t]
Posudek oceli - požární odolnost	C04/684	B222	CS10 - RO101.6X5	S 235	0,00	0,14
Posudek oceli - požární odolnost	C04/685	B223	CS10 - RO101.6X5	S 235	1,778	0,74
Posudek oceli - požární odolnost	C04/686	B224	CS10 - RO101.6X5	S 235	1,778	0,61
Posudek oceli - požární odolnost	C04/684	B225	CS3 - RO108X5,6	S 235	0,00	0,88
Posudek oceli - požární odolnost	C04/687	B226	CS10 - RO101.6X5	S 235	0,00	0,87
Posudek oceli - požární odolnost	C04/684	B227	CS10 - RO101.6X5	S 235	1,151	0,71
Posudek oceli - požární odolnost	C04/684	B228	CS2 - HEA200	S 235	6,903	0,61
Posudek oceli - požární odolnost	C04/684	B228	CS7 - RO139.7X6,3	S 235	9,257	0,86
Posudek oceli - požární odolnost	C04/684	B230	CS7 - RO139.7X6,3	S 235	0,000	0,60
Posudek oceli - požární odolnost	C04/684	B231	CS2 - HEA200	S 235	0,000	0,64
Posudek oceli - požární odolnost	C04/684	B232	CS7 - RO139.7X6,3	S 235	1,780	0,80
Posudek oceli - požární odolnost	C04/684	B234	CS10 - RO101.6X5	S 235	1,046	0,77
Posudek oceli - požární odolnost	C04/687	B235	CS10 - RO101.6X5	S 235	0,000	0,87
Posudek oceli - požární odolnost	C04/684	B236	CS3 - RO108X5,6	S 235	0,000	0,88
Posudek oceli - požární odolnost	C04/687	B237	CS10 - RO101.6X5	S 235	1,778	0,61
Posudek oceli - požární odolnost	C04/684	B238	CS10 - RO101.6X5	S 235	1,778	0,74
Posudek oceli - požární odolnost	C04/684	B239	CS10 - RO101.6X5	S 235	1,778	0,86
Posudek oceli - požární odolnost	C04/687	B240	CS10 - RO101.6X5	S 235	1,778	0,61
Posudek oceli - požární odolnost	C04/685	B241	CS10 - RO101.6X5	S 235	1,778	0,76
Posudek oceli - požární odolnost	C04/685	B242	CS10 - RO101.6X5	S 235	1,778	0,61
Posudek oceli - požární odolnost	C04/684	B243	CS3 - RO108X5,6	S 235	0,000	0,88
Posudek oceli - požární odolnost	C04/687	B244	CS10 - RO101.6X5	S 235	1,464	0,87
Posudek oceli - požární odolnost	C04/684	B245	CS10 - RO101.6X5	S 235	6,963	0,82
Posudek oceli - požární odolnost	C04/687	B246	CS2 - HEA200	S 235	4,629	0,86
Posudek oceli - požární odolnost	C04/687	B248	CS7 - RO139.7X6,3	S 235	1,778	0,81
Posudek oceli - požární odolnost	C04/687	B249	CS2 - HEA200	S 235	0,000	0,65
Posudek oceli - požární odolnost	C04/687	B250	CS7 - RO139.7X6,3	S 235	1,780	0,81
Posudek oceli - požární odolnost	C04/684	B252	CS10 - RO101.6X5	S 235	0,000	0,78
Posudek oceli - požární odolnost	C04/684	B253	CS3 - RO108X5,6	S 235	0,000	0,87
Posudek oceli - požární odolnost	C04/684	B254	CS10 - RO101.6X5	S 235	1,673	0,81
Posudek oceli - požární odolnost	C04/684	B255	CS10 - RO101.6X5	S 235	1,778	0,61
Posudek oceli - požární odolnost	C04/684	B256	CS10 - RO101.6X5	S 235	1,778	0,76

Ujmeno typu	Stav	Prevek	cas	mat	dx	jed.pasauk H
Peusdek celi - pozirni odnohet	CO4/687	B227	CS10 - RO101.6X5	S 235	1,778	0,86
Peusdek celi - pozirni odnohet	CO4/684	B228	CS10 - RO101.6X5	S 235	1,778	0,86
Peusdek celi - pozirni odnohet	CO4/685	B229	CS10 - RO101.6X5	S 235	1,778	0,75
Peusdek celi - pozirni odnohet	CO4/684	B261	CS3 - RO101.6X5	S 235	1,873	0,88
Peusdek celi - pozirni odnohet	CO4/687	B262	CS10 - RO101.6X5	S 235	0,000	0,87
Peusdek celi - pozirni odnohet	CO4/684	B263	CS10 - RO101.6X5	S 235	1,255	0,77
Peusdek celi - pozirni odnohet	CO4/684	B264	CS2 - HEA200	S 235	6,903	0,82
Peusdek celi - pozirni odnohet	CO4/684	B265	CS7 - RO193.7X6.3	S 235	4,629	0,96
Peusdek celi - pozirni odnohet	CO4/684	B265	CS7 - RO193.7X6.3	S 235	1,778	0,81
Peusdek celi - pozirni odnohet	CO4/687	B267	CS2 - HEA200	S 235	0,000	0,64
Peusdek celi - pozirni odnohet	CO4/684	B268	CS7 - RO193.7X6.3	S 235	1,780	0,81
Peusdek celi - pozirni odnohet	CO4/684	B270	CS10 - RO101.6X5	S 235	1,255	0,77
Peusdek celi - pozirni odnohet	CO4/687	B271	CS10 - RO101.6X5	S 235	0,000	0,87
Peusdek celi - pozirni odnohet	CO4/684	B272	CS3 - RO101.6X5	S 235	1,569	0,86
Peusdek celi - pozirni odnohet	CO4/687	B272	CS3 - RO101.6X5	S 235	1,778	0,86
Peusdek celi - pozirni odnohet	CO4/687	B274	CS10 - RO101.6X5	S 235	1,778	0,75
Peusdek celi - pozirni odnohet	CO4/684	B275	CS10 - RO101.6X5	S 235	1,778	0,85
Peusdek celi - pozirni odnohet	CO4/685	B400	CS11 - PE180	S 235	10,800	0,83
Peusdek celi - pozirni odnohet	CO4/685	B402	CS11 - PE180	S 235	10,800	0,92
Peusdek celi - pozirni odnohet	CO4/684	B403	CS11 - PE180	S 235	10,800	0,92
Peusdek celi - pozirni odnohet	CO4/684	B404	CS11 - PE180	S 235	10,800	0,82
Peusdek celi - pozirni odnohet	CO4/684	B405	CS11 - PE180	S 235	10,800	0,82
Peusdek celi - pozirni odnohet	CO4/684	B406	CS11 - PE180	S 235	10,800	0,82
Peusdek celi - pozirni odnohet	CO4/687	B407	CS11 - PE180	S 235	4,800	0,85
Peusdek celi - pozirni odnohet	CO4/684	B408	CS13 - RO101.6X4	S 235	2,985	0,88
Peusdek celi - pozirni odnohet	CO4/684	B409	CS13 - RO101.6X4	S 235	2,020	0,88
Peusdek celi - pozirni odnohet	CO4/688	B411	CS13 - RO101.6X4	S 235	1,755	0,64
Peusdek celi - pozirni odnohet	CO4/689	B412	CS13 - RO101.6X4	S 235	0,850	0,54
Peusdek celi - pozirni odnohet	CO4/690	B413	CS13 - RO101.6X4	S 235	0,850	0,60
Peusdek celi - pozirni odnohet	CO4/691	B414	CS13 - RO101.6X4	S 235	2,800	0,63
Peusdek celi - pozirni odnohet	CO4/685	B415	CS13 - RO101.6X4	S 235	0,850	0,63
Peusdek celi - pozirni odnohet	CO4/688	B416	CS13 - RO101.6X4	S 235	0,850	0,63
Peusdek celi - pozirni odnohet	CO4/688	B419	CS13 - RO101.6X4	S 235	0,850	0,63
Peusdek celi - pozirni odnohet	CO4/688	B420	CS13 - RO101.6X4	S 235	0,850	0,63
Peusdek celi - pozirni odnohet	CO4/687	B464	CS13 - RO101.6X4	S 235	0,000	0,70
Peusdek celi - pozirni odnohet	CO4/685	B465	CS13 - RO101.6X4	S 235	1,250	0,65
Peusdek celi - pozirni odnohet	CO4/684	B466	CS13 - RO101.6X4	S 235	0,000	0,69
Peusdek celi - pozirni odnohet	CO4/684	B467	CS13 - RO101.6X4	S 235	0,000	0,70
Peusdek celi - pozirni odnohet	CO4/685	B468	CS13 - RO101.6X4	S 235	1,350	0,63
Peusdek celi - pozirni odnohet	CO4/687	B469	CS13 - RO101.6X4	S 235	0,000	0,70
Peusdek celi - pozirni odnohet	CO4/687	B470	CS13 - RO101.6X4	S 235	0,000	0,70
Peusdek celi - pozirni odnohet	CO4/684	B471	CS13 - RO101.6X4	S 235	0,850	0,63
Peusdek celi - pozirni odnohet	CO4/684	B472	CS13 - RO101.6X4	S 235	0,000	0,63
Peusdek celi - pozirni odnohet	CO4/691	B479	CS15 - RO44.5X4	S 235	0,501	0,61
Peusdek celi - pozirni odnohet	CO4/690	B480	CS15 - RO44.5X4	S 235	0,501	0,61
Peusdek celi - pozirni odnohet	CO4/692	B481	CS15 - RO44.5X4	S 235	0,501	0,61
Peusdek celi - pozirni odnohet	CO4/690	B482	CS15 - RO44.5X4	S 235	0,401	0,60
Peusdek celi - pozirni odnohet	CO4/691	B483	CS15 - RO44.5X4	S 235	0,501	0,61
Peusdek celi - pozirni odnohet	CO4/691	B484	CS15 - RO44.5X4	S 235	0,501	0,61
Peusdek celi - pozirni odnohet	CO4/691	B485	CS15 - RO44.5X4	S 235	0,501	0,61
Peusdek celi - pozirni odnohet	CO4/691	B486	CS15 - RO44.5X4	S 235	0,501	0,61
Peusdek celi - pozirni odnohet	CO4/691	B487	CS15 - RO44.5X4	S 235	0,501	0,61
Peusdek celi - pozirni odnohet	CO4/691	B488	CS15 - RO44.5X4	S 235	0,501	0,61
Peusdek celi - pozirni odnohet	CO4/691	B489	CS15 - RO44.5X4	S 235	0,501	0,61
Peusdek celi - pozirni odnohet	CO4/688	B490	CS15 - RO44.5X4	S 235	0,501	0,61
Peusdek celi - pozirni odnohet	CO4/691	B491	CS15 - RO44.5X4	S 235	0,501	0,61
Peusdek celi - pozirni odnohet	CO4/688	B492	CS15 - RO44.5X4	S 235	0,501	0,61
Peusdek celi - pozirni odnohet	CO4/691	B493	CS15 - RO44.5X4	S 235	0,501	0,61
Peusdek celi - pozirni odnohet	CO4/688	B494	CS15 - RO44.5X4	S 235	0,501	0,61
Peusdek celi - pozirni odnohet	CO4/688	B495	CS15 - RO44.5X4	S 235	0,501	0,61
Peusdek celi - pozirni odnohet	CO4/691	B496	CS15 - RO44.5X4	S 235	0,501	0,61
Peusdek celi - pozirni odnohet	CO4/687	B540	CS10 - RO101.6X5	S 235	1,778	0,86
Peusdek celi - pozirni odnohet	CO4/685	B541	CS10 - RO101.6X5	S 235	1,778	0,75
Peusdek celi - pozirni odnohet	CO4/685	B541	CS10 - RO101.6X5	S 235	1,778	0,81
Peusdek celi - pozirni odnohet	CO4/685	B542	CS3 - RO101.6X5	S 235	1,778	0,88
Peusdek celi - pozirni odnohet	CO4/684	B543	CS3 - RO101.6X5	S 235	1,778	0,88
Peusdek celi - pozirni odnohet	CO4/687	B544	CS10 - RO101.6X5	S 235	0,000	0,79
Peusdek celi - pozirni odnohet	CO4/684	B545	CS10 - RO101.6X5	S 235	1,464	0,87

5. Relativní deformace

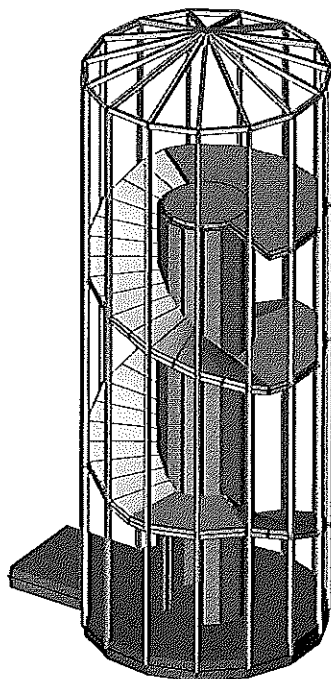
Únásimí výpočet, Extrém : Globální, Systém : Hlavní

Výber : Vao

THida : RC2

Slav. + kombinac.	Provk	dx [m]	ly [mm]	Rol uz [1/ax]	Posudok uy [°]	uz [mm]	Rol uz [1/ax]	Posudok uz [°]
	B414	0,000	-10,2	1467	0,43	0,0	0	0,00
	C07/568							
	B411	0,000	10,2	1467	0,43	0,0	0	0,00
	C07/243							
	B400	25,800	-0,5	170000	0,02	-2,7	1811	0,25
	C07/950							
	B8	4,750	0,0	0	0,00	2,4	17192	0,11
	C03/240							

1. Konstrukční model



1. Projekt

Licenciální jméno	STATIKA JSKK
Projekt	Bazén Domažlice
Část	Tobogán
Popis	-
Autor	Ing. Havel Josef
Datum	11. 7. 2013
Konstrukce	Obecná XYZ
Počet ústí :	287
Počet prvků :	90
Počet ploch :	69
Počet těles :	0
Počet přířezů :	2
Počet zat. stání :	8
Počet materiálů :	2
Trhová zrychlení [m/sec²]	9.810
Národní norma	EC - EN

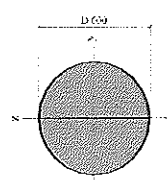
2. Vrstvy

Jméno	podklad
Jméno	podstata
Jméno	sloupok
Jméno	stěna
Jméno	slupně
Jméno	základová deska
Jméno	pilce

3. Průřezy

Jméno	CS1
Typ	MSH100x50x4.0
Základní hodnoty	British Standard / BS 5950 part 1 : 1960 & EN 10210-2
Materiál	S 235
Výroba	valcovný
Vstupní y-y, z-z	a
A [m²]	1,1200e-03
A y, z [m²]	3,7333e-04
I y, z [m⁴]	1,4200e-08
I w [m³, 1 [m⁴]	6,2500e-10
Wpl y, z [m³]	2,7800e-05
Wpl y, z [m³]	3,4781e-05
d y, z [mm]	0
c YLSS, ZLSS [mm]	25
alfa [deg]	0.00
AL [m³/m]	2,8855e-01
Jméno	CS2
Typ	Kruh
Detailní	600
Materiál	C25/30
Výroba	beton
Vstupní y-y, z-z	b

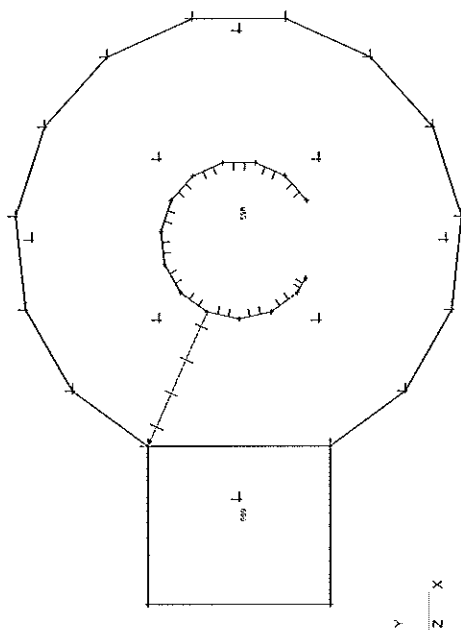
Výpočet FEM	*
A [m²]	2,8289e-01
A y, z [m²]	2,4028e-01
I y, z [m⁴]	6,3581e-03
I w [m³, 1 [m⁴]	1,2719e-02
Wpl y, z [m³]	2,1157e-02
Wpl y, z [m³]	3,5989e-02
d y, z [mm]	0
c YLSS, ZLSS [mm]	0
alfa [deg]	0.00
AL [m³/m]	1,8849e-00



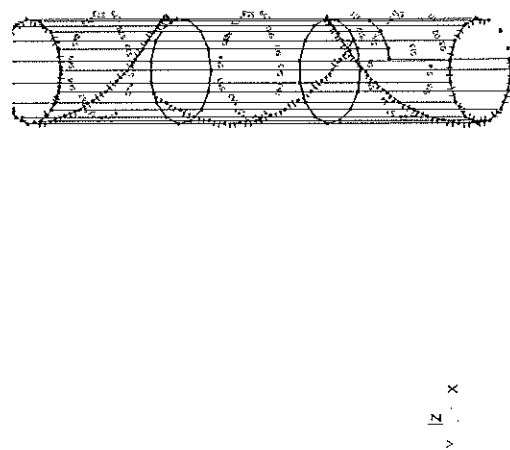
4. Materiály

Jméno	Jednotková hmotnost [kg/m³]	E [MPa]	Poisson - nu	G [MPa]	Top. rozst. [mm]	Dolní roz. [mm]	Horní roz. [mm]	Fy (tlač.) [MPa]	Fy (tah.) [MPa]	Fu (tah.) [MPa]
S 235	7850.0	2,1000e+05	0,3	3,0766e+04	0,00	0	40	235.0	235.0	360.0
C25/30										
Jméno	Typ	Jednotková hmotnost [kg/m³]	E [MPa]	Poisson - nu	G [MPa]	Top. rozst. [mm]	Dolní roz. [mm]	Charakteristická vodorov. pevnost v tlaku [MPa]	Charakteristická vodorov. pevnost v tahu [MPa]	Fu (tah.) [MPa]
C25/30	Beton	2500.0	3,1500e+04	0,2	1,3125e+04	0,00	0,00			25.00

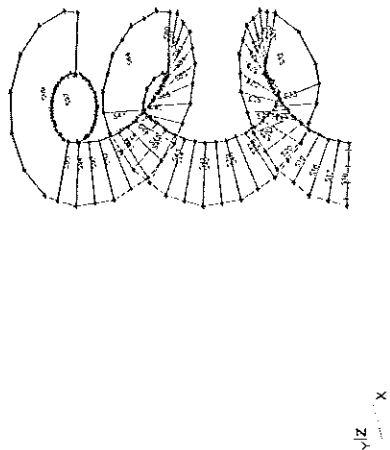
1. Základová deska



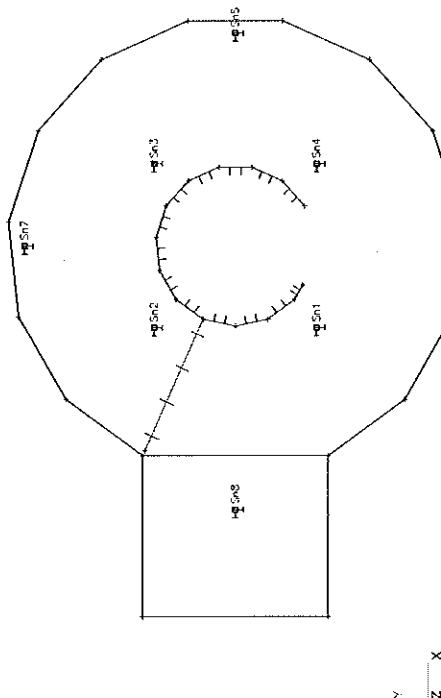
2. Stěny



3. Ramena, podesty



1. Výpočtový model



2. Reakce

Lineární výpočet, Extrém : Uzel
Výběr : Vše
Třída : MSU

Podpora	Stav	Rx [kN]	Ry [kN]	Rz [kN]
Sn1/N296	CO1/1	-19,04	-18,11	-193,28
Sn1/N296	CO1/2	4,42	5,38	208,12
Sn2/N298	CO1/1	-11,18	-10,47	68,41
Sn2/N298	CO1/3	3,59	-4,13	232,40
Sn2/N298	CO1/4	1,32	-14,90	295,07
Sn2/N298	CO1/5	-9,32	0,72	-13,59
Sn3/N299	CO1/6	-28,17	-23,04	556,90
Sn3/N299	CO1/7	-2,38	-3,11	140,53
Sn4/N297	CO1/6	-20,38	-5,88	193,22
Sn4/N297	CO1/7	-1,82	3,06	128,34
Sn4/N297	CO1/8	-4,75	-11,74	26,87
Sn4/N297	CO1/9	-17,44	8,92	294,70
Sn5/N300	CO1/6	-31,08	-10,72	181,30
Sn5/N300	CO1/7	-2,76	-0,04	51,76
Sn5/N300	CO1/10	-10,03	-11,54	84,69
Sn5/N300	CO1/11	-23,82	0,78	148,37
Sn6/N302	CO1/1	-16,53	-15,63	-28,49
Sn6/N302	CO1/2	0,82	3,79	56,91

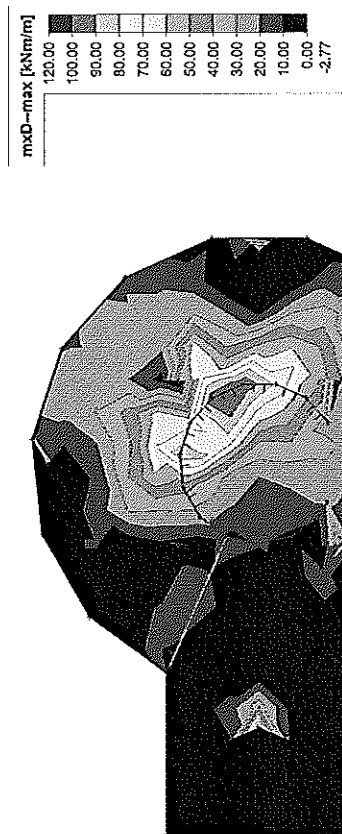
Podpora	Stav	Rx [kN]	Ry [kN]	Rz [kN]
Sn6/N302	CO1/8	-4,22	-15,76	-29,91
Sn6/N302	CO1/12	-6,56	3,87	57,76
Sn7/N304	CO1/1	-13,71	-22,37	142,73
Sn7/N304	CO1/2	0,36	-5,45	75,39
Sn7/N304	CO1/6	-13,65	-24,07	156,94
Sn7/N304	CO1/7	0,25	-3,11	50,90
Sn7/N304	CO1/5	-9,90	-3,14	49,19
Sn7/N304	CO1/4	-3,50	-24,05	158,65
Sn8/N306	CO1/1	-26,20	-11,64	-33,91
Sn8/N306	CO1/3	3,49	0,58	78,44
Sn8/N306	CO1/2	3,44	0,56	90,34

3. Reakce

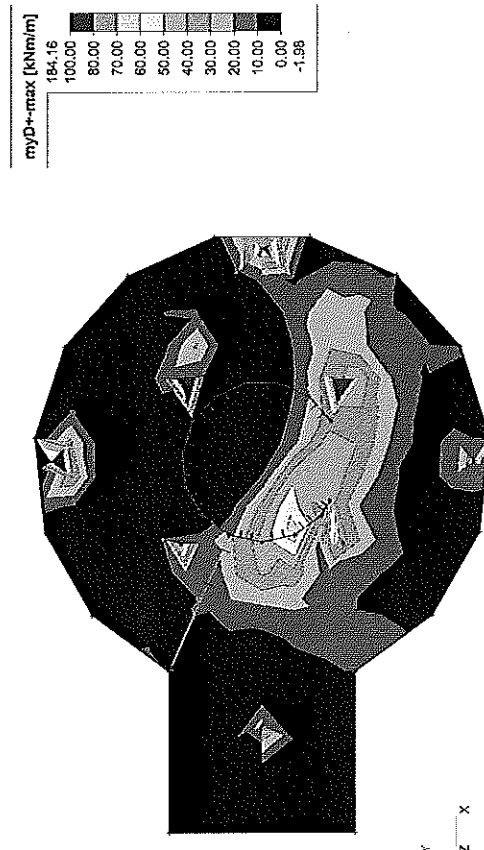
Lineární výpočet, Extrém : Uzel
Výběr : Vše
Třída : MSP

Podpora	Stav	Rx [kN]	Ry [kN]	Rz [kN]
Sn1/N296	CO2/13	-11,88	-11,07	-85,71
Sn1/N296	CO2/14	3,51	4,26	161,22
Sn2/N298	CO2/13	-6,81	-7,77	94,38
Sn2/N298	CO2/14	2,85	-3,31	189,27
Sn2/N298	CO2/15	1,34	-10,49	231,05
Sn2/N298	CO2/16	-5,57	-0,30	39,72
Sn3/N299	CO2/17	-19,34	-16,09	404,24
Sn3/N299	CO2/7	-2,38	-3,11	140,53
Sn4/N297	CO2/17	-14,01	-3,20	158,93
Sn4/N297	CO2/7	-1,82	3,06	128,34
Sn4/N297	CO2/18	-3,77	-6,81	60,69
Sn4/N297	CO2/19	-12,06	6,67	226,58
Sn5/N300	CO2/17	-21,37	-7,16	133,01
Sn5/N300	CO2/7	-2,76	-0,04	51,76
Sn5/N300	CO2/18	-7,33	-7,70	68,61
Sn5/N300	CO2/19	-16,80	0,51	116,17
Sn6/N302	CO2/13	-10,86	-9,67	-5,18
Sn6/N302	CO2/14	0,64	2,97	42,35
Sn6/N302	CO2/18	-2,65	-9,76	-6,12
Sn6/N302	CO2/20	-4,28	3,02	42,92
Sn6/N302	CO2/19	-7,61	2,84	43,03
Sn7/N304	CO2/13	-9,06	-15,95	112,12
Sn7/N304	CO2/14	0,27	-4,30	57,26
Sn7/N304	CO2/17	-9,04	-16,78	116,57
Sn7/N304	CO2/7	0,25	-3,11	50,90

5. Plochy - Vnitřní síly: mxD-



6. Plochy - Vnitřní síly: myD+

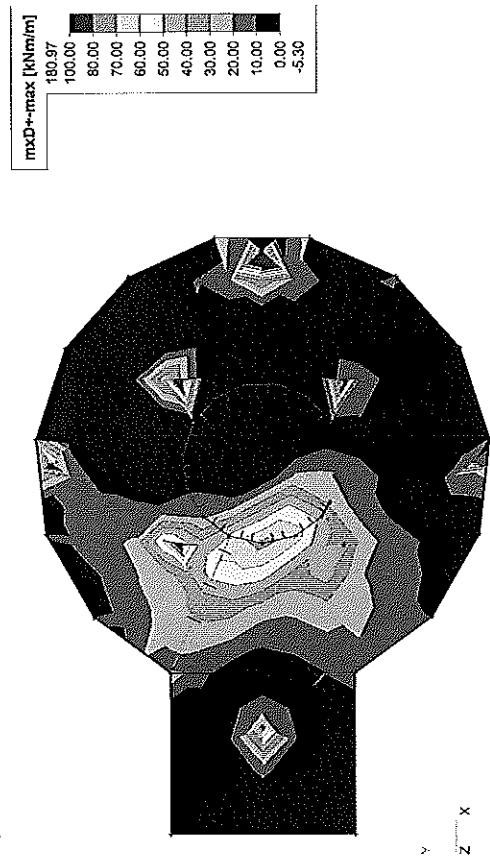


Podpora	Slav	Rx (kN)	Ry (kN)	Rz (kN)
Sn7/N304	CO2/16	-6,52	-3,13	49,76
Sn7/N304	CO2/15	-2,28	-16,76	117,71
Sn8/N306	CO2/13	-16,86	-7,66	-1,00
Sn8/N306	CO2/14	2,75	0,45	67,51

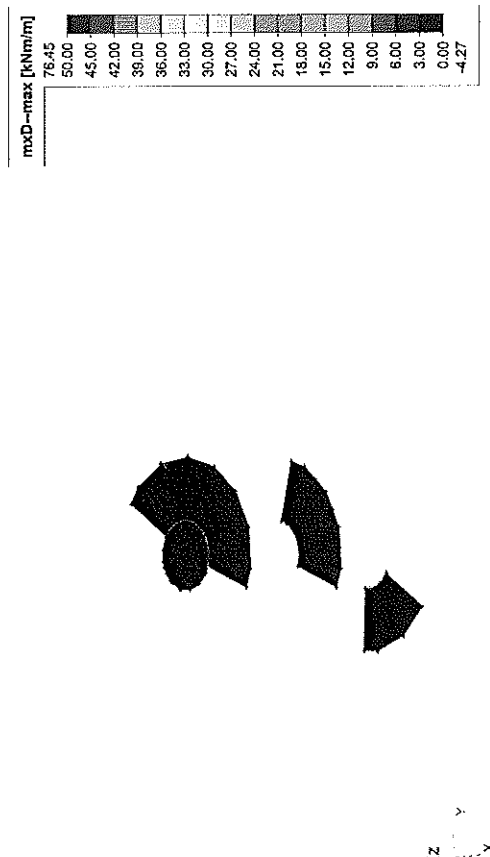
4. Plochy - Vnitřní síly: myD-



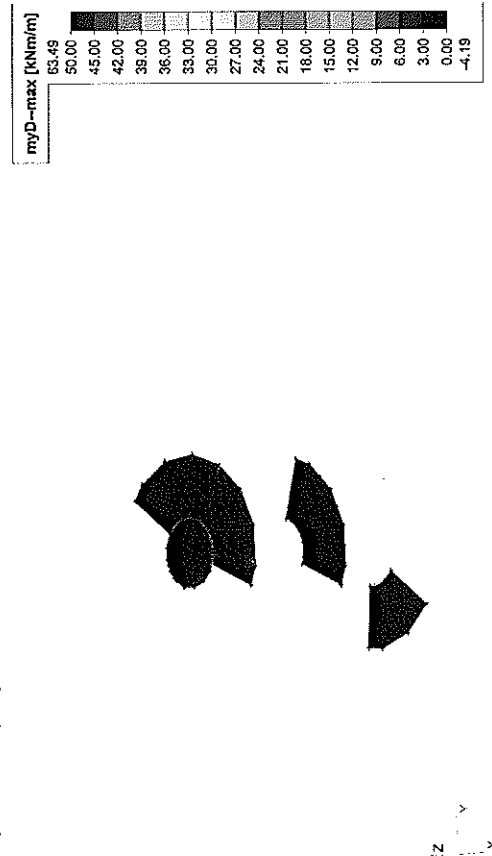
7. Plochy - Vnitřní síly; mxD+



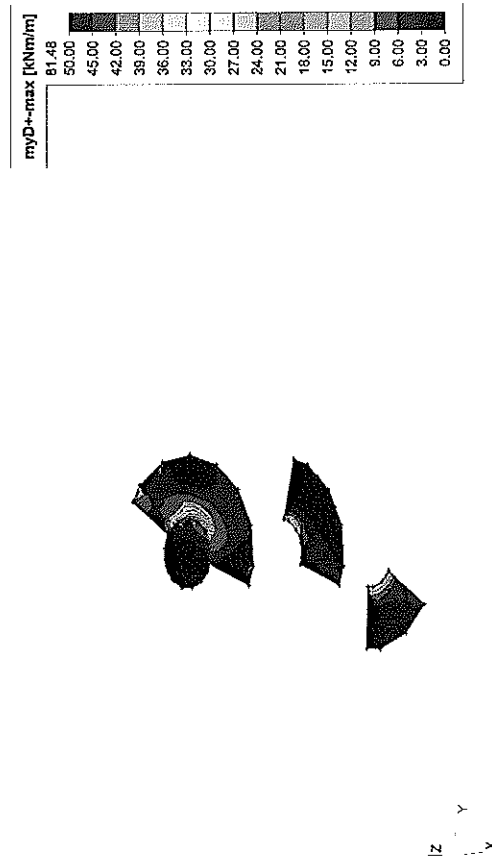
9. Plochy - Vnitřní síly; mxD-



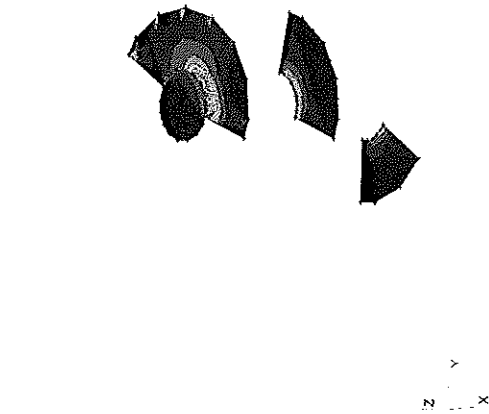
8. Plochy - Vnitřní síly; myD-



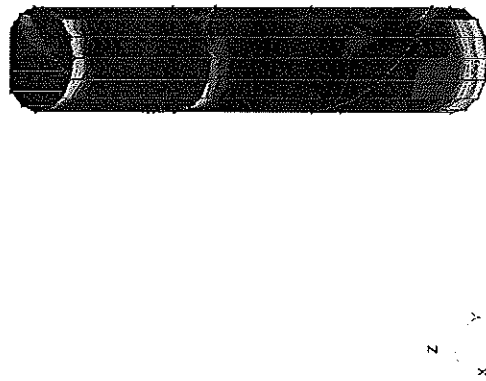
10. Plochy - Vnitřní síly; myD+



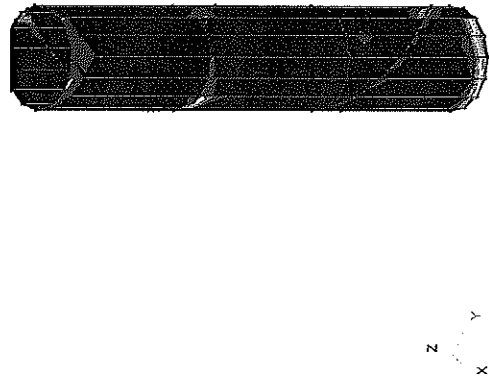
11. Plochy - Vnitřní síly; mxD+



12. Plochy - Vnitřní síly; myD-



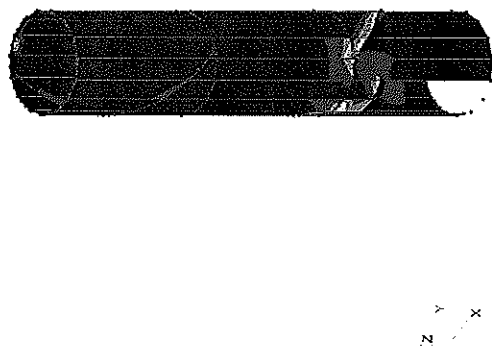
13. Plochy - Vnitřní síly; mxD-



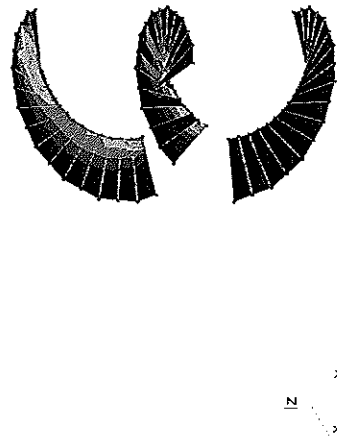
14. Plochy - Vnitřní síly; myD+



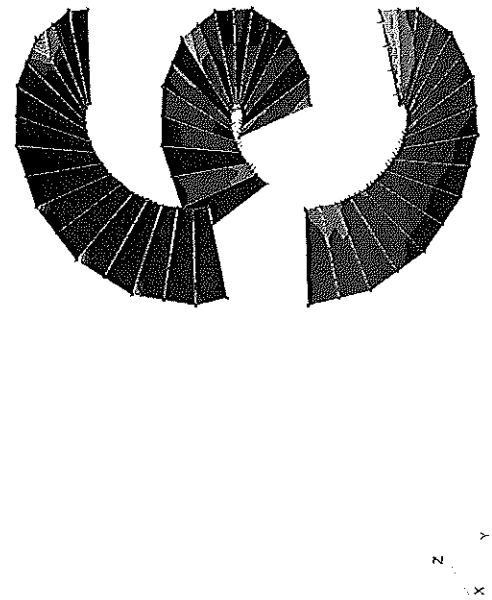
15. Plochy - Vnitřní síly; mxD*



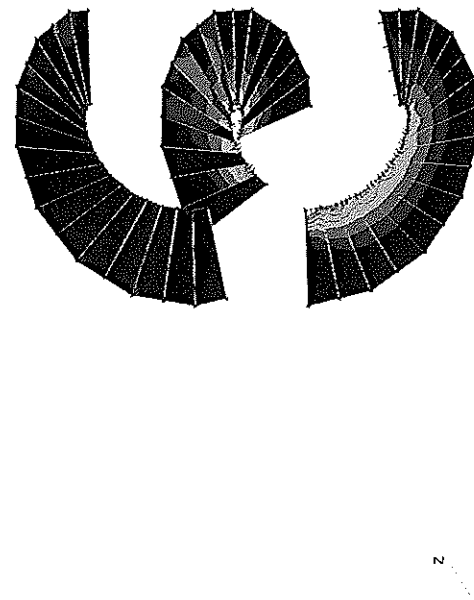
16. Plochy - Vnitřní síly; mxD*



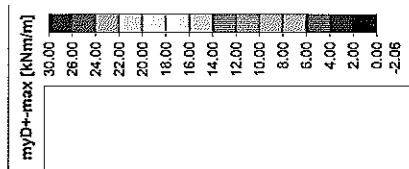
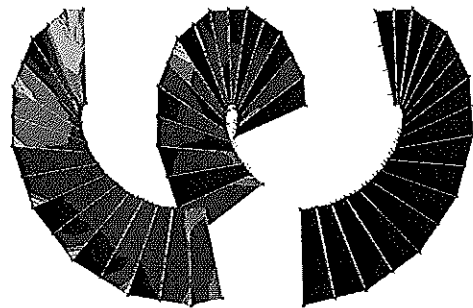
17. Plochy - Vnitřní síly; myD-



18. Plochy - Vnitřní síly; mxD-



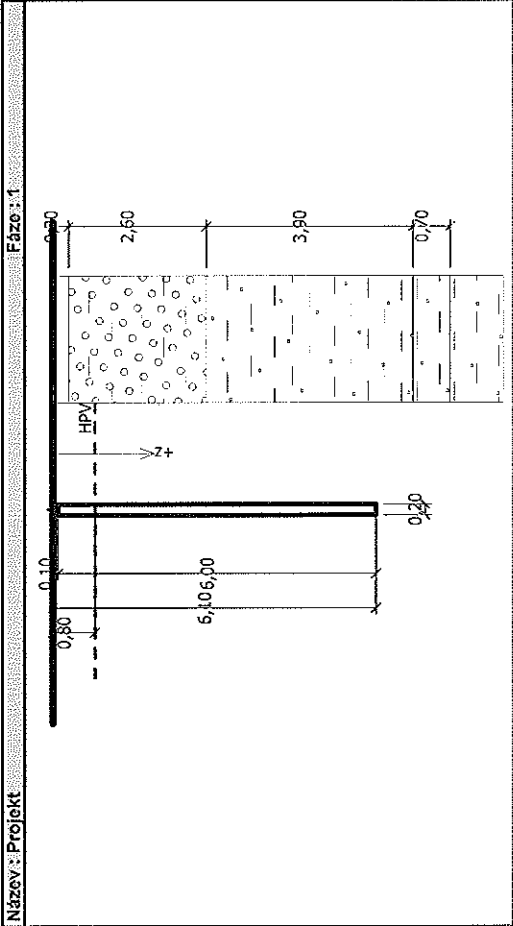
19. Plochy - Vnitřní síly; myD+



Výpočet Mikropiloty

Vstupní data

Projekt : Bazén Domažlice
Akce : Mikropilota_200 kN
Část : Sonda V2
Popis :
Autor : Ing. Josef Havel
Odběratel : Sumavaplan
Datum : 12. 7. 2013



Nastavení

(zadané pro aktuální úlohu)
Mikropiloty
Výpočet únosnosti díku : geometrická (Eulerova) metoda
Výpočet únosnosti kořene : metoda Lízho
Metodika posouzení : mezní stavy

Součinitele redukce parametrů zemin	
Trvalá návrhová situace	
Součinitel redukce úhlu vnitřního tření :	$\gamma_{mp} = 1,00 [-]$
Součinitel redukce soudržnosti :	$\gamma_{mc} = 1,00 [-]$
Součinitel redukce kritické síly :	$\gamma_{mf} = 1,00 [-]$
Součinitel spolehlivosti cementové směsi :	$\gamma_{sc} = 1,50 [-]$
Součinitel spolehlivosti oceli :	$\gamma_{ss} = 1,50 [-]$
Součinitel redukce únosnosti kořene :	$\gamma_r = 1,00 [-]$

Parametry zemin

Y navázka
Objemová tíha : $\gamma = 18,50 \text{ kN/m}^3$
Úhel vnitřního tření : $\phi_{ef} = 22,00^\circ$

Soudržnost zemin : $c_{ef} = 12,00 \text{ kPa}$
Obj.tíha sat.zemin : $\gamma_{sat} = 19,50 \text{ kN/m}^3$

Třída G5

Objemová tíha : $\gamma = 19,50 \text{ kN/m}^3$
Úhel vnitřního tření : $\phi_{ef} = 30,00^\circ$
Soudržnost zemin : $c_{ef} = 6,00 \text{ kPa}$
Obj.tíha sat.zemin : $\gamma_{sat} = 19,50 \text{ kN/m}^3$

Třída F4, konzistence pevná $S_r > 0,8$

Objemová tíha : $\gamma = 18,50 \text{ kN/m}^3$
Úhel vnitřního tření : $\phi_{ef} = 25,00^\circ$
Soudržnost zemin : $c_{ef} = 17,00 \text{ kPa}$
Obj.tíha sat.zemin : $\gamma_{sat} = 19,50 \text{ kN/m}^3$

Třída F4, konzistence tuhá

Objemová tíha : $\gamma = 18,50 \text{ kN/m}^3$
Úhel vnitřního tření : $\phi_{ef} = 26,00^\circ$
Soudržnost zemin : $c_{ef} = 19,00 \text{ kPa}$
Obj.tíha sat.zemin : $\gamma_{sat} = 19,50 \text{ kN/m}^3$

Geometrie

Průměr = 89,0 mm
Tloušťka stěny = 10,0 mm
Vlnná délka mikropiloty $l = 0,10 \text{ m}$
Délka kořene $l_r = 6,00 \text{ m}$
Průměr kořene $d_r = 0,20 \text{ m}$
Odklon mikropiloty od svislice $\alpha = 0,00^\circ$
Vysazení mikropiloty nad terén $l_g = 0,00 \text{ m}$

Materiál konstrukce:

Cementová směs
Normová pevnost v tlaku $E_b = 20,00 \text{ MPa}$
Modul pružnosti $E_b = 29000,00 \text{ MPa}$

Ocel
Normová pevnost oceli $E_s = 210,00 \text{ MPa}$
Modul pružnosti $E_s = 210000,00 \text{ MPa}$

Geologický profil a přítěžení zemin

Číslo	Vrstva [m]	Přítěžená zemina	Vzorek
1	0,30	Y navázka	
2	2,60	Třída G5	
3	3,90	Třída F4, konzistence pevná $S_r > 0,8$	
4	0,70	Třída F4, konzistence tuhá	
5	-	Třída F4, konzistence tuhá	

Ing. Josef Havel	Bazén Domažlice Mikropilota_200 kN
------------------	---------------------------------------

Zatížení				
Číslo	Síla nová/změna	Název	Síla N [kN]	Moment M [kNm]
1	ANO	Síla č. 1	225.00	5.00

Hladina podzemní vody
Hladina podzemní vody je v hloubce 0,80 m od původního terénu.

Posouzení čis. 1
 Posouzení průřezu - výpočet číslo 1
 Posouzení vnitřní stability průřezu: geometrická (Eulerova) metoda
 Výpočet vzpěrné délky průřezu - uložení (kloub-kloub).

Modul reakce podloží $E_p = 10,00 \text{ MN/m}^3$
 Spočtený počet půlvln $n = 1,17$
 Vzpěrná délka $l_{cr} = 1,82 \text{ m}$
 Kritická normálová síla $N_{crd} = 1324,00 \text{ kN}$
 Maximální normálová síla $N_{max} = 225,00 \text{ kN}$

Vnitřní stabilita průřezu mikropiloty **VYHOVUJE**

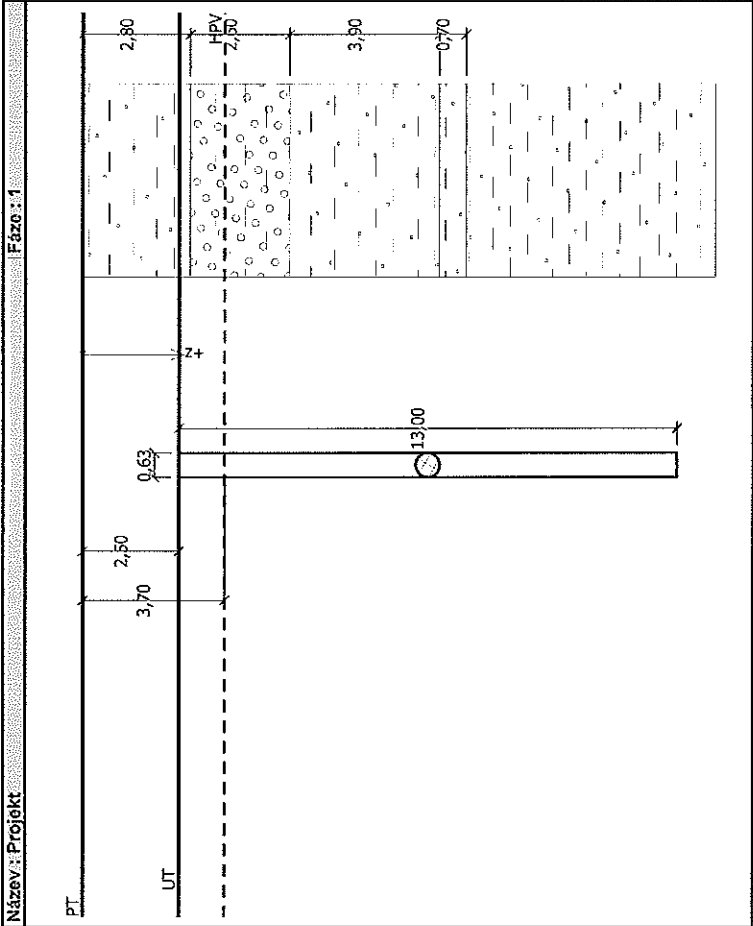
Posouzení únosnosti spráženého průřezu:
 Plocha ideálního průřezu $A_i = 3,00\text{E}+03 \text{ mm}^2$
 Moment setrvačnosti ideálního průřezu $J_i = 2,12\text{E}+06 \text{ mm}^4$
 Štíhlost prutu $\lambda = 68,509$
 Součinitel vzpěrnosti $\kappa = 0,879$
 Úroveň neutrálné osy $= -32,1 \text{ mm}$
 Napětí v oceli $= 137,25 \text{ MPa}$
 Výpočtová pevnost oceli $= 140,00 \text{ MPa}$
 Sprážený průřez mikropiloty **VYHOVUJE**

Posouzení čis. 1
 Posouzení kořene - výpočet číslo 1
 Způsob výpočtu - metoda Lizziho.
 Součinitel vlivu průměru kořene $= 0,85$
 Průměrné mezní plášťové tlčení $q_{av} = 90,00 \text{ kPa}$
 Celková únosnost kořene mikropiloty $= 288,40 \text{ kN}$
 Výpočtová únosnost kořene mikropiloty $Q_{rd} = 288,40 \text{ kN}$
 Maximální normálová síla $N_{max} = 225,00 \text{ kN}$
 Únosnost kořene **VYHOVUJE**

Posouzení piloty

Vstupní data

Projekt
Akce : Bazén Domažlice
Část : Pilota 630 mm_1100 kN
Popis : Sonda V2
Autor : Ing. Josef Havel
Odběratel : Sumavaplan
Datum : 12. 7. 2013



Nastavení

(zadané pro aktuální úlohu)

Materiály a normy

Beetonové konstrukce : ČSN 73 1201 R

Piloty

Výpočet pro odvozené podmínky : ČSN 73 1002
Zatěžovací křivka : nelineární (Masopust)
Metodika posouzení : stupně bezpečnosti

Stupně bezpečnosti

Trvalá návrhová situace

Stupeň bezpečnosti - tlačená pilota : $SF_{op} = 1.50 [-]$
Stupeň bezpečnosti - tažená pilota : $SF_{ip} = 2.00 [-]$

Základní parametry zemin

Číslo	Název	Vzorek	φ_{ef} [°]	c_{ef} [kPa]	γ [kN/m ³]	v [%]
1	Y navážka	—	22,00	12,00	18,50	0,35
2	Třída G5	—	30,00	6,00	19,50	0,30
3	Třída F4, konzistence pevná $S_r > 0,8$	—	25,00	17,00	18,50	0,35
4	Třída F4, konzistence tuhá	—	26,00	19,00	18,50	0,35

Pro výpočet tlaku v klidu jsou všechny zeminy zadány jako nesoudržné.

Číslo	Název	Vzorek	E_{sed} [MPa]	E_{def} [MPa]	γ_{sat} [kN/m ³]	γ_s [kN/m ³]	n [-]
1	Y navážka	—	—	3,00	19,50	—	—
2	Třída G5	—	—	50,00	19,50	—	—
3	Třída F4, konzistence pevná $S_r > 0,8$	—	—	5,00	19,50	—	—
4	Třída F4, konzistence tuhá	—	—	5,50	19,50	—	—

Parametry zemin pro výpočet modulu reakce podloží

Číslo	Název	Vzorek	Typ zeminy	n_h [MN/m ³]
1	Y navážka	—	soudržná	—
2	Třída G5	—	soudržná	—
3	Třída F4, konzistence pevná $S_r > 0,8$	—	soudržná	—
4	Třída F4, konzistence tuhá	—	soudržná	—

Parametry zemin

Y navážka
Objemová tíha : $\gamma = 18,50 \text{ kN/m}^3$
Úhel vnitřního tření : $\varphi_{ef} = 22,00^\circ$
Soudržnost zeminy : $c_{ef} = 12,00 \text{ kPa}$
Poissonovo číslo : $v = 0,35$
Modul přetvárnosti : $E_{def} = 3,00 \text{ MPa}$
Obj. tíha satzeminy : $\gamma_{sat} = 19,50 \text{ kN/m}^3$
Typ zeminy : soudržná

Třída G5
Objemová tíha : $\gamma = 19,50 \text{ kN/m}^3$
Úhel vnitřního tření : $\varphi_{ef} = 30,00^\circ$
Soudržnost zeminy : $c_{ef} = 6,00 \text{ kPa}$
Poissonovo číslo : $\nu = 0,30$
Modul přetvárnosti : $E_{def} = 50,00 \text{ MPa}$
Obj.tíha sat.zeminy : $\gamma_{sat} = 19,50 \text{ kN/m}^3$
Typ zeminy : soudržná

Třída F4, konzistence pevná $S_r > 0,8$
Objemová tíha : $\gamma = 18,50 \text{ kN/m}^3$
Úhel vnitřního tření : $\varphi_{ef} = 25,00^\circ$
Soudržnost zeminy : $c_{ef} = 17,00 \text{ kPa}$
Poissonovo číslo : $\nu = 0,35$
Modul přetvárnosti : $E_{def} = 5,00 \text{ MPa}$
Obj.tíha sat.zeminy : $\gamma_{sat} = 19,50 \text{ kN/m}^3$
Typ zeminy : soudržná

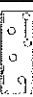
Třída F4, konzistence tuhá
Objemová tíha : $\gamma = 18,50 \text{ kN/m}^3$
Úhel vnitřního tření : $\varphi_{ef} = 26,00^\circ$
Soudržnost zeminy : $c_{ef} = 19,00 \text{ kPa}$
Poissonovo číslo : $\nu = 0,35$
Modul přetvárnosti : $E_{def} = 5,50 \text{ MPa}$
Obj.tíha sat.zeminy : $\gamma_{sat} = 19,50 \text{ kN/m}^3$
Typ zeminy : soudržná

Geometrie
Profil piloty: kruhová
Rozměry
Průměr $d = 0,63 \text{ m}$
Délka $l = 13,00 \text{ m}$
Umístění
Vysazení
Hloubka upraveného terénu $h_z = 2,50 \text{ m}$
Typ technologie: Vrtané piloty
Modul reakce podloží uvažován podle ČSN 731004.

Materiál konstrukce
Objemová tíha $\gamma = 23,00 \text{ kN/m}^3$
Výpočet betonových konstrukcí proveden podle normy ČSN 731201 R.
Beton : B 30
Pevnost v tlaku
Pevnost v tahu
Modul pružnosti
Modul pružnosti ve smyku
Ocel podélná : 10 505 R
Pevnost v tlaku
Pevnost v tahu

$R_{bd} = 17,00 \text{ MPa}$
 $R_{tid} = 1,20 \text{ MPa}$
 $E_c = 32500,00 \text{ MPa}$
 $G = 13850,00 \text{ MPa}$
 $R_{scl} = 420,00 \text{ MPa}$
 $R_{sd} = 450,00 \text{ MPa}$

Geologický profil a přiřazení zemín

Číslo	Vrstva [m]	Přiřazená zemina	Vzorek
1	2,80	Y navážka	—
2	2,60	Třída G5	
3	3,90	Třída F4, konzistence pevná $S_r > 0,8$	—
4	0,70	Třída F4, konzistence tuhá	—
5	-	Třída F4, konzistence tuhá	—

Zatížení

Číslo	Zatížení nové změna	Název	Typ	N [kN]	M_x [kNm]	M_y [kNm]	H_x [kN]	H_y [kN]
1	ANO	Zatížení č. 1	Návrhové	1100,00	0,00	0,00	250,00	90,00
2	ANO	Zatížení č. 1 - provozní	Užitné	880,00	0,00	0,00	200,00	72,00

Hladina podzemní vody
Hladina podzemní vody je v hloubce 3,70 m od původního terénu.

Celkové nastavení výpočtu
Výpočet svislé únosnosti : analytické řešení
Typ výpočtu : výpočet pro odvodněné podmínky

Nastavení výpočtu fáze
Návrhová situace : trvalá
Metodika posouzení : bez redukce vstupních dat

Posouzení čís. 1

Posouzení svislé únosnosti piloty podle teorie MS - mezivýsledky

Výpočet únosnosti v patě:
Součinitel únosnosti $N_c = 22,25$
Součinitel únosnosti $N_d = 11,85$
Součinitel únosnosti $N_b = 7,94$
Součinitel únosnosti $K_1 = 1,00$
Výpočtová únosnost na patě piloty $R_{pd} = 2829,30 \text{ kPa}$
Plocha přičného řezu piloty $A_p = 3,12E-01 \text{ m}^2$

Únosnost na plášti piloty:
Zkrácení účinné délky piloty $L_p = 0,82 \text{ m}$

Hloubka [m]	Mocnost [m]	φ_d [°]	c_{ud} [kPa]	γ [kN/m ³]	γR_2 [°]	f_s [kPa]	R_{sl} [kN]
0,30	0,30	22,00	12,00	18,50	1,00	12,73	7,56
1,20	0,90	30,00	6,00	19,50	1,00	11,21	19,98
2,90	1,70	30,00	6,00	9,50	1,00	17,35	58,37
6,80	3,90	25,00	17,00	9,50	1,00	34,30	264,73
7,50	0,70	26,00	19,00	9,50	1,00	43,85	60,75
12,18	4,68	26,00	19,00	9,50	1,00	51,83	480,19

Posouzení svislé únosnosti piloty podle teorie MS - výsledky
Výpočet proveden s automatickým výběrem nejnepriznivějších zatěžovacích stavů.

Posouzení tažené piloty:

Nejnepriznivější zatěžovací stav číslo 1. (Zatížení č. 1)

Únosnost piloty na plášti $R_s = 891,58$ kN

Únosnost piloty v patě $R_b = 881,96$ kN

Únosnost piloty $R_c = 1773,54$ kN

Extrémní svislá síla $V_d = 1100,00$ kN

Stupeň bezpečnosti = 1,61 > 1,50

Svislá únosnost piloty VYHOVUJE

Posouzení čis. 1

Výpočet zatěžovací křivky piloty - vstupní data

Vrstva	Počátek [m]	Konec [m]	Mocnost [m]	E_s [MPa]	Součinitel a	Součinitel b
1	0,00	0,30	0,30	6,98	46,00	20,00
2	0,30	2,90	2,60	9,33	46,00	20,00
3	2,90	6,80	3,90	11,34	46,00	20,00
4	6,80	7,50	0,70	13,21	97,00	108,00
5	7,50	13,00	5,50	13,21	97,00	108,00

Uvažovat zatížení : návrhové

Součinitel vlivu ochrany díky $m_2 = 1,00$

Limitní sedání piloty $s_{lim} = 25,0$ mm

Regresní součinitel $e = 988,00$

Regresní součinitel $f = 1084,00$

Výpočet zatěžovací křivky piloty - mezivýsledky

Mezní síla na plášti piloty

$R_{sy} = 1625,97$ kN

Velikost napětí na patě při R_{sy}

$q_0 = 935,47$ kPa

Průměrné pláštové tření

$q_s = 63,19$ kPa

Průměrný sečnový modul deformace

$E_s = 11,73$ MPa

Součinitel přenosu zatížení do paty

$\beta = 0,15$

Příčinkové součinitele sedání :

Základní - závislý na poměru l/d

Součinitel vlivu tuhosti piloty

Součinitel vlivu nestlačitelné vrstvy

$I_1 = 0,08$

$R_k = 1,05$

$R_h = 1,00$

Body zatěžovací křivky

Sednutí [mm]	Zatížení [kN]
0,0	0,00
2,5	635,74
5,0	899,07
7,5	1101,13
10,0	1271,47
12,5	1421,55

Sednutí [mm]	Zatížení [kN]
15,0	1557,23
17,5	1682,00
20,0	1798,13
22,5	1907,21
25,0	1946,49

Výpočet zatěžovací křivky piloty - výsledky

Zatížení na mezi mobilizace pláště: $R_{yu} = 1917,58$ kN

Velikost sedání odpovídající síle R_{yu} $s_y = 22,7$ mm

Únosnost odpovídající sednutí 25 mm :

Únosnost paty $R_{bu} = 320,51$ kN

Celková únosnost $R_c = 1946,49$ kN

Pro zatížení $Q = 880,00$ kN je sednutí piloty 4,8 mm

Posouzení čis. 1

Vstupní data pro výpočet vodorovné únosnosti piloty

Výpočet proveden s automatickým výběrem nejnepriznivějších zatěžovacích stavů.

Vodorovná únosnost posouzena ve směru maximálního účinku zatížení.

Průběhy vnitřních sil a deformace piloty

Průběh deformací a vnitřních sil po pilotě - maximální hodnoty:

Vzdál. [m]	Modul k [MN/m ²]	Deformace [mm]	Pootoč. [mRad]	Napětí [kPa]	Pos.síla [kN]	Moment [kNm]
0,00	3,17	8,92	3,63	235,45	265,71	0,00
0,30	3,17	7,79	3,54	240,33	225,00	61,88
0,30	52,91	7,79	3,54	240,33	225,00	61,88
0,65	52,91	6,46	3,44	246,03	177,50	134,08
1,30	52,91	4,23	2,99	210,42	62,29	204,94
1,95	52,91	2,35	2,43	117,05	7,79	219,38
2,60	52,91	0,86	1,88	33,29	39,90	202,24
2,90	52,91	0,58	1,66	20,03	41,30	189,49
2,90	5,29	0,58	1,66	20,03	41,30	189,49
3,25	5,29	0,25	1,40	4,57	42,94	174,63
3,90	5,29	1,02	0,98	5,72	41,52	147,09
4,55	5,29	1,54	0,63	8,65	38,71	120,96
5,20	5,29	1,86	0,35	10,43	35,00	96,97
5,85	5,29	2,01	0,13	11,30	30,78	75,57
6,50	5,29	2,04	0,04	11,73	26,38	56,99
6,80	5,29	2,00	0,11	11,80	24,27	49,76
7,15	5,82	2,00	0,11	11,80	24,27	49,76
7,50	5,82	1,97	0,18	11,88	21,82	41,33
7,50	5,82	1,89	0,23	11,56	19,38	34,50
7,50	5,82	1,89	0,23	11,56	19,38	34,50
7,80	5,82	1,83	0,27	11,29	17,29	28,64
8,45	5,82	1,64	0,34	10,12	13,15	18,77
9,10	5,82	1,42	0,38	8,76	9,51	11,43
9,75	5,82	1,18	0,40	7,27	6,42	6,29

Vzdál. [m]	Modul k [MN/m²]	Deformace [mm]	Pootoč. [mRad]	Napětí [kPa]	Pos.síla [kN]	Moment [kNm]
10.40	5.82	0.93	0.42	5.72	3.92	2.96
11.05	5.82	0.67	0.42	4.14	2.02	1.06
11.70	5.82	0.41	0.42	2.54	0.73	0.21
12.35	5.82	0.15	0.42	0.94	0.06	0.02
13.00	5.82	0.11	0.42	0.61	0.00	0.00

Průběh deformací a vnitřních sil po pilotě - minimální hodnoty:

Vzdál. [m]	Modul k [MN/m²]	Deformace [mm]	Pootoč. [mRad]	Napětí [kPa]	Pos.síla [kN]	Moment [kNm]
0.00	3.17	-8.40	-3.86	-250.24	-250.00	-0.00
0.30	3.17	-7.33	-3.77	-255.43	-211.70	-65.77
0.30	52.91	-7.33	-3.77	-255.43	-211.70	-65.77
0.65	52.91	-6.08	-3.66	-261.49	-167.01	-142.51
1.30	52.91	-3.98	-3.18	-223.64	-58.60	-217.81
1.95	52.91	-2.21	-2.59	-124.40	-8.28	-233.16
2.60	52.91	-0.81	-2.00	-35.38	-42.41	-214.94
2.90	52.91	-0.56	-1.76	-21.03	-43.90	-201.40
2.90	5.29	-0.56	-1.76	-21.03	-43.90	-201.40
3.25	5.29	-0.27	-1.48	-4.30	-45.64	-185.60
3.90	5.29	-1.08	-1.04	-5.39	-44.12	-158.33
4.55	5.29	-1.64	-0.67	-8.14	-41.14	-128.56
5.20	5.29	-1.97	-0.37	-9.82	-37.19	-103.06
5.85	5.29	-2.14	-0.14	-10.63	-32.72	-80.32
6.50	5.29	-2.16	-0.04	-11.04	-28.04	-60.57
6.80	5.29	-2.13	-0.10	-11.10	-25.80	-52.89
6.80	5.82	-2.13	-0.10	-11.10	-25.80	-52.89
7.15	5.82	-2.09	-0.17	-11.18	-23.19	-43.93
7.50	5.82	-2.01	-0.22	-10.88	-20.60	-36.67
7.50	5.82	-2.01	-0.22	-10.88	-20.60	-36.67
7.80	5.82	-1.94	-0.26	-10.62	-18.37	-30.44
8.45	5.82	-1.74	-0.32	-9.52	-13.98	-19.95
9.10	5.82	-1.50	-0.36	-8.24	-10.11	-12.15
9.75	5.82	-1.25	-0.38	-6.84	-6.82	-6.68
10.40	5.82	-0.98	-0.39	-5.38	-4.16	-3.15
11.05	5.82	-0.71	-0.40	-3.89	-2.14	-1.13
11.70	5.82	-0.44	-0.40	-2.39	-0.77	-0.22
12.35	5.82	-0.16	-0.40	-0.89	-0.06	-0.02
13.00	5.82	-0.11	-0.40	-0.65	-0.00	-0.00

Maximální vnitřní síly a deformace:

- Max.deformace piloty = 8.9 mm
- Max.posouvající síla = 265.71 kN
- Maximální moment = 233.16 kNm

Dimenze výztuže:

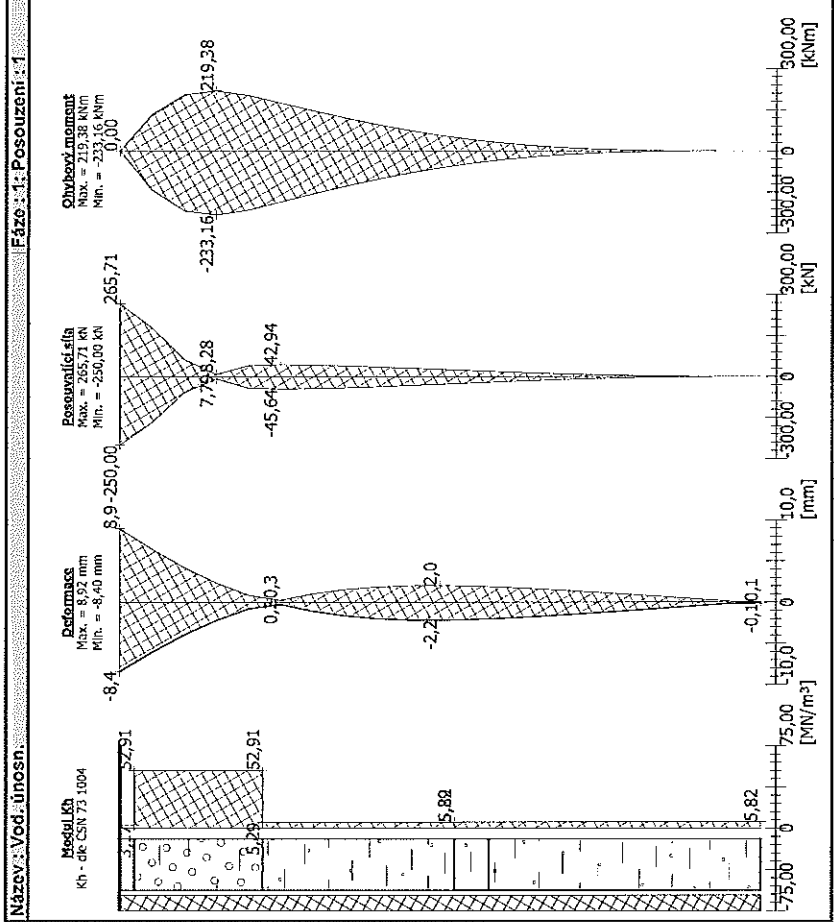
Výztužení - 10 ks profil 18.0 mm; krytí 70.0 mm
Typ konstrukce (stupně výztužení) : sloup

Stupeň vyztužení $\mu_{st} = 0.816 \% > 0.050 \% = \mu_{st,min}$

Zatížení : $N_d = -1100.00$ kN (tlak) ; $M_d = 233.16$ kNm

Únosnost : $N_d = -2161.89$ kN; $M_d = 458.25$ kNm

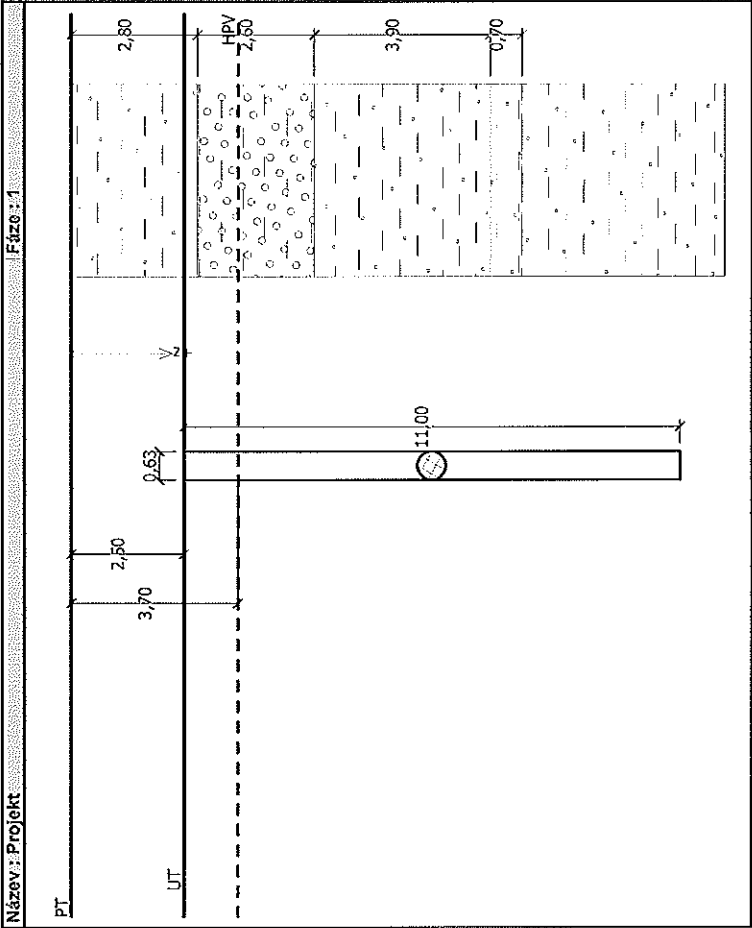
Navržená výztuž piloty VYHOVUJE



Posouzení piloty

Vstupní data

Projekt : Bazén Domažlice
Akce : Pilota 630 mm_900 kN
Část : Sonda V2
Popis :
Autor : Ing. Josef Havel
Odběratel : Šumavaplan
Datum : 12. 7. 2013



Nastavení

(zadané pro aktuální dílo)
Materiály a normy
Betonové konstrukce : ČSN 73 1201 R
Piloty
Výpočet pro odvodněné podmínky : ČSN 73 1002
Zatěžovací křivka : nelineární (Masopust)
Metodika posouzení : stupně bezpečnosti

Stupně bezpečnosti

Trvalá návrhová situace

Stupeň bezpečnosti - tlačená pilota : $SF_{op} = 1,50 [-]$
Stupeň bezpečnosti - tažená pilota : $SF_{tp} = 2,00 [-]$

Základní parametry zemin

Číslo	Název	Vzorek	φ_{ef} [°]	c_{ef} [kPa]	γ [kN/m ³]	ν [-]
1	Y navážka		22,00	12,00	18,50	0,35
2	Třída G5		30,00	6,00	19,50	0,30
3	Třída F4, konzistence pevná Sr > 0,8		25,00	17,00	18,50	0,35
4	Třída F4, konzistence tuhá		26,00	19,00	18,50	0,35

Pro výpočet tlaku v křídle jsou všechny zeminy zadány jako nesoudržné.

Číslo	Název	Vzorek	E_{ed} [MPa]	E_{def} [MPa]	γ_{sat} [kN/m ³]	γ_s [kN/m ³]	n [-]
1	Y navážka		-	3,00	19,50	-	-
2	Třída G5		-	50,00	19,50	-	-
3	Třída F4, konzistence pevná Sr > 0,8		-	5,00	19,50	-	-
4	Třída F4, konzistence tuhá		-	5,50	19,50	-	-

Parametry zemin pro výpočet modulu reakce podloží

Číslo	Název	Vzorek	Typ zeminy	n_h [MN/m ³]
1	Y navážka		soudržná	-
2	Třída G5		soudržná	-
3	Třída F4, konzistence pevná Sr > 0,8		soudržná	-
4	Třída F4, konzistence tuhá		soudržná	-

Parametry zemin

Y navážka
Objemová tíha : $\gamma = 18,50 \text{ kN/m}^3$
Úhel vnitřního tření : $\varphi_{ef} = 22,00^\circ$
Soudržnost zemin : $c_{ef} = 12,00 \text{ kPa}$
Poissonovo číslo : $\nu = 0,35$
Modul přetvárnosti : $E_{ed} = 3,00 \text{ MPa}$
Obj. tíha sat. zemin : $\gamma_{sat} = 19,50 \text{ kN/m}^3$
Typ zemin : soudržná

Třída G5
Objemová tíha : $\gamma = 19,50 \text{ kN/m}^3$
Úhel vnitřního tření : $\varphi_{ef} = 30,00^\circ$
Soudržnost zeminy : $c_{ef} = 6,00 \text{ kPa}$
Poissonovo číslo : $\nu = 0,30$
Modul přetvárnosti : $E_{def} = 50,00 \text{ MPa}$
Obj.tíha sat.zeminy : $\gamma_{sat} = 19,50 \text{ kN/m}^3$
Typ zeminy : soudržná

Třída F4, konzistence pevná $S_r > 0,8$
Objemová tíha : $\gamma = 18,50 \text{ kN/m}^3$
Úhel vnitřního tření : $\varphi_{ef} = 25,00^\circ$
Soudržnost zeminy : $c_{ef} = 17,00 \text{ kPa}$
Poissonovo číslo : $\nu = 0,35$
Modul přetvárnosti : $E_{def} = 5,00 \text{ MPa}$
Obj.tíha sat.zeminy : $\gamma_{sat} = 19,50 \text{ kN/m}^3$
Typ zeminy : soudržná

Třída F4, konzistence tuhá
Objemová tíha : $\gamma = 18,50 \text{ kN/m}^3$
Úhel vnitřního tření : $\varphi_{ef} = 26,00^\circ$
Soudržnost zeminy : $c_{ef} = 19,00 \text{ kPa}$
Poissonovo číslo : $\nu = 0,35$
Modul přetvárnosti : $E_{def} = 5,50 \text{ MPa}$
Obj.tíha sat.zeminy : $\gamma_{sat} = 19,50 \text{ kN/m}^3$
Typ zeminy : soudržná

Geometrie

Profil piloty: kruhová

Rozměry

Průměr $d = 0,63 \text{ m}$

Délka $l = 11,00 \text{ m}$

Umístění

Vysazení $h = 0,00 \text{ m}$

Hloubka upraveného terénu $h_z = 2,50 \text{ m}$

Typ technologie: Vrtané piloty

Modul reakce podloží uvažován podle ČSN 731004.

Materiál konstrukce

Objemová tíha $\gamma = 23,00 \text{ kN/m}^3$

Výpočet betonových konstrukcí proveden podle normy ČSN 731201 R.

Beton : B 30 $R_{bd} = 17,00 \text{ MPa}$

Pevnost v tlaku $R_{btd} = 1,20 \text{ MPa}$

Pevnost v tahu $E_b = 32500,00 \text{ MPa}$

Modul pružnosti $G = 13650,00 \text{ MPa}$

Modul pružnosti ve smyku

Ocel podélná : 10 S05 R

Pevnost v tlaku $R_{sbd} = 420,00 \text{ MPa}$

Pevnost v tahu $R_{sd} = 450,00 \text{ MPa}$

Geologický profil a přiřazení zemín

Číslo	Vrstva [m]	Přiřazená zemina	Vzorek
1	2,80	Y navážka	—
2	2,60	Třída G5	—
3	3,90	Třída F4, konzistence pevná $S_r > 0,8$	—
4	0,70	Třída F4, konzistence tuhá	—
5	-	Třída F4, konzistence tuhá	—

Zatížení

Číslo	Zatížení nové změna	Název	Typ	N [kN]	M_x [kNm]	M_y [kNm]	H_x [kN]	H_y [kN]
1	ANO	Zatížení č. 1	Návrhové	900,00	0,00	0,00	230,00	70,00
2	ANO	Zatížení č. 1 - provozní	Užitné	720,00	0,00	0,00	184,00	56,00

Hladina podzemní vody

Hladina podzemní vody je v hloubce 3,70 m od původního terénu.

Celkové nastavení výpočtu

Výpočet svislé únosnosti : analytické řešení

Typ výpočtu : výpočet pro odvozené podmínky

Nastavení výpočtu fáze

Návrhová situace : trvalá

Metodika posouzení : bez redukce vstupních dat

Posouzení čísl. 1

Posouzení svislé únosnosti piloty podle teorie MS - mezivýsledky

Výpočet únosnosti v patě:

Součinitel únosnosti $N_c = 22,25$

Součinitel únosnosti $N_d = 11,85$

Součinitel únosnosti $N_b = 7,94$

Součinitel únosnosti $K_1 = 1,00$

Výpočtová únosnost na patě piloty $R_{pd} = 2505,33 \text{ kPa}$

Plocha přičného řezu piloty $A_p = 3,12E-01 \text{ m}^2$

Únosnost na plášti piloty:

Zkrácení účinné délky piloty $L_p = 0,82 \text{ m}$

Hloubka [m]	Mocnost [m]	φ_d [°]	c_{ud} [kPa]	γ [kN/m ³]	γ_{rz} [-]	f_s [kPa]	R_{si} [kN]
0,30	0,30	22,00	12,00	18,50	1,00	12,73	7,56
1,20	0,90	30,00	6,00	19,50	1,00	11,21	19,98
2,90	1,70	30,00	6,00	9,50	1,00	17,35	58,37
6,80	3,90	25,00	17,00	9,50	1,00	34,30	284,73
7,50	0,70	26,00	19,00	9,50	1,00	43,85	60,75
10,18	2,68	26,00	19,00	9,50	1,00	48,86	259,30

Posouzení svislé únosnosti piloty podle teorie MS - výsledky
Výpočet proveden s automatickým výběrem nejnejpříznivějších zatěžovacích stavů.

Posouzení tažené piloty:
Nejpříznivější zatěžovací stav číslo 1. (Zatížení č. 1)

Únosnost piloty na plášti $R_s = 670,68$ kN
Únosnost piloty v patě $R_b = 780,97$ kN

Únosnost piloty $R_c = 1451,66$ kN
Extrémní svislá síla $V_d = 900,00$ kN

Stupeň bezpečnosti $= 1,61 > 1,50$

Svislá únosnost piloty VYHOVUJE

Posouzení čís. 1

Výpočet zatěžovací křivky piloty - vstupní data

Vrstva	Počátek [m]	Konec [m]	Mocnost [m]	E_s [MPa]	Součinitel a	Součinitel b
1	0,00	0,30	0,30	6,98	46,00	20,00
2	0,30	2,90	2,60	9,33	46,00	20,00
3	2,90	6,80	3,90	11,34	46,00	20,00
4	6,80	7,50	0,70	13,21	97,00	108,00
5	7,50	11,00	3,50	13,21	97,00	108,00

Uvažovat zatížení : náhrnové

Součinitel vlivu ochrany díku $m_2 = 1,00$

Limitní sedání piloty $s_{lim} = 25,0$ mm

Regresní součinitel $e = 988,00$

Regresní součinitel $f = 1084,00$

Výpočet zatěžovací křivky piloty - mezivýsledky

Mezní síla na plášti piloty $R_{sy} = 1263,31$ kN
Velikost napětí na patě při R_{sy} $q_0 = 925,92$ kPa
Průměrné pláštové tření $q_s = 58,03$ kPa
Průměrný sečnový modul deformace $E_s = 11,46$ MPa
Součinitel přenosu zatížení do paty $\beta = 0,19$

Příčinkové součinitele sedání :

Základní - závislý na poměru l/d $l_1 = 0,09$
Součinitel vlivu tuhosti piloty $R_k = 1,04$
Součinitel vlivu nestlačitelné vrstvy $R_h = 1,00$

Body zatěžovací křivky

Sednutí [mm]	Zatížení [kN]
0,0	0,00
2,5	540,06
5,0	763,76
7,5	935,42
10,0	1080,13
12,5	1207,62

Sednutí [mm]	Zatížení [kN]
15,0	1322,88
17,5	1428,87
20,0	1527,53
22,5	1577,89
25,0	1612,84

Výpočet zatěžovací křivky piloty - výsledky

Zatížení na mezi mobilizace pláště, tření $R_{yu} = 1551,94$ kN

Velikost sedání odpovídající síle R_{yu} $s_y = 20,6$ mm

Únosnost odpovídající sednutí 25 mm :

Únosnost paty $R_{bu} = 349,53$ kN
Celková únosnost $R_c = 1612,84$ kN

Pro zatížení $Q = 720,00$ kN je sednutí piloty 4,4 mm

Posouzení čís. 1

Vstupní data pro výpočet vodorovné únosnosti piloty

Výpočet proveden s automatickým výběrem nejnejpříznivějších zatěžovacích stavů.
Vodorovná únosnost posouzena ve směru maximálního účinku zatížení.

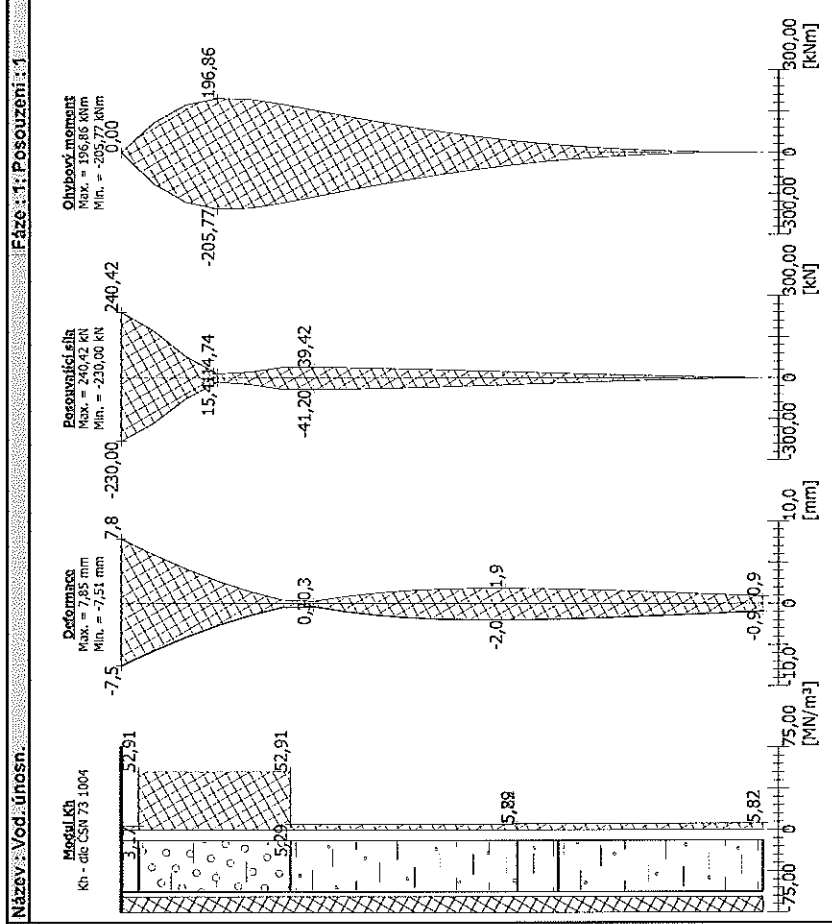
Průběhy vnitřních sil a deformace piloty

Průběh deformací a vnitřních sil po pilotě - maximální hodnoty.

Vzdál. [m]	Modul k [MN/m ³]	Deformace [mm]	Pootoč. [mRad]	Napětí [kPa]	Pos.síla [kN]	Moment [kNm]
0,00	3,17	7,85	3,27	210,57	240,42	0,00
0,30	3,17	6,84	3,20	222,29	203,77	58,93
0,30	52,91	6,84	3,20	222,29	203,77	58,93
0,55	52,91	5,99	3,15	232,06	173,23	108,03
1,10	52,91	4,27	2,83	216,04	79,44	173,12
1,65	52,91	2,76	2,42	139,54	15,41	196,86
2,20	52,91	1,49	1,99	75,44	22,14	193,81
2,75	52,91	0,47	1,58	18,29	38,96	176,18
2,90	52,91	0,43	1,48	14,88	39,08	170,21
2,90	5,29	0,43	1,48	14,88	39,08	170,21
3,30	5,29	0,32	1,22	154,79	39,42	154,27
3,85	5,29	0,90	0,91	5,00	38,27	132,86
4,40	5,29	1,33	0,64	7,34	36,20	112,35
4,95	5,29	1,61	0,41	8,92	33,48	93,16
5,50	5,29	1,79	0,23	9,88	30,35	75,59
6,05	5,29	1,87	0,08	10,35	26,98	59,82
6,60	5,29	1,88	0,04	10,67	23,53	45,93
6,80	5,29	1,87	0,07	10,77	22,23	41,58
6,80	5,82	1,87	0,07	10,77	22,23	41,58
7,15	5,82	1,84	0,13	10,93	19,94	33,98
7,50	5,82	1,78	0,17	10,76	17,63	27,64
7,50	5,82	1,78	0,17	10,76	17,63	27,64
7,70	5,82	1,75	0,19	10,67	16,32	24,01
8,25	5,82	1,64	0,24	9,97	12,89	15,99

Únosnost : $N_d = -1870,13 \text{ kN}$; $M_d = 427,58 \text{ kNm}$

Navržená výztuž piloty VYHOVUJE



Vzdál. [m]	Modul k [MN/m²]	Deformace [mm]	Pootoč. [mRad]	Napětí [kPa]	Pos. síla [kN]	Moment [kNm]
8.80	5.82	1.50	0.27	9.16	9.72	9.79
9.35	5.82	1.36	0.28	8.27	6.83	5.25
9.90	5.82	1.21	0.29	7.34	4.24	2.22
10.45	5.82	1.05	0.30	6.40	1.96	0.53
11.00	5.82	0.90	0.30	5.45	0.00	0.00

Přiběh deformací a vnitřních sil po pilotě - minimální hodnoty:

Vzdál. [m]	Modul k [MN/m²]	Deformace [mm]	Pootoč. [mRad]	Napětí [kPa]	Pos. síla [kN]	Moment [kNm]
0.00	3.17	-7.51	-3.42	-220.11	-230.00	-0.00
0.30	3.17	-6.54	-3.35	-232.36	-194.94	-61.59
0.30	52.91	-6.54	-3.35	-232.36	-194.94	-61.59
0.55	52.91	-5.73	-3.29	-242.57	-165.72	-112.92
1.10	52.91	-4.08	-2.96	-225.83	-76.00	-180.96
1.65	52.91	-2.64	-2.53	-145.86	-14.74	-205.77
2.20	52.91	-1.43	-2.08	-78.86	-23.14	-202.58
2.75	52.91	-0.45	-1.65	-19.12	-40.72	-184.16
2.90	52.91	-0.42	-1.55	-15.42	-40.85	-177.91
2.90	5.29	-0.42	-1.55	-15.42	-40.85	-177.91
3.30	5.29	-0.34	-1.27	-5.54	-41.20	-161.26
3.85	5.29	-0.95	-0.95	-4.78	-40.00	-138.88
4.40	5.29	-1.35	-0.67	-7.02	-37.84	-117.44
4.95	5.29	-1.69	-0.43	-8.54	-35.00	-97.38
5.50	5.29	-1.87	-0.24	-9.46	-31.72	-79.02
6.05	5.29	-1.96	-0.08	-9.90	-28.21	-62.53
6.60	5.29	-1.97	-0.03	-10.21	-24.60	-48.01
6.80	5.29	-1.95	-0.07	-10.30	-23.23	-43.46
6.80	5.82	-1.95	-0.07	-10.30	-23.23	-43.46
7.15	5.82	-1.92	-0.12	-10.46	-20.85	-35.51
7.50	5.82	-1.87	-0.16	-10.30	-18.43	-28.89
7.50	5.82	-1.87	-0.16	-10.30	-18.43	-28.89
7.70	5.82	-1.83	-0.18	-10.20	-17.05	-25.10
8.25	5.82	-1.71	-0.23	-9.54	-13.48	-16.72
8.80	5.82	-1.57	-0.26	-8.76	-10.16	-10.23
9.35	5.82	-1.42	-0.27	-7.91	-7.14	-5.49
9.90	5.82	-1.26	-0.28	-7.02	-4.43	-2.32
10.45	5.82	-1.10	-0.28	-6.12	-2.05	-0.55
11.00	5.82	-0.94	-0.28	-5.21	-0.00	-0.00

Maximální vnitřní síly a deformace:

Max.deformace piloty = 7.8 mm

Max.posouvající síla = 240.42 kN

Maximální moment = 205.77 kNm

Dimenze výztuže:

Výztužení - 8 ks profil 18,0 mm; krycí 70,0 mm

Typ konstrukce (stupně výztužení) : sloup

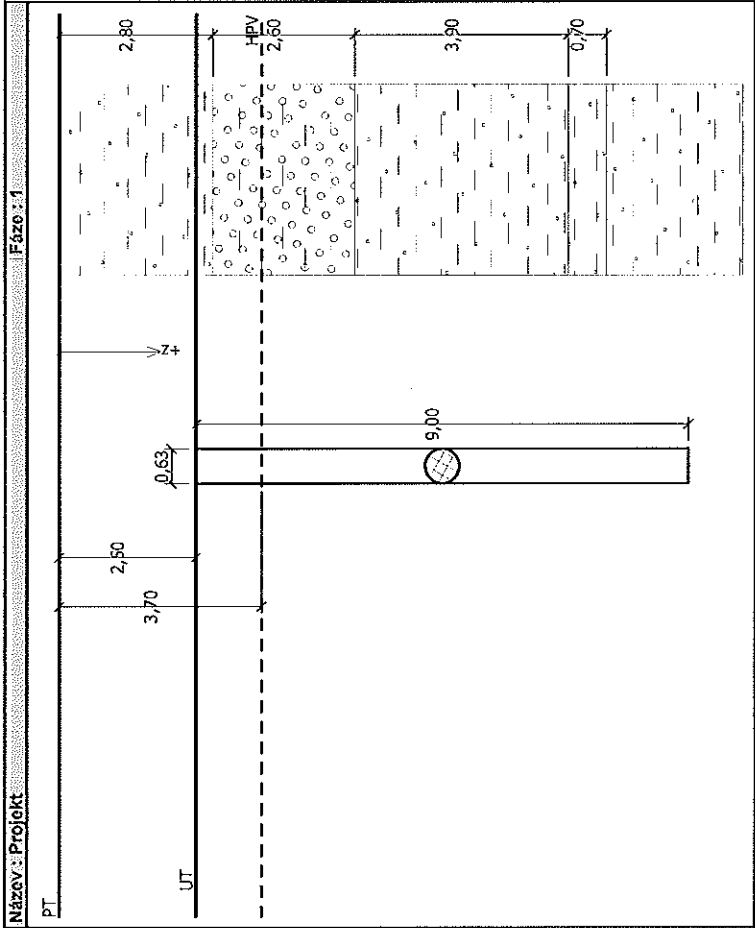
Stupeň výztužení $\mu_{st} = 0,653 \%$ > $0,050 \%$ = $\mu_{st,min}$

Zatížení : $N_d = -800,00 \text{ kN}$ (tlak) ; $M_d = 205,77 \text{ kNm}$

Posouzení piloty

Vstupní data

Projekt : Bazén Domažlice
Akce : Pilota 630 mm_700 kN
Část : Sonda V2
Popis :
Autor : Ing. Josef Havel
Odběratel : Šumavaplan
Datum : 12. 7. 2013



Nastavení

(zadané pro aktuální úlohu)
Materiály a normy
Betonové konstrukce : ČSN 73 1201 R
Piloty
Výpočet pro odvodnění podmínky : ČSN 73 1002
Zatěžovací křivka : nelineární (Masopust)
Metodika posouzení : stupně bezpečnosti

Stupně bezpečnosti

Trvalá návrhová situace

Stupeň bezpečnosti - tlačená pilota : $SF_{cp} = 1,50$ [-]
Stupeň bezpečnosti - tažená pilota : $SF_{tp} = 2,00$ [-]

Základní parametry zemin

Číslo	Název	Vzorek	φ_{ef} [°]	c_{ef} [kPa]	γ [kN/m ³]	ν [-]
1	Y navážka		22,00	12,00	18,50	0,35
2	Třída G5		30,00	6,00	19,50	0,30
3	Třída F4, konzistence pevná $Sr > 0,8$		25,00	17,00	18,50	0,35
4	Třída F4, konzistence tuhá		26,00	19,00	18,50	0,35

Pro výpočet tlaku v křídle jsou všechny zeminy zadány jako nesoudržné.

Číslo	Název	Vzorek	E_{ed} [MPa]	E_{def} [MPa]	γ_{sat} [kN/m ³]	γ_c [kN/m ³]	n [-]
1	Y navážka		-	3,00	19,50	-	-
2	Třída G5		-	50,00	19,50	-	-
3	Třída F4, konzistence pevná $Sr > 0,8$		-	5,00	19,50	-	-
4	Třída F4, konzistence tuhá		-	5,50	19,50	-	-

Parametry zemin pro výpočet modulu reakce podloží

Číslo	Název	Vzorek	Typ zeminy	n_h [MN/m ³]
1	Y navážka		soudržná	-
2	Třída G5		soudržná	-
3	Třída F4, konzistence pevná $Sr > 0,8$		soudržná	-
4	Třída F4, konzistence tuhá		soudržná	-

Parametry zemin

Y navážka

Objemová tíha : $\gamma = 18,50$ kN/m³
Úhel vnitřního tření : $\varphi_{ef} = 22,00$ °
Soudržnost zemin : $c_{ef} = 12,00$ kPa
Poissonovo číslo : $\nu = 0,35$
Modul přetvárnosti : $E_{ed} = 3,00$ MPa
Obj.tíha sat.zeminy : $\gamma_{sat} = 19,50$ kN/m³
Typ zemin : soudržná

Třída G5
Objemová tíha : $\gamma = 19,50 \text{ kN/m}^3$
Úhel vnitřního tření : $\varphi_{\text{ef}} = 30,00^\circ$
Soudržnost zeminy : $c_{\text{ef}} = 6,00 \text{ kPa}$
Poissonovo číslo : $\nu = 0,30$
Modul pružnosti : $E_{\text{del}} = 50,00 \text{ MPa}$
Obj.tíha sat.zeminy : $\gamma_{\text{sat}} = 19,50 \text{ kN/m}^3$
Typ zeminy : soudržná

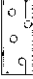
Třída F4, konzistence pevná $S_r > 0,8$
Objemová tíha : $\gamma = 18,50 \text{ kN/m}^3$
Úhel vnitřního tření : $\varphi_{\text{ef}} = 25,00^\circ$
Soudržnost zeminy : $c_{\text{ef}} = 17,00 \text{ kPa}$
Poissonovo číslo : $\nu = 0,35$
Modul pružnosti : $E_{\text{del}} = 5,00 \text{ MPa}$
Obj.tíha sat.zeminy : $\gamma_{\text{sat}} = 19,50 \text{ kN/m}^3$
Typ zeminy : soudržná

Třída F4, konzistence tuhá
Objemová tíha : $\gamma = 18,50 \text{ kN/m}^3$
Úhel vnitřního tření : $\varphi_{\text{ef}} = 26,00^\circ$
Soudržnost zeminy : $c_{\text{ef}} = 19,00 \text{ kPa}$
Poissonovo číslo : $\nu = 0,35$
Modul pružnosti : $E_{\text{del}} = 5,50 \text{ MPa}$
Obj.tíha sat.zeminy : $\gamma_{\text{sat}} = 19,50 \text{ kN/m}^3$
Typ zeminy : soudržná

Geometrie
Profil piloty: kruhová
Rozměry
Průměr $d = 0,63 \text{ m}$
Délka $l = 9,00 \text{ m}$
Umístění
Vysazení: $h = 0,00 \text{ m}$
Hloubka upraveného terénu $h_z = 2,50 \text{ m}$
Typ technologie: Vrtané piloty
Modul reakce podloží uvažován podle ČSN 731004.

Materiál konstrukce
Objemová tíha $\gamma = 23,00 \text{ kN/m}^3$
Výpočet betonových konstrukcí proveden podle normy ČSN 73 1201 R.
Beton : B 30
Pevnost v tlaku $R_{\text{bd}} = 17,00 \text{ MPa}$
Pevnost v tahu $R_{\text{td}} = 1,20 \text{ MPa}$
Modul pružnosti $E_b = 32500,00 \text{ MPa}$
Modul pružnosti ve smyku $G = 13650,00 \text{ MPa}$
Ocel podélná : 10 S05 R
Pevnost v tahu $R_{\text{scd}} = 420,00 \text{ MPa}$
 $R_{\text{sd}} = 450,00 \text{ MPa}$

Geologický profil a přiřazení zemín

Číslo	Vrstva [m]	Přiřazená zemina	Vzorek
1	2,80	Y navážka	—
2	2,60	Třída G5	
3	3,90	Třída F4, konzistence pevná $S_r > 0,8$	—
4	0,70	Třída F4, konzistence tuhá	—
5	-	Třída F4, konzistence tuhá	—

Zatížení

Číslo	Zatížení nové změna	Název	Typ	N [kN]	M_x [kNm]	M_y [kNm]	H_x [kN]	H_y [kN]
1	ANO	Zatížení č. 1	Návrhové	698,00	0,00	0,00	100,00	70,00
2	ANO	Zatížení č. 1 - provozní	Užitné	558,40	0,00	0,00	80,00	56,00

Hladina podzemní vody

Hladina podzemní vody je v hloubce 3,70 m od původního terénu.

Celkové nastavení výpočtu

Výpočet svislé únosnosti : analytické řešení

Typ výpočtu : výpočet pro odvozené podmínky

Nastavení výpočtu fáze

Návrhová situace : trvalá

Metodika posouzení : bez redukce vstupních dat

Posouzení čísl. 1

Posouzení svislé únosnosti piloty podle teorie MS - mezivýsledky

Výpočet únosnosti v patě:

Součinitel únosnosti $N_c = 22,25$

Součinitel únosnosti $N_d = 11,85$

Součinitel únosnosti $N_b = 7,94$

Součinitel únosnosti $K_1 = 1,00$

Výpočtová únosnost na patě piloty $R_{\text{pd}} = 2181,37 \text{ kPa}$

Plocha přičného řezu piloty $A_p = 3,12E-01 \text{ m}^2$

Únosnost na plášti piloty:

Zkrácení účinné délky piloty $L_p = 0,82 \text{ m}$

Hloubka [m]	Mocnost [m]	φ_d [°]	c_{ud} [kPa]	γ [kN/m³]	γ_{rc2} [-]	f_s [kPa]	R_{sd} [kN]
0,30	0,30	22,00	12,00	18,50	1,00	12,73	7,56
1,20	0,90	30,00	6,00	19,50	1,00	11,21	19,98
2,90	1,70	30,00	6,00	9,50	1,00	17,35	58,37
6,80	3,90	25,00	17,00	9,50	1,00	34,30	284,73
7,50	0,70	26,00	19,00	9,50	1,00	43,85	60,75
8,18	0,68	26,00	19,00	9,50	1,00	45,90	61,88

Posouzení svislé únosnosti piloty podle teorie MS - výsledky
Výpočet proveden s automatickým výběrem nejnepříznivějších zatěžovacích stavů.

Posouzení tažené piloty:

Nejnepříznivější zatěžovací stav číslo 1. (Zatížení č. 1)

Únosnost piloty na plášti $R_s = 473,26$ kN

Únosnost piloty v patě $R_b = 679,99$ kN

Únosnost piloty $R_c = 1153,25$ kN

Extrémní svislá síla $V_d = 698,00$ kN

Stupeň bezpečnosti $= 1,65 > 1,50$

Svislá únosnost piloty **VÝHODNĚ**

Posouzení čís. 1

Výpočet zatěžovací křivky piloty - vstupní data

Vrstva	Počátek [m]	Konec [m]	Mocnost	E_s [MPa]	Součinitel a	Součinitel b
1	0,00	0,30	0,30	6,98	46,00	20,00
2	0,30	2,90	2,90	9,33	46,00	20,00
3	2,90	6,80	3,90	11,34	46,00	20,00
4	6,80	7,50	0,70	13,21	97,00	108,00
5	7,50	9,00	1,50	13,21	97,00	108,00

Uvažovat zatížení: - návrhové

Součinitel vlivu ochrany díku $m_2 = 1,00$

Limitní sedání piloty $s_{lim} = 25,0$ mm

Regresní součinitel $e = 988,00$

Regresní součinitel $f = 1084,00$

Výpočet zatěžovací křivky piloty - mezivýsledky

Mezní síla na plášti piloty

$R_{sy} = 905,82$ kN

Velikost napětí na patě při R_{sy}

$q_0 = 912,12$ kPa

$q_s = 50,85$ kPa

Průměrné pláštové tření

Průměrný sečnový modul deformace $E_s = 11,07$ MPa

Součinitel přenosu zatížení do paty

$\beta = 0,24$

Příčkové součinitele sedání:

Základní - závislý na poměru l/d

Součinitel vlivu tuhosti piloty

$I_1 = 0,11$

Součinitel vlivu nestlačitelné vrstvy

$R_k = 1,02$

$R_h = 1,00$

Body zatěžovací křivky

Sednutí [mm]	Zatížení [kN]
0,0	0,00
2,5	435,78
5,0	616,29
7,5	754,80
10,0	871,57
12,5	974,44

Sednutí [mm]	Zatížení [kN]
15,0	1067,45
17,5	1152,97
20,0	1210,78
22,5	1248,90
25,0	1287,02

Výpočet zatěžovací křivky piloty - výsledky

Zatížení na mezi mobilizace pláště $R_{yu} = 1190,15$ kN

Velikost sedání odpovídající síle R_{yu} $s_y = 18,6$ mm

Únosnost odpovídající sednutí 25 mm:

Únosnost paty $R_{bu} = 381,21$ kN

Celková únosnost $R_c = 1287,02$ kN

Pro zatížení $Q = 558,40$ kN je sednutí piloty 4,1 mm

Posouzení čís. 1

Vstupní data pro výpočet vodorovné únosnosti piloty

Výpočet proveden s automatickým výběrem nejnepříznivějších zatěžovacích stavů.

Vodorovná únosnost posouzena ve směru maximálního účinku zatížení.

Průběhy vnitřních sil a deformace piloty

Průběh deformací a vnitřních sil po pilotě - maximální hodnoty:

Vzdál. [m]	Modul k [MN/m ²]	Deformace [mm]	Pootoč. [mRad]	Napětí [kPa]	Pos.síla [kN]	Moment [kNm]
0,00	0,00	3,92	1,41	90,09	122,07	0,00
0,30	3,17	3,41	1,38	99,80	103,32	26,42
0,30	52,91	3,41	1,38	99,80	103,32	26,42
0,45	52,91	3,16	1,37	104,65	93,95	39,63
0,90	52,91	2,43	1,27	105,26	52,13	66,22
1,35	52,91	1,76	1,14	76,50	20,77	79,35
1,80	52,91	1,18	0,99	51,09	0,99	82,69
2,25	52,91	0,67	0,85	29,18	12,28	79,47
2,70	52,91	0,25	0,71	8,25	17,85	72,49
2,90	52,91	0,18	0,66	5,43	18,04	68,84
2,90	5,29	0,18	0,66	5,43	18,04	68,84
3,15	5,29	0,09	0,59	1,91	18,27	64,27
3,60	5,29	0,33	0,48	2,14	17,94	56,11
4,05	5,29	0,53	0,39	3,40	17,30	48,17
4,50	5,29	0,68	0,31	4,41	16,39	40,59
4,95	5,29	0,81	0,24	5,20	15,27	33,46
5,40	5,29	0,90	0,19	5,83	13,98	26,87
5,85	5,29	0,98	0,15	6,31	12,57	20,89
6,30	5,29	1,03	0,11	6,68	11,06	15,57
6,75	5,29	1,08	0,09	7,15	9,47	10,95
6,80	5,29	1,08	0,09	7,22	9,28	10,52
6,80	5,82	1,08	0,09	7,22	9,28	10,52
7,20	5,82	1,12	0,07	7,75	7,74	7,07
7,50	5,82	1,14	0,07	8,01	6,50	5,03

Vzdál. [m]	Modulík [MN/m²]	Deformace [mm]	Pootoč. [mRad]	Napětí [kPa]	Pos.síla [kN]	Moment [kNm]
7.50	5.82	1.14	0.07	8.01	6.50	5.03
7.65	5.82	1.15	0.06	8.15	5.87	4.01
8.10	5.82	1.17	0.06	8.34	3.96	1.79
8.55	5.82	1.20	0.06	8.53	2.00	0.45
9.00	5.82	1.23	0.06	8.71	0.00	0.00

Průběh deformací a vnitřních sil po pilotě - minimální hodnoty:

Vzdál. [m]	Modulík [MN/m²]	Deformace [mm]	Pootoč. [mRad]	Napětí [kPa]	Pos.síla [kN]	Moment [kNm]
0.00	0.00	-3.21	-1.72	-109.97	-100.00	-0.00
0.30	3.17	-2.79	-1.69	-121.82	-84.64	-32.25
0.30	52.91	-2.79	-1.69	-121.82	-84.64	-32.25
0.45	52.91	-2.59	-1.67	-127.74	-76.96	-48.37
0.90	52.91	-1.99	-1.55	-128.49	-42.71	-80.83
1.35	52.91	-1.45	-1.39	-93.38	-17.02	-96.86
1.80	52.91	-0.97	-1.21	-62.36	-1.21	-100.93
2.25	52.91	-0.55	-1.03	-35.61	-14.99	-97.00
2.70	52.91	-0.20	-0.87	-10.07	-21.79	-88.49
2.90	52.91	-0.16	-0.80	-6.29	-22.02	-84.03
2.90	5.29	-0.16	-0.80	-6.29	-22.02	-84.03
3.15	5.29	-0.11	-0.72	-1.56	-22.30	-78.46
3.60	5.29	-0.40	-0.59	-1.75	-21.90	-68.50
4.05	5.29	-0.64	-0.47	-2.78	-21.11	-58.80
4.50	5.29	-0.83	-0.38	-3.61	-20.00	-49.54
4.95	5.29	-0.98	-0.30	-4.26	-18.63	-40.84
5.40	5.29	-1.10	-0.23	-4.77	-17.07	-32.80
5.85	5.29	-1.19	-0.18	-5.17	-15.34	-25.50
6.30	5.29	-1.26	-0.14	-5.47	-13.50	-19.01
6.75	5.29	-1.32	-0.11	-5.86	-11.56	-13.37
6.80	5.29	-1.32	-0.11	-5.91	-11.33	-12.84
6.80	5.82	-1.32	-0.11	-5.91	-11.33	-12.84
7.20	5.82	-1.36	-0.09	-6.35	-9.45	-8.64
7.50	5.82	-1.39	-0.08	-6.57	-7.93	-6.14
7.50	5.82	-1.39	-0.08	-6.57	-7.93	-6.14
7.65	5.82	-1.40	-0.08	-6.67	-7.17	-4.89
8.10	5.82	-1.43	-0.07	-6.83	-4.83	-2.19
8.55	5.82	-1.46	-0.07	-6.98	-2.44	-0.55
9.00	5.82	-1.50	-0.07	-7.13	-0.00	-0.00

Maximální vnitřní síly a deformace:

Max.deformace piloty = 3.9 mm

Max.posouvající síla = 122.07 kN

Maximální moment = 100.93 kNm

Dimenze výztuže:

Výztužení - 8 ks profil 16,0 mm; krycí 70,0 mm

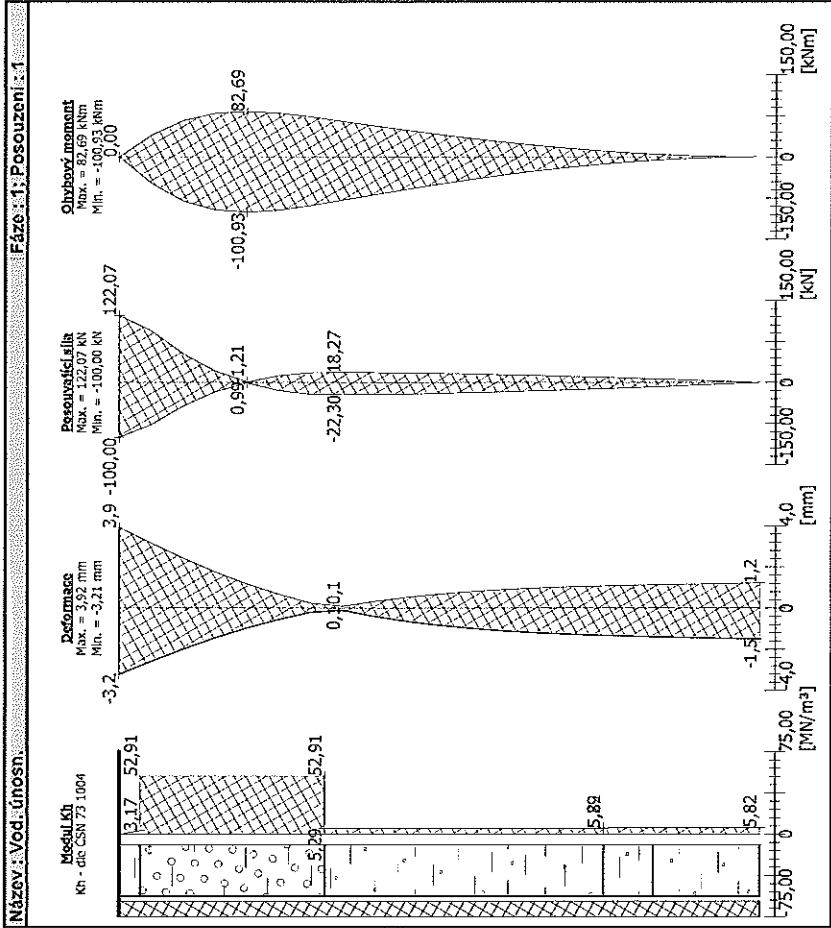
Typ konstrukce (stupně výztužení) : sloup

Stupeň vyztužení $\mu_{st} = 0,516 \% > 0,050 \% = \mu_{st,min}$

Zatížení : $N_d = -698,00$ kN (tlak) ; $M_d = 100,93$ kNm

Únosnost : $N_d = -2812,69$ kN; $M_d = 406,72$ kNm

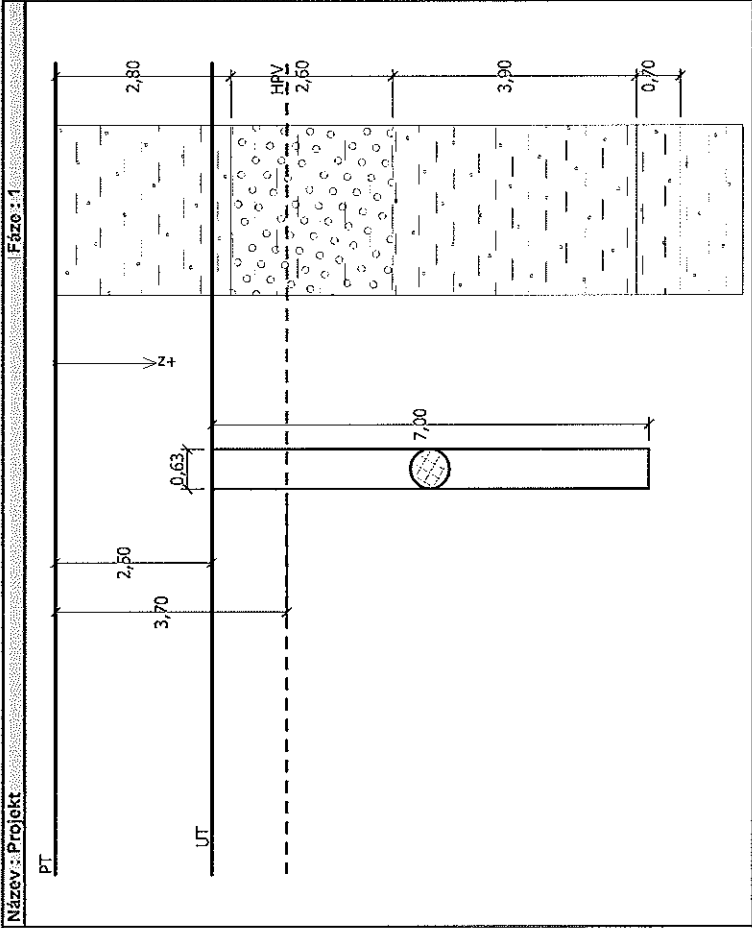
Navržena výztuž piloty VYHOVUJE



Posouzení piloty

Vstupní data

Projekt : Bazén Domažlice
Akce : Pilota 630 mm_500 kN
Část : Sonda V2
Popis :
Autor : Ing. Josef Havel
Odběratel : Šumavaplan
Datum : 12. 7. 2013



Nastavení

(zadané pro aktuální úlohu)

Materiály a normy

Betonové konstrukce : ČSN 73 1201 R

Piloty

Výpočet pro odvodněné podmínky : ČSN 73 1002

Zatěžovací křivka : nelineární (Masopust)

Metodika posouzení : stupně bezpečnosti

Stupně bezpečnosti

Trvalá návrhová situace

SF_{cp} = 1,50 [-]

SF_{tp} = 2,00 [-]

Základní parametry zemin

Číslo	Název	Vzorek	φ _{ef} [°]	c _{ef} [kPa]	γ [kN/m ³]	γ
1	Y navážka		22,00	12,00	18,50	0,35
2	Třída G5		30,00	6,00	19,50	0,30
3	Třída F4, konzistence pevná Sr > 0,8		25,00	17,00	18,50	0,35
4	Třída F4, konzistence tuhá		26,00	19,00	18,50	0,35

Pro výpočet tlaku v kladu jsou všechny zeminy zadány jako nesoudržné.

Číslo	Název	Vzorek	E _{sed} [MPa]	E _{def} [MPa]	γ _{sat} [kN/m ³]	γ _o [kN/m ³]	n
1	Y navážka		-	3,00	19,50	-	-
2	Třída G5		-	50,00	19,50	-	-
3	Třída F4, konzistence pevná Sr > 0,8		-	5,00	19,50	-	-
4	Třída F4, konzistence tuhá		-	5,50	19,50	-	-

Parametry zemin pro výpočet modulu reakce podloží

Číslo	Název	Vzorek	Typ zeminy	n _h [MN/m ³]
1	Y navážka		soudržná	-
2	Třída G5		soudržná	-
3	Třída F4, konzistence pevná Sr > 0,8		soudržná	-
4	Třída F4, konzistence tuhá		soudržná	-

Parametry zemin

Y navážka

γ = 18,50 kN/m³

φ_{ef} = 22,00 °

c_{ef} = 12,00 kPa

Polissonovo číslo : v = 0,35

E_{def} = 3,00 MPa

γ_{sat} = 19,50 kN/m³

soudržná

Ing. Josef Havel	Bazén Domažlice Piloty 630 mm_500 kN
------------------	---

Třída G5

Objemová tíha : $\gamma = 19,50 \text{ kN/m}^3$
Úhel vnitřního tření : $\varphi_{ef} = 30,00^\circ$
Soudržnost zeminy : $c_{ef} = 6,00 \text{ kPa}$
Poissonovo číslo : $\nu = 0,30$
Modul přetvárnosti : $E_{del} = 50,00 \text{ MPa}$
Obj.tíha sat.zeminy : $\gamma_{sat} = 19,50 \text{ kN/m}^3$
Typ zeminy : soudržná

Třída F4, konzistence pevná $S_r > 0,8$

Objemová tíha : $\gamma = 18,50 \text{ kN/m}^3$
Úhel vnitřního tření : $\varphi_{ef} = 25,00^\circ$
Soudržnost zeminy : $c_{ef} = 17,00 \text{ kPa}$
Poissonovo číslo : $\nu = 0,35$
Modul přetvárnosti : $E_{del} = 5,00 \text{ MPa}$
Obj.tíha sat.zeminy : $\gamma_{sat} = 19,50 \text{ kN/m}^3$
Typ zeminy : soudržná

Třída F4, konzistence tuhá

Objemová tíha : $\gamma = 18,50 \text{ kN/m}^3$
Úhel vnitřního tření : $\varphi_{ef} = 26,00^\circ$
Soudržnost zeminy : $c_{ef} = 19,00 \text{ kPa}$
Poissonovo číslo : $\nu = 0,35$
Modul přetvárnosti : $E_{del} = 5,50 \text{ MPa}$
Obj.tíha sat.zeminy : $\gamma_{sat} = 19,50 \text{ kN/m}^3$
Typ zeminy : soudržná

Geometrie

Profil piloty: kruhová

Rozměry

Průměr $d = 0,63 \text{ m}$

Délka $l = 7,00 \text{ m}$

Umístění

Vysazení $h = 0,00 \text{ m}$

Hloubka upraveného terénu $h_z = 2,50 \text{ m}$

Typ technologie: Vrtané piloty

Modul reakce podloží uvažován podle ČSN 731004.

Materiál konstrukce

Objemová tíha $\gamma = 23,00 \text{ kN/m}^3$

Výpočet betonových konstrukcí proveden podle normy ČSN 73 1201 R.

Beton : B 30

Pevnost v tlaku $R_{bd} = 17,00 \text{ MPa}$

Pevnost v tahu $R_{td} = 1,20 \text{ MPa}$

Modul pružnosti $E_b = 32500,00 \text{ MPa}$

Modul pružnosti ve smyku $G = 13650,00 \text{ MPa}$

Ocel podtlá : 10 505 R

Pevnost v tlaku $R_{sbd} = 420,00 \text{ MPa}$

Pevnost v tahu $R_{sd} = 450,00 \text{ MPa}$

4	[GEOS - Piloty verze 5.15.14.0 hardwarový klíč 4300 / 2 STATIKA, úhobová stavební konstrukční kancelář s.r.o. Copyright © 2013 Flite spol. s r.o. All Rights Reserved www.fln.cz]
---	---

Ing. Josef Havel	Bazén Domažlice Piloty 630 mm_500 kN
------------------	---

Geologický profil a přiřazení zemín

Číslo	Vrstva [m]	Přiřazená zemina		Vzorek	
		γ	φ	—	—
1	2,80	Y	navážka	—	—
2	2,60	Třída G5		—	—
3	3,90	Třída F4, konzistence pevná	$S_r > 0,8$	—	—
4	0,70	Třída F4, konzistence tuhá		—	—
5	-	Třída F4, konzistence tuhá		—	—

Zatížení

Číslo	Zatížení nové/změna	Název	Typ	N	M_x	M_y	H_x	H_y
1	ANO	Zatížení č. 1	Návrhové	500,00	0,00	0,00	160,00	160,00
2	ANO	Zatížení č. 1 - provozní	Užitné	400,00	0,00	0,00	128,00	128,00

Hladina podzemní vody

Hladina podzemní vody je v hloubce 3,70 m od původního terénu.

Celkové nastavení výpočtu

Výpočet svislé únosnosti : analytické řešení

Typ výpočtu : výpočet pro odvozené podmínky

Nastavení výpočtu fáze

Návrhová situace : trvalá

Metodika posouzení : bez redukce vstupních dat

Posouzení čís. 1

Posouzení svislé únosnosti piloty podle teorie MS - mezivýsledky

Výpočet únosnosti v patě:

Součinitel únosnosti $N_c = 22,25$

Součinitel únosnosti $N_d = 11,85$

Součinitel únosnosti $N_b = 7,94$

Součinitel únosnosti $K_1 = 1,00$

Výpočtová únosnost na patě piloty $R_{pd} = 1857,40 \text{ kPa}$

Plocha příčného řezu piloty $A_p = 3,12E-01 \text{ m}^2$

Únosnost na plášti piloty:

Zkrácení účinné délky piloty $L_p = 0,82 \text{ m}$

Hloubka [m]	Mocnost [m]	φ_d [°]	c_{ud} [kPa]	γ [kN/m ³]	γ_{R2} [—]	f_s [kPa]	R_{si} [kN]
0,30	0,30	22,00	12,00	18,50	1,00	12,73	7,56
1,20	0,90	30,00	6,00	19,50	1,00	11,21	19,98
2,90	1,70	30,00	6,00	9,50	1,00	17,35	58,37
6,18	3,28	25,00	17,00	9,50	1,00	33,42	217,01

Posouzení svislé únosnosti piloty podle teorie MS - výsledky

Výpočet proveden s automatickým výběrem nejneprůznivějších zatěžovacích stavů.

4	[GEOS - Piloty verze 5.15.14.0 hardwarový klíč 4300 / 2 STATIKA, úhobová stavební konstrukční kancelář s.r.o. Copyright © 2013 Flite spol. s r.o. All Rights Reserved www.fln.cz]
---	---

Posouzení tlačené piloty:
Nejnepříznivější zatěžovací stav číslo 1. (Zatížení č. 1)

Únosnost piloty na plášti $R_s = 302,91$ kN
Únosnost piloty v patě $R_b = 579,00$ kN

Únosnost piloty $R_c = 881,91$ kN
Extrémní svislá síla $V_d = 500,00$ kN

Stupeň bezpečnosti = $1,76 > 1,50$

Svislá únosnost piloty VYHOVUJE

Posouzení čís. 1

Výpočet zatěžovací křivky piloty - vstupní data

Vrstva číslo	Počátek [m]	Konec [m]	Mocnost [m]	E_s [MPa]	Součinitel a	Součinitel b
1	0,00	0,30	0,30	6,98	46,00	20,00
2	0,30	2,90	2,60	9,33	46,00	20,00
3	2,90	6,80	3,90	11,34	46,00	20,00
4	6,80	7,00	0,20	13,21	97,00	108,00

Uvažovat zatížení : náhrnové

Součinitel vlivu ochrany díku $m_2 = 1,00$

Limitní sedání piloty $s_{lim} = 25,0$ mm

Regresní součinitel $e = 988,00$

Regresní součinitel $f = 1084,00$

Výpočet zatěžovací křivky piloty - mezivýsledky

Mezní síla na plášti piloty $R_{sy} = 555,62$ kN
Velikost napětí na patě při R_{sy} $q_0 = 890,44$ kPa
Průměrné plášťové tření $q_s = 40,10$ kPa
Průměrný sečnový modul deformace $E_s = 10,46$ MPa
Součinitel přenosu zatížení do paty $\beta = 0,33$

Příčinkové součinitele sedání :

Základní - závislý na poměru l/d $I_1 = 0,14$

Součinitel vlivu tuhosti piloty $R_k = 1,00$

Součinitel vlivu nestlačitelné vrstvy $R_h = 1,00$

Body zatěžovací křivky

Sednutí [mm]	Zatížení [kN]
0,0	0,00
2,5	313,65
5,0	443,57
7,5	543,26
10,0	627,30
12,5	701,34
15,0	768,28
17,5	829,84
20,0	870,29

Sednutí [mm]	Zatížení [kN]
22,5	909,63
25,0	948,96

Výpočet zatěžovací křivky piloty - výsledky

Zatížení na mezi mobilizace pláště tření $R_{yu} = 833,19$ kN

Velikost sedání odpovídající síle R_{yu} $s_y = 17,6$ mm

Únosnosti odpovídající sednutí 25 mm :

Únosnost paty $R_{bu} = 393,35$ kN

Celková únosnost $R_c = 948,96$ kN

Pro zatížení $Q = 400,00$ kN je sednutí piloty 4,1 mm

Posouzení čís. 1

Vstupní data pro výpočet vodorovné únosnosti piloty

Výpočet proveden s automatickým výběrem nejnepříznivějších zatěžovacích stavů.

Vodorovná únosnost posouzena ve směru maximálního účinku zatížení.

Průběhy vnitřních sil a deformace piloty

Průběh deformací a vnitřních sil po pilotě - maximální hodnoty:

Vzdál. [m]	Modul k [MN/m ²]	Deformace [mm]	Pootoč. [mRad]	Napětí [kPa]	Pos.síla [kN]	Moment [kNm]
0,00	0,00	7,61	2,41	150,99	226,27	0,00
0,30	3,17	6,60	2,38	179,23	189,07	43,27
0,30	52,91	6,60	2,38	179,23	189,07	43,27
0,35	52,91	6,43	2,38	183,94	182,87	50,48
0,70	52,91	5,27	2,28	197,27	114,67	87,02
1,05	52,91	4,18	2,14	156,30	59,61	108,32
1,40	52,91	3,16	1,98	118,11	16,90	117,55
1,75	52,91	2,22	1,82	82,92	10,16	117,63
2,10	52,91	1,36	1,66	50,76	24,84	111,30
2,45	52,91	0,57	1,51	21,46	32,75	101,04
2,80	52,91	0,10	1,38	5,74	34,49	89,10
2,90	52,91	0,23	1,34	8,00	33,88	85,73
2,90	5,29	0,23	1,34	8,00	33,88	85,73
3,15	5,29	0,56	1,26	13,62	32,36	77,31
3,50	5,29	0,98	1,16	7,36	31,45	66,13
3,85	5,29	1,37	1,08	10,29	30,07	55,35
4,20	5,29	1,74	1,01	13,01	28,26	45,13
4,55	5,29	2,08	0,95	15,57	26,02	35,62
4,90	5,29	2,41	0,91	18,00	23,41	26,96
5,25	5,29	2,72	0,88	20,34	20,42	19,28
5,60	5,29	3,02	0,85	22,60	17,07	12,71
5,95	5,29	3,32	0,84	24,81	13,37	7,37
6,30	5,29	3,61	0,83	27,00	9,33	3,39
6,65	5,29	3,90	0,83	29,90	4,95	0,88
6,80	5,29	4,02	0,83	31,19	2,83	0,50
6,80	5,82	4,02	0,83	31,19	2,83	0,50

Ing. Josef Havel		Bazén Domažlice Pilota 630 mm_500 kN			
------------------	--	---	--	--	--

Vzdál. [m]	Modul k [MN/m²]	Deformace [mm]	Pootoč. [mRad]	Napětí [kPa]	Pos.síla [kN]	Moment [kNm]
7.00	5.82	4.19	0.83	32.91	0.00	0.00
Průběh deformací a vnitřních sil po pilotě - minimální hodnoty:						
Vzdál. [m]	Modul k [MN/m²]	Deformace [mm]	Pootoč. [mRad]	Napětí [kPa]	Pos.síla [kN]	Moment [kNm]
0.00	0.00	-5.38	-3.41	-213.53	-160.00	-0.00
0.30	3.17	-4.66	-3.37	-253.47	-133.69	-61.19
0.30	52.91	-4.66	-3.37	-253.47	-133.69	-61.19
0.35	52.91	-4.54	-3.36	-250.13	-129.31	-71.39
0.70	52.91	-3.73	-3.22	-278.98	-81.09	-123.06
1.05	52.91	-2.95	-3.03	-221.05	-42.15	-153.19
1.40	52.91	-2.23	-2.80	-167.03	-11.95	-166.23
1.75	52.91	-1.57	-2.57	-117.27	-14.36	-166.36
2.10	52.91	-0.96	-2.34	-71.79	-35.13	-157.41
2.45	52.91	-0.41	-2.13	-30.35	-46.32	-142.89
2.80	52.91	-0.14	-1.95	-4.06	-48.78	-126.00
2.90	52.91	-0.33	-1.90	-5.65	-47.92	-121.24
2.90	5.29	-0.33	-1.90	-5.65	-47.92	-121.24
3.15	5.29	-0.79	-1.78	-9.63	-45.76	-109.33
3.50	5.29	-1.39	-1.64	-5.20	-44.48	-93.52
3.85	5.29	-1.94	-1.52	-7.27	-42.53	-78.28
4.20	5.29	-2.46	-1.42	-9.20	-39.96	-63.82
4.55	5.29	-2.94	-1.34	-11.01	-36.80	-50.37
4.90	5.29	-3.40	-1.28	-12.73	-33.10	-38.12
5.25	5.29	-3.84	-1.24	-14.38	-28.87	-27.26
5.60	5.29	-4.27	-1.21	-15.98	-24.14	-17.97
5.95	5.29	-4.69	-1.19	-17.54	-18.91	-10.42
6.30	5.29	-5.10	-1.18	-19.09	-13.20	-4.79
6.65	5.29	-5.51	-1.17	-21.14	-7.01	-1.24
6.80	5.29	-5.69	-1.17	-22.06	-4.00	-0.71
6.80	5.82	-5.69	-1.17	-22.06	-4.00	-0.71
7.00	5.82	-5.92	-1.17	-23.27	0.00	-0.00

Maximální vnitřní síly a deformace:

Max.deformace piloty = 7.6 mm

Max.posouvající síla = 226.27 kN

Maximální moment = 166.36 kNm

Dimenzace výztuže:

Vyztužení - 8 ks profil 16.0 mm; krycí 70.0 mm

Typ konstrukce (stupně vyztužení) : sloup

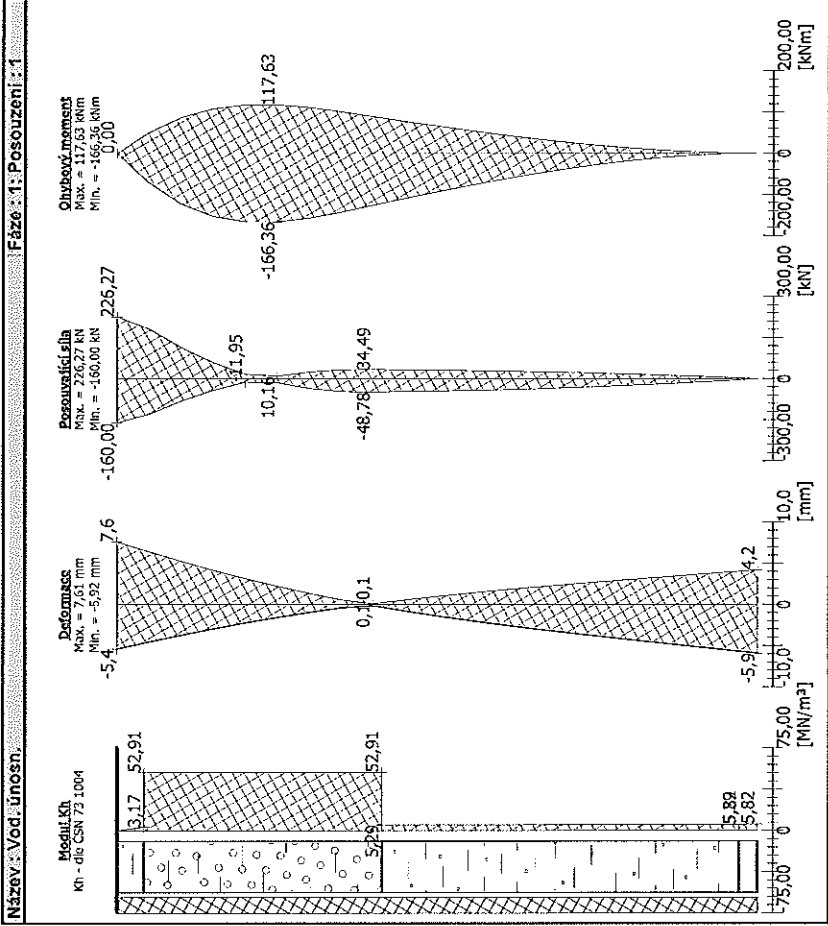
Stupeň vyztužení $\mu_{st} = 0.516 \% > 0.050 \% = \mu_{st,min}$

Zatížení : $N_d = -500.00$ kN (tlak) ; $M_d = 166.36$ kNm

Únosnost : $N_{d,0} = -1007.54$ kN; $M_{d,0} = 335.23$ kNm

Navržená výztuž piloty VYHOVUJE

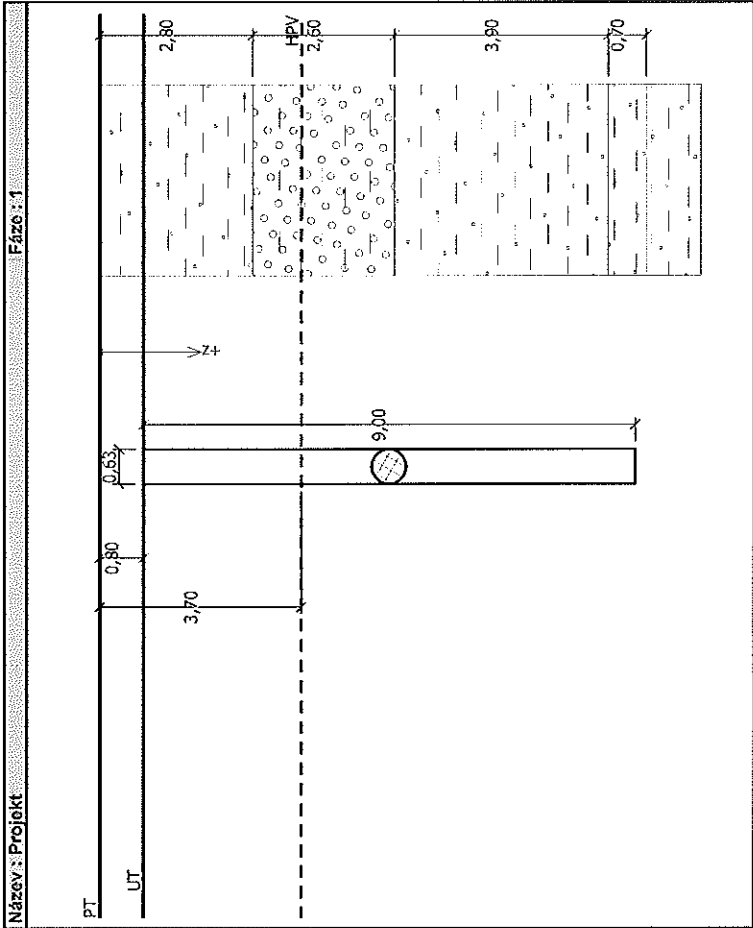
Ing. Josef Havel		Bazén Domažlice Pilota 630 mm_500 kN			
------------------	--	---	--	--	--



Posouzení piloty

Vstupní data

Projekt : Bazén Domažlice
Akce : Pilota 630 mm_pod tobogánem
Část : Sonda V2
Popis :
Autor : Ing. Josef Havel
Odběratel : Šumavaplan
Datum : 12. 7. 2013



Nastavení

(zadané pro aktuální úlohu)
Materiály a normy
Betonové konstrukce : ČSN 73 1201 R
Piloty
Výpočet pro odvozené podmínky : ČSN 73 1002
Zatěžovací křivka : nelineární (Masopust)
Metodika posouzení : stupně bezpečnosti

Stupně bezpečnosti
Trvalá návrhová situace

Stupeň bezpečnosti - tlačená pilota : $SF_{cp} = 1.50 [-]$
Stupeň bezpečnosti - tažená pilota : $SF_{tp} = 2.00 [-]$

Základní parametry zemín

Číslo	Název	Vzorek	φ_{ef} [°]	c_{ef} [kPa]	γ [kN/m ³]	γ [kN/m ³]	γ [kN/m ³]	γ [kN/m ³]
1	Y navážka		22,00	12,00	18,50	18,50	0,35	
2	Třída G5		30,00	6,00	19,50	19,50	0,30	
3	Třída F4, konzistence pevná $Sr > 0,8$		25,00	17,00	18,50	18,50	0,35	
4	Třída F4, konzistence tuhá		26,00	19,00	18,50	18,50	0,35	

Pro výpočet tlaku v křídle jsou všechny zeminy zadány jako nesoudržné.

Číslo	Název	Vzorek	E_{bed} [MPa]	E_{daf} [MPa]	γ_{sat} [kN/m ³]	γ_s [kN/m ³]	n [-]
1	Y navážka		-	3,00	19,50	-	-
2	Třída G5		-	50,00	19,50	-	-
3	Třída F4, konzistence pevná $Sr > 0,8$		-	5,00	19,50	-	-
4	Třída F4, konzistence tuhá		-	5,50	19,50	-	-

Parametry zemín pro výpočet modulu reakce podloží

Číslo	Název	Vzorek	Typ zeminy	n_h [MN/m ³]
1	Y navážka		soudržná	-
2	Třída G5		soudržná	-
3	Třída F4, konzistence pevná $Sr > 0,8$		soudržná	-
4	Třída F4, konzistence tuhá		soudržná	-

Parametry zemín

Y navážka
Objemová tíha : $\gamma = 18,50 \text{ kN/m}^3$
Úhel vnitřního tření : $\varphi_{ef} = 22,00^\circ$
Soudržnost zeminy : $c_{ef} = 12,00 \text{ kPa}$
Poissonovo číslo : $\nu = 0,35$
Modul přetvárnosti : $E_{daf} = 3,00 \text{ MPa}$
Obj.tíha satzeminy : $\gamma_{sat} = 19,50 \text{ kN/m}^3$
Typ zeminy : soudržná

Třída G5
Objemová tíha : $\gamma = 19,50 \text{ kN/m}^3$
Úhel vnitřního tření : $\varphi_{ef} = 30,00^\circ$
Soudržnost zeminy : $c_{ef} = 6,00 \text{ kPa}$
Poissonovo číslo : $\nu = 0,30$
Modul přetvárnosti : $E_{del} = 50,00 \text{ MPa}$
Obj.tíha sat.zeminy : $\gamma_{sat} = 19,50 \text{ kN/m}^3$
Typ zeminy : soudržná

Třída F4, konzistence pevná $S_r > 0,8$
Objemová tíha : $\gamma = 18,50 \text{ kN/m}^3$
Úhel vnitřního tření : $\varphi_{ef} = 25,00^\circ$
Soudržnost zeminy : $c_{ef} = 17,00 \text{ kPa}$
Poissonovo číslo : $\nu = 0,35$
Modul přetvárnosti : $E_{del} = 5,00 \text{ MPa}$
Obj.tíha sat.zeminy : $\gamma_{sat} = 19,50 \text{ kN/m}^3$
Typ zeminy : soudržná

Třída F4, konzistence tuhá
Objemová tíha : $\gamma = 18,50 \text{ kN/m}^3$
Úhel vnitřního tření : $\varphi_{ef} = 26,00^\circ$
Soudržnost zeminy : $c_{ef} = 19,00 \text{ kPa}$
Poissonovo číslo : $\nu = 0,35$
Modul přetvárnosti : $E_{del} = 5,50 \text{ MPa}$
Obj.tíha sat.zeminy : $\gamma_{sat} = 19,50 \text{ kN/m}^3$
Typ zeminy : soudržná

Geometrie
Profil piloty: kruhová
Rozměry
Průměr: $d = 0,63 \text{ m}$
Délka : $l = 9,00 \text{ m}$
Umístění
Vysazení: $h = 0,00 \text{ m}$
Hloubka upraveného terénu $h_z = 0,80 \text{ m}$
Typ technologie: Vrtané piloty
Modul reakce podloží: uvažován podle ČSN 731004.

Materiál konstrukce
Objemová tíha $\gamma = 23,00 \text{ kN/m}^3$
Výpočet betonových konstrukcí proveden podle normy ČSN 73 1201 R.
Beton : B 30
Pevnost v tlaku $R_{bd} = 17,00 \text{ MPa}$
Pevnost v tahu $R_{tid} = 1,20 \text{ MPa}$
Modul pružnosti $E_b = 32500,00 \text{ MPa}$
Modul pružnosti ve smyku $G = 13850,00 \text{ MPa}$
Ocel podélná : 10 S05 R
Pevnost v tlaku $R_{sod} = 420,00 \text{ MPa}$
Pevnost v tahu $R_{sd} = 450,00 \text{ MPa}$

Geologický profil a přiřazení zemín

Číslo	Vrstva [m]	Přiřazená zemina	Vzorek
1	2,80	Y navažka	—
2	2,60	Třída G5	
3	3,90	Třída F4, konzistence pevná $S_r > 0,8$	—
4	0,70	Třída F4, konzistence tuhá	—
5	-	Třída F4, konzistence tuhá	—

Zatížení

Číslo	Zatížení nové změna	Název	Typ	N [kN]	M_x [kNm]	M_y [kNm]	H_x [kN]	H_y [kN]
1	ANO	Zatížení č. 1	Návrhové	600,00	35,00	46,00	-31,00	25,00
2	ANO	Zatížení č. 2	Návrhové	-200,00	35,00	46,00	-31,00	25,00
3	ANO	Zatížení č. 1 - provozní	Užitné	480,00	28,00	36,80	-24,80	20,00
4	ANO	Zatížení č. 2 - provozní	Užitné	-160,00	28,00	36,80	-24,80	20,00

Hladina podzemní vody

Hladina podzemní vody je v hloubce 3,70 m od původního terénu.

Celkové nastavení výpočtu

Výpočet svislé únosnosti : analytické řešení

Typ výpočtu : výpočet pro odvodněné podmínky

Nastavení výpočtu fáze

Návrhová situace : trvalá

Metodika posouzení : bez redukce vstupních dat

Posouzení čís. 1

Posouzení svislé únosnosti piloty podle teorie MS - mezivýsledky

Výpočet únosnosti v patě:

Soudčinitel únosnosti $N_c = 22,25$

Soudčinitel únosnosti $N_d = 11,85$

Soudčinitel únosnosti $N_b = 7,94$

Soudčinitel únosnosti $K_1 = 1,00$

Výpočtová únosnost na patě piloty $R_{pd} = 2442,24 \text{ kPa}$

Plocha přičného řezu piloty $A_p = 3,12E-01 \text{ m}^2$

Únosnost na plášti piloty:

Zkrácení účinné délky piloty $L_p = 0,82 \text{ m}$

Hloubka [m]	Mocnost [m]	η_d [%]	c_{ud} [kPa]	γ [kN/m ³]	η_{R2} [%]	f_s [kPa]	R_{si} [kN]
2,00	2,00	22,00	12,00	18,50	1,00	16,84	66,67
2,90	0,90	30,00	6,00	19,50	1,00	22,66	40,37
4,60	1,70	30,00	6,00	9,50	1,00	28,79	96,88
8,18	3,58	25,00	17,00	9,50	1,00	43,26	306,61

Únosnost tažené piloty:

Hloubka [m]	Mocnost [m]	ϕ_d [°]	c_{ud} [kPa]	γ [kN/m ³]	γ_{R2} [-]	f_s [kPa]	R_s [kN]
2,00	2,00	22,00	12,00	18,50	1,00	16,84	66,67
2,90	0,90	30,00	6,00	19,50	1,00	22,66	40,37
4,60	1,70	30,00	6,00	9,50	1,00	28,79	96,88
8,50	3,90	25,00	17,00	9,50	1,00	43,71	337,41
9,00	0,50	26,00	19,00	9,50	1,00	53,37	52,82

Posouzení svíslé únosnosti piloty podle teorie MS - výsledky

Výpočet proveden s automatickým výběrem nejneprůznivějších zatěžovacích stavů.

Posouzení tažené piloty:

Nejneprůznivější zatěžovací stav číslo 1. (Zatížení č. 1)

Únosnost piloty na plášt $R_s = 510,52$ kN
Únosnost piloty v patě $R_b = 761,31$ kN

Únosnost piloty $R_c = 1271,83$ kN
Extrémní svíslá síla $V_d = 600,00$ kN

Stupeň bezpečnosti = $2,12 > 1,50$

Únosnost tažené piloty VYHOVUJE

Posouzení tažené piloty:

Nejneprůznivější zatěžovací stav číslo 4. (Zatížení č. 2 - provozní)

Únosnost tažené piloty $R_{sd} = 594,14$ kN
Vlastní hmotnost piloty $w_p = 64,53$ kN
Extrémní tahová síla $V_d = 95,47$ kN

Stupeň bezpečnosti = $6,22 > 2,00$

Únosnost tažené piloty VYHOVUJE

Svíslá únosnost piloty VYHOVUJE

Posouzení čís. 1

Výpočet zatěžovací křivky piloty - vstupní data

Vrstva číslo	Počátek [m]	Konec [m]	Mocnost [m]	E_s [MPa]	Součinitel α	Součinitel β
1	0,00	2,00	2,00	6,98	46,00	20,00
2	2,00	4,60	2,60	9,33	46,00	20,00
3	4,60	8,50	3,90	11,34	46,00	20,00
4	8,50	9,00	0,50	13,21	97,00	108,00

Uvažovat zatížení : nárvhové

Součinitel vlivu ochrany dřívku $m_2 = 1,00$

Limitní sedání piloty $s_{lim} = 25,0$ mm

Regresní součinitel $e = 988,00$

Regresní součinitel $f = 1084,00$

Výpočet zatěžovací křivky piloty - mezivýsledky

Mezní síla na plášt piloty $R_{sy} = 776,97$ kN
Velikost napětí na patě při R_{sy} $q_0 = 912,12$ kPa
Průměrné pláštové tření $q_s = 43,62$ kPa
Průměrný sečnový modul deformace $E_s = 9,89$ MPa
Součinitel přenosu zatížení do paty $\beta = 0,27$

Přčinkové součinitele sedání :

Základní - závislý na poměru l/d $l_1 = 0,11$
Součinitel vlivu tuhosti piloty $R_k = 1,02$
Součinitel vlivu nestlačitelné vrstvy $R_h = 1,00$

Body zatěžovací křivky

Sednutí [mm]	Zatížení [kN]
0,0	0,00
2,5	389,84
5,0	551,31
7,5	675,22
10,0	779,68
12,5	871,71
15,0	954,91
17,5	1031,42
20,0	1083,88
22,5	1122,24
25,0	1160,60

Výpočet zatěžovací křivky piloty - výsledky

Zatížení na mezi mobilizace pláštření $R_{yu} \approx 1061,30$ kN
Velikost sedání odpovídající síle R_{yu} $s_y = 18,5$ mm

Únosnost odpovídající sednutí 25 mm :

Únosnost paty $R_{bu} = 363,63$ kN
Celková únosnost $R_c = 1160,60$ kN

Pro zatížení $Q = 480,00$ kN je sednutí piloty 3,8 mm

Posouzení čís. 1

Vstupní data pro výpočet vodorovné únosnosti piloty

Výpočet proveden s automatickým výběrem nejneprůznivějších zatěžovacích stavů.
Vodorovná únosnost posouzena ve směru maximálního účinku zatížení.

Průběhy vnitřních sil a deformace piloty

Průběh deformací a vnitřních sil po pilotě - maximální hodnoty:

Vzdál. [m]	Modul k [MN/m ³]	Deformace [mm]	Pootoč. [mRad]	Napětí [kPa]	Pos.síla [kN]	Moment [kNm]
0,00	0,00	6,33	1,47	12,47	39,82	35,00
0,45	3,17	5,29	1,40	10,42	34,60	45,50
0,90	3,17	4,30	1,31	8,48	30,29	54,67
1,35	3,17	3,39	1,20	6,69	26,84	62,75
1,80	3,17	2,56	1,09	24,83	24,17	69,98
2,00	3,17	2,23	1,03	34,14	16,47	71,90

Ing. Josef Havel		Bazén Domažlice				Pilot 630 mm pod tobogánem			
------------------	--	-----------------	--	--	--	----------------------------	--	--	--

Vzdál. [m]	Modul k [MN/m²]	Deformace [mm]	Pootoč. [mRad]	Napětí [kPa]	Pos.síla [kN]	Moment [kNm]
8.50	5.29	5.29	-2.08	-0.26	-7.31	-3.91
8.50	5.82	5.82	-2.08	-0.26	-7.31	-3.91
8.55	5.82	5.82	-2.09	-0.26	-7.40	-3.55
9.00	5.82	5.82	-2.21	-0.26	-8.00	-0.00

Maximální vnitřní síly a deformace:
Max.deformace piloty = 6,3 mm
Max.posouvající síla = 39,82 kN
Maximální moment = 120,09 kNm
Dimenze výztuže:
Výztužení - 10 ks profil 18,0 mm; krycí 70,0 mm
Typ konstrukce (stupně výztužení) : sloup
Stupeň výztužení μ_{st} = 0,816 % > 0,050 % = $\mu_{s,min}$
Zatížení : N_d = 200,00 kN (tah) ; M_d = 120,09 kNm
Únosnost : N_u = 317,52 kN; M_u = 190,65 kNm
Navržená výztuž piloty VÝHOVUJE

Ing. Josef Havel		Bazén Domažlice				Pilot 630 mm pod tobogánem			
------------------	--	-----------------	--	--	--	----------------------------	--	--	--

Vzdál. [m]	Modul k [MN/m²]	Deformace [mm]	Pootoč. [mRad]	Napětí [kPa]	Pos.síla [kN]	Moment [kNm]
2.00	52.91	2.23	1.03	34.14	16.47	71.90
2.25	52.91	1.82	0.96	45.79	6.85	74.29
2.70	52.91	1.17	0.82	38.89	9.40	72.96
3.15	52.91	0.62	0.70	20.82	17.74	66.66
3.60	52.91	0.16	0.59	5.38	21.36	57.70
4.05	52.91	0.14	0.49	12.13	21.02	48.03
4.50	52.91	0.34	0.41	22.76	17.36	39.28
4.60	52.91	0.38	0.40	20.88	16.57	37.71
4.60	5.29	0.38	0.40	20.88	16.57	37.71
4.95	5.29	0.51	0.35	14.27	13.81	32.21
5.40	5.29	0.66	0.30	5.62	12.93	26.19
5.85	5.29	0.78	0.26	6.68	11.85	20.61
6.30	5.29	0.89	0.22	7.59	10.59	15.55
6.75	5.29	0.98	0.20	8.39	9.18	11.10
7.20	5.29	1.07	0.18	9.12	7.64	7.31
7.65	5.29	1.15	0.17	9.79	5.98	4.24
8.10	5.29	1.23	0.17	10.70	4.20	1.95
8.50	5.29	1.29	0.17	11.77	2.43	0.66
8.50	5.82	1.29	0.17	11.77	2.43	0.66
8.55	5.82	1.30	0.16	11.90	2.21	0.50
9.00	5.82	1.37	0.16	12.87	0.00	0.00

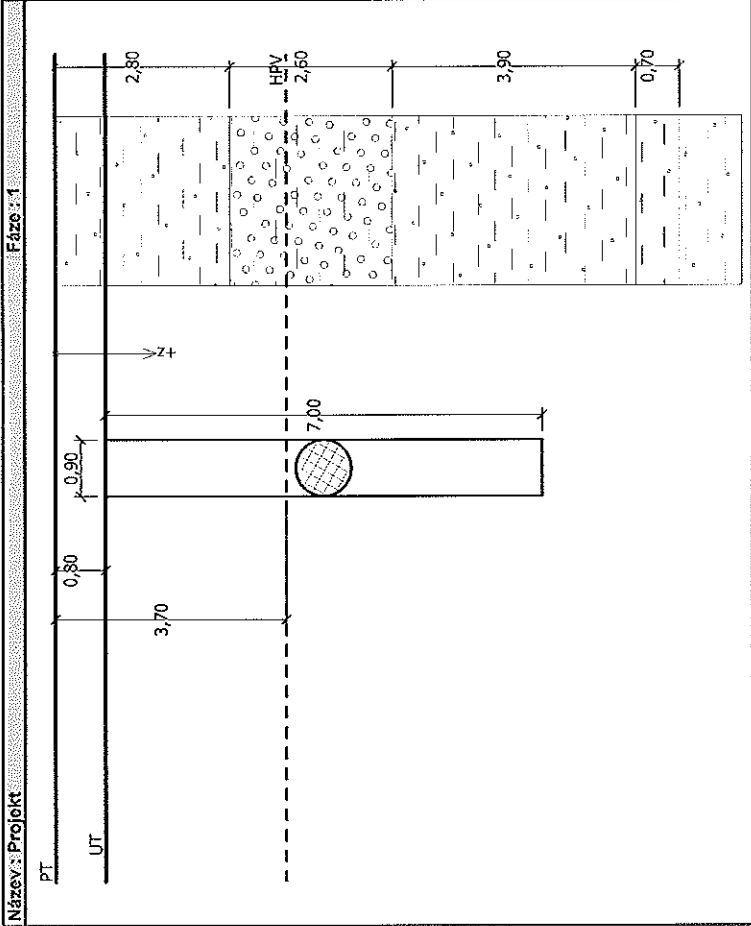
Průběh deformací a vnitřních sil po pilotě - minimální hodnoty:

Vzdál. [m]	Modul k [MN/m²]	Deformace [mm]	Pootoč. [mRad]	Napětí [kPa]	Pos.síla [kN]	Moment [kNm]
0.00	0.00	-3.93	-2.38	-20.10	-25.00	-57.80
0.45	3.17	-3.28	-2.26	-16.78	-21.76	-74.50
0.90	3.17	-2.67	-2.11	-13.65	-19.08	-89.07
1.35	3.17	-2.11	-1.94	-10.75	-16.93	-101.88
1.80	3.17	-1.59	-1.75	-8.90	-15.27	-113.33
2.00	3.17	-1.39	-1.66	-54.84	-10.48	-116.33
2.00	52.91	-1.39	-1.66	-54.84	-10.48	-116.33
2.25	52.91	-1.13	-1.54	-73.52	-4.49	-120.09
2.70	52.91	-0.73	-1.32	-62.03	-15.45	-117.79
3.15	52.91	-0.39	-1.12	-32.94	-28.79	-107.53
3.60	52.91	-0.10	-0.94	-8.43	-34.56	-93.01
4.05	52.91	-0.23	-0.79	-7.39	-33.95	-77.38
4.50	52.91	-0.56	-0.66	-14.05	-27.99	-63.26
4.60	52.91	-0.62	-0.64	-12.89	-26.72	-60.73
4.60	5.29	-0.62	-0.64	-12.89	-26.72	-60.73
4.95	5.29	-0.83	-0.56	-8.83	-22.25	-51.87
5.40	5.29	-1.06	-0.48	-3.48	-20.83	-42.17
5.85	5.29	-1.26	-0.41	-4.14	-19.08	-33.18
6.30	5.29	-1.43	-0.36	-4.71	-17.05	-25.04
6.75	5.29	-1.59	-0.32	-5.21	-14.79	-17.87
7.20	5.29	-1.72	-0.29	-5.66	-12.30	-11.76
7.65	5.29	-1.85	-0.28	-6.08	-9.62	-6.82
8.10	5.29	-1.97	-0.27	-6.65	-6.75	-3.13

Posouzení piloty

Vstupní data

Projekt : Bazén Domažlice
Akce : Pilota 630 mm_pod tobogánem
Část : Sonda V2
Popis : Sonda V2
Autor : Ing. Josef Havel
Odběratel : Šumavaplan
Datum : 12. 7. 2013



Nastavení

(zadané pro aktuální účelu)
Materiály a normy
Betonové konstrukce : ČSN 73 1201 R
Piloty
Výpočet pro odvozené podmínky : ČSN 73 1002
Zatěžovací křivka : nelineární (Masopust)
Metodika posouzení : stupně bezpečnosti

Stupně bezpečnosti

Trvalá návrhová situace

Stupeň bezpečnosti - tlacená pilota : $SF_{op} = 1,50 [-]$
Stupeň bezpečnosti - tažená pilota : $SF_{tp} = 2,00 [-]$

Základní parametry zemin

Číslo	Název	Vzorek	φ_{ef} [°]	c_{ef} [kPa]	γ [kN/m ³]	γ [°]
1	Y navážka		22,00	12,00	18,50	0,35
2	Třída G5		30,00	6,00	19,50	0,30
3	Třída F4, konzistence pevná $Sr > 0,8$		25,00	17,00	18,50	0,35
4	Třída F4, konzistence tuhá		26,00	19,00	18,50	0,35

Pro výpočet tlaku v křídle jsou všechny zeminy zadány jako nesoudržné.

Číslo	Název	Vzorek	E_{sed} [MPa]	E_{def} [MPa]	γ_{sat} [kN/m ³]	γ_s [kN/m ³]	n [°]
1	Y navážka		-	3,00	19,50	-	-
2	Třída G5		-	50,00	19,50	-	-
3	Třída F4, konzistence pevná $Sr > 0,8$		-	5,00	19,50	-	-
4	Třída F4, konzistence tuhá		-	5,50	19,50	-	-

Parametry zemin pro výpočet modulu reakce podloží

Číslo	Název	Vzorek	Typ zeminy	n_h [MN/m ³]
1	Y navážka		soudržná	-
2	Třída G5		soudržná	-
3	Třída F4, konzistence pevná $Sr > 0,8$		soudržná	-
4	Třída F4, konzistence tuhá		soudržná	-

Parametry zemin

Y navážka
Objemová tíha : $\gamma = 18,50 \text{ kN/m}^3$
Úhel vnitřního tření : $\varphi_{ef} = 22,00^\circ$
Soudržnost zemin : $c_{ef} = 12,00 \text{ kPa}$
Poissonovo číslo : $\nu = 0,35$
Modul přetvárnosti : $E_{def} = 3,00 \text{ MPa}$
Obj. tíha satzeminy : $\gamma_{sat} = 19,50 \text{ kN/m}^3$
Typ zeminy : soudržná

Třída G5
Objemová tíha : $\gamma = 19,50 \text{ kN/m}^3$
Úhel vnitřního tření : $\varphi_{ef} = 30,00^\circ$
Soudržnost zeminy : $c_{ef} = 6,00 \text{ kPa}$
Poissonovo číslo : $\nu = 0,30$
Modul přetvárnosti : $E_{def} = 50,00 \text{ MPa}$
Obj.tíha sat.zeminy : $\gamma_{sat} = 19,50 \text{ kN/m}^3$
Typ zeminy : soudržná

Třída F4, konzistence pevná $S_r > 0,8$
Objemová tíha : $\gamma = 18,50 \text{ kN/m}^3$
Úhel vnitřního tření : $\varphi_{ef} = 25,00^\circ$
Soudržnost zeminy : $c_{ef} = 17,00 \text{ kPa}$
Poissonovo číslo : $\nu = 0,35$
Modul přetvárnosti : $E_{def} = 5,00 \text{ MPa}$
Obj.tíha sat.zeminy : $\gamma_{sat} = 19,50 \text{ kN/m}^3$
Typ zeminy : soudržná

Třída F4, konzistence tuhá
Objemová tíha : $\gamma = 18,50 \text{ kN/m}^3$
Úhel vnitřního tření : $\varphi_{ef} = 26,00^\circ$
Soudržnost zeminy : $c_{ef} = 19,00 \text{ kPa}$
Poissonovo číslo : $\nu = 0,35$
Modul přetvárnosti : $E_{def} = 5,50 \text{ MPa}$
Obj.tíha sat.zeminy : $\gamma_{sat} = 19,50 \text{ kN/m}^3$
Typ zeminy : soudržná

Geometrie
Profil piloty: kruhová
Rozměry
Průměr $d = 0,90 \text{ m}$
Délka $l = 7,00 \text{ m}$
Umístění
Vysazení $h = 0,00 \text{ m}$
Hloubka upraveného terénu $h_z = 0,80 \text{ m}$
Typ technologie: Vrtané piloty
Modul reakce podloží uvažován podle ČSN 731004.

Materiál konstrukce
Objemová tíha $\gamma = 23,00 \text{ kN/m}^3$
Výpočet betonových konstrukcí proveden podle normy ČSN 73 1201 R.
Beton : B 30
 $R_{bd} = 17,00 \text{ MPa}$
Pevnost v tlaku $R_{bid} = 1,20 \text{ MPa}$
Pevnost v tahu $E_p = 32500,00 \text{ MPa}$
Modul pružnosti $G = 13650,00 \text{ MPa}$
Modul pružnosti ve smyku
Ocel podélná : 10 S05 R
 $R_{sdd} = 420,00 \text{ MPa}$
Pevnost v tahu $R_{sd} = 450,00 \text{ MPa}$

Geologický profil a přiřazení zemín

Číslo	Vrstva [m]	Přiřazená zemina	Vzorek			
1	2,80	Y navážka				
2	2,60	Třída G5				
3	3,90	Třída F4, konzistence pevná $S_r > 0,8$				
4	0,70	Třída F4, konzistence tuhá				
5	-	Třída F4, konzistence tuhá				

Zatížení

Číslo	Zatížení nové/změna	Název	Typ	N [kN]	M_x [kNm]	M_y [kNm]	H_x [kN]	H_y [kN]
1	ANO	Zatížení č. 1	Návrhové	52,00	355,00	0,00	0,00	43,00
2	ANO	Zatížení č. 2	Návrhové	44,00	421,00	0,00	0,00	36,00
3	ANO	Zatížení č. 1 - provozní	Užitné	43,33	295,83	0,00	0,00	35,83
4	ANO	Zatížení č. 2 - provozní	Užitné	36,67	350,83	0,00	0,00	30,00

Hladina podzemní vody

Hladina podzemní vody je v hloubce 3,70 m od původního terénu.

Celkové nastavení výpočtu

Výpočet svislé únosnosti : analytické řešení

Typ výpočtu : výpočet pro odvodněné podmínky

Nastavení výpočtu fáze

Návrhová situace : trvalá

Metodika posouzení : bez redukce vstupních dat

Posouzení čís. 1

Posouzení svislé únosnosti piloty podle teorie MS - mezivýsledky

Výpočet únosnosti v patě:

Součinitel únosnosti $N_c = 20,72$

Součinitel únosnosti $N_d = 10,66$

Součinitel únosnosti $N_b = 6,76$

Součinitel únosnosti $K_1 = 1,00$

Výpočtová únosnost na patě piloty $R_{pd} = 1861,15 \text{ kPa}$

Plocha příčného řezu piloty $A_p = 6,36E-01 \text{ m}^2$

Únosnost na pláši piloty:

Zkrácení účinné délky piloty $L_p = 1,09 \text{ m}$

Hloubka [m]	Mocnost [m]	φ_d [°]	c_{ud} [kPa]	γ [kN/m ³]	γ_{R2} [°]	γ_s [kPa]	R_{s1} [kN]
2,00	2,00	22,00	12,00	18,50	1,00	16,84	95,24
2,90	0,90	30,00	6,00	19,50	1,00	22,66	57,66
4,60	1,70	30,00	6,00	9,50	1,00	28,79	138,40
5,91	1,31	25,00	17,00	9,50	1,00	40,03	148,27

Posouzení svíslé únosnosti piloty podle teorie MS - výsledky

Výpočet proveden s automatickým výběrem nejnepríznivějších zatěžovacích stavů.

Posouzení tlacené piloty:

Nejnepríznivější zatěžovací stav číslo 1. (Zatížení č. 1)

Únosnost piloty na plášti $R_s = 439,57$ kN

Únosnost piloty v patě $R_0 = 1184,01$ kN

Únosnost piloty $R_c = 1623,58$ kN

Extrémní svíslá síla $V_d = 52,00$ kN

Stupeň bezpečnosti = 31,22 > 1,50

Svíslá únosnost piloty VYHOVUJE

Posouzení čís. 1

Výpočet zatěžovací křivky piloty - vstupní data

Vrstva číslo	Počátek [m]	Konec [m]	Mocnost [m]	E_s [MPa]	Součinitel a	Součinitel b
1	0,00	2,00	2,00	6,98	46,00	20,00
2	2,00	4,60	2,60	9,33	46,00	20,00
3	4,60	7,00	2,40	11,34	46,00	20,00

Uvažovat zatížení : náhrnové

Součinitel vílvu ochrany díku $m_2 = 1,00$

Limitní sedání piloty $s_{lim} = 25,0$ mm

Regresní součinitel $e = 988,00$

Regresní součinitel $f = 1084,00$

Výpočet zatěžovací křivky piloty - mezivýsledky

Mezní síla na plášti piloty $R_{sy} = 745,82$ kN

Velikost napětí na patě při R_{sy} $q_0 = 848,63$ kPa

Průměrné plášťové tření $q_s = 37,68$ kPa

Průměrný sečnový modul deformace $E_s = 9,35$ MPa

Součinitel přenosu zatížení do paty $\beta = 0,42$

Příchokové součinitele sedání :

Základní - závislý na poměru l/d $I_1 = 0,17$

Součinitel vílvu tuhosti piloty $R_k = 1,00$

Součinitel vílvu nestlačitelné vrstvy $R_h = 1,00$

Body zatěžovací křivky

Sednutí [mm]	Zatížení [kN]
0,0	0,00
2,5	396,25
5,0	560,38
7,5	686,32
10,0	792,50
12,5	886,04
15,0	970,61
17,5	1048,38

Sednutí [mm]	Zatížení [kN]
20,0	1120,76
22,5	1188,75
25,0	1253,05

Výpočet zatěžovací křivky piloty - výsledky

Zatížení na mezi mobilizace pláštěření $R_{yu} = 1285,69$ kN

Velikost sedání odpovídající síle R_{yu} $s_y = 26,3$ mm

Únosnost odpovídající sednutí 25 mm :

Únosnost paty

Celková únosnost

$R_{bu} = 512,81$ kN

$R_c = 1258,63$ kN

Pro zatížení $Q = 43,33$ kN je sednutí piloty 0,0 mm

Posouzení čís. 1

Vstupní data pro výpočet vodotěsné únosnosti piloty

Výpočet proveden s automatickým výběrem nejnepríznivějších zatěžovacích stavů.

Vodotěsná únosnost posouzena ve směru maximálního účinku zatížení.

Průběhy vnitřních sil a deformace piloty

Průběh deformací a vnitřních sil po pilotě - maximální hodnoty:

Vzdál. [m]	Modul k [MN/m ²]	Deformace [mm]	Pootoč. [mRad]	Napětí [kPa]	Pos. síla [kN]	Moment [kNm]
0,00	2,22	-12,13	5,25	34,98	-30,00	421,00
0,35	0,39	-10,75	5,11	30,95	-21,35	431,75
0,70	0,78	-9,41	4,96	27,03	-13,74	439,08
1,05	1,17	-8,10	4,81	23,23	-7,15	443,43
1,40	1,56	-6,83	4,67	19,54	-1,54	445,22
1,75	1,94	-5,60	4,52	16,01	3,74	444,86
2,00	2,22	-4,75	4,41	13,63	32,03	438,77
2,00	37,04	-4,75	4,41	136,39	32,03	438,77
2,10	37,04	-4,41	4,37	159,54	43,34	436,34
2,45	37,04	-3,25	4,23	152,84	100,21	410,70
2,80	37,04	-2,13	4,10	98,90	139,82	368,20
3,15	37,04	-1,05	3,98	46,55	162,69	314,78
3,50	37,04	0,12	3,89	-0,44	169,29	256,22
3,85	37,04	1,47	3,81	-38,82	160,01	198,13
4,20	37,04	2,79	3,75	-76,56	135,17	146,02
4,55	37,04	4,10	3,71	-88,20	94,99	105,30
4,60	37,04	4,28	3,71	-82,60	90,64	101,28
4,60	3,70	4,28	3,71	-82,60	90,64	101,28
4,90	3,70	5,39	3,68	-48,98	64,55	77,14
5,25	3,70	6,67	3,66	-18,73	57,51	55,73
5,60	3,70	7,95	3,64	-22,38	48,98	37,05
5,95	3,70	9,23	3,63	-26,01	38,96	21,62
6,30	3,70	10,50	3,63	-29,64	27,46	9,96
6,65	3,70	11,77	3,63	-33,26	14,47	2,58
7,00	3,70	13,04	3,63	-36,88	0,00	0,00

Průběh deformací a vnitřních sil po pilotě - minimální hodnoty:

Vzdál. [m]	Modul k [MN/m²]	Deformace [mm]	Pootoč. [mRad]	Napětí [kPa]	Posila [kN]	Moment [kNm]
0.00	2.22	-15.74	3.99	26.96	-43.00	295.83
0.35	0.39	-13.93	3.89	23.89	-33.39	306.95
0.70	0.78	-12.16	3.79	20.91	-24.93	315.42
1.05	1.17	-10.45	3.68	18.00	-17.58	321.59
1.40	1.56	-8.79	3.57	15.18	-11.31	325.78
1.75	1.94	-7.19	3.46	12.40	-6.09	328.29
2.00	2.22	-6.08	3.38	106.70	16.73	325.54
2.00	37.04	-6.08	3.38	106.70	16.73	325.54
2.10	37.04	-5.63	3.35	124.90	25.85	324.44
2.45	37.04	-4.13	3.25	120.49	70.51	307.18
2.80	37.04	-2.67	3.15	79.04	101.90	276.63
3.15	37.04	-1.26	3.06	38.79	120.43	237.35
3.50	37.04	0.01	2.99	-4.43	126.44	193.79
3.85	37.04	1.05	2.93	-54.31	120.24	150.27
4.20	37.04	2.07	2.89	-103.32	102.05	111.02
4.55	37.04	3.07	2.86	-117.56	72.06	80.21
4.60	37.04	3.22	2.86	-110.04	68.79	77.15
4.60	3.70	3.22	2.86	-110.04	68.79	77.15
4.90	3.70	4.07	2.84	-64.87	49.14	58.81
5.25	3.70	5.06	2.82	-24.72	43.82	42.51
5.60	3.70	6.04	2.81	-29.45	37.34	28.27
5.95	3.70	7.02	2.80	-34.17	29.72	16.50
6.30	3.70	8.00	2.80	-38.88	20.95	7.60
6.65	3.70	8.98	2.79	-43.58	11.05	1.97
7.00	3.70	9.96	2.79	-48.28	-0.00	-0.00

Maximální vnitřní síly a deformace:

Max.deformace piloty = 15,7 mm

Max.posouvající síla = 169.29 kN

Maximální moment = 445.22 kNm

Dimenze výztuže:

Výztužení - 12 ks profil 25,0 mm; krytí 70,0 mm

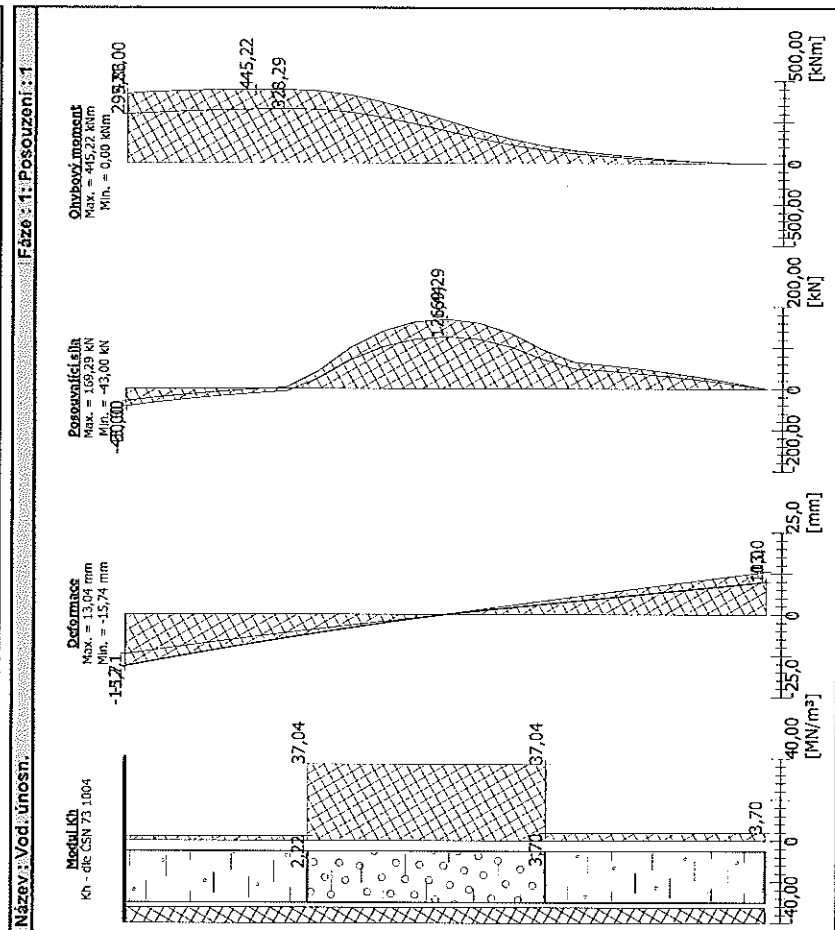
Typ konstrukce (stupně výztužení): sloup

Stupeň výztužení $\mu_{st} = 0,926 \% > 0,050 \% = \mu_{st,min}$

Zatížení : $N_d = -44,00$ kN (tlak) ; $M_d = 445,22$ kNm

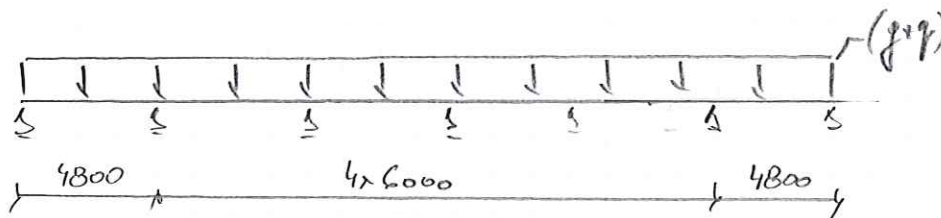
Únosnost : $N_u = -86,63$ kN; $M_u = 876,59$ kNm

Navržená výztuž piloty VYHOVUJE



Zpracoval:	J.H.	Datum:	27.6.2013	Zakázka:		Strana:	81
Objednatel:	ŠUT/AVAPLAN			Název akce:	BAZILKA DOVAŽKCE		
UZÁKLADOVÉ PRAHY							

ZPO1:



zatížení:

STÁLÁ: podlaha ... $6,25 \times 2,85 = 17,81 \text{ kN/m}$

stěna ... $25 \times 0,4 \times 3,65 = 36,50 \text{ kN/m}$

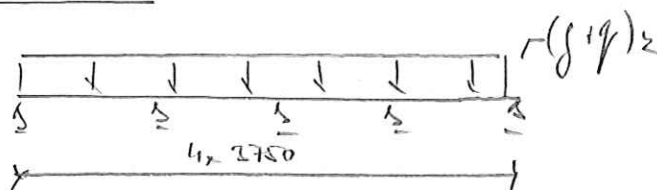
vl. hmotnost ... $6,50 \text{ kN/m}$

UŽITKOVÁ: podlaha ... $1,50 \times 2,85 = 4,30 \text{ kN/m}$

$g_1 = 54,31 \text{ kN/m} + \text{vl. hmotnost}$

$q_1 = 4,30 \text{ kN/m}$

ZPO2; ZPO4



zatížení:

STÁLÁ: podlaha ... $6,25 \times 3,00 = 18,75 \text{ kN/m}$

stěna ... $25 \times 0,375 \times 3,65 = 34,2 \text{ kN/m}$

vl. tíha ... $6,25 \text{ kN/m}$

UŽITKOVÁ: podlaha ... $1,50 \times 3,00 = 4,50 \text{ kN/m}$

$g_2 = 52,92 \text{ kN/m} + \text{vl. tíha}$

$q_2 = 4,50 \text{ kN/m}$

Zpracoval: J.H.	Datum: 27.6.2017	Zakázka:	Strana: 82
Objednatel: SUTAVATPLAN	Název akce: BAZÉN DOHAŽLICE		
ZÁKLADOVÉ PRAHY			

ZÁKLADOVÝ PRAH U STAVAJÍCÍHO BAZÉNU ŽPOŽ

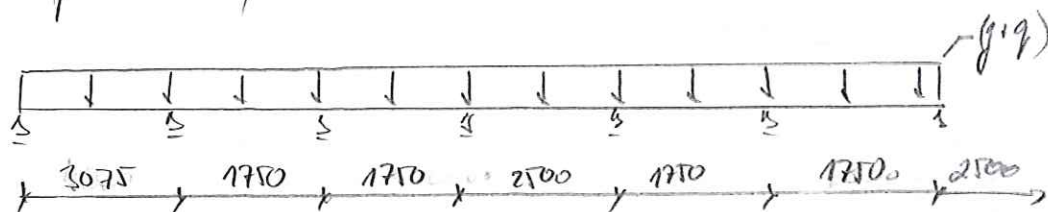
Zaléžovec šířka 3,0 m

ZATÍŽENÍ:

STÁLÉ	10,31 Sk/m^2	13,92 Sk/m^2
UŽITNÉ	5,00 Sk/m^2	7,50 Sk/m^2
VL. Hmot.	4,00 Sk/m	5,50 Sk/m

$$g_k = 3 + 84/\text{m} + 4,00 \text{ Sk/m}$$

$$g_k = 15,84/\text{m}$$

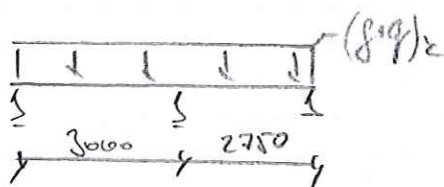


ZÁKLADOVÉ PRAHY BĚPNÉ - 650/650

- NAD ZÁKLADOVÝMI PRAHY PLUS ŽLB. MONOLITICKÝ STĚNÝ, VTBŽE SE VYNESOU DO PILOT
 - ZÁKLADOVÉ PRAHY UŽITNÝ KONSTRUKČNÍ
 - DIMENZOVRÁ NA TÍHU STĚNY PŘI PROVÁDĚNÍ + PODLAHOVÁ DESKA
- Stěna tl. 400 mm; výška 3650 mm
- Stěna tl. 200 mm; výška 2600 mm

Zpracoval: JH.	Datum: 28.6.2013	Zakázka:	Strana: 83
Objednatel: JUDr. A. PLAN	Název akce: BAZÉN DOMAŽLICE		
ZÁKLADOVÉ PRÁHY			

ZÁKLADOVÉ PRÁHY POD BAZÉNEM



Zatížení:

STĚNA: podlaha $6,25 \times 5,70 = 35,60 \text{ kN/m}$

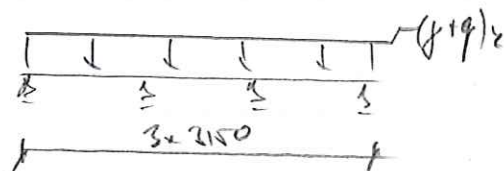
stěna $25 \times 0,3 \times 2,60 = 19,50 \text{ kN/m}$

vl. tíha $6,25 \text{ kN/m}$

UŽITNÍK: podlaha $1,50 \times 5,70 = 8,55 \text{ kN/m}$

$g_k = 55,10 \text{ kN/m} + \text{vl. tíha}$

$f_k = 8,55 \text{ kN/m}$



Zatížení:

STĚNA: podlaha $6,25 \times 4,60 = 28,75 \text{ kN/m}$

stěna $19,50 \text{ kN/m}$

vl. tíha $6,25 \text{ kN/m}$

UŽITNÍK: podlaha $1,50 \times 4,60 = 6,90 \text{ kN/m}$

$g_k = 48,25 \text{ kN/m} + \text{vl. tíha}$

$f_k = 6,90 \text{ kN/m}$

Ing. Havel Josef	Bazén Domažlice Základové prahy
------------------	------------------------------------

1 Bazén Domažlice

Popis: Zatížení při provádění

Součinitele výpočtu

Uvažovány dle normy EN 1992-1-1/Česko.

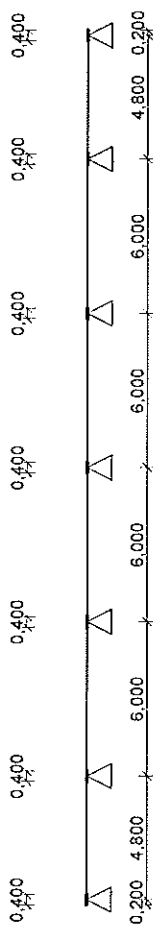
2 ZP01

2.1 Vstupní data

Geometrie

Délka dílce = 33,60m

x [m]	Podpora	Sířka [m]	Uložení	Odsazení [m]
0,000	Kloub	0,400	přímé	0,200
4,800	Kloub	0,400	přímé	-
10,800	Kloub	0,400	přímé	-
16,800	Kloub	0,400	přímé	-
22,800	Kloub	0,400	přímé	-
28,800	Kloub	0,400	přímé	-
33,600	Kloub	0,400	přímé	0,200



Materiály

Beton : C 30/37

$f_{ck} = 30,0 \text{ MPa}$; $f_{ctm} = 2,9 \text{ MPa}$; $E_{cm} = 33000,0 \text{ MPa}$

Ocel podélná : B500 ($f_{yk} = 500,0 \text{ MPa}$; $E_s = 200000,0 \text{ MPa}$)

Ocel příčná : B500 ($f_{yk} = 500,0 \text{ MPa}$; $E_s = 200000,0 \text{ MPa}$)

Zatěžovací stavy

č.	Název	Kód	Typ	$\gamma_f (\gamma_{f,lim})^*$	Součinitele pro kombinace	ξ	Kateg.**	γ_0	ψ_1	ψ_2
1	G1 vlastní tíha-stálé	Vlastní tíha	Stálé	1,35(0,90)	0,85	-	-	-	-	-
2	G2 silové-stálé	Silové	Stálé	1,35(0,90)	0,85	-	-	-	-	-
3	Q3 silové-proměnné (1)	Silové	Proměnné	1,50	-	E	1,00	0,90	0,80	-
4	Q4 silové-proměnné (2)	Silové	Proměnné	1,50	-	E	1,00	0,90	0,80	-
5	Q5 silové-proměnné (3)	Silové	Proměnné	1,50	-	E	1,00	0,90	0,80	-
6	Q6 silové-proměnné (4)	Silové	Proměnné	1,50	-	E	1,00	0,90	0,80	-
7	Q7 silové-proměnné (5)	Silové	Proměnné	1,50	-	E	1,00	0,90	0,80	-

Ing. Havel Josef	Bazén Domažlice Základové prahy
------------------	------------------------------------

č.	Název	Kód	Typ	$\gamma_f (\gamma_{f,lim})^*$	Součinitele pro kombinace	ξ	Kateg.**	γ_0	ψ_1	ψ_2
8	Q8 silové-proměnné (6)	Silové	Proměnné	1,50	-	E	1,00	0,90	0,80	-
9	Q9 silové-proměnné (7)	Silové	Proměnné	1,50	-	E	1,00	0,90	0,80	-
10	Q10 silové-proměnné (8)	Silové	Proměnné	1,50	-	E	1,00	0,90	0,80	-

* $\gamma_{f,lim}$ pro příznivé působící stálá zatížení

** Kategorie proměnných zatížení podle tabulky A1.1 v EN 1990

G2 SILOVÉ-STÁLÉ - ZATÍŽENÍ										
Typ	Souř.x [m]	Délka [m]	Vel.1	Vel.2						
pásové	0,000	33,600	54,31kN/m	-						

Q3 SILOVÉ-PROMĚNNÉ (1) - ZATÍŽENÍ										
Typ	Souř.x [m]	Délka [m]	Vel.1	Vel.2						
pásové	0,000	33,600	4,30kN/m	-						

Q4 SILOVÉ-PROMĚNNÉ (2) - ZATÍŽENÍ										
Typ	Souř.x [m]	Délka [m]	Vel.1	Vel.2						
pásové	0,000	4,800	4,30kN/m	-						
pásové	10,800	6,000	4,30kN/m	-						
pásové	22,800	6,000	4,30kN/m	-						

Q5 SILOVÉ-PROMĚNNÉ (3) - ZATÍŽENÍ										
Typ	Souř.x [m]	Délka [m]	Vel.1	Vel.2						
pásové	4,800	6,000	4,30kN/m	-						
pásové	16,800	6,000	4,30kN/m	-						
pásové	28,800	4,800	4,30kN/m	-						

Q6 SILOVÉ-PROMĚNNÉ (4) - ZATÍŽENÍ										
Typ	Souř.x [m]	Délka [m]	Vel.1	Vel.2						
pásové	0,000	10,800	4,30kN/m	-						
pásové	16,800	6,000	4,30kN/m	-						
pásové	28,800	4,800	4,30kN/m	-						

Q7 SILOVÉ-PROMĚNNÉ (5) - ZATÍŽENÍ										
Typ	Souř.x [m]	Délka [m]	Vel.1	Vel.2						
pásové	4,800	12,000	4,30kN/m	-						
pásové	22,800	6,000	4,30kN/m	-						

Q8 SILOVÉ-PROMĚNNÉ (6) - ZATÍŽENÍ										
Typ	Souř.x [m]	Délka [m]	Vel.1	Vel.2						
pásové	0,000	4,800	4,30kN/m	-						
pásové	10,800	12,000	4,30kN/m	-						
pásové	28,800	4,800	4,30kN/m	-						

Q9 SILOVÉ-PROMĚNNÉ (7) - ZATÍŽENÍ										
Typ	Souř.x [m]	Délka [m]	Vel.1	Vel.2						
pásové	4,800	6,000	4,30kN/m	-						

Q9 SILOVÉ-PROMĚNNÉ (7) - ZATÍŽENÍ			
Typ	Souřx [m]	Délka [m]	Vel:2
pásové	16,800	12,000	4,30kN/m
Q10 SILOVÉ-PROMĚNNÉ (8) - ZATÍŽENÍ			
Typ	Souřx [m]	Délka [m]	Vel:2
pásové	0,000	4,800	4,30kN/m
pásové	10,800	6,000	4,30kN/m
pásové	22,800	10,800	4,30kN/m

Vyztužení			
Typ vložky	Počátek [m]	Konec [m]	Profil [mm]
Dolní	0,000	33,600	16,00
Dolní	0,000	33,600	8,00
Horní	0,000	33,600	16,00

S stačenou výztuží je počítáno.

Smyková výztuž
Úsek č.: 1, (0,00m - 33,60m)
Třminky
Profil: 8,0 mm; Vzdálenost: 0,30 m; Sřihy: 4

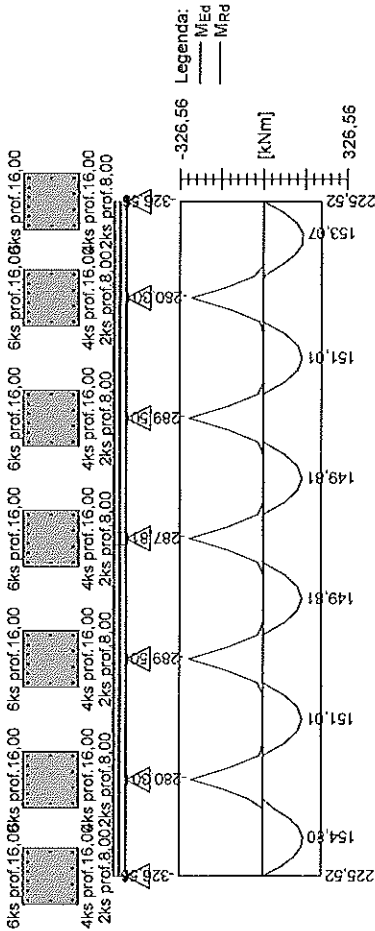
2.2 Výsledky - mezní stav únosnosti

Mezní stav únosnosti je posuzován pro obálku extrémních zatěžovacích případů

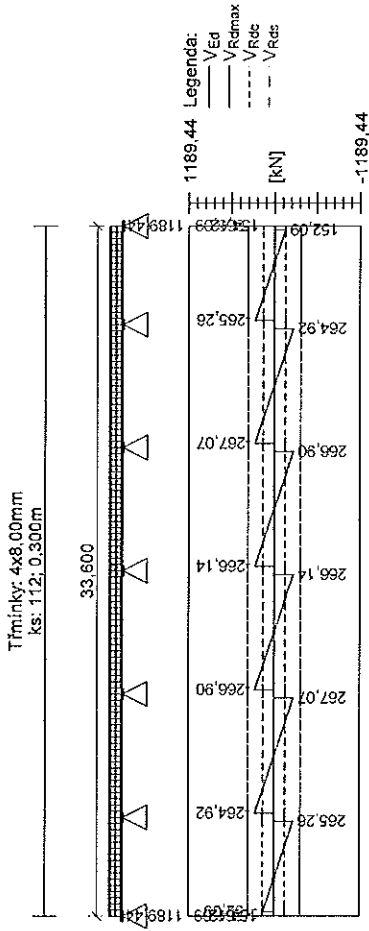
Ohyb
Tlačená výztuž uvažována; redukce momentu - ne
Posouzení vzdálenosti vložek
Vzdálenosti mezi vložkami vyhovují.

Posouzení min. a max. stupně vyztužení
Nosník (tažená výztuž - minimum, celková výztuž - maximum):
 $p_{s,t} = 0,00314 \geq p_{s,min} = 0,00151 \Rightarrow$ VYHOVUJE
 $p_s = 0,005 \leq p_{s,max} = 0,04 \Rightarrow$ VYHOVUJE

Kritický řez v bodě x = 10,800m
 $M_{Ed} = -289,50kNm \leq M_{Rd} = -326,56kNm \Rightarrow$ Vyhovuje
Ohyb dlece VYHOVUJE



Smysk
Typ prvku: trám
Kritický řez v bodě x = 10,600m
Stupeň vyztužení smykovou výztuží
 $p_{w,min} = 876,10^{-9} \leq p_w = 0,00103 \Rightarrow$ VYHOVUJE
Maximální vzdálenost třminků $s_{l,max} = 0,40\text{ m} \Rightarrow$ VYHOVUJE
Maximální vzdálenost větví třminků $s_{v,max} = 0,44\text{ m}$
 $V_{Ed} = 267,07kN \leq V_{Rd} = 366,09kN \Rightarrow$ Vyhovuje
Smyk dlece VYHOVUJE



Kotvení
Konecová úprava vložek - Přímý prut

Typ	profil [mm]	Počátek		Konec		Úč. délka [m]	Celk. délka [m]
		σ_{sd} [MPa]	I_{bd} [m]	σ_{sd} [MPa]	I_{bd} [m]		
Dolní	16,00	249,04	0,232	248,00	0,231	33,200	33,664
Dolní	8,00	249,04	0,116	248,00	0,116	33,200	33,432
Horní	16,00	434,78	0,580	434,78	0,580	33,600	34,759

Mezní stav únosnosti (ohyb, smyk) VYHOVUJE

2.3 Výsledky - mezní stav použitelnosti

Mezní stav použitelnosti je posuzován pro obálku provozních zatěžovacích případů

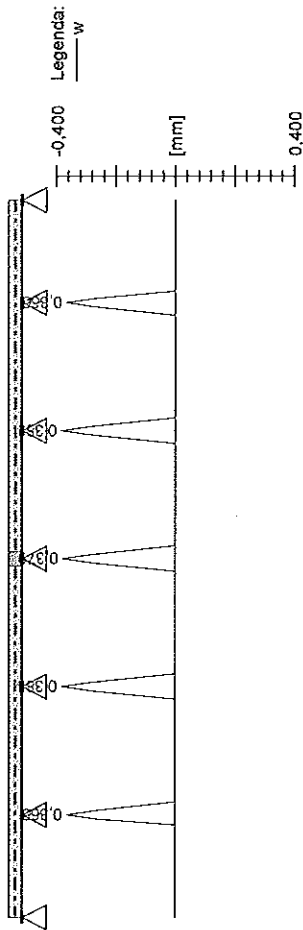
Trhliny

Mezní stav použitelnosti (šířka trhlin) je posuzován pro všechny kvazistálé zatěžovací případy

Maximální velikost trhlin: $w_k = 0,383\text{mm}$

Maximální povolená šířka trhliny: $w_{max} = 0,400\text{mm}$ (Vlastní hodnota)

Šířka trhlín VYHOVUJE



Průhyb

Mezní stav použitelnosti (omezení průhybu) je posuzován pro všechny kvazistálé, charakteristické, časté

zatěžovací případy

Počátek vysychání: $t_s = 7$ [dny]

Koniec vysychání: $t = 29200$ [dny]

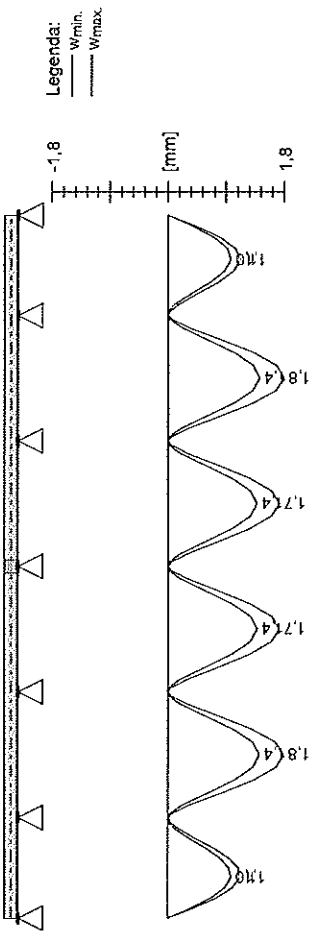
Počátek zatěžování: $t_0 = 28$ [dny]

Koniec zatěžování: $t = 29200$ [dny]

Maximální deformace dílce od kvazistálých kombinací je 1,8mm v bodě x = 25,800m

Maximální povolená deformace dílce od kvazistálých kombinací je 24,0mm

Průhyb dílce VYHOVUJE



Napětí

Mezní stav použitelnosti (omezení napětí) je posuzován pro všechny charakteristické zatěžovací případy

Největší tlakové napětí v betonu:

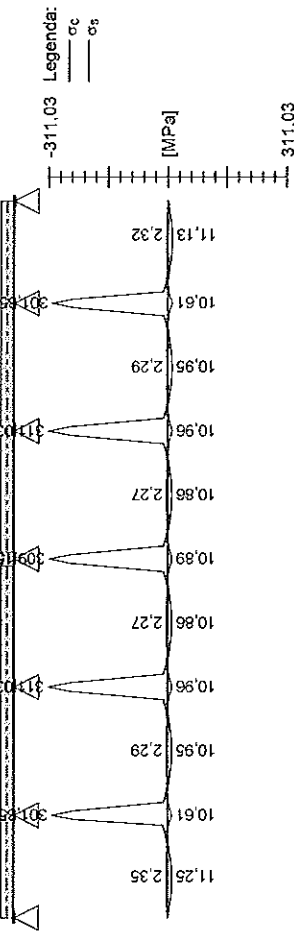
$\sigma_c = 11,0\text{MPa} < k_1 \times f_{ck} = 18,0\text{MPa} \Rightarrow$ Splněna hodnota pro prostředí XD, XF, XS

$\sigma_c = 11,0\text{MPa} < k_2 \times f_{ck} = 13,5\text{MPa} \Rightarrow$ Lineární dotvarování

Největší tahové napětí ve výztuži:

$\sigma_s = 311,0\text{MPa} < k_3 \times f_{yk} = 400,0\text{MPa} \Rightarrow$ Nepřijatelné trhliny ani deformace nevzniknou

Napětí na dílci VYHOVUJE



Mezní stav použitelnosti VYHOVUJE

3 ZP03

3.1 Vstupní data

Geometrie

Délka dílce = 27,08m

x [m]	Podpora	Šířka [m]	Uložení	Odsazení [m]
0,000	kloub	0,200	přímé	0,100
3,075	kloub	0,200	přímé	-
4,825	kloub	0,200	přímé	-
6,575	kloub	0,200	přímé	-
9,075	kloub	0,200	přímé	-
10,825	kloub	0,200	přímé	-

Ing. Havel Josef	Bazén Domažlice Základové prahy
------------------	------------------------------------

Q8 SILOVÉ-PROMĚNNÉ (6) - ZATÍŽENÍ			
Typ	Souř.x [m]	Délka [m]	Vel.2
pásové	10,825	1,750	15,00kN/m
pásové	15,075	1,750	15,00kN/m
pásové	18,575	2,500	15,00kN/m
pásové	22,825	1,750	15,00kN/m

Q9 SILOVÉ-PROMĚNNÉ (7) - ZATÍŽENÍ			
Typ	Souř.x [m]	Délka [m]	Vel.2
pásové	3,075	1,750	15,00kN/m
pásové	6,575	4,250	15,00kN/m
pásové	12,575	2,500	15,00kN/m
pásové	16,825	1,750	15,00kN/m
pásové	21,075	1,750	15,00kN/m
pásové	24,575	2,500	15,00kN/m

Q10 SILOVÉ-PROMĚNNÉ (8) - ZATÍŽENÍ			
Typ	Souř.x [m]	Délka [m]	Vel.2
pásové	0,000	3,075	15,00kN/m
pásové	4,825	1,750	15,00kN/m
pásové	9,075	3,500	15,00kN/m
pásové	15,075	1,750	15,00kN/m
pásové	18,575	2,500	15,00kN/m
pásové	22,825	1,750	15,00kN/m

Q11 SILOVÉ-PROMĚNNÉ (9) - ZATÍŽENÍ			
Typ	Souř.x [m]	Délka [m]	Vel.2
pásové	3,075	1,750	15,00kN/m
pásové	6,575	2,500	15,00kN/m
pásové	10,825	4,250	15,00kN/m
pásové	16,825	1,750	15,00kN/m
pásové	21,075	1,750	15,00kN/m
pásové	24,575	2,500	15,00kN/m

Q12 SILOVÉ-PROMĚNNÉ (10) - ZATÍŽENÍ			
Typ	Souř.x [m]	Délka [m]	Vel.2
pásové	0,000	3,075	15,00kN/m
pásové	4,825	1,750	15,00kN/m
pásové	9,075	1,750	15,00kN/m
pásové	12,575	4,250	15,00kN/m
pásové	18,575	2,500	15,00kN/m
pásové	22,825	1,750	15,00kN/m

Q13 SILOVÉ-PROMĚNNÉ (11) - ZATÍŽENÍ			
Typ	Souř.x [m]	Délka [m]	Vel.2
pásové	3,075	1,750	15,00kN/m
pásové	6,575	2,500	15,00kN/m
pásové	10,825	1,750	15,00kN/m
pásové	15,075	3,500	15,00kN/m
pásové	21,075	1,750	15,00kN/m

9	[FIN EC - Betonový výšek verze 11.2.10.0 hardwarový kód 4300 / 1 STATIKA Jihomoravské stavěbní koncernu kancelář s.r.o. Copyright © 2013 Fine spol. s r.o. All Rights Reserved www.fine.cz]
---	--

Ing. Havel Josef	Bazén Domažlice Základové prahy
------------------	------------------------------------

Q13 SILOVÉ-PROMĚNNÉ (11) - ZATÍŽENÍ			
Typ	Souř.x [m]	Délka [m]	Vel.2
pásové	24,575	2,500	15,00kN/m

Q14 SILOVÉ-PROMĚNNÉ (12) - ZATÍŽENÍ			
Typ	Souř.x [m]	Délka [m]	Vel.2
pásové	0,000	3,075	15,00kN/m
pásové	4,825	1,750	15,00kN/m
pásové	9,075	1,750	15,00kN/m
pásové	12,575	2,500	15,00kN/m
pásové	16,825	4,250	15,00kN/m
pásové	22,825	1,750	15,00kN/m

Q15 SILOVÉ-PROMĚNNÉ (13) - ZATÍŽENÍ			
Typ	Souř.x [m]	Délka [m]	Vel.2
pásové	3,075	1,750	15,00kN/m
pásové	6,575	2,500	15,00kN/m
pásové	10,825	1,750	15,00kN/m
pásové	15,075	1,750	15,00kN/m
pásové	18,575	4,250	15,00kN/m
pásové	24,575	2,500	15,00kN/m

Q16 SILOVÉ-PROMĚNNÉ (14) - ZATÍŽENÍ			
Typ	Souř.x [m]	Délka [m]	Vel.2
pásové	0,000	3,075	15,00kN/m
pásové	4,825	1,750	15,00kN/m
pásové	9,075	1,750	15,00kN/m
pásové	12,575	2,500	15,00kN/m
pásové	16,825	1,750	15,00kN/m
pásové	21,075	3,500	15,00kN/m

Q17 SILOVÉ-PROMĚNNÉ (15) - ZATÍŽENÍ			
Typ	Souř.x [m]	Délka [m]	Vel.2
pásové	3,075	1,750	15,00kN/m
pásové	6,575	2,500	15,00kN/m
pásové	10,825	1,750	15,00kN/m
pásové	15,075	1,750	15,00kN/m
pásové	18,575	2,500	15,00kN/m
pásové	22,825	4,250	15,00kN/m

Výztužení

Typ vložky	Počátek [m]	Konec [m]	Krytí [mm]	Profil [mm]	Počet
Dolní	0,000	27,075	60,0	12,00	5
Horní	0,000	27,075	60,0	12,00	5
Dolní	0,000	27,075	240,0	10,00	2

S tlačnou výztuží není počítáno.

Smyková výztuž

Úsek č.: 1, (0,00m - 27,08m)

Trminky

10	[FIN EC - Betonový výšek verze 11.2.10.0 hardwarový kód 4300 / 1 STATIKA Jihomoravské stavěbní koncernu kancelář s.r.o. Copyright © 2013 Fine spol. s r.o. All Rights Reserved www.fine.cz]
----	--

Profil: 8,0 mm; Vzdálenost: 0,25 m; Střihy: 4

3.2 Výsledky - mezní stav únosnosti

Mezní stav únosnosti je posuzován pro obálku extrémních zatěžovacích případů

Ohyb

Tlačená výztuž neuvažovaná; redukce momentu - ne

Posouzení vzdáleností vložek

Vzdálenosti mezi vložkami vyhovují.

Posouzení min. a max. stupně vyztužení

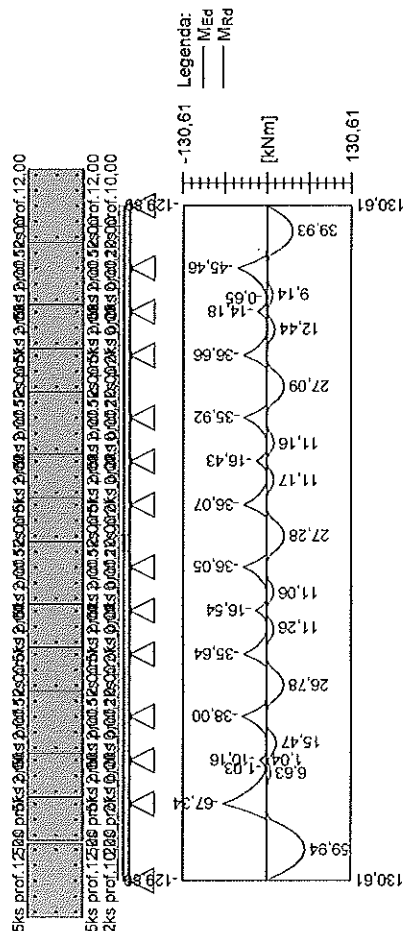
Nosník (tažená výztuž - minimum, celková výztuž - maximum):

$$\rho_{s,1} = 0,00283 \geq \rho_{s,\min} \Rightarrow \text{VÝHOVUJE}$$
$$\rho_s = 0,00396 \leq \rho_{s,\max} \approx 0,04 \Rightarrow \text{YHOVUJE}$$

Kritický řez v bodě $x = 3,075\text{m}$

$$M_{Ed} = -67,34 \text{ kNm} \leq M_{Rd} = -129,89 \text{ kNm} \Rightarrow \text{Vyhovuje}$$

Ohyb dílce VYHOVUJE



Smyk

Typ prvku: trám

Kritický řez v bodě $x = 2,975\text{m}$

Stupeň vyztužení smykovou výztuží

$$\rho_w m/n = 876 \cdot 10^{-8} \leq \rho_w = 0.00124 \Rightarrow \text{VYHOVUJE}$$

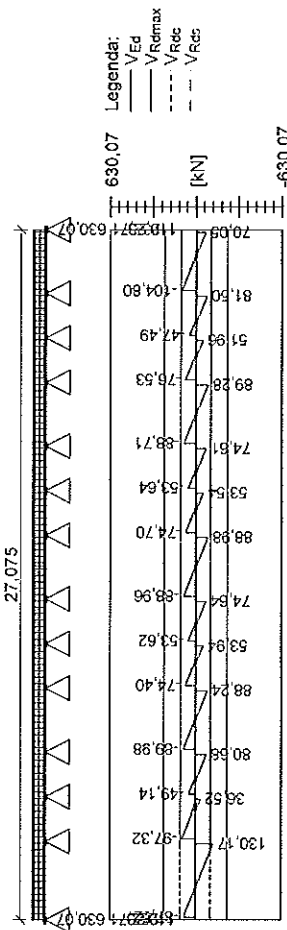
Maximální vzdálenost třmínků

Maximální vzdálenost větví třmínků $s_{t,max} = 0,30 \text{ m}$

$$V_{Ed} = 130,17 \text{ kN} \leq V_{Rd} = 232,71 \text{ kN} \Rightarrow \text{Vyhovuje}$$

Smyk dílce VYHOVUJE

Třmínky: 4x8,00mm
ks: 108; 0,250m



Kotvení

Koncová úprava vložek - Přímý prut

Typ	profil [mm]	Počátek		Konec		Úč. délka [m]	Celk. délka [m]
		σ_{ad} [MPa]	l_{ad} [m]	σ_{ad} [MPa]	l_{ad} [m]		
Dolní	12,00	163,11	0,120	131,02	0,120	26,875	27,115
Horní	12,00	434,78	0,435	434,78	0,435	27,075	27,945
Dolní	10,00	163,11	0,100	131,02	0,100	26,875	27,575

Mezní stav únosnosti (ohyb, smyk) VYHOVUJE

3.3 Výsledky - mezní stav použitelnosti

Mezní stav použitelnosti je posuzován pro obálku provozních zatěžovacích případů

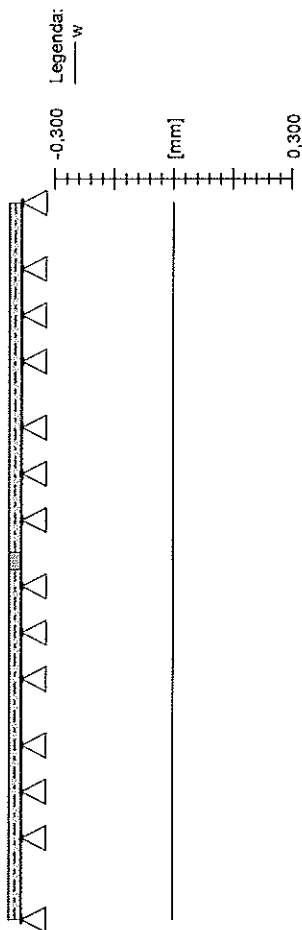
Trhlinv

Mezní stav použitelnosti (šířka tržnin) je posuzován pro všechny kvazistálé zatěžovací případy

Maximální velikost trlin: $w_k = 0,000\text{mm}$

Maximální povolená šířka trhlíny: $w_{\max} = 0,300\text{mm}$ (Prostředí - XC2, XC3, XC4, XD1, XD2, XS1, XS2 nebo XS3)

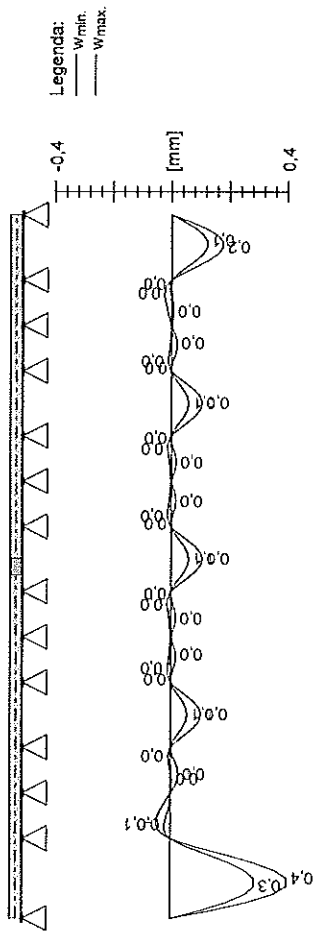
Širka tržlin VYHOVUJE



Průhyb

Mezní stav použitelnosti (omezení průhybu) je posuzován pro všechny kvazistálé, charakteristické, časté zatěžovací případy

Počátek vysychání: $t_s = 7$ [dní]
Konec vysychání: $t = 29200$ [dní]
Počátek zatěžování: $t_0 = 28$ [dní]
Konec zatěžování: $t = 29200$ [dní]
Maximální deformace dílce od kvazistálých kombinací je 0,4mm v bodě x = 1,538m
Maximální povolená deformace dílce od kvazistálých kombinací je 12,3mm
Průhyb dílce **VYHOVUJE**



Napětí

Mezní stav použitelnosti (omezení napětí) je posuzován pro všechny charakteristické zatěžovací případy

Největší tlakové napětí v betonu:

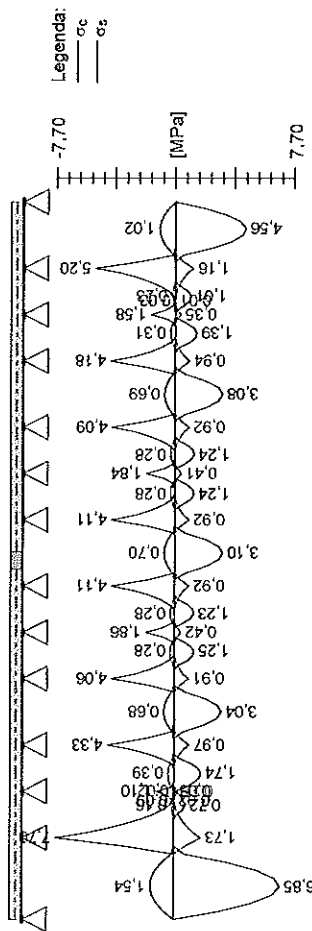
$$\sigma_c = 1,7 \text{ MPa} < k_1 \times f_{tk} = 18,0 \text{ MPa} \Rightarrow \text{Splněna hodnota pro prostředí XD, XF, XS}$$

$$\sigma_c = 1,7 \text{ MPa} < k_2 \times f_{tk} = 13,5 \text{ MPa} \Rightarrow \text{Lineární dotvarování}$$

Největší tahové napětí ve výztuži:

$$\sigma_s = 7,7 \text{ MPa} < k_3 \times f_{yk} = 400,0 \text{ MPa} \Rightarrow \text{Nepřijatelné tlhiny ani deformace nevzniknou}$$

Napětí na dílci **VYHOVUJE**



Mezní stav použitelnosti VYHOVUJE

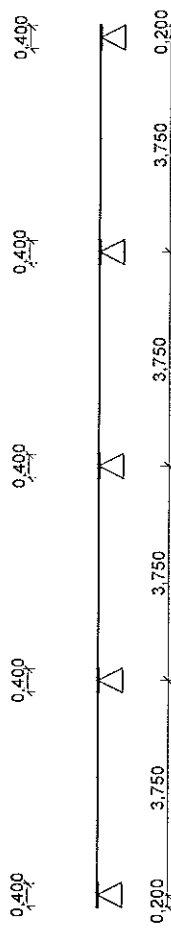
4 ZP02, ZP04

4.1 Vstupní data

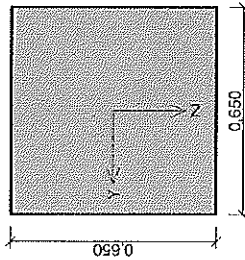
Geometrie

Délka dílce = 15,00m

x [m]	Podpora	Šířka [m]	Uložení	Odsazení [m]
0,000	kloub	0,400	přímé	0,200
3,750	kloub	0,400	přímé	-
7,500	kloub	0,400	přímé	-
11,250	kloub	0,400	přímé	-
15,000	kloub	0,400	přímé	0,200



Průřez



Materiály

Beton : C 30/37

$$f_{ak} = 30,0 \text{ MPa}; f_{ctm} = 2,9 \text{ MPa}; E_{cm} = 33000,0 \text{ MPa}$$

Ocel podélná : B500 ($f_{yk} = 500,0 \text{ MPa}; E_s = 200000,0 \text{ MPa}$)

Ocel příčná : B500 ($f_{yk} = 500,0 \text{ MPa}; E_s = 200000,0 \text{ MPa}$)

Zatěžovací stavy

č.	Název	Kód	Typ	γ_i [N/m²]	ξ	Kateg.	ψ_0	ψ_1	ψ_2
1	G1 vlastní tíha-stálé	Vlastní tíha	Stálé	1,35(0,90)	0,85	-	-	-	-
2	G2 silové-stálé	Silové	Stálé	1,35(0,90)	0,85	-	-	-	-
3	Q3 silové-proměnné (1)	Silové	Proměnné	1,50	-	E	1,00	0,90	0,80
4	Q4 silové-proměnné (2)	Silové	Proměnné	1,50	-	E	1,00	0,90	0,80
5	Q5 silové-proměnné (3)	Silové	Proměnné	1,50	-	E	1,00	0,90	0,80
6	Q6 silové-proměnné (4)	Silové	Proměnné	1,50	-	E	1,00	0,90	0,80
7	Q7 silové-proměnné (5)	Silové	Proměnné	1,50	-	E	1,00	0,90	0,80
8	Q8 silové-proměnné (6)	Silové	Proměnné	1,50	-	E	1,00	0,90	0,80

* γ_{inf} pro příznivé působící stálá zatížení

** Kategorie proměnných zatížení podle tabulky A1.1 v EN 1990

G2 SILOVÉ-STÁLÉ - ZATÍŽENÍ			
Typ	Souřx [m]	Délka [m]	Vel:2
pásové	0,000	15,000	52,92kN/m

Q3 SILOVÉ-PROMĚNNÉ (1) - ZATÍŽENÍ			
Typ	Souřx [m]	Délka [m]	Vel:2
pásové	0,000	15,000	4,50kN/m

Q4 SILOVÉ-PROMĚNNÉ (2) - ZATÍŽENÍ			
Typ	Souřx [m]	Délka [m]	Vel:2
pásové	0,000	3,750	4,50kN/m
pásové	7,500	3,750	4,50kN/m

Q5 SILOVÉ-PROMĚNNÉ (3) - ZATÍŽENÍ			
Typ	Souřx [m]	Délka [m]	Vel:2
pásové	3,750	3,750	4,50kN/m
pásové	11,250	3,750	4,50kN/m

Q6 SILOVÉ-PROMĚNNÉ (4) - ZATÍŽENÍ			
Typ	Souřx [m]	Délka [m]	Vel:2
pásové	0,000	7,500	4,50kN/m
pásové	11,250	3,750	4,50kN/m

Q7 SILOVÉ-PROMĚNNÉ (5) - ZATÍŽENÍ			
Typ	Souřx [m]	Délka [m]	Vel:2
pásové	3,750	7,500	4,50kN/m

Q8 SILOVÉ-PROMĚNNÉ (6) - ZATÍŽENÍ			
Typ	Souřx [m]	Délka [m]	Vel:2
pásové	0,000	3,750	4,50kN/m
pásové	7,500	7,500	4,50kN/m

Vyztužení

Typ vložky	Počátek [m]	Konec [m]	Krycí [mm]	Profil [mm]	Počet
Dolní	0,000	15,000	60,0	12,00	5
Dolní	0,000	15,000	320,0	8,00	2
Horní	0,000	15,000	70,0	12,00	5

S tláčenou výztuží není počítáno.

Smyková výztuž

Úsek č.: 1, (0,00m - 15,00m)

Trminky

Profil: 8,0 mm; Vzdálenost: 0,30 m; Střihy: 4

4.2 Výsledky - mezní stav únosnosti

Mezní stav únosnosti je posuzován pro obálku extrémních zatížovacích případů

Ohyb

Tlačená výztuž neuvažována; redukce momentu - ne

Posouzení vzdálenosti vložek

Vzdálenosti mezi vložkami vyhovují.

Posouzení min. a max. stupně vyztužení

Nosník (tažená výztuž - minimum, celková výztuž - maximum):

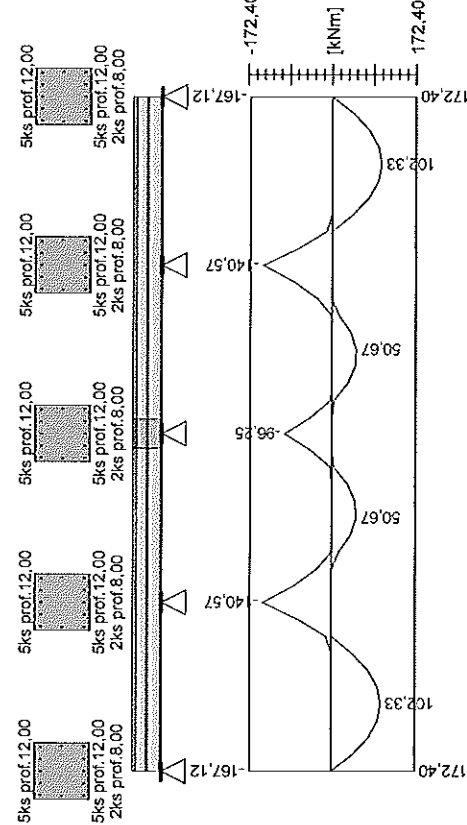
$\rho_{s,t} = 0,00191 \geq \rho_{s,min} = 0,00151 \Rightarrow$ VYHOVUJE

$\rho_s = 0,00291 \leq \rho_{s,max} = 0,04 \Rightarrow$ VYHOVUJE

Kritický řez v bodě $x = 11,250m$

$M_{Ed} = -140,57kNm \leq M_{Rd} = -167,12kNm \Rightarrow$ Vyhovuje

Ohyb dílce VYHOVUJE



Smyk

Typ prvku: trám

Kritický řez v bodě $x = 11,450m$

Stupeň vyztužení smykovou výztuží

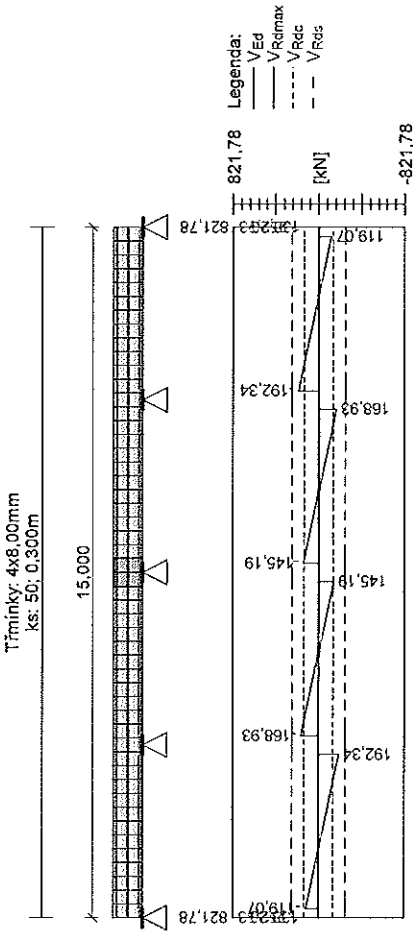
$\rho_{w,min} = 876,10^{-9} \leq \rho_w = 0,00103 \Rightarrow$ VYHOVUJE

Maximální vzdálenost trminků $s_{l,max} = 0,40 m \Rightarrow$ VYHOVUJE

Maximální vzdálenost větvi trminků $s_{tr,max} = 0,41 m$

$V_{Ed} = 192,34kN \leq V_{Rd} = 252,93kN \Rightarrow$ Vyhovuje

Smyk dílce VYHOVUJE



Kotvení

Koncová úprava vložek - Přímý prut

Typ	profil [mm]	Počátek		Konec		Úč. délka [m]	Celk. délka [m]
		σ_{sd} [MPa]	l_{bd} [m]	σ_{sd} [MPa]	l_{bd} [m]		
Dolní	12,00	267,21	0,187	267,21	0,187	14,600	14,974
Dolní	8,00	267,21	0,125	267,21	0,125	14,600	14,849
Horní	12,00	434,78	0,435	434,78	0,435	15,000	15,870

Mezní stav únosnosti (ohyb, smyk) VYHOVUJE

4.3 Výsledky - mezní stav použitelnosti

Mezní stav použitelnosti je posuzován pro obálku provozních zatěžovacích případů

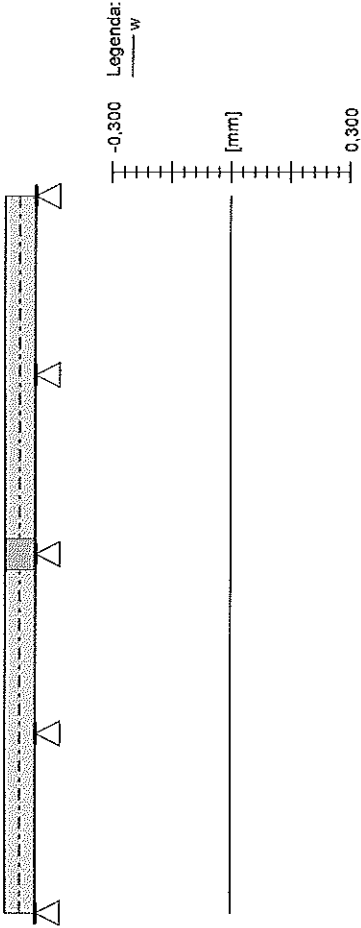
Tržniny

Mezní stav použitelnosti (šířka trhlin) je posuzován pro všechny kvazistálé zatěžovací případy

Maximální velikost trhlín: $w_k = 0,000\text{mm}$

Maximální povolená šířka trhlín: $w_{max} = 0,300\text{mm}$ (Prostředí - XC2, XC3, XC4, XD1, XD2, XS1, XS2 nebo XS3)

Šířka trhlín VYHOVUJE



Průhyb

Mezní stav použitelnosti (omezení průhybu) je posuzován pro všechny kvazistálé, charakteristické, časté zatěžovací případy

Počátek vysychání: $t_s = 7$ [dny]

Konec vysychání: $t = 29200$ [dny]

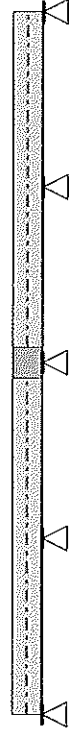
Počátek zatěžování: $t_0 = 28$ [dny]

Konec zatěžování: $t = 29200$ [dny]

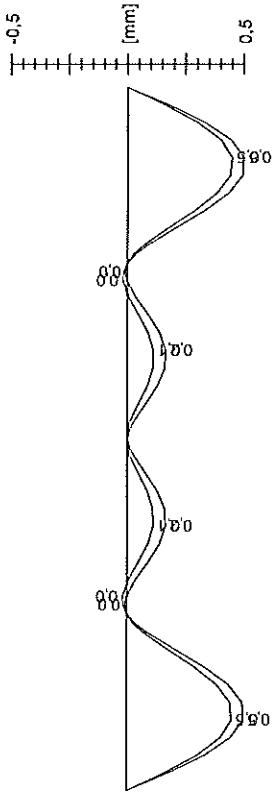
Maximální deformace dílce od kvazistálých kombinací je 0,5mm v bodě x = 13,500m

Maximální povolená deformace dílce od kvazistálých kombinací je 15,0mm

Průhyb dílce VYHOVUJE



Legenda:
Vmin
Vmax



Napětí

Mezní stav použitelnosti (omezení napětí) je posuzován pro všechny charakteristické zatěžovací případy

Největší tlakové napětí v betonu:

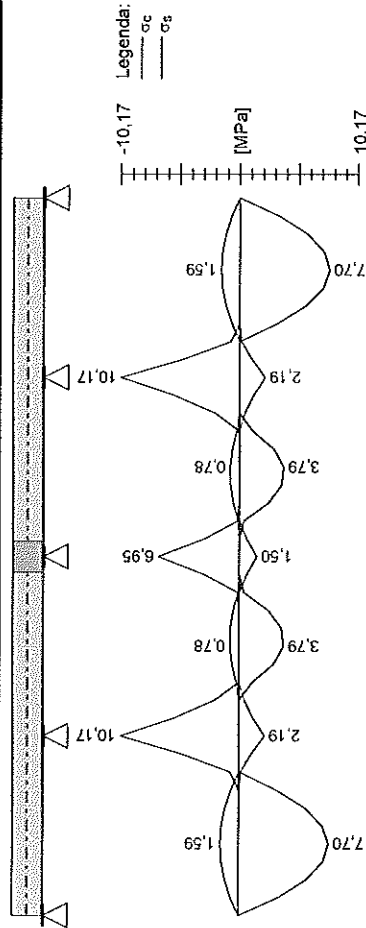
$\sigma_c = 2,2\text{MPa} < k_1 \times f_{ck} = 18,0\text{MPa} \Rightarrow$ Splněna hodnota pro prostředí XD, XF, XS

$\sigma_c = 2,2\text{MPa} < k_2 \times f_{ck} = 13,5\text{MPa} \Rightarrow$ Lineární dotvarování

Největší tahové napětí ve výztuži:

$\sigma_s = 10,2\text{MPa} < k_3 \times f_{yk} = 400,0\text{MPa} \Rightarrow$ Nepřijatelné trhliny ani deformace nevzniknou

Napětí na dílci VYHOVUJE



Mezní stav použitelnosti VYHOVUJE

5 ZP pod bazénem 1

5.1 Vstupní data

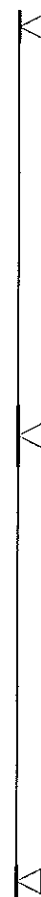
Geometrie

Délka dílce = 5,75m

x [m]	Podpora	Šířka [m]	Uložení	Odsazení [m]
0,000	kloub	0,200	přímé	0,100
3,000	kloub	0,400	přímé	-
5,750	kloub	0,200	přímé	0,100

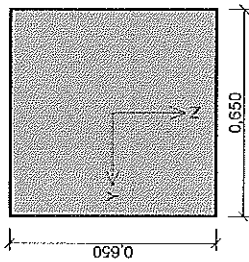
0,200
0,400
0,200

0,200



0,100 3,000 2,750 0,100

Průřez



Materiály

Beton : C 30/37

$f_{ak} = 30,0 \text{ MPa}$; $f_{ctm} = 2,9 \text{ MPa}$; $E_{cm} = 33000,0 \text{ MPa}$

Ocel podélná : B500 ($f_{yk} = 500,0 \text{ MPa}$; $E_s = 200000,0 \text{ MPa}$)

Ocel příčná : B500 ($f_{yk} = 500,0 \text{ MPa}$; $E_s = 200000,0 \text{ MPa}$)

Zatěžovací stavy									
č.	Název	Kód	Typ	γ_f [γ _{inf}]	Σ	Kateg. **	γ ₀	γ ₁	γ ₂
1	G1 vlastní tíha-stálé	Vlastní tíha	Stálé	1,35(0,90)	0,85	-	-	-	-
2	G2 silové-stálé	Silové	Stálé	1,35(0,90)	0,85	-	-	-	-
3	Q3 silové-proměnné (1)	Silové	Proměnné	1,50	-	E	1,00	0,90	0,80
4	Q4 silové-proměnné (2)	Silové	Proměnné	1,50	-	E	1,00	0,90	0,80
5	Q5 silové-proměnné (3)	Silové	Proměnné	1,50	-	E	1,00	0,90	0,80

* γ_{inf} pro příznivé působící stálá zatížení

** Kategorie proměnných zatížení podle tabulky A1.1 v EN 1990

G2 SILOVÉ-STÁLÉ - ZATÍŽENÍ				
Typ	Souř.x [m]	Délka [m]	Vel.1	Vel.2
pásové	0,000	5,750	55,10kN/m	-

Q3 SILOVÉ-PROMĚNNÉ (1) - ZATÍŽENÍ				
Typ	Souř.x [m]	Délka [m]	Vel.1	Vel.2
pásové	0,000	5,750	8,55kN/m	-

Q4 SILOVÉ-PROMĚNNÉ (2) - ZATÍŽENÍ				
Typ	Souř.x [m]	Délka [m]	Vel.1	Vel.2
pásové	0,000	3,000	8,55kN/m	-

Q5 SILOVÉ-PROMĚNNÉ (3) - ZATÍŽENÍ				
Typ	Souř.x [m]	Délka [m]	Vel.1	Vel.2
pásové	3,000	2,750	8,55kN/m	-

Vyztužení

Typ vložky	Počátek [m]	Konec [m]	Krytí [mm]	Profil [mm]	Počet
Dolní	0,000	5,750	60,0	12,00	5
Dolní	0,000	5,750	320,0	8,00	2
Horní	0,000	5,750	70,0	12,00	5

S tláčenou výztuží není počítáno.

Smyková výztuž

Úsek č.: 1, (0,00m - 5,75m)

Tříminky

Profil: 8,0 mm; Vzdálenost: 0,30 m; Střihy: 4

5.2 Výsledky - mezní stav únosnosti

Mezní stav únosnosti je posuzován pro obálku extrémních zatěžovacích případů

Ohyb

Tlačená výztuž neuvažována; redukce momentu - ne

Posouzení vzdálenosti vložek

Vzdálenosti mezi vložkami vyhovují.

Posouzení min. a max. stupně vyztužení

Nosník (tažená výztuž - minimum, ocelková výztuž - maximum):

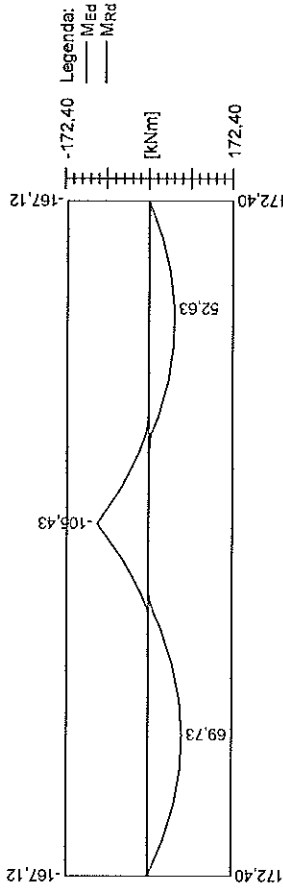
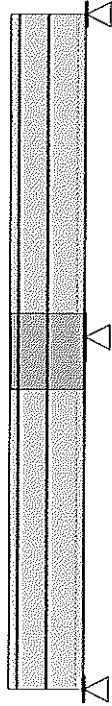
$P_{s,t} = 0,00191 \geq P_{s,min} = 0,00151 \Rightarrow$ VYHOVUJE

$P_s = 0,00291 \leq P_{s,max} = 0,04 \Rightarrow$ VYHOVUJE

Kritický řez v bodě $x = 3,000\text{ m}$

$M_{Ed} = -105,43\text{ kNm} \leq M_{Rd} = -167,12\text{ kNm} \Rightarrow$ Vyhovuje

Ohyb dílce VYHOVUJE



Smyk

Typ prvku: trám

Kritický řez v bodě $x = 2,800\text{ m}$

Stupeň vyztužení smykovou výztuží

$P_{w,min} = 876,10 \cdot 10^{-3} \leq P_{w,max} = 0,00103 \Rightarrow$ VYHOVUJE

Maximální vzdálenost třtin $s_{l,max} = 0,40\text{ m} \Rightarrow$ VYHOVUJE

Maximální vzdálenost větší třtiny $s_{l,max} = 0,41\text{ m}$

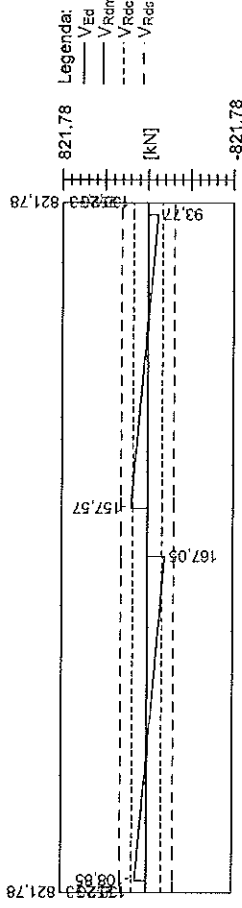
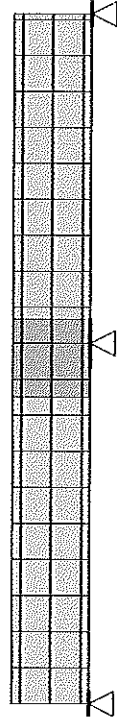
$V_{Ed} = 167,05\text{ kN} \leq V_{Rd} = 252,93\text{ kN} \Rightarrow$ Vyhovuje

Smyk dílce VYHOVUJE

Třtiny: 4x8 00mm

ks: 19; 0,300m

5,750



Kotvení

Koncová úprava vložek - Přímý prut

Typ	profil [mm]	Počátek		Konec		Úč. délka [m]	Celk. délka [m]
		σ_{sd} [MPa]	l_{bd} [m]	σ_{sd} [MPa]	l_{bd} [m]		
Dolní	12,00	211,18	0,148	181,65	0,127	5,550	5,825
Dolní	8,00	211,18	0,100	181,65	0,100	5,550	5,750
Horní	12,00	434,78	0,435	434,78	0,435	5,750	6,620

Mezní stav únosnosti (ohyb, smyk) VYHOVUJE

5.3 Výsledky - mezní stav použitelnosti

Mezní stav použitelnosti je posuzován pro obálku provozních zatěžovacích případů

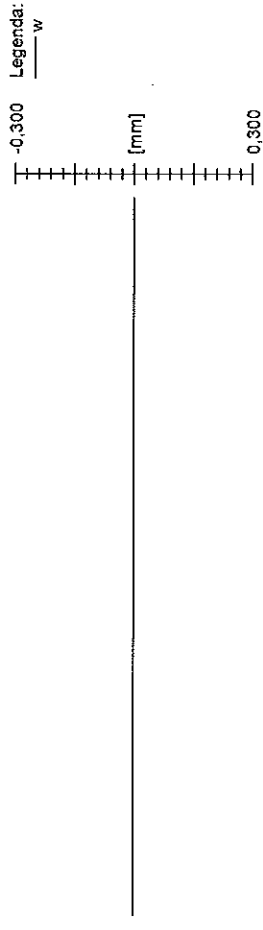
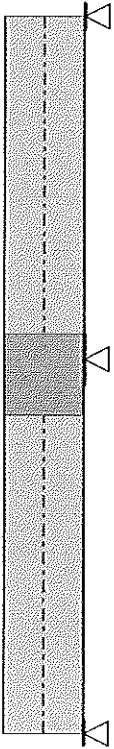
Trhliny

Mezní stav použitelnosti (šířka trhlin) je posuzován pro všechny kvazistálé zatěžovací případy

Maximální velikost trhlin: $w_k = 0,000\text{ mm}$

Maximální povolená šířka trhlin: $w_{max} = 0,300\text{ mm}$ (Prostředí - XC2, XC3, XC4, XD1, XD2, XS1, XS2 nebo XS3)

Šířka trhlin VYHOVUJE



Průhyb

Mezní stav použitelnosti (omezení průhybu) je posuzován pro všechny kvazistálé, charakteristické, časté zatěžovací případy

Počátek vysychání: $t_s = 7$ [dny]

Konec vysychání: $t = 29200$ [dny]

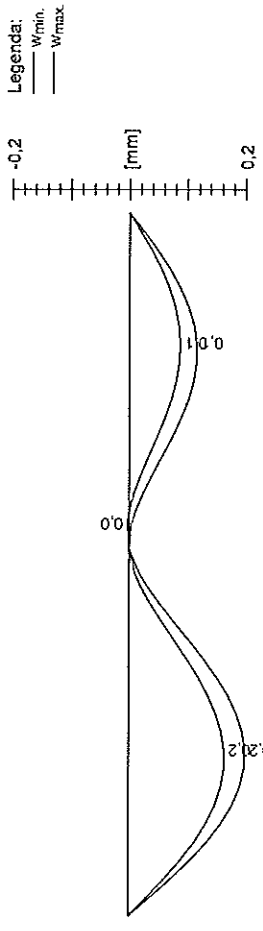
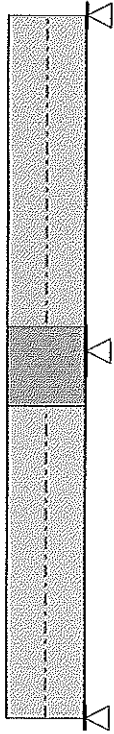
Počátek zatěžování: $t_0 = 28$ [dny]

Konec zatěžování: $t = 29200$ [dny]

Maximální deformace dílce od kvazistálých kombinací je 0,2mm v bodě x = 1,350m

Maximální povolená deformace dílce od kvazistálých kombinací je 12,0mm

Průhyb dílce VYHOVUJE



Napětí

Mezní stav použitelnosti (omezení napětí) je posuzován pro všechny charakteristické zatěžovací případy

Největší tlakové napětí v betonu:

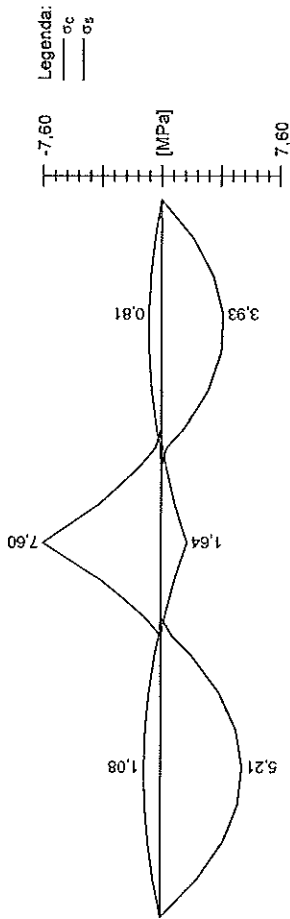
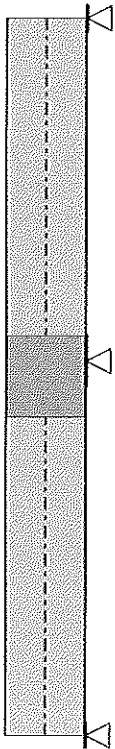
$\sigma_c = 1,6 \text{ MPa} < k_1 \times f_{ck} = 18,0 \text{ MPa} \Rightarrow$ Splněna hodnota pro prostředí XD, XF, XS

$\sigma_c = 1,6 \text{ MPa} < k_2 \times f_{ck} = 13,5 \text{ MPa} \Rightarrow$ Lineární dotvarování

Největší tahové napětí ve výztuži:

$\sigma_s = 7,6 \text{ MPa} < k_3 \times f_{yk} = 400,0 \text{ MPa} \Rightarrow$ Nepřijatelné třílny ani deformace nevzniknou

Napětí na dílci VYHOVUJE



Mezní stav použitelnosti VYHOVUJE

6 ZP pod bazénem

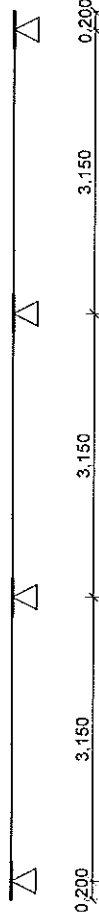
6.1 Vstupní data

Geometrie

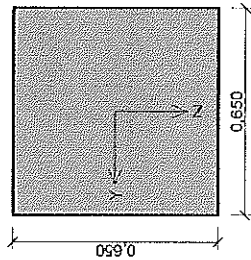
Délka dílce = 9,45m

x [m]	Podpora	Šířka [m]	Uložení	Odsazení [m]
0,000	kloub	0,400	přímé	0,200
3,150	kloub	0,400	přímé	-
6,300	kloub	0,400	přímé	-
9,450	kloub	0,400	přímé	0,200

0,400 0,400 0,400 0,400



Průřez Materiály



Beton : C 30/37

$f_{ck} = 30,0 \text{ MPa}$; $f_{ctm} = 2,9 \text{ MPa}$; $E_{cm} = 33000,0 \text{ MPa}$

Ocel podélná : B500 ($f_{yk} = 500,0 \text{ MPa}$; $E_s = 200000,0 \text{ MPa}$)

Ocel příčná : B500 ($f_{yk} = 500,0 \text{ MPa}$; $E_s = 200000,0 \text{ MPa}$)

Zatěžovací stavy

č.	Název	Kód	Typ	$\gamma_f (\gamma_{lim})^*$	Součinitelé pro kombinace	ξ	Kateg.**	ψ_0	ψ_1	ψ_2
1	G1 vlastní tíha-stálé	Vlastní tíha	Stálé	1,35(0,90)	0,85	-	-	-	-	-
2	G2 silové-stálé	Silové	Stálé	1,35(0,90)	0,85	-	-	-	-	-
3	Q3 silové-proměnné (1)	Silové	Proměnné	1,50	-	E	1,00	0,90	0,80	-
4	Q4 silové-proměnné (2)	Silové	Proměnné	1,50	-	E	1,00	0,90	0,80	-
5	Q5 silové-proměnné (3)	Silové	Proměnné	1,50	-	E	1,00	0,90	0,80	-
6	Q6 silové-proměnné (4)	Silové	Proměnné	1,50	-	E	1,00	0,90	0,80	-
7	Q7 silové-proměnné (5)	Silové	Proměnné	1,50	-	E	1,00	0,90	0,80	-

* γ_{lim} pro příznivé působící stálá zatížení

** Kategorie proměnných zatížení podle tabulky A1.1 v EN 1990

G2 SILOVÉ-STÁLÉ - ZATÍŽENÍ			
Typ	Souř.x [m]	Délka [m]	Vel.1
pásové	0,000	9,450	48,25kN/m
			Vel.2

Q3 SILOVÉ-PROMĚNNÉ (1) - ZATÍŽENÍ			
Typ	Souř.x [m]	Délka [m]	Vel.1
pásové	0,000	9,450	6,90kN/m
			Vel.2

Q4 SILOVÉ-PROMĚNNÉ (2) - ZATÍŽENÍ			
Typ	Souř.x [m]	Délka [m]	Vel.1
pásové	0,000	3,150	6,90kN/m
pásové	6,300	3,150	6,90kN/m
			Vel.2

Q5 SILOVÉ-PROMĚNNÉ (3) - ZATÍŽENÍ			
Typ	Souř.x [m]	Délka [m]	Vel.1
pásové	3,150	3,150	6,90kN/m
			Vel.2

Q6 SILOVÉ-PROMĚNNÉ (4) - ZATÍŽENÍ			
Typ	Souř.x [m]	Délka [m]	Vel.1
pásové	0,000	6,300	6,90kN/m
			Vel.2

Q7 SILOVÉ-PROMĚNNÉ (5) - ZATÍŽENÍ			
Typ	Souř.x [m]	Délka [m]	Vel.1
pásové	3,150	6,300	6,90kN/m
			Vel.2

Vyztužení				
Typ vložky	Počátek [m]	Konec [m]	Krytí [mm]	Profil [mm]
Dolní	0,000	9,450	60,0	12,00
Horní	0,000	9,450	70,0	12,00
Dolní	0,000	9,450	320,0	8,00

S tlačnou výztuží není počítáno.

Smyková výztuž

Úsek č.: 1, (0,00m - 9,45m)

Trminky

Profil: 8,0 mm; Vzdálenost: 0,30 m; Střihy: 4

6.2 Výsledky - mezní stav únosnosti

Mezní stav únosnosti je posuzován pro obálku extrémních zatěžovacích případů

Ohyb

Tlačená výztuž neuvažována; redukce momentu - ne

Posouzení vzdálenosti vložek

Vzdálenosti mezi vložkami vyhovují.

Posouzení min. a max. stupně vyztužení

Nosník (tlačená výztuž - minimum, celková výztuž - maximum):

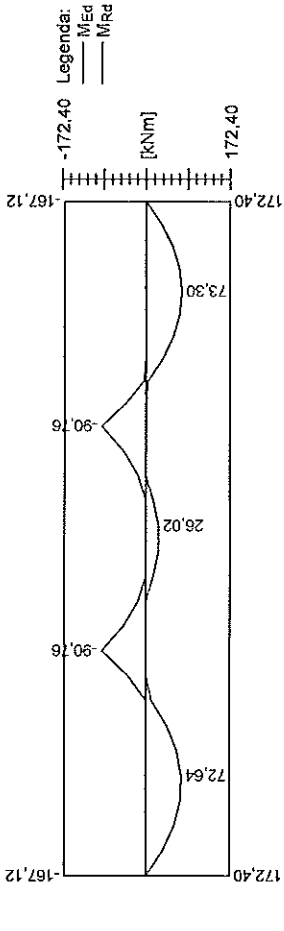
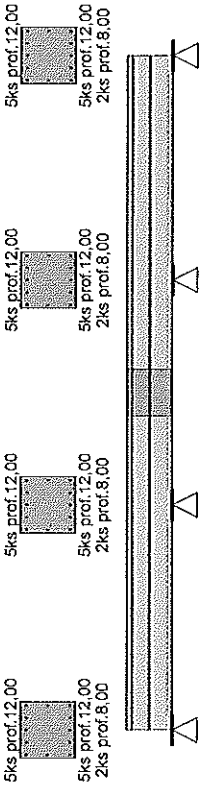
$P_{s,t} = 0,00191 \geq P_{s,min} = 0,00151 \Rightarrow$ VYHOVUJE

$P_s = 0,00291 \leq P_{s,max} = 0,04 \Rightarrow$ VYHOVUJE

Kritický řez v bodě $x = 6,300$ m

$M_{Ed} = -90,76$ kNm $\leq M_{Rd} = -167,12$ kNm \Rightarrow Vyhovuje

Ohyb dlece VYHOVUJE



Smyk

Typ prvku: trám

Kritický řez v bodě $x = 6,500$ m

Stupeň vyztužení smykovou výztuží

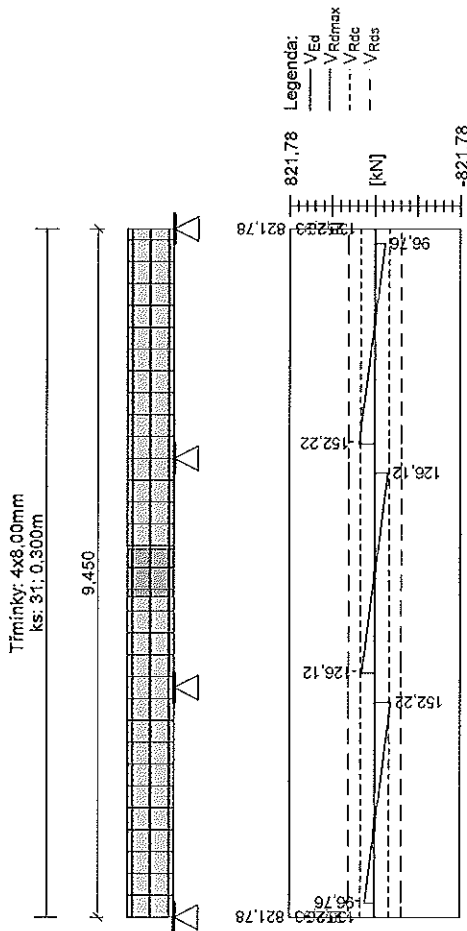
$P_{w,min} = 876,10 \leq P_{w} = 0,00103 \Rightarrow$ VYHOVUJE

Maximální vzdálenost trminků $s_{l,max} = 0,40$ m \Rightarrow VYHOVUJE

Maximální vzdálenost větví trminků $s_{t,max} = 0,41$ m

$V_{Ed} = 152,22$ kN $\leq V_{Rd} = 252,93$ kN \Rightarrow Vyhovuje

Smyk dlece VYHOVUJE



Kotvení
Koncová úprava vložek - Přímý prut

Typ	profil [mm]	Počátek		Konec		Úč. délka [m]	Celk. délka [m]
		σ_{sd} [MPa]	l_{bd} [m]	σ_{sd} [MPa]	l_{bd} [m]		
Dolní	12,00	217,90	0,153	218,79	0,153	9,050	9,356
Horní	12,00	434,78	0,435	434,78	0,435	9,450	10,320
Dolní	8,00	217,90	0,102	218,79	0,102	9,050	9,254

Mezní stav únosnosti (ohyb, smyk) VYHOVUJE

6.3 Výsledky - mezní stav použitelnosti

Mezní stav použitelnosti je posuzován pro obálku provozních zatěžovacích případů

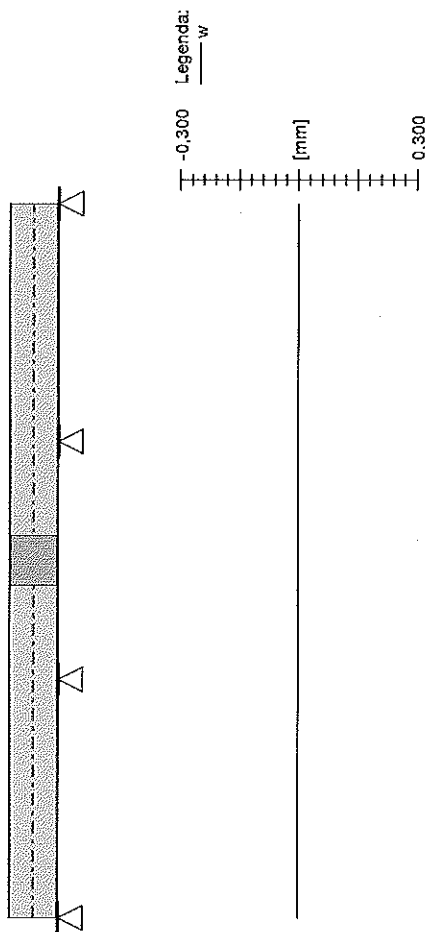
Trhliny

Mezní stav použitelnosti (šířka trhlin) je posuzován pro všechny kvazistálé zatěžovací případy

Maximální velikost trhlin: $w_k = 0,000\text{mm}$

Maximální povolená šířka trhlin: $w_{max} = 0,300\text{mm}$ (Prostředí - XC2, XC3, XC4, XD1, XD2, XS1, XS2 nebo XS3)

Šířka trhlin VYHOVUJE



Průhyb

Mezní stav použitelnosti (omezení průhybu) je posuzován pro všechny kvazistálé, charakteristické, časté zatěžovací případy

Počátek vysychání: $t_s = 7$ [dny]

Konec vysychání: $t = 29200$ [dny]

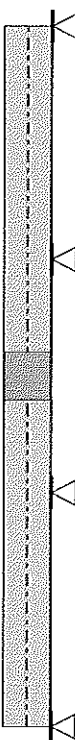
Počátek zatěžování: $t_0 = 28$ [dny]

Konec zatěžování: $t = 29200$ [dny]

Maximální deformace dílce od kvazistálých kombinací je 0,3mm v bodě x = 1,400m

Maximální povolená deformace dílce od kvazistálých kombinací je 12,6mm

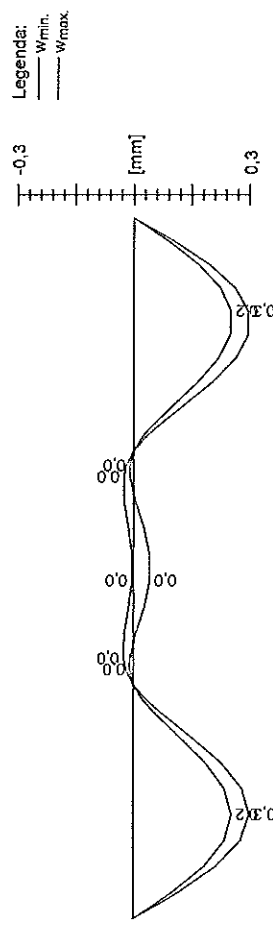
Průhyb dílce VYHOVUJE



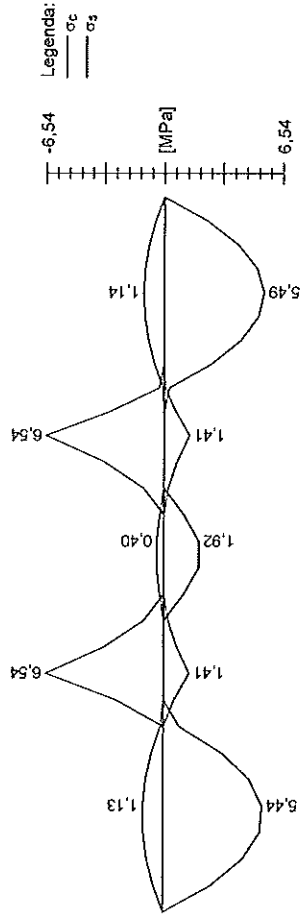
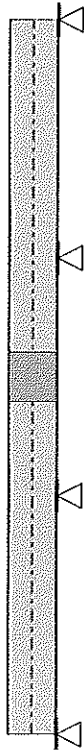
Napětí

Mezní stav použitelnosti (omezení napětí) je posuzován pro všechny charakteristické zatěžovací případy

Největší tlakové napětí v betonu:



$\sigma_c = 1,4\text{MPa} < k_1 \times f_{ck} = 18,0\text{MPa} \Rightarrow$ Splněna hodnota pro prostředí XD, XF, XS
 $\sigma_c = 1,4\text{MPa} < k_2 \times f_{ck} = 13,5\text{MPa} \Rightarrow$ Lineární dotvarování
Největší tahové napětí ve výztuži:
 $\sigma_s = 6,5\text{MPa} < k_3 \times f_{yk} = 400,0\text{MPa} \Rightarrow$ Nepřijatelné tlhlity ani deformace nevzniknou
Napětí na dílci VYHOVUJE



Mezni stav použitelnosti VYHOVUJE

1 Bazén Klatovy

Součinitele výpočtu

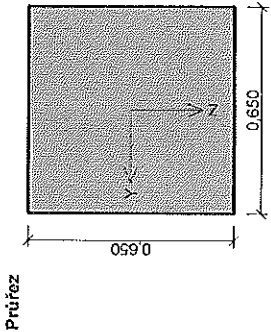
Uvažovány dle normy EN 1992-1-1/Česko.

2 P 650/650_konstruckně

2.1 Vstupní data

Typ prvku: nosník

Prostředí: XC2



Materiály

Beton : C 25/30

$f_{ck} = 25,0 \text{ MPa}$; $f_{ctm} = 2,6 \text{ MPa}$; $E_{cm} = 31000,0 \text{ MPa}$

Ocel podélná : B500 ($f_{yk} = 500,0 \text{ MPa}$; $E_s = 200000,0 \text{ MPa}$)

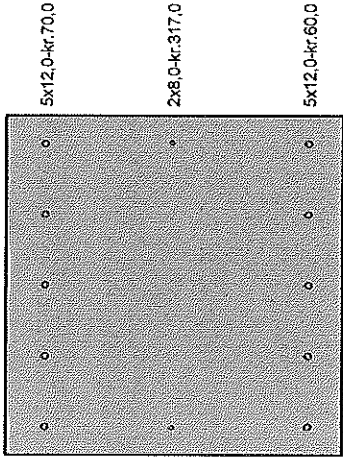
Ocel příčná : B500 ($f_{yk} = 500,0 \text{ MPa}$; $E_s = 200000,0 \text{ MPa}$)

Vnitřní síly - návrhová (MSÚ)

č.	Název zatěžovacího případu	N_{Ed} [kN]	V_{Edz} [kN]	V_{Edy} [kN]	M_{Edz} [kNm]	M_{Edy} [kNm]	T_{Ed} [kNm]	QP koef. [-]
1	Zat. případ 1	0,00	200,00	0,00	100,00	0,00	0,00	1,000

Vyztužení průřezu

Počet	Profil [mm]	Krytí [mm]	Umístění
5	12,0	70,0	horní výztuž
5	12,0	60,0	dolní výztuž
2	8,0	325,0	dolní výztuž



S stačenou výztuží je počítáno.

Smyková výztuž

Tříminky

Profil: 8,0 mm; Vzdálenost: 0,30 m; Svislé stěhy: 4; Vodor. stěhy: 2

Minimální krytí

Třída konstrukce: S5

$c_{min} = \max(c_{min,br}, c_{min,dur}, 10) = \max(12; 30; 10) = 30 \text{ mm}$

$c_{nom} = c_{min} + \Delta c_{dev} = 30 + 10 = 40 \text{ mm}$

2.2 Výsledky

Posouzení min. a max. stupně vyztužení

Nosník (tažená výztuž - minimum, celková výztuž - maximum):

$\rho_{s,l} = 0,00188 \geq \rho_{s,min} = 0,00135 \Rightarrow$ VYHOVUJE

$\rho_s = 0,00291 \leq \rho_{s,max} = 0,04 \Rightarrow$ VYHOVUJE

Posouzení vzdáleností vložek

Vzdálenosti mezi vložkami vyhovují.

Stupeň vyztužení smykovou výztuží

$\rho_{w,min} = 800,10^{-6} \leq \rho_w = 0,00103 \Rightarrow$ VYHOVUJE

Maximální vzdálenost tříminků $s_{l,max} = 0,40 \text{ m} \Rightarrow$ VYHOVUJE

Maximální vzdálenost větvi tříminků $s_{tr,max} = 0,41 \text{ m}$

Posouzení mezního stavu únosnosti

č.	Název	N_{Ed} [kN]	N_{Rd} [kN]	V_{Edz} [kN]	V_{Rdz} [kN]	V_{Edy} [kN]	M_{Rdz} [kNm]	M_{Edy} [kNm]	T_{Ed} [kNm]	Posouzení
1	Zat. případ 1	0,00	200,00	0,00	200,00	0,00	100,00	0,00	0,00	Vyhovuje

Mezní stav únosnosti (ohyb, smyk, kroucení) VYHOVUJE

Celkové posouzení - Průřez VYHOVUJE

Ing. Havel Josef	Bazén Domažlice
	Sloupy

1 Bazén Domažlice

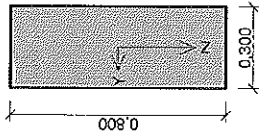
Součinitel výpočtu
Uvažovány dle normy EN 1992-1-1/Česko.

2 S0101

2.1 Vstupní data

Typ prvku: sloup
Prostředí: XC3, XD1

Průřez



Materiály
Beton : C 25/30
 $f_{ck} = 25,0 \text{ MPa}$; $f_{cm} = 2,6 \text{ MPa}$; $E_{cm} = 31000,0 \text{ MPa}$
Ocel podélná : B500 ($f_{yk} = 500,0 \text{ MPa}$; $E_s = 200000,0 \text{ MPa}$)
Ocel příčná : B500 ($f_{yk} = 500,0 \text{ MPa}$; $E_s = 200000,0 \text{ MPa}$)

Vnitřní síly - návrhová (MSÚ)

č.	Název zatěžovacího případu	N _{Ed} [kN]	V _{Ed} [kN]	V _{Edz} [kN]	V _{Edy} [kN]	M _{Edy} [kNm]	M _{Edz} [kNm]	T _{Ed} [kNm]	QP koef. [-]
1	Zat. případ 1	-491,00	0,00	0,00	-93,86	2,55	0,00	0,00	1,000
2	Zat. případ 2	-234,65	0,00	0,00	-4,25	-0,14	0,00	0,00	1,000
3	Zat. případ 3	-491,00	0,00	0,00	-94,74	2,64	0,00	0,00	1,000
4	Zat. případ 4	-315,39	0,00	0,00	2,60	-5,35	0,00	0,00	1,000
5	Zat. případ 5	-460,02	0,00	0,00	-20,07	-6,81	0,00	0,00	1,000
6	Zat. případ 6	-400,65	0,00	0,00	-20,74	3,57	0,00	0,00	1,000
7	Zat. případ 7	-491,06	0,00	0,00	-143,86	2,55	0,00	0,00	1,000
8	Zat. případ 8	-234,65	0,00	0,00	-54,25	-0,14	0,00	0,00	1,000
9	Zat. případ 9	-491,00	0,00	0,00	-144,74	2,64	0,00	0,00	1,000
10	Zat. případ 10	-315,39	0,00	0,00	52,60	-5,35	0,00	0,00	1,000
11	Zat. případ 11	-460,02	0,00	0,00	-70,07	-6,81	0,00	0,00	1,000
12	Zat. případ 12	-400,65	0,00	0,00	-20,74	3,57	0,00	0,00	1,000

Vzpěr

Délka prvku [m]	Koef. vzpěru [-]	Vzpěrná délka [m]	Koef. k ose
3,80	1,00	3,80	Y
3,80	1,00	3,80	Z

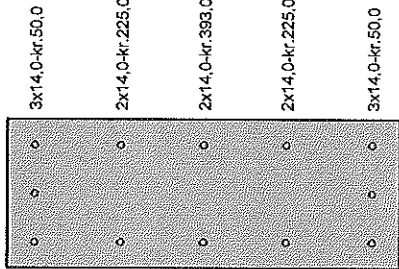
Vyztužení průřezu

Počet	Profil [mm]	Krytí [mm]	Umístění
3	14,0	50,0	horní výztuž
2	14,0	225,0	horní výztuž
2	14,0	393,0	horní výztuž
3	14,0	50,0	dolní výztuž

1	[FIN EC - Beton 3D] verze 11.2.11.0 hardwarový šifr 4300 / 1 STATIKA Jihomoravského úřadu, s.r.o. Copyright © 2013 Fine spol. s r.o. All Rights Reserved www.fine.cz
---	--

Ing. Havel Josef	Bazén Domažlice
	Sloupy

Počet	Profil [mm]	Krytí [mm]	Umístění
2	14,0	225,0	horní výztuž
			dolní výztuž



S tlačnou výztuží je počítáno.

Smyková výztuž

Průřez bez smykové výztuže.

Minimální krytí

Třída konstrukce: S4

$$c_{min} = \max(c_{min,b}; c_{min,dur}; 10) = \max(14; 35; 10) = 35 \text{ mm}$$

$$c_{nom} = c_{min} + \Delta c_{dev} = 35 + 10 = 45 \text{ mm}$$

2.2 Výsledky

Posouzení min. a max. stupně vyztužení

Sloup (celková výztuž):

$$\rho_s = 0,0077 \geq \rho_{s,min} = 0,002 \Rightarrow \text{VYHOVUJE}$$

$$\rho_s = 0,0077 \leq \rho_{s,max} = 0,04 \Rightarrow \text{VYHOVUJE}$$

Posouzení vzdálenosti vložek

Vzdálenosti mezi vložkami vyhovují.

Posouzení možního stavu únosnosti

č.	Název	N _{Ed} [kN]	V _{Edz} [kN]	V _{Edy} [kN]	M _{0Edy} [kNm]	M _{0Edz} [kNm]	M _{Edy} [kNm]	M _{Edz} [kNm]	T _{Ed} [kNm]	Posouzení
1	Zat. případ 1	-491,00	0,00	0,00	-98,52	2,68	3,38	0,00	0,00	Vyhovuje
2	Zat. případ 2	-234,65	0,00	0,00	-6,48	-0,21	0,00	0,00	0,00	Vyhovuje
3	Zat. případ 3	-491,00	0,00	0,00	-99,40	2,77	3,50	0,00	0,00	Vyhovuje

2	[FIN EC - Beton 3D] verze 11.2.11.0 hardwarový šifr 4300 / 1 STATIKA Jihomoravského úřadu, s.r.o. Copyright © 2013 Fine spol. s r.o. All Rights Reserved www.fine.cz
---	--

Ing. Havel Josef		Bazén Domažlice				Sloup	
------------------	--	-----------------	--	--	--	-------	--

č.	Název	N _{Ed} [kN]	V _{Edz} [kN]	V _{Edz} [kN]	M _{Edz} [kNm]	M _{Edz} [kNm]	M _{Edz} [kNm]	M _{Edz} [kNm]	T _{Ed} [kNm]	Posouzení
4	Zat. případ 4	-315,39	0,00	0,00	3,91	-8,04	-9,36	0,00	0,00	Vyhovuje
5	Zat. případ 5	-4738,90	0,00	0,00	-	52,79	-126,37	0,00	0,00	Vyhovuje
6	Zat. případ 6	-4738,90	0,00	0,00	-24,21	-24,21	-8,21	-10,23	0,00	Vyhovuje
7	Zat. případ 7	-4738,90	0,00	0,00	-24,49	-24,49	4,22	5,10	0,00	Vyhovuje
8	Zat. případ 8	-4738,90	0,00	0,00	-148,52	-148,52	2,63	3,33	0,00	Vyhovuje
9	Zat. případ 9	-4738,90	0,00	0,00	-56,48	-36,48	-0,15	-0,15	0,00	Vyhovuje
10	Zat. případ 10	-4738,90	0,00	0,00	-149,40	-149,40	2,73	3,44	0,00	Vyhovuje
11	Zat. případ 11	-4738,90	0,00	0,00	-405,93	-	9,35	0,00	0,00	Vyhovuje
12	Zat. případ 12	-4738,90	0,00	0,00	55,58	55,58	-5,65	-6,58	0,00	Vyhovuje
		-480,02	0,00	0,00	-74,42	-74,42	-7,23	-9,00	0,00	Vyhovuje
		-4738,90	0,00	0,00	-	-366,99	-	-44,40	0,00	Vyhovuje
		-400,65	0,00	0,00	-24,48	-24,49	4,22	5,10	0,00	Vyhovuje
		-4738,90	0,00	0,00	-	-321,34	-	66,97	0,00	Vyhovuje

Mezni stav únosnosti (ohyb, smyk, kroucení) VYHOVUJE

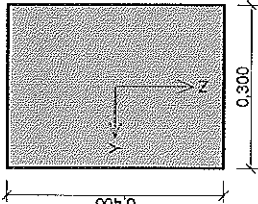
Celkové posouzení - Průřez VYHOVUJE

3 S101

3.1 Vstupní data

Typ prvku: sloup
Prostředí: XC3, XD1

Průřez



Materiály

Beton : C 25/30
 $f_{ck} = 25,0 \text{ MPa}$; $f_{ctm} = 2,6 \text{ MPa}$; $E_{cm} = 31000,0 \text{ MPa}$
Ocel podélná : B500 ($f_{yk} = 500,0 \text{ MPa}$; $E_s = 200000,0 \text{ MPa}$)
Ocel příčná : B500 ($f_{yk} = 500,0 \text{ MPa}$; $E_s = 200000,0 \text{ MPa}$)

Vnitřní síly - návrhová (MSÚ)

č.	Název zatěžovacího případu	N _{Ed} [kN]	V _{Edz} [kN]	V _{Edz} [kN]	M _{Edz} [kNm]	M _{Edz} [kNm]	T _{Ed} [kNm]	QP koef. [·]
1	Zat. případ 1	-195,69	0,00	0,00	17,48	-6,27	0,00	1,000
2	Zat. případ 2	-62,30	0,00	0,00	3,48	-0,10	0,00	1,000
3	Zat. případ 3	-96,44	0,00	0,00	-39,13	0,07	0,00	1,000

Ing. Havel Josef		Bazén Domažlice				Sloup	
------------------	--	-----------------	--	--	--	-------	--

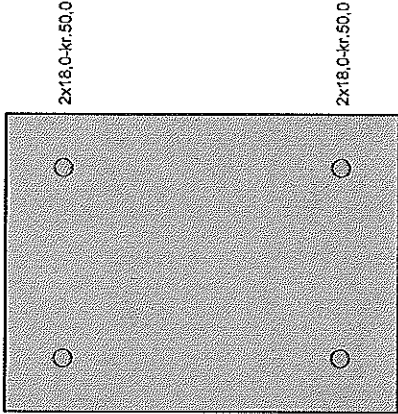
č.	Název zatěžovacího případu	N _{Ed} [kN]	V _{Edz} [kN]	V _{Edz} [kN]	M _{Edz} [kNm]	M _{Edz} [kNm]	T _{Ed} [kNm]	QP koef. [·]
4	Zat. případ 4	-153,71	0,00	0,00	30,39	10,83	0,00	1,000
5	Zat. případ 5	-122,98	0,00	0,00	-0,79	-11,28	0,00	1,000
6	Zat. případ 6	-122,92	0,00	0,00	-1,00	11,21	0,00	1,000

Vzpěr

Délka prvku [m]	Koef. vzpěru [·]	Vzpěrná délka [m]	Kolmo k ose
4,65	1,60	7,44	Y
4,65	1,60	7,44	Z

Vyztužení průřezu

Počet	Profil [mm]	Krytí [mm]	Umístění
2	18,0	50,0	horní výztuž
2	18,0	50,0	dolní výztuž



S tlačnou výztuží je počítáno.

Smyková výztuž

Průřez bez smykové výztuže.

Minimální krytí

Třída konstrukce: S4

$c_{min} = \max(c_{min,b}; c_{min,dur}; 10) = \max(18; 35; 10) = 35 \text{ mm}$
 $c_{nom} = c_{min} + \Delta c_{dev} = 35 + 10 = 45 \text{ mm}$

3.2 Výsledky

Posouzení min. a max. stupně vyztužení

Sloup (celková výztuž):

$\rho_s = 0,00848 \geq \rho_{s,min} = 0,002 \Rightarrow \text{VYHOVUJE}$

$\rho_s = 0,00848 \leq \rho_{s,max} = 0,04 \Rightarrow \text{VYHOVUJE}$

Posouzení vzdálenosti vložek
Vzdálenosti mezi vložkami vyhovují.
Posouzení mezního stavu únosnosti

č.	Název	Ned		Vedz		Mjedz		Mjedz		Tjed		Posouzení
		Ned [kN]	Ned [kN]	Vedz [kN]	Vedz [kN]	Mjedz [kNm]	Mjedz [kNm]	Mjedz [kNm]	Mjedz [kNm]	Tjed [kNm]	Tjed [kNm]	
1	Zat. případ 1	-195,69	-2407,15	0,00	0,00	19,62	25,85	-7,04	-13,81	0,00	0,00	Vyhovuje
2	Zat. případ 2	-62,30	-2407,15	0,00	0,00	4,20	4,58	-0,12	-0,15	0,00	0,00	Vyhovuje
3	Zat. případ 3	-96,44	-2407,15	0,00	0,00	-40,25	-46,00	0,07	0,10	0,00	0,00	Vyhovuje
4	Zat. případ 4	-153,71	-2407,15	0,00	0,00	32,07	39,76	11,43	18,99	0,00	0,00	Vyhovuje
5	Zat. případ 5	-122,98	-2407,15	0,00	0,00	-0,89	-1,06	-12,71	-18,86	0,00	0,00	Vyhovuje
6	Zat. případ 6	-122,92	-2407,15	0,00	0,00	-1,13	-1,34	12,63	18,75	0,00	0,00	Vyhovuje

Mezní stav únosnosti (ohyb, smyk, kroucení) VYHOVUJE

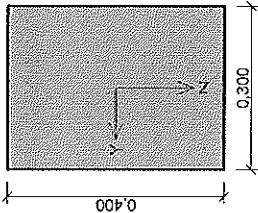
Celkové posouzení - Průřez VYHOVUJE

4 S102

4.1 Vstupní data

Typ prvku: sloup
Prostředí: XC3, XD1

Průřez



Materiály
Beton : C 25/30
 $f_{ck} = 25,0 \text{ MPa}$; $f_{ctm} = 2,6 \text{ MPa}$; $E_{cm} = 31000,0 \text{ MPa}$
Ocel podélná : B500 ($f_{yk} = 500,0 \text{ MPa}$; $E_s = 200000,0 \text{ MPa}$)
Ocel příčná : B500 ($f_{yk} = 500,0 \text{ MPa}$; $E_s = 200000,0 \text{ MPa}$)

Vnitřní síly - návrhová (MSÚ)

č.	Název zatěžovacího případu	Ned [kN]	Vedz [kN]	Mjedz [kNm]	Mjedz [kNm]	Tjed [kNm]	QP koef. [-]
1	Zat. případ 1	-251,39	0,00	12,47	7,58	0,00	1,000
2	Zat. případ 2	-121,42	0,00	0,00	-3,33	-10,86	1,000
3	Zat. případ 3	-188,18	0,00	0,00	-21,25	-0,90	1,000
4	Zat. případ 4	-173,92	0,00	0,00	23,54	12,44	1,000
5	Zat. případ 5	-220,07	0,00	0,00	18,25	-13,45	1,000

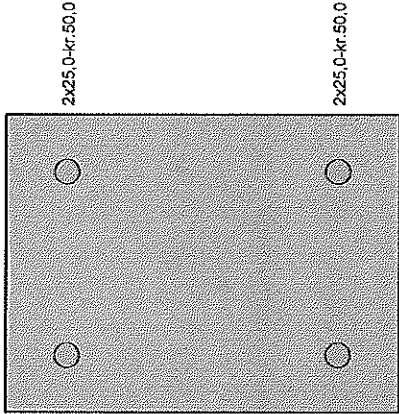
č.	Název zatěžovacího případu	Ned [kN]	Vedz [kN]	Mjedz [kNm]	Mjedz [kNm]	Tjed [kNm]	QP koef. [-]
6	Zat. případ 6	-220,05	0,00	18,91	14,59	0,00	1,000
7	Zat. případ 7	-251,39	0,00	0,00	62,47	7,58	1,000
8	Zat. případ 8	-121,42	0,00	0,00	-53,33	-10,86	1,000
9	Zat. případ 9	-188,18	0,00	0,00	-71,25	-0,90	1,000
10	Zat. případ 10	-173,92	0,00	0,00	73,54	12,44	1,000
11	Zat. případ 11	-220,07	0,00	0,00	68,25	-13,45	1,000
12	Zat. případ 12	-220,05	0,00	0,00	68,91	14,59	1,000

Vzpěr

Délka prvku [m]	Koef. vzpěru [-]	Vzpěrná délka [m]	Kolmo k ose
5,00	1,60	8,00	Y
5,00	1,60	8,00	Z

Vyztužení průřezu

Počet	Profil [mm]	Krytí [mm]	Umístění
2	25,0	50,0	horní výztuž
2	25,0	50,0	dolní výztuž



S tlacenou výztuží je počítáno.

Smyková výztuž

Průřez bez smykové výztuže.

Minimální krytí

Třída konstrukce: S4

$c_{min} = \max(c_{min,b}, c_{min,dur}, 10) = \max(25; 35; 10) = 35 \text{ mm}$
 $c_{nom} = c_{min} + \Delta c_{dev} = 35 + 10 = 45 \text{ mm}$

4.2 Výsledky

Posouzení min. a max. stupně vyztužení

Sloup (celková výztuž):

Ing. Havel Josef	Bazén Domažlice Sloupy
------------------	---------------------------

$p_s = 0,0164 \geq p_{s,min} = 0,002 \Rightarrow$ VYHOVUJE
 $p_s = 0,0164 \leq p_{s,max} = 0,04 \Rightarrow$ VYHOVUJE

Posouzení vzdálenosti vložek
Vzdálenosti mezi vložkami vyhovují.

Posouzení možného stavu únosnosti

č.	Název	N _{Ed} [kN]	V _{Ed} [kN]	V _{Ed} [kN]	M _{Ed} [kNm]	M _{Ed} [kNm]	M _{Ed} [kNm]	M _{Ed} [kNm]	T _{Ed} [kNm]	T _{Ed} [kNm]	Posouzení
1	Zat. případ 1	-251,39	0,00	0,00	15,16	18,94	9,21	15,92	0,00	0,00	Vyhovuje
2	Zat. případ 2	-121,42	0,00	0,00	-3,77	-4,20	-12,31	-15,72	0,00	0,00	Vyhovuje
3	Zat. případ 3	-188,18	0,00	0,00	-23,60	-27,85	-1,00	-1,48	0,00	0,00	Vyhovuje
4	Zat. případ 4	-173,92	0,00	0,00	25,46	29,67	13,46	19,30	0,00	0,00	Vyhovuje
5	Zat. případ 5	-220,07	0,00	0,00	20,46	24,86	-15,08	-24,11	0,00	0,00	Vyhovuje
6	Zat. případ 6	-220,05	0,00	0,00	21,09	25,62	16,27	26,01	0,00	0,00	Vyhovuje
7	Zat. případ 7	-251,39	0,00	0,00	65,59	81,99	7,96	13,75	0,00	0,00	Vyhovuje
8	Zat. případ 8	-121,42	0,00	0,00	-54,82	-60,95	-11,16	-14,26	0,00	0,00	Vyhovuje
9	Zat. případ 9	-188,18	0,00	0,00	-73,60	-86,87	-0,93	-1,38	0,00	0,00	Vyhovuje
10	Zat. případ 10	-173,92	0,00	0,00	75,68	88,18	12,80	18,36	0,00	0,00	Vyhovuje
11	Zat. případ 11	-220,07	0,00	0,00	70,95	86,19	-13,98	-22,35	0,00	0,00	Vyhovuje
12	Zat. případ 12	-220,05	0,00	0,00	71,60	86,98	15,16	24,23	0,00	0,00	Vyhovuje
Mezní stav únosnosti (ohyb, smyk, kroucení) VYHOVUJE											

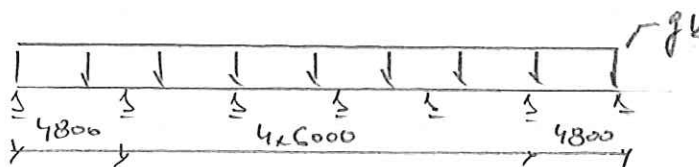
Celkové posouzení - Průřez VYHOVUJE

Zpracoval: J.H.	Datum: 27.6.2017	Zakázka:	Strana: 105
Objednatel: ŠOTAVAPLAN	Název akce: BAZEN DOTAZLICO		
PRŮVLAKY			

PRŮVLAK P101

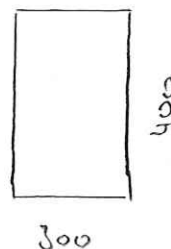
Zatížení: STÁLÉ: ZDIVO $3,18 \times 4,10 = 13,0784/\text{mm}$

VL. HÍŤ $25 \times 0,7 \times 0,7 = 3,0084/\text{mm}$



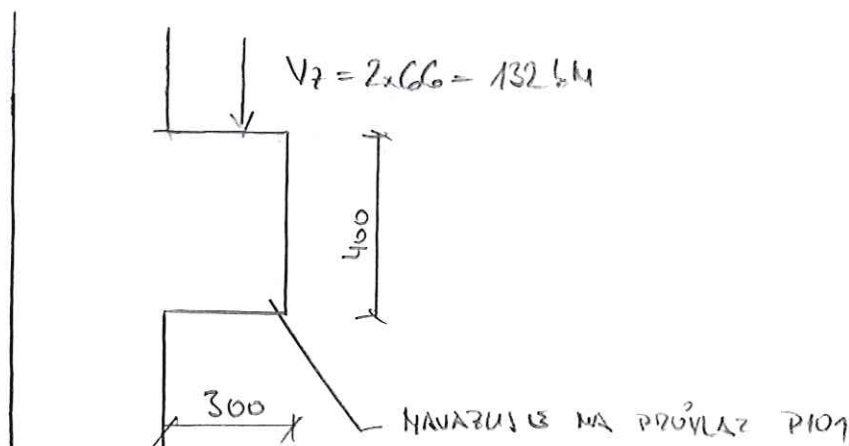
$$(g+q)_c = 16,0784/\text{mm}$$

ROZMĚRY PRŮVLAKU 300/400



max. POSOUVACÍ síla $V_{2d} = 66 \text{ kN}$

KONZOLA NA SLOUPU - PRO VLOŽENÍ PRŮVLAKU



Ing. Havel Josef	Bazén Domažlice Průvlaky
------------------	-----------------------------

1 Bazén Domažlice

Součinitele výpočtu
Uvažovány dle normy EN 1992-1-1/Česko.

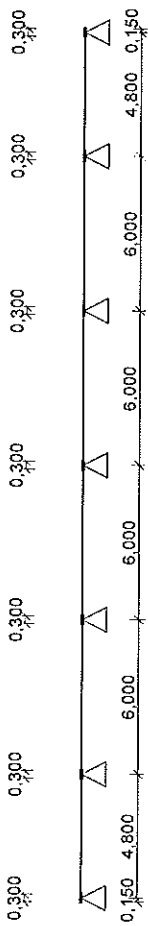
2 P101

2.1 Vstupní data

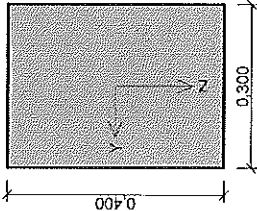
Geometrie

Délka dílce = 33,60m

x [m]	Podpora	Šířka [m]	Uložení	Odsazení [m]
0,000	kloub	0,300	přímé	0,150
4,800	kloub	0,300	přímé	-
10,800	kloub	0,300	přímé	-
16,800	kloub	0,300	přímé	-
22,800	kloub	0,300	přímé	-
28,800	kloub	0,300	přímé	-
33,600	kloub	0,300	přímé	0,150



Materiály
 Beton : C 25/30
 $f_{ck} = 25,0 \text{ MPa}$; $f_{ctm} = 2,6 \text{ MPa}$; $E_{cm} = 31000,0 \text{ MPa}$
 Ocel podélná : B500 ($f_{yk} = 500,0 \text{ MPa}$; $E_s = 200000,0 \text{ MPa}$)
 Ocel příčná : B500 ($f_{yk} = 500,0 \text{ MPa}$; $E_s = 200000,0 \text{ MPa}$)



Zatěžovací stavy

č.	Název	Kód	Typ	γ_i [t/m ²]	Součinitele pro kombinace
1	G1 vlastní tíha-stálé	Vlastní tíha	Stálé	1,35(0,90)	ξ Kateg. ** ψ_0 ψ_1 ψ_2
2	G2 silové-stálé	Silové	Stálé	1,35(0,90)	0,85 - - -

* γ_{irr} pro příznivé působící stálá zatížení

** Kategorie proměnných zatížení podle tabulky A1.1 v EN 1990

Ing. Havel Josef	Bazén Domažlice Průvlaky
------------------	-----------------------------

G2 SILOVÉ-STÁLÉ - ZATÍŽENÍ			
Typ	Souř. x [m]	Délka [m]	Vel. 1
pásové	0,000	33,600	Vel. 2

Kombinace

2.2 Kombinace pro výpočet podle 1.řádu

Kombinace 1. řád, pro posouzení mezního stavu únosnosti (MSÚ)

Číslo	Název a druh kombinace
1	G1+G2: základní kombinace
2	G1+G2: základní kombinace

Kombinace 1. řád, pro posouzení mezního stavu použitelnosti (MSP)

Číslo	Název a druh kombinace
1	G1+G2: charakteristická kombinace
2	G1+G2: častá kombinace
3	G1+G2: kvazistálá kombinace

Vyztužení

Typ vložky	Počátek [m]	Konec [m]	Krytí [mm]	Profil [mm]	Počet
Dolní	0,000	33,600	40,0	16,00	3
Horní	0,000	33,600	40,0	16,00	3

S tlačnou výztuží není počítáno.

Smyková výztuž

Úsek č.: 1, (0,00m - 33,60m)

Tříminky

Profil: 8,0 mm; Vzdálenost: 0,20 m; Střihy: 2

2.3 Výsledky - mezní stav únosnosti

Mezní stav únosnosti je posuzován pro obálku extrémních zatěžovacích případů

Ohyb

Tlačná výztuž neuvažována; redukce momentu - ne

Posouzení vzdálenosti vložek

Vzdálenosti mezi vložkami vyhovují.

Posouzení min. a max. stupně vyztužení

Nosník (tažená výztuž - minimum, celková výztuž - maximum):

$\rho_{st} = 0,00571 \geq \rho_{s,min} = 0,00135 \Rightarrow$ VYHOVUJE

$\rho_s = 0,0101 \leq \rho_{s,max} = 0,04 \Rightarrow$ VYHOVUJE

Kritický řez v bodě x = 10,800m

$M_{ed} = -65,32 \text{ kNm} \leq M_{Rd} = -86,93 \text{ kNm} \Rightarrow$ Vyhovuje

Ohyb dílce VYHOVUJE

Napětí

Mezní stav použitelnosti (omezení napětí) je posuzován pro všechny charakteristické zatěžovací případy

Největší tlakové napětí v betonu:

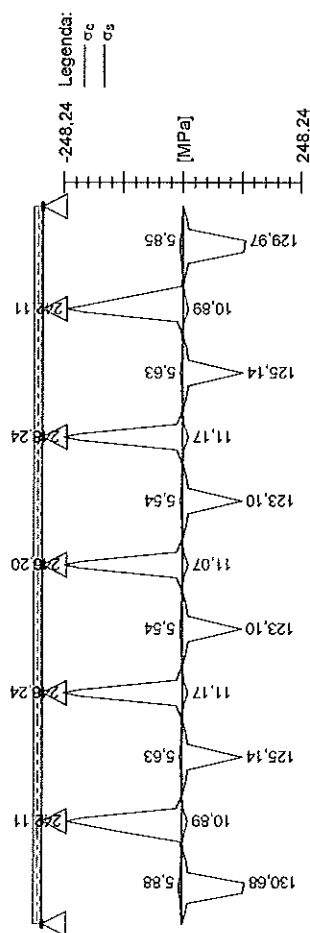
$$\sigma_c = 11,2 \text{ MPa} < k_1 \times f_{ck} = 15,0 \text{ MPa} \Rightarrow \text{Splněna hodnota pro prostředí XD, XF, XS}$$

$$\sigma_c = 11,2 \text{ MPa} < k_2 \times f_{ck} = 11,2 \text{ MPa} \Rightarrow \text{Lineární dotvarování}$$

Největší tahové napětí ve výztuži:

$$\sigma_s = 248,2 \text{ MPa} < k_3 \times f_{yk} = 400,0 \text{ MPa} \Rightarrow \text{Nepřijatelné tlhliny ani deformace nevzniknou}$$

Napětí na dílci VYHOVUJE



Mezní stav použitelnosti VYHOVUJE

1 Bazén Domažlice

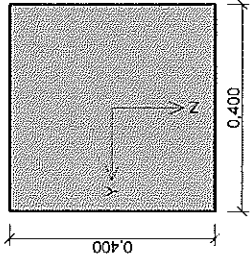
Součinitele výpočtu
Uvažovány dle normy EN 1992-1-1/Česko.

2 P102

2.1 Vstupní data

Typ prvku: nosník
Prostředí: XC3, XD1

Průřez



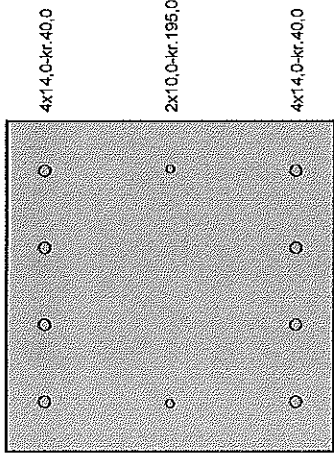
Materiály
Beton : C 25/30
 $f_{ck} = 25.0$ MPa; $f_{ctm} = 2.6$ MPa; $E_{cm} = 31000.0$ MPa
Ocel podélná : B500 ($f_{yk} = 500.0$ MPa; $E_s = 200000.0$ MPa)
Ocel příčná : B500 ($f_{yk} = 500.0$ MPa; $E_s = 200000.0$ MPa)

Vnitřní síly - návrhová (MSÚ)

č.	Název zatěžovacího případu	N _{Ed} [kN]	V _{Edz} [kN]	V _{Edy} [kN]	M _{Edz} [kNm]	M _{Edy} [kNm]	T _{Ed} [kNm]	QP koef.
1	Zat. případ 1	0.00	36.00	0.00	39.00	8.00	0.00	1.000

Vyztužení průřezu

Počet	Profil [mm]	Krytí [mm]	Umístění
4	14.0	40.0	horní výztuž
2	10.0	195.0	horní výztuž
4	14.0	40.0	dolní výztuž



S tlacenou výztuží je počítáno.

Smyková výztuž

Tříminky

Profil: 8.0 mm; Vzdálenost 0.20 m; Svislé stěhy: 2; Vodor. stěhy: 2

Minimální krytí

Třída konstrukce: S4

$c_{min} = \max(c_{min,b}, c_{min,dur}, 10) = \max(14; 35; 10) = 35$ mm
 $c_{nom} = c_{min} + \Delta c_{dev} = 35 + 10 = 45$ mm

2.2 Výsledky

Posouzení min. a max. stupně vyztužení

Nosník (tažená výztuž - minimum, celková výztuž - maximum):

$\rho_{s,t} = 0.00545 \geq \rho_{s,min} = 0.00135 \Rightarrow$ VYHOVUJE

$\rho_s = 0.00868 \leq \rho_{s,max} = 0.04 \Rightarrow$ VYHOVUJE

Posouzení vzdáleností vložek

Vzdálenosti mezi vložkami vyhovují.

Stupeň vyztužení smykovou výztuží

$\rho_{w,min} = 800.10^{-9} \leq \rho_w = 0.00126 \Rightarrow$ VYHOVUJE

Maximální vzdálenost třmínek $s_{l,max} = 0.26$ m \Rightarrow VYHOVUJE

Maximální vzdálenost větvi třmínek $s_{l,max} = 0.26$ m

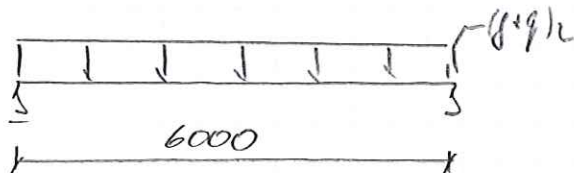
Posouzení mezního stavu únosnosti

č.	Název	N _{Ed} [kN]	N _{Rd} [kN]	V _{Edz} [kN]	V _{Rdz} [kN]	V _{Edy} [kN]	V _{Rdy} [kN]	M _{Edz} [kNm]	M _{Rdz} [kNm]	T _{Ed} [kNm]	T _{Rd} [kNm]	Posouzení
1	Zat. případ 1	0.00	0.00	36.00	36.00	0.00	0.00	39.00	8.00	0.00	0.00	Vyhovuje

Mezní stav únosnosti (ohyb, smyk, kroucení) VYHOVUJE

Celkové posouzení - Průřez VYHOVUJE

• OCELOVÉ PŘEVLADY U PŘECHODU NOUŠ X STAVATICE BAZÉNU



VE STAVATICE OBJEKTA $4 \times I_c. 220$

- DVA ZDRAVNÍ PŘEVLADY NAHRAZENÝ ŽL.B. DESKOU 1.PD
NOUŠ PŘÍSTAVBY BAZÉNU

- DVA ZDRAVNÍ PŘEVLADY U STAVATICEHO BAZÉNU ZDVOUHN
ŠPATNĚHO STAVU NAHRAZIT NOUŠMI KOSKILY

Zatížení: stěle: $6,50 \times 1,20 = 7,80 \text{ kN/m}$

Nahradě: $5,00 \times 1,20 = 6,00 \text{ kN/m}$

$2 \times I_c. 220 \dots \sigma = 158 \text{ MPa} < 235 \text{ MPa}$

$\Delta = 18 \text{ mm} \text{ tj. } 1/330 < 1/250$

Zpracoval:	J.H.	Datum:	17.6.2013	Zakázka:		Strana:	111
Objednatel:	ŠUHARDA			Název akce:	ZÁŘÍK DO TAŽLICE		
STŘECHA							

NÁVRH TRAPÉZOVÉHO PLECHU

<u>ZATÍŽENÍ:</u>	STÁLÉ	0,73 kN/m ²	0,99 kN/m ²
	SNÍH (NÁVĚJ)	2,00 kN/m ²	3,00 kN/m ²
	VÍTR	0,13 kN/m ²	0,20 kN/m ²
		<u>2,86 kN/m²</u>	<u>4,20 kN/m²</u>

CB 55/250 - 0,88 ... VZDÁLENOST VÁŽNÍK 2315 mm

$$f_{\text{inosnost}} = 4,36 \text{ kN/m}^2 > 4,20 \text{ kN/m}^2$$

VYHOVUJE

$$f_{\text{deformace/100}} = 4,47 \text{ kN/m}^2 > 2,86 \text{ kN/m}^2$$

- TRAPÉZOVÝ PLECH UKLÁDAT NA VÁŽNÍK TAKO SPOLITÝ NOSNÍK MINIMÁLNĚ POUŽÍ DŮE POLS.